GM 58011

RESULTATS DE TERRAIN, ETE 1999, PROPRIETE PAYNE (1121-2)

Documents complémentaires

Additional Files





Licence



License

Cette première page a été ajoutée
au document et ne fait pas partie du
rapport tel que soumis par les auteurs.

Énergie et Ressources naturelles
Québec

PROPRIÉTÉ PAYNE (1121-2)

Résultats de terrain, été 1999
(volume 1/2)

Guy Cuerrier Décembre 1999

BUREAU DE L'INFORMATION

MRN-GÉOINFORMATION 2000

GM 58011

00097-001.

Résumé

Les permis de PAYNE se situent au sein d'une des nombreuses ceintures de roches supracrustales archéennes de la péninsule de l'Ungava au Nouveau-Québec. Les roches supracrustales de la propriété PAYNE appartiennent au domaine Lac Minto, une subdivision du bloc de Minto, lui-même faisant partie de la Province structurale du Supérieur. La propriété, d'une superficie de 46,78 km², est détenue a part égale par Mines D'Or Virginia Inc. et SOQUEM INC.. En 1999, une entente de partenariat est signée avec Cambiex Inc.. Selon cette entente, Cambiex à l'option d'acquérir un intérêt de 33,33% dans la propriété.

Les différents travaux d'exploration exécutés depuis 1995 dans le secteur de la propriété Payne avait permis la découverte de minéralisations aurifères au sein de formation de fer. Des intersections aurifères jusqu'à **16.14 g/t Au sur 3,30 mètres incluant 21.09 g/t Au sur 2,50 mètres** et **8.86 g/t Au sur 3,16 mètres incluant 12.39 g/t Au sur 2,10 mètres** avaient été obtenues en rainures en 1997.

Les objectifs du programme d'exploration de 1999 visaient à vérifier la continuité des structures aurifères découvertes au sein des formations de fer et, basée sur l'interprétation structurale et métallogénique, d'évaluer des secteurs propices de renfermer des corps minéralisés de dimensions économiques. Suite aux travaux réalisés, la partie nord de la grille Amaruk s'avère être la zone minéralisée connue possédant le plus de continuité. En fait, les meilleurs résultats aurifères obtenus par forages proviennent de cette zone :

- 11212-99-06 (**6,36 g/t Au sur 5,9 m dont 17,27 g/t Au sur 1,2m**),
- 11212-97-06 (**5.28 g/t Au sur 1,30 mètres et 4,61 g/t Au sur 8,4 m dont 16,18 g/t Au sur 1,2 m**) et,
- 11212-97-04 (**24.36 g/t Au sur 0,75 mètres**)

TABLE DES MATIÈRES

1- INTRODUCTION 1

2- PROPRIÉTÉ 2

2.1- Localisation, accès et droits miniers 2

3- TRAVAUX ANTÉRIEURS 5

3.1- Travaux de cartographie, géophysique et géochimique régionale 5

3.2- Travaux d'exploration dans la région du Lac Payne 7

4- CONTEXTE GÉOLOGIQUE 10

5- TRAVAUX EXÉCUTÉS 15

5.1- Phase 1 : Campagne de cartographie et de prospection 15

5.2- Phase 2: Campagne de forage aux diamants 16

6- RÉSULTATS DES TRAVAUX 18

6.1- PREMIÈRE SECTION: Phase 1 (Cartographie et prospection) 18
6.1.1) Géologie locale 18
6.1.2) Description des lithologies rencontrées 19
6.1.3) Géologie structurale 22
6.1.4) Minéralisation 27

6.2- DEUXIÈME SECTION: Phase 2 (Forage) 31
6.2.1) Résumé des sondages 36

7- INTERPRÉTATION DES RÉSULTATS 50

8- DISCUSSION 55

9- CONCLUSION ET RECOMMANDATIONS 58

10- RÉFÉRENCES 61

LISTE DES FIGURES

Figure 1	Carte de localisation de la propriété au 1:10 000 000
Figure 2	Localisation des P.E.M. au 1:250 000
Figure 3	Cartographie dans le Grand Nord
Figure 4	Carte de la Province de Supérieur
Figure 5	Domaines du Bloc de Minto
Figure 6	Ceintures de roches vertes reconnues dans le Bloc Minto
Figure 7	Synthèse géologique et localisation des valeurs aurifères du secteur Amaruk
Figure 8	Localisation des affleurements et des valeurs aurifères du secteur Avingaluk
Figure 9	Localisation des affleurements et des valeurs aurifères du secteur Amaruk Est
Figure 10	Association entre les zones aurifères et la formation de fer aux faciès silicaté sur Amaruk
Figure 11	Coupe composite de la zone L10S de la grille Amaruk
Figure 12	Longitudinale de la zone L10S de la grille Amaruk
Figure 13	Mosaïque des photoaériennes de la propriété 1 :40 000
Figure 14	Longitudinale de la zone L10S de la grille Amaruk avec position des forages recommandés

LISTE DES TABLEAUX

Tableau 1	Données techniques des sondages
Tableau 2	Vérification de la précision des résultats d'analyses
Tableau 3	Principaux résultats en sondages

LISTE DES ANNEXES

Annexe 1	Description de sondages
Annexe 2	Résultats d'analyses partiels (Au, Ag et As) et descriptions des échantillons choisis et/ou de rainures
Annexe 3	Résultats d'analyses des échantillons choisis et/ou de rainures
Annexe 4	Résultats d'analyses des échantillons de forages
Annexe 5	Résultats d'analyses (originaux)

LISTE DES CARTES

Carte 44-05	Amaruk 1:2500: Carte géologique et position des rainures, des données structurales et des forages
Carte 22-02	Amaruk 1:2500: Carte synthèse et valeurs aurifères
Carte 44-06	Avignaluk 1:2500: Carte géologique et position des rainures, des données structurales, des forages et des valeurs aurifères

LISTE DES SECTIONS DE FORAGE

Section 23-08	Section L-7+25 S (Amaruk) au 1:500 du sondage 11212-99-14
Section 23-09	Section L-7+50 S (Amaruk) au 1:500 des sondages 11212-99-15
Section 23-10	Section L-9+50 S (Amaruk) au 1:500 du sondage 11212-99-08
Section 23-11	Section L-9+75 S (Amaruk) au 1:500 des sondages 11212-99-06
Section 23-12	Section L-10+25 S (Amaruk) au 1:500 du sondage 11212-99-07 et 16
Section 23-13	Section L-12+50 S (Amaruk) au 1:500 du sondage 11212-99-11
Section 23-14	Section L-13+00 S (Amaruk) au 1:500 du sondage 11212-99-09
Section 23-15	Section L-13+25 S (Amaruk) au 1:500 du sondage 11212-99-10
Section 23-16	Section L-20+50 S (Amaruk) au 1:500 du sondage 11212-99-12
Section 23-17	Section L-20+75 S (Amaruk) au 1:500 du sondage 11212-99-13
Section 23-18	Section L-20+75 S (Amaruk) au 1:500 du sondage 11212-99-17
Section 23-19	Section L-30+50 S (Avignaluk) au 1:500 du sondage 11212-99-05

Section 23-20	Section L-30+75 S (Avignaluk) au 1:500 du sondage 11212-99-01
Section 23-21	Section L-31+25 S (Avignaluk) au 1:500 du sondage 11212-99-02
Section 23-22	Section L-32+25 S (Avignaluk) au 1:500 du sondage 11212-99-03
Section 23-23	Section L-35+00 S (Avignaluk) au 1:500 du sondage 11212-99-04

1- INTRODUCTION

Les permis de PAYNE (1121-2) se situent au sein d'une des nombreuses ceintures de roches supracrustales archéennes de la péninsule de l'Ungava au Nouveau-Québec. Les roches supracrustales de la propriété PAYNE appartiennent au domaine Lac Minto, une subdivision du bloc de Minto, lui-même faisant partie de la Province structurale du Supérieur. La propriété, d'une superficie de 46,78 km², est détenue a part égale par Mines D'Or Virginia Inc. et SOQUEM INC.. En 1999, une entente de partenariat est signée avec Cambiex Inc.. Selon cette entente Cambiex à l'option d'acquérir un intérêt de 33,33% dans la propriété.

Les différents travaux d'exploration exécutés depuis 1995 dans le secteur de la propriété Payne avaient permis la découverte de minéralisations aurifères au sein de formation de fer. Des intersections aurifères jusqu'à **16.14 g/t Au sur 3,30 mètres incluant 21.09 g/t Au sur 2,50 mètres** et **8.86 g/t Au sur 3,16 mètres incluant 12.39 g/t Au sur 2,10 mètres** avaient été obtenues en rainures en 1997, ainsi qu'un forage qui avait retourné **4.61 g/t Au sur 8,40 mètres incluant 16,2 g/t Au sur 1,2 m.** Les observations de terrain avaient permis d'affirmer que la minéralisation aurifère rencontrée sur la propriété Payne possède de nombreuses similarités avec des gîtes d'or non-stratiformes associés à des formations de fer connues. Par exemple, les gisements de Musselwhite, McLeod-Cockshutt dans le camp minier de Geraldton en Ontario, Nevoria en Australie et Méliadine dans la province du Nunavut au Canada.

Le programme d'exploration de 1999 était divisé en deux phases : la première phase consistait en un programme de cartographie de détail (au 1:1000) des secteurs Amaruk et Avingaluk et de vérifier l'orientation spatiale, la continuité des structures aurifères découvertes ainsi que, basée sur l'interprétation structurale, et vérifier à l'aide d'échantillonage de rainures différentes zones à fort potentiel aurifère. La deuxième phase consistait en un suivi des résultats obtenus lors de la première phase par une campagne de forage. De plus, un volet de cartographie et de prospection du secteur Amaruk Est (secteur 1998) et Avingaluk Est a été réalisé lors de cette phase.

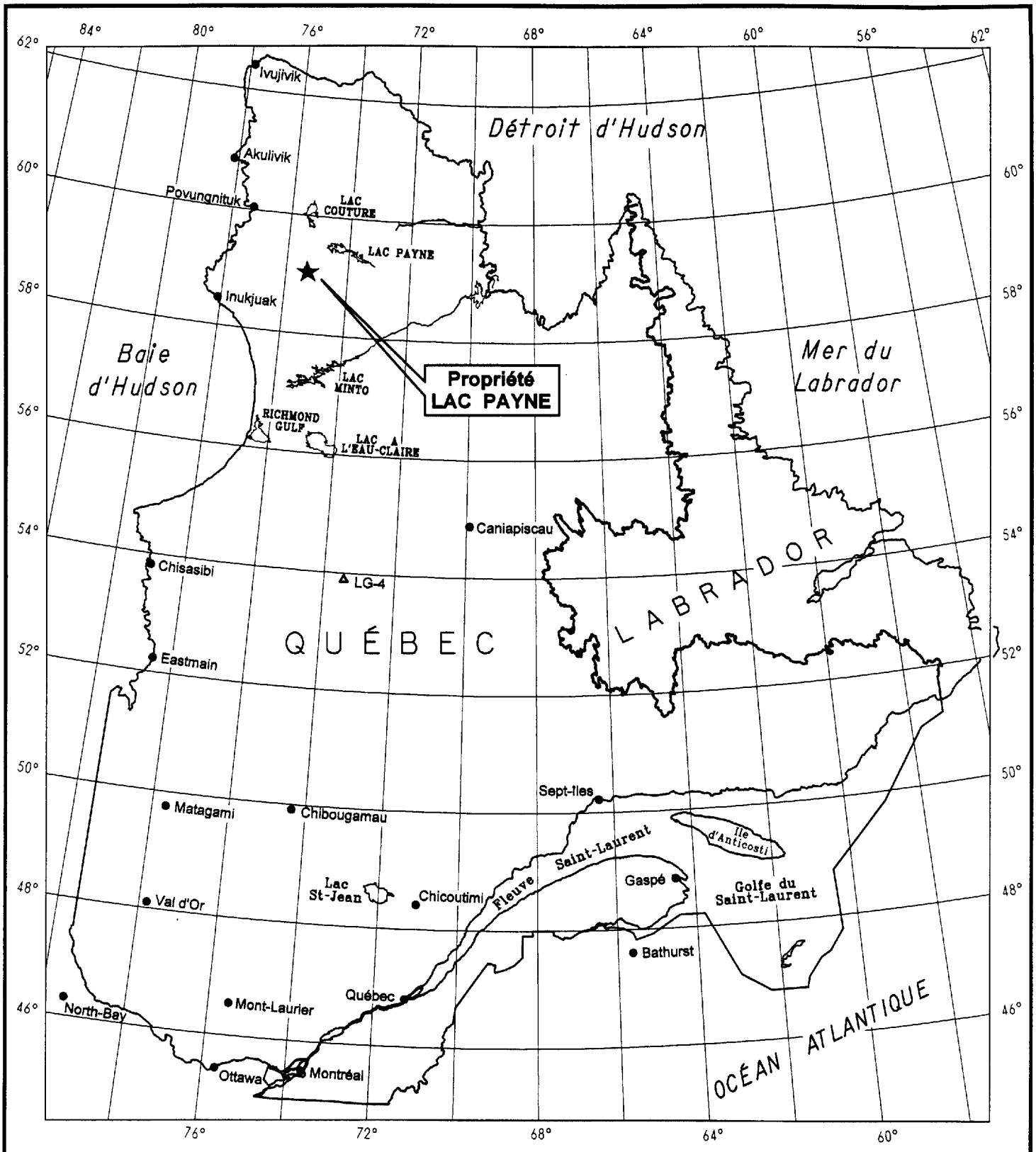
2- PROPRIÉTÉ

2.1- Localisation, accès et droits miniers

Latitude:	59°35' Nord
Longitude:	74°50' Ouest
SNRC:	34 O/ 10
NTS:	6604000 m. N.
	509000 m. E.
Zone:	18

La propriété de PAYNE (1121-2) est située à 160 km au SE du village Inuit de Povungnituk (**figure 1**). Le village est desservi par un port de mer et un aéroport de classe moyenne. La région est localisée dans la zone de permafrost discontinue et nettement au nord de la limite des arbres. Le relief est vallonné et la densité d'affleurement est passable étant donné la présence de dépôts glaciaires (champ kilométrique de blocs erratiques) importants dans certains secteurs.

Ce P.E.M. fait partie d'une entente de partenariat intervenue en 1999 entre SOQUEM INC., Cambiex Inc. et Mines D'Or Virginia Inc.. La **figure 2** présente la localisation du permis de PAYNE tel qu'enregistré au Ministère des Richesses Naturelles du Québec.



CARTE DE LOCALISATION

Projet: LAC PAYNE (11212)

0 200 400 600 800 Km

ÉCHELLE: 1:10,000,000

FIGURE 1

Date: 22-12-99

11212/1999/FIGURE/FIGURE1.DGN

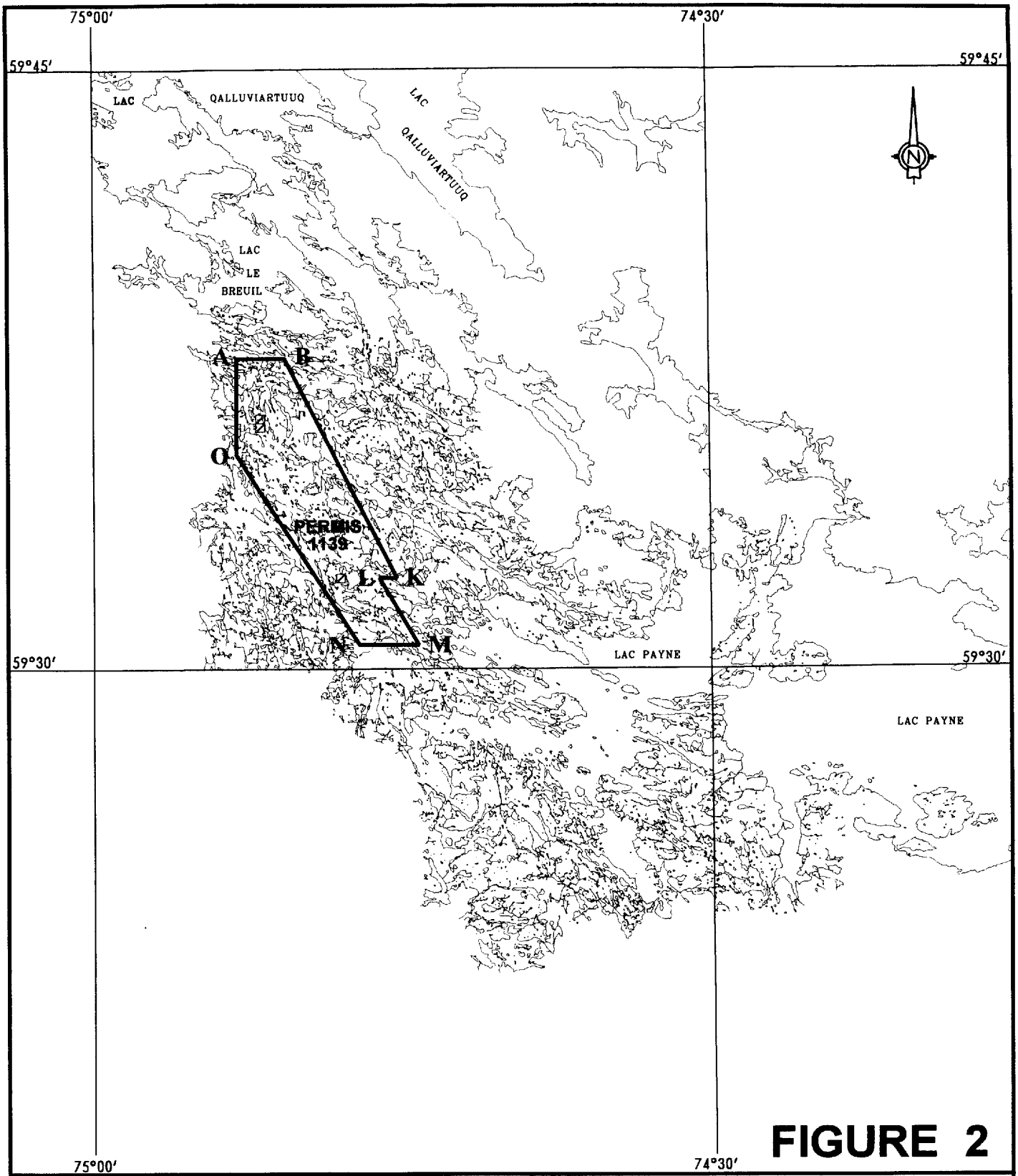


FIGURE 2

PERMIS 1139 (superficie: 46.75 km)		
N.A.D.: 83, ZONE UTM: 18		
SÉQ.	UTM EST	UTM NORD
A	506.600	6.610.208
B	508.800	6.610.208
K	513.900	6.600.011
L	513.099	6.600.008
M	514.899	6.596.908
N	512.200	6.596.908
O	506.600	6.605.708

LOCALISATION DES PERMIS D'EXPLORATION MINIÈRE

PROJET: PAYNE (11212)

Secteur: Lac Payne

Permis: 1139

S.N.R.C.: 34-O/10

Échelle: 1: 250.000 (0 2.5 5 km)

		DATE
Exécuté par:		
Géologie par:		
Dessiné par:	J. Bolduc	07-04-99
Revisé par:	J. Bolduc	01-06-99

N.A.D.: 83 | ZONE: 18 | PLAN NO.:

11212/1999/FIGURE/FIGURE2.DGN

3- TRAVAUX ANTÉRIEURS

3.1- Travaux de cartographie, géophysique et géochimique régionale

Peu de travaux de cartographie ont été réalisés dans le bloc de Minto. La **figure 3** présente les régions cartographiées par les différents intervenants ainsi que les années de leurs publications respectives.

De 1961 à 1963, la Commission géologique du Canada a effectué la première intervention cartographique (1:1 000 000) dans ce secteur (Stevenson 1968)
De 1989 à 1996, la Commission géologique du Canada a effectué des interventions saisonnières principalement dans le centre du bloc de Minto, incluant le secteur du **Lac Payne** (Moorhead 1989 ; Percival *et al* 1992-1997 ; Percival et Card 1994 ; Skulski 1994 ; Stern *et al* 1994 ; Lin *et al* 1995 ; Winsky *et al* 1995 ;)

En 1994, le Ministère des Richesses naturelles du Québec a cartographié la partie sud de la ceinture Dupire (Lamothe 1997)

Du point de vue géophysique, la Commission géologique du Canada a réalisé un levé aéromagnétique de la péninsule de l'Ungava dans les années 1980.

Un levé géochimique de fonds de lac a été réalisé à l'été 1997 sur la péninsule de l'Ungava par le Ministère des Richesses naturelles du Québec. Les données de ce levé d'envergure seront disponibles d'ici peu. De plus, le Ministère prévoit un programme de cartographie régionale au 1:250 000 d'une durée de 5 ans sur tout le territoire de la péninsule. Il s'agit d'une vingtaine (20) de feuillets au 1:250 000.

CARTOGRAPHIE DANS LE GRAND NORD

[BLOC DE MINTO]

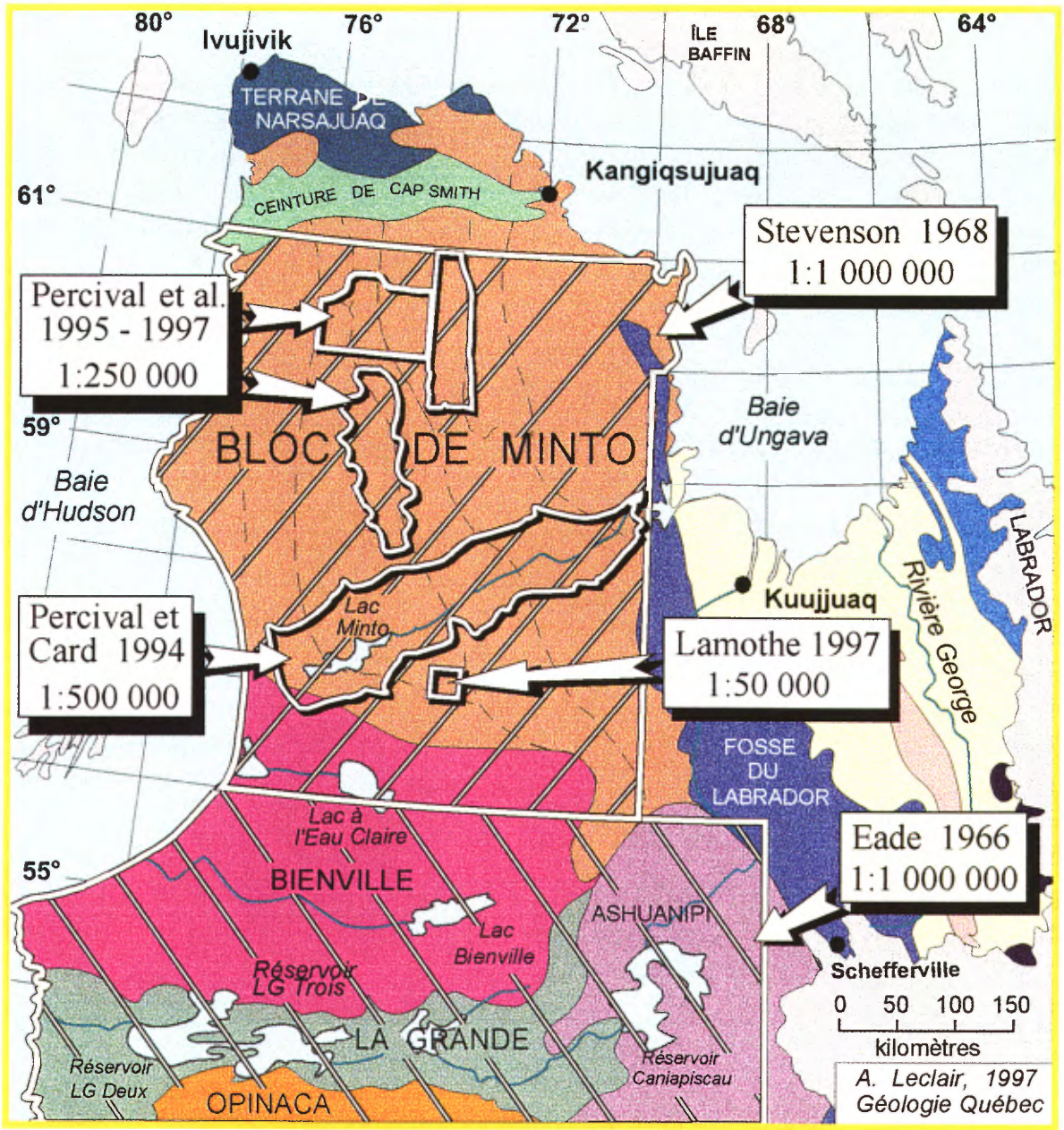


Figure 3

3.2- Travaux d'exploration dans la région du Lac Payne

1993-1994-1995

Les travaux d'exploration ont débuté dans cette région en 1993 par SOQUEM et Cominco Ltée (2 jours), suivis par une brève reconnaissance en 1994 et 1995 (5 et 2 journées respectivement). Un indice aurifère dans le cadre de la campagne de reconnaissance 1995 avait été découvert et avait donné une valeur de 2,5 g/t Au au sein d'une formation de fer.

1996

En 1996, une campagne de prospection et de cartographie héliportée de 10 jours avait permis de confirmer le potentiel aurifère dans le secteur de l'indice découvert en 1995. Au total, 14 échantillons sur les 30 recueillis dans le secteur de l'indice se sont avérés aurifères (supérieurs à 200 ppb), dont trois supérieurs à 3 g/t Au et un à 42 g/t Au. Le secteur échantillonné couvrait une superficie de 400 mètres par 2 kilomètres. De plus, la campagne de terrain de 1996 avait permis d'identifier un secteur (Payne Est) d'altération hydrothermal (perte de sodium, gain en potassium et/ou magnésium) au sein d'unités volcaniques d'affinités tholéitiques juxtaposées à des valeurs anomaliques en cuivre, zinc et argent (Chapdelaine 1996).

1997

En 1997, la campagne de terrain a consisté en échantillonnage de rainures, cartographie de détail (1:5000) et en prospection et cartographie au 1:20 000 de l'ensemble de la propriété. Suite à cette campagne et aux résultats significatifs obtenus, une campagne de forages totalisant 1178 mètres répartis sur 9 sondages a été effectuée.

Les travaux de ce programme d'exploration ont permis de définir un couloir de déformation aurifère sur une distance de plus de 12 kilomètres. Deux secteurs ont fait l'objet de cartographie de détail à l'échelle 1 :5000 : le secteur Tulugak et le secteur Avingaluk. La minéralisation aurifère rencontrée est associée à des formations de fer brêchifiées et altérées par

des zones de cisaillement ductiles subparallèles au grain structural régional. L'altération rencontrée est caractérisée par une intense silicification et une sulfurisation (pyrrhotite, pyrite et arsenopyrite), ainsi que de nombreuses injections de veines discordantes composées de QZ-GR-BO±PY±AB, localement aurifères. Les formations de fer sont généralement à oxydes, mais lorsque les structures aurifères les recoupent, elles s'altèrent en silicates (grunérite) et localement des porphyroblastes d'hornblende sont présents (Cuerrier 1997). Les meilleurs intersections aurifères obtenues en rainures et en forages sont:

En rainures,

- **8.86 g/t Au sur 3,16 mètres incluant 12.39 g/t Au sur 2,10 mètres,**
- **16.14 g/t Au sur 3,30 mètres incluant 21.09 g/t Au sur 2,50 mètres,**
- **14.14 g/t Au (non-coupé), 7.00 g/t Au (coupé) sur 4,9 mètres,**
- **9.89 g/t Au sur 0,90 mètres, et**
- **5.49 g/t Au sur 0,85 mètres.**

En forages,

- **4.61 g/t Au sur 8,40 mètres incluant 16,2 g/t Au sur 1,2 m,**
- **5.28 g/t Au sur 1,30 mètres, et**
- **24.36 g/t Au sur 0,75 mètres.**

1998

Les travaux de 1998 ont consisté principalement en une campagne de reconnaissance et une cartographie de détail au 1:1000 du secteur Avingaluk et Amaruk, ainsi que de cartographie structurale au 1 :100 et 1 :50 de cinq (5) zones aurifères dans le secteur de Amaruk. Ces travaux ont permis de formuler certaines hypothèses quant à la mise en place et le contrôle de la minéralisation aurifère. Premièrement, les zones minéralisées se présentent sous la forme de zones métasomatiques calcosilicatées appelées « skarn ». Ces skarns sont associés à l'apogée du métamorphisme prograde du faciès des amphibolites supérieures. Deuxièmement, l'emplacement des zones de skarns sur la propriété est subparallèle à la formation de fer et essentiellement contrôlé par les zones de charnières et les plans de décollement. Les fabriques structurales ici

nommées sont tout d'abord la présence d'un patron de plis d'interférence de type 1 de Ramsay (dôme et bassin) ou de plis en fourreau, ainsi que la présence de zones de cisaillements N-S auxquels sont associés des plis asymétriques en Z (Chapdelaine 1998).

4- CONTEXTE GÉOLOGIQUE

La propriété de PAYNE (1121-2) se situe dans le bloc de Minto faisant partie de la Province du Supérieur (**figure 4**; Card et Ciesielski 1986). Il se distingue du sud de la Province du Supérieur par son orientation NNO interprétée à partir de cartes aéromagnétiques. Le bloc de Minto peut être divisé en plusieurs domaines. Ces subdivisions sont basées sur leur distinction lithologique et leur caractère structural (Percival *et al.* 1992). Dans chaque domaine des granodiorites à hornblende et pyroxène datées à 2725-2721 Ma (Stern *et al.* 1991) et des granites tardifs sont présents.

De l'ouest vers l'est les domaines sont (**figure 4**; Card et Ciesielski 1986) :

1)Inukjuak, composé de granite avec des enclaves de roches métasédimentaires.

2)Tikkerutuk, consiste en des roches plutoniques avec des âges de 2707-2693 Ma (Percival *et al.* 1992).

3)Lac Minto, contient des roches supracrustales dominées par des sédiments (ceinture de Kogaluk-Tasiat datée à 2760 Ma; Skulski *et al.* 1996, la ceinture Dupire et la ceinture Chavigny) avec des environnements plutoniques calco-alcalin de composition granodioritique (2780, 2725 Ma), granodiorite peralumineux (2725-2696 Ma) et des monzogranites (2690 Ma; Percival *et al.* 1992; Stern *et al.* 1994).

4)Goudalie, caractérisé par des roches tonalitiques (3010-2900 Ma) et la ceinture de roches vertes de Vizien, elle-même composée d'un assemblage de fragments d'arc océanique et continental daté à 2700 Ma (Skulski and Percival, 1996; Lin *et al.* in press).

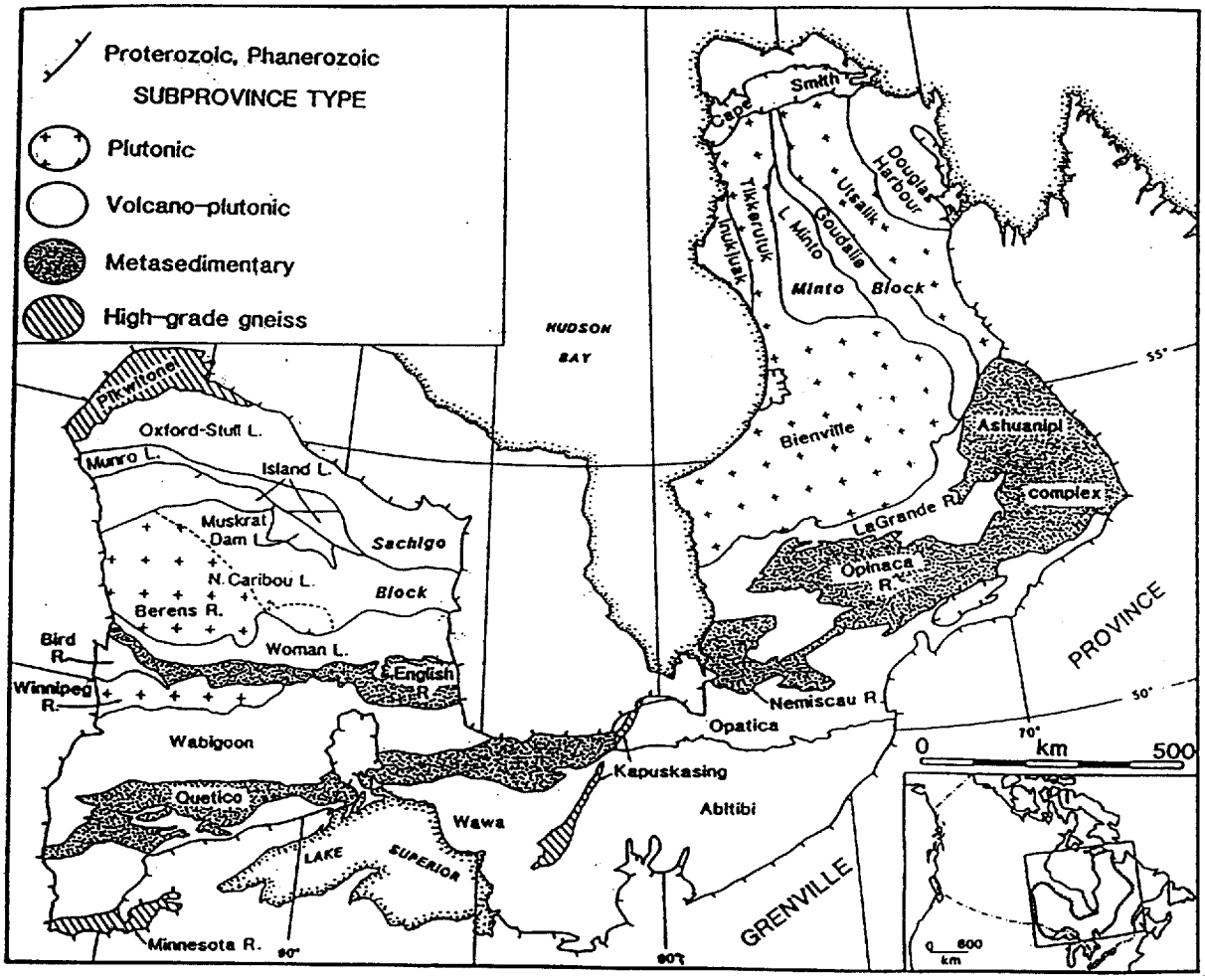


FIGURE 4

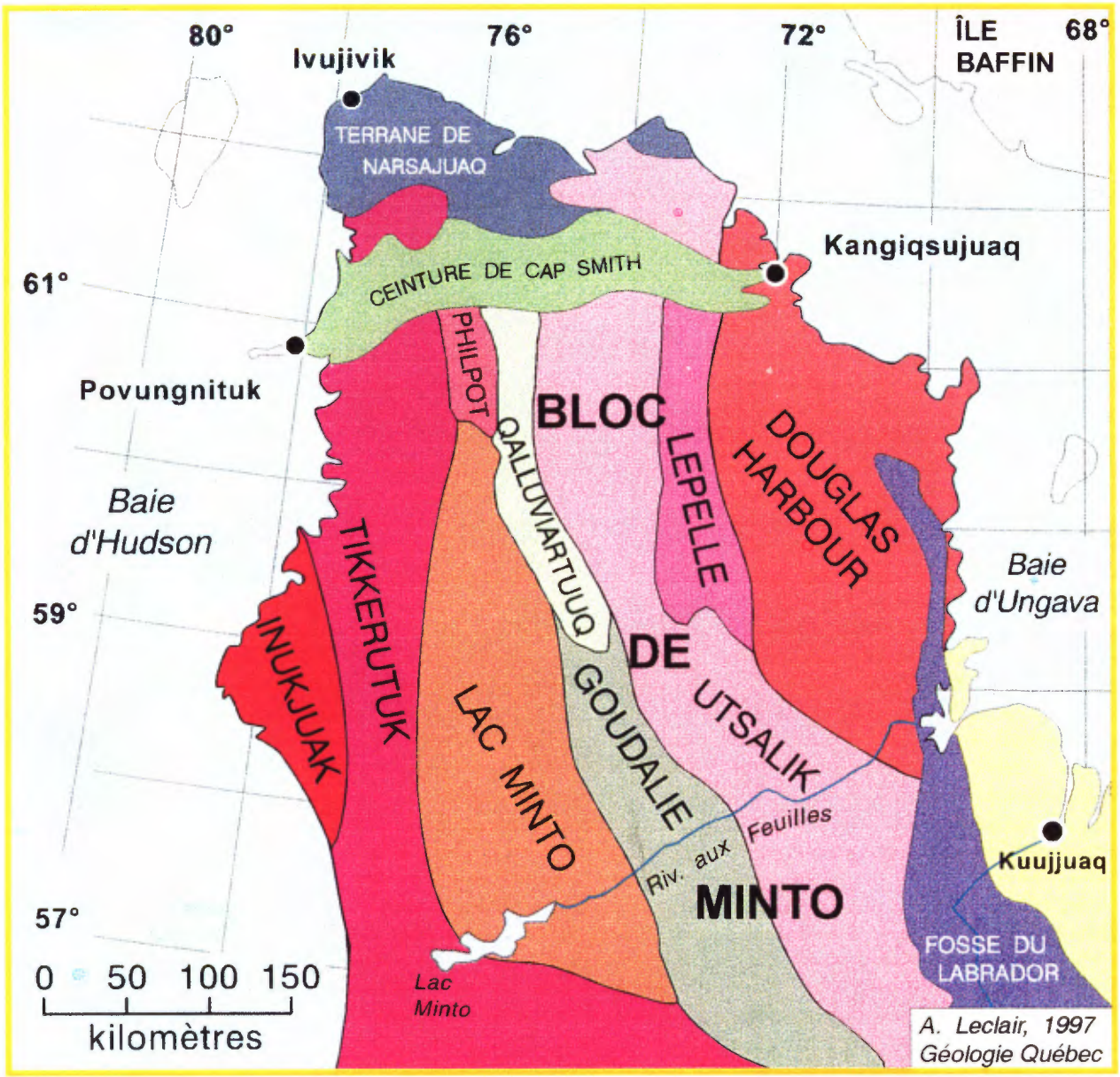
Carte de la Province du Supérieur (Card et Ciesielski 1986)

5)Utsalik, domaine composé de granodiorite et de granite calco-alcaline avec des âges variant entre 2755-2725 Ma, ainsi que la ceinture de roches vertes de Pélican-Nantais de 220 km de longueur qui se compose de roches volcaniques mafiques, intermédiaires et felsiques et de roches sédimentaires peu évoluées, métamorphisées aux faciès des amphibolites et des granulites (Percival *et al.* 1997).

6)Douglas Harbour, fait de roches plutoniques avec des âges variant de 2880-2780 Ma et de deux ceintures Faribault-Leridon espacées de 125 km composées de(Percival *et al.* 1992).

Le patron aéromagnétique suggère une extension vers le nord du domaine de Goudalie, cependant les travaux récents tendent à soupçonner d'autres domaines dans cette partie du bloc de Minto (**figure 5**). Ils s'agit du domaine de Philpot, une région relativement plus jeune (< 2755 Ma) constituée de roches plutoniques gneissiques et du domaine de Qalluviartuuq, une zone possèdant des ceintures de roches vertes (Duquet, Qalluviartuuq) avec des roches volcaniques mafiques d'affinité tholéitique datées entre 2840-2831 Ma (Skulski *et al.* 1996) au sein de roches intrusives (**figure 6**).

La propriété PAYNE fait partie du domaine Lac Minto. Ce domaine est dominé par des intrusions avec des petites bandes de paragneiss migmatitiques sur largeur moyenne de 8 km et s'étend sur plus de 65 km. Elle comprend de minces niveaux de gneiss à hornblende et plagioclase et des formations de fer à oxydes et silicates. Le faciès métamorphique au sein des roches supracrustales du domaine de Lac Minto est au faciès amphibolite supérieur (assemblage de grenat-cordiérite-sillimanite-biotite).



BLOC DE MINTO

DOMAINE DE DOUGLAS HARBOUR

roches plutoniques 2.78-2.88 Ga

COMPLEXE IGNÉE DE LEPELLE

granodiorite à pyroxène

DOMAINE D'UTSALIK

granodiorite et granite 2.72-2.75 Ga
pyroxénite, gabbro et diorite
roches volcano-sédimentaires

DOMAINE DE GOUDALIE

gneiss tonalitique >2.90 Ga
roches vertes de Vizien 2.72 Ga

DOMAINE DE QALLUVIARTUUQ

roches volcano-plutoniques ~ 2.8 Ga

DOMAINE DE PHILPOT

orthogneiss <2.76 Ga

DOMAINE DE TIKKERUTUK

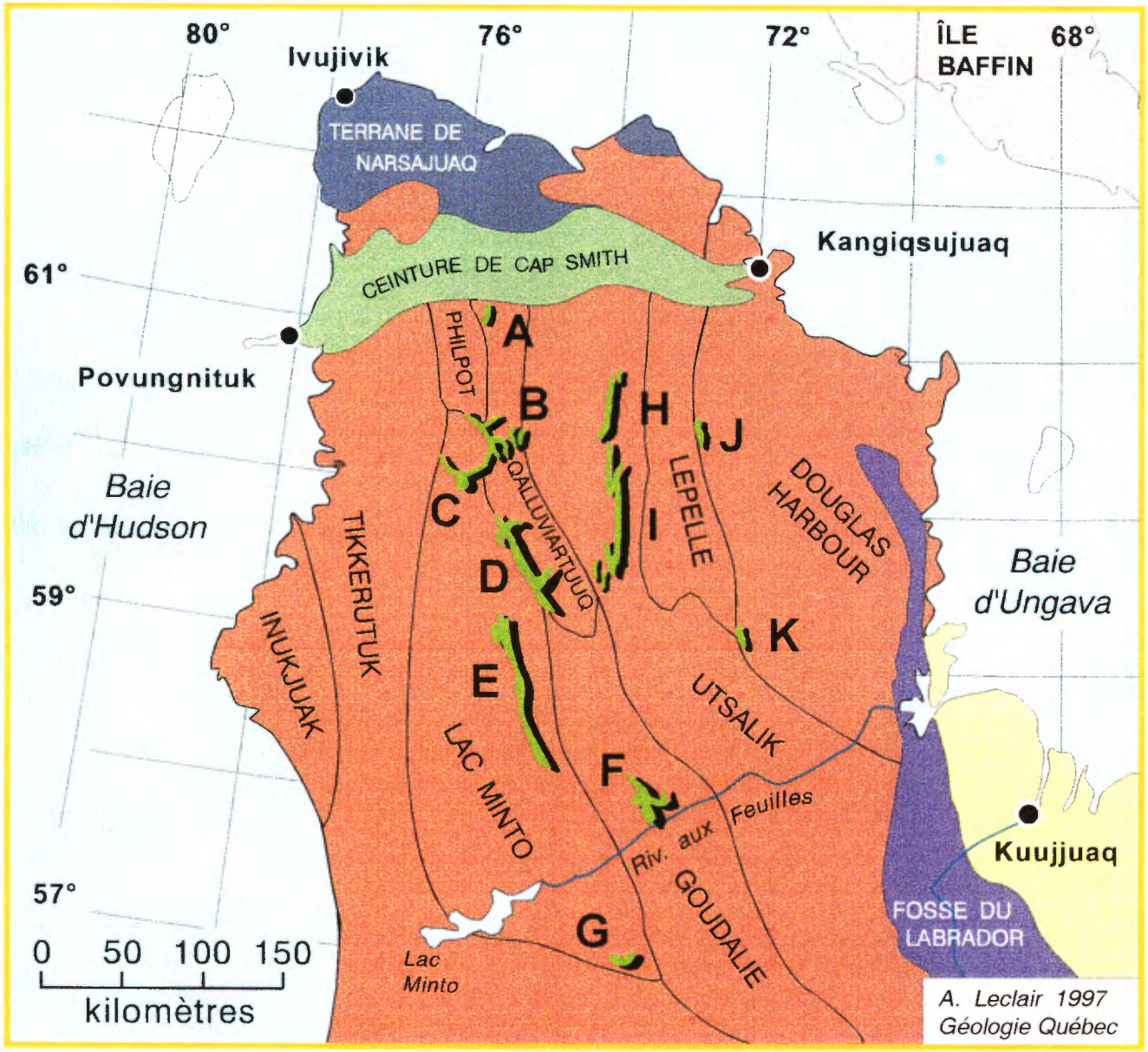
roches plutoniques 2.69-2.70 Ga

DOMAINE D'INUKJUAK

granite avec enclaves de métasédiments

(d'après Percival *et al.*, 1995, 1996, 1997)

FIGURE 5



CEINTURES DE ROCHES VERTES RECONNUES [BLOC DE MINTO]

A	LAC ALLEMAND
B	DUQUET
C	AKUARAALUK
D	QALLUVIARTUUQ
E	KOGALUC
F	VIZIEN
G	DUPIRE
H	NANTAIS
I	PELICAN
J	LERIDON
K	FARIBAULT

(modifié d'après Percival et al., 1996, 1997)

FIGURE 6

5- TRAVAUX EXÉCUTÉS

Les travaux exécutés en 1999 ont été réalisés en 2 phases:

PHASE 1 : Campagne de cartographie et de prospection

PHASE 2: Campagne de forage aux diamants

5.1- Phase 1 : Campagne de cartographie et de prospection

La campagne de cartographie et de prospection a été réalisée entre le 25 juin 1999 et le 01 août 1999, soit un total de 38 jours consécutifs. De ces 38 jours, 5 journées ont été nécessaires à la mobilisation et la démobilisation de l'équipe.

Les travaux réalisés lors de cette phase sont:

- Une cartographie détaillée de deux secteurs (Amaruk et Avingaluk) à l'échelle 1:1000,
- Un échantillonage systématique des formations de fer aux faciès silicatés et/ou sulfurés,
- Décapages à la dynamite et rainures totalisant 182,6 mètres répartis en 24 rainures représentants 196 échantillons.

Lors de ces travaux, un total de 370 échantillons de roche ont été prélevés et analysés pour l'or par pyroanalyse ainsi que pour Be, Na, Mg, Al, P, K, Ca, Sc, Ti, V, Cr, Mn, Fe, Co, Ni, Cu, Zn, As, Sr, Y, Zr, Mo, Ag, Cd, Sn, Sb, Ba, La, W, Pb, Bi par spectométrie d'émission atomique au plasma (ICP) (forfait Au + ICP-80) **(annexe 3).** Toutes ces analyses ont été exécutées par les laboratoires XRAL Laboratories situés à Rouyn-Noranda.

Les travaux de cette phase ont été réalisés en collaboration étroite et efficace par MM. Guy Cuerrier (B. ing. géologue-chef de projet), Dave Fortin (Journalier et dynamiteur), Christian Jalbert (Technicien), docteur Vincent Jourdain (ing. Géologue) de SOQUEM INC. ainsi que docteur Marc Bardoux (géologue) et maître Eric Ramsay (géologue) de Cambiex Inc.

5.2- Phase 2: Campagne de forage aux diamants

L'intervention de l'équipe géologique et technique a été effectuée entre le 01 août et le 19 août 1997. L'intervention de forage de la compagnie Major Dominic Inc. a été réalisée entre le 01 août et le 15 août 1997. Le support héliporté a été assuré par les hélicoptères Canadian (Bell 206L).

1210 mètres de forage répartis dans 17 sondages (11212-9-01 à 17), dont 650.35 mètres ont été analysés (54% de la carotte) pour l'or par pyroanalyse ainsi que pour Be, Na, Mg, Al, P, K, Ca, Sc, Ti, V, Cr, Mn, Fe, Co, Ni, Cu, Zn, As, Sr, Y, Zr, Mo, Ag, Cd, Sn, Sb, Ba, La, W, Pb, Bi par spectométrie d'émission atomique au plasma (ICP) pour un total de 558 échantillons (**annexe 4**). Les données techniques de ces forages sont présentées au **tableau 1**.

TABLEAU 1: Données techniques des sondages

No. Forage	*grille*	*localisation*	*Longueur (mètres)*	*Azimut*	*Inclinaison*	*No. Échan-tillon*	*Longueur échantil-lonnée*
11212-9901	Avingaluk	30+85S 2+96O	86,00	235°	-45°	53	69,50
11212-9902	Avingaluk	31+23S 2+79O	65,00	235°	-45°	41	55,50
11212-9903	Avingaluk	32+14S 1+83O	93,00	055°	-45°	44	57,20
11212-9904	Avingaluk	35+00S 2+15O	95,00	055°	-50°	43	48.35
11212-9905	Avingaluk	31+63S 0+35O	40,50	145°	-45°	18	24,00
11212-9906	Amaruk	9+75S 0+20E	75,00	075°	-55°	36	42,10
11212-9907	Amaruk	10+08S 0+18E	75,00	075°	-45°	35	38,40
11212-9908	Amaruk	9+50S 0+20E	69,00	075°	-55°	34	35,50
11212-9909	Amaruk	12+90S 0+20O	51,00	075°	-50°	17	17,80
11212-9910	Amaruk	13+17S 0+17O	51,00	075°	-50°	23	23,40
11212-9911	Amaruk	12+62S 0+18O	51,00	075°	-50°	21	23,20
11212-9912	Amaruk	20+50S 0+75O	39,00	075°	-50°	12	14,20
11212-9913	Amaruk	20+76S 1+00O	61,50	075°	-45°	31	37,30
11212-9914	Amaruk	7+29S 0+73O	86,00	075°	-50°	33	38,50
11212-9915	Amaruk	7+61S 0+47O	87,00	075°	-50°	35	39,90
11212-9916	Amaruk	10+22S 0+65O	117,00	075°	-45°	47	47,00
11212-9917	Amaruk	20+76S 1+00O	67,00	075°	-63°	35	38,50
total			**1209,00**			**558**	**650,35**

6- RÉSULTATS DES TRAVAUX

La présentation des résultats des travaux est divisée en deux sections: la première section présente les différents travaux effectués ainsi que les résultats obtenus lors du programme de cartographie et de prospection et la deuxième section traite de la campagne de forage.

6.1- PREMIÈRE SECTION: Phase 1 (Cartographie et prospection)

6.1.1) Géologie locale

Les deux secteurs cartographiés à l'échelle 1 :1000, Amaruk et Avingaluk, possèdent de nombreuses similarités. Ils sont constitués majoritairement de paragneiss avec des niveaux pluridécamétriques (~100 mètres) de gneiss à hornblende (métabasalte) et des niveaux plurimétriques (jusqu'à 30 mètres) de formation de fer généralement à oxydes et localement à silicates. Trois niveaux de formations de fer sont présents. Deux niveaux de faible extension ont été observés dont l'un est présent au sein des paragneiss et l'autre se retrouve encaissé dans les métabasaltes. Un troisième niveau beaucoup plus extensif se situe au contact entre les métapélites et les métabasaltes. Ce troisième niveau est de loin le plus important en épaisseur et en extension. Au secteur d'Amaruk, on peut suivre ce niveau sur une distance de 1,5 kilomètres dont l'épaisseur moyenne varie de 3 à 5 mètres et peut atteindre localement, jusqu'à 25 mètres d'épaisseur par un jeu de faille et de plissement. Au secteur d'Avingaluk, ce niveau est continu sur une distance de 1 kilomètre dont l'épaisseur moyenne est d'une vingtaine de mètres (jusqu'à 35 mètres).

6.1.2) Description des lithologies rencontrées

1.1 Paragneiss (M4)

Les gneiss rencontrés sont constitués principalement de paragneiss. Localement, lorsque les paragneiss sont composés de plus de 30% de grenats et/ou d'aluminosilicates, la nomenclature de métapélite a été utilisée. Le litage de ces métasédiments est peu à pas conservé et se distingue par un changement de composition soit graduelle ou franche perpendiculairement à la stratigraphie. Les métasédiments sont composés par ordre décroissant d'abondance de paragneiss à biotite-grenat, paragneiss à hornblende-grenat, gneiss quartzo-feldspathique. Ces unités sont localement migmatisées et elles sont non magnétiques. Les phases présentes sont toutes recristallisées et la texture granoblastique et lépidoblastique domine.

1.1.1 Paragneiss à biotite-grenat (M4 à BO & GR)

Cette unité se compose de 30-50% de quartz-plagioclase, de 30-40% de biotite et de 10-20% de grenat. Localement, l'unité possède jusqu'à 40% de grenat et/ou d'aluminosilicates (essentiellement de la sillimanite). La granulométrie varie de fine à moyenne et l'arrangement spatial des phases possède une texture lépidoblastique et le grenat est généralement porphyroblastique et poeciloblastique. La sillimanite (jusqu'à 40%) est présente essentiellement dans les zones de cisaillement. De la cordiérite est présente localement.

1.1.2 Paragneiss à hornblende-grenat (M1 à HB & GR)

La granulométrie de cette unité varie de fine à moyenne et la texture est nématoblastique. La composition moyenne est de 20 à 30% de plagioclase, 20-30% de quartz, 30 à 40% de hornblende et de 5-20% de grenat. Des bandes de grenat jusqu'à 50% peuvent être présentes. La présence de sillimanite est locale et associée à des zones de cisaillement.

1.1.3 Gneiss quartzo-feldspathique (M5)

Cette appellation a été donnée aux métasédiments contenant moins de 20% de minéraux mafiques. La granulométrie de ces roches varie de fine à moyenne et la texture est granoblastique et localement nématoblastique. Elle se compose en moyenne de 30-60% plagioclase, 15-30% quartz et de 5-15% de biotite. Des traces de grenat et de hornblende sont aussi présentes.

1.2 Paraschiste (M10)

Cette unité se retrouve surtout près de zones de cisaillement et possède une texture lépidoblastique très bien développée. La biotite est le principal minéral et compose de 85-95% la roche. Des porphyroblastes de grenat généralement idioblastiques sont présents à 5-15% et varient de granulométrie de fine à grossière. Du quartz-plagioclase interstitiel peut aussi se retrouver dans cette unité.

1.3 Gneiss à hornblende et plagioclase (M1 à Hb et Pg)

Cette unité de granulométrie variant entre fine et moyenne est composée de hornblende(40-60%), de plagioclase(30-50%), de quartz(3-10%), de biotite et de grenat de trace à 10%. Localement, cette lithologie contient plus de 80% de minéraux mafiques (hornblende) et la nomenclature d'amphibolite a été utilisée. La texture est nématoblastique.

1.4 Formations de fer

Les formations de fer se retrouvent localement dans les paragneiss, le gneiss à hornblende et plagioclase et généralement au contact entre ces deux unités. Elles possèdent des épaisseurs variant entre 0.3 et 40 mètres. Trois façiès de formations de fer ont été rencontrés, par ordre d'abondance, il s'agit du façiès à oxydes, à silicates et à sulfures. Un passage graduel stratoïde de l'une à l'autre peut s'effectuer c.a.d. que localement, la formation de fer passe de oxydes à silicates et/ou à sulfures soit latéralement ou perpendiculairement à la stratigraphie. Ces roches contiennent la plupart des indices aurifères.

1.4.1 Formations de fer à oxydes (S9B)

Cette lithologie est la plus répandue et est constituée d'une alternance de lits millimétriques à centimétriques (2-3 cm maximun) composés de magnétite et de chert. Les bandes d'oxydes peuvent contenir jusqu'à 30% de grunérite et/ou de hornblende. Les bandes de chert sont recristallisées et le quartz possède une granulométrie moyenne à grossière et une texture granoblastique avec de nombreux points triples observables mégascopiquements. Les lits sont localement plissés. Les plis observés sont serrés à isoclinaux. L'épaisseur de cette unité varie de 2 mètres à plus de 40 mètres. La signature magnétique exceptionnelle de cette unité est un bon guide permettant de la localiser facilement avec les levés magnétiques, et de modéliser ainsi le patron structural. Ce façiès de formation de fer n'est généralement pas minéralisé.

1.4.2 Formations de fer silicatées (S9D)

Cette lithologie se distingue de celle à oxydes par une plus faible quantité de magnétite (<30%) au détriment de l'hornblende et de la grunérite. Le rubanement est relativement moins continu et régulier et localement des porphyroblastes d'hornblende et/ou de grunérite (jusqu'à 2 cm) sont présents. La granulométrie varie de moyenne à grossière et l'arrangement spatial des phases présente une texture granoblastique. Les minéralisations aurifères rencontrées proviennent généralement de ce façiès.

1.4.3. Formations de fer sulfurées (S9E)

Ce façiès n'apparaît que localement et il est constitué d'une alternance de lamines riches en pyrhotite (<50%) et des bandes de chert. Ce façiès est généralement anomal en or.

6.1.3) Géologie structurale

(collaboration orale avec Marc Bardoux, Michel Chapdelaine, Vincent Jourdain et Eric Ramsay)

6.1.3 a) Secteur Amaruk

Le secteur Amaruk représente un lambeau de roche supracrustale de 2 à 2,5 kilomètres de longueur possèdant une orientation NNO. Ce secteur possède dans sa partie sud un pli synforme (entre L20S et L21S) plongeant modérément (55°) vers le NNO et au nord un pli synforme (entre L6S et L7S) plongeant modérément (60°) vers le SSE. Ces deux synformes au regard structural opposé délimitent un bassin déversé vers l'ouest de 1,5 kilomètres de longueur dans lequel nous retrouvons les formations de fer. Ce bassin est *déchiqueté* par de nombreuses failles de décrochements dont une majeure se situe entre la ligne 7S et la ligne 19S à l'ouest de la ligne de base (**figure 7).**

Les épisodes de déformation impliqués dans ce patron structurale sont les suivants :

1. Le premier épisode de déformation (D1) consiste en des reliques de plis isoclinaux que l'on observe au sein de la formation de fer.

2. Le deuxième épisode de déformation (D2) est responsable du plissement en forme de dôme et bassin (P2) et de fabrique planaire cisaillante (C2). Il est à noter que ce type de plissement (P2) est discriminé des autres plis observés par le fait qu'il affecte la schistosité régionale c.a.d. que la schistosité régionale est plissée. La fabrique planaire cisaillante (C2) est discrimé des fabriques planaires (C3) par le fait qu'elle est affectée par la dernière phase de plissement.

3. Le troisième épisode de déformation (D3) est une fabrique planaire NNO cisaillante dans le plan de la schistosité régionale. Elle se caractérise par des failles à mouvement inverse-dextre (avec un rejet de 65° horaire) créant, dans le plan horizontal, des plis asymétriques en forme de Z. Ces failles démembrent la formation de fer de sorte qu'il devient pratiquement impossible de suivre une unité de part et d'autre d'une charnière de plis P2 (photo).

Localement, on remarque des shear bands (ECC) d'orientation NNE boudinant la formation de fer associés à

Microfilm

PAGE DE DIMENSION HORS STANDARD

MICROFILMÉE SUR 35 MM ET

POSITIONNÉE À LA SUITE DES

PRÉSENTES PAGES STANDARDS

Numérique

PAGE DE DIMENSION HORS STANDARD

NUMÉRISÉE ET POSITIONNÉE À LA

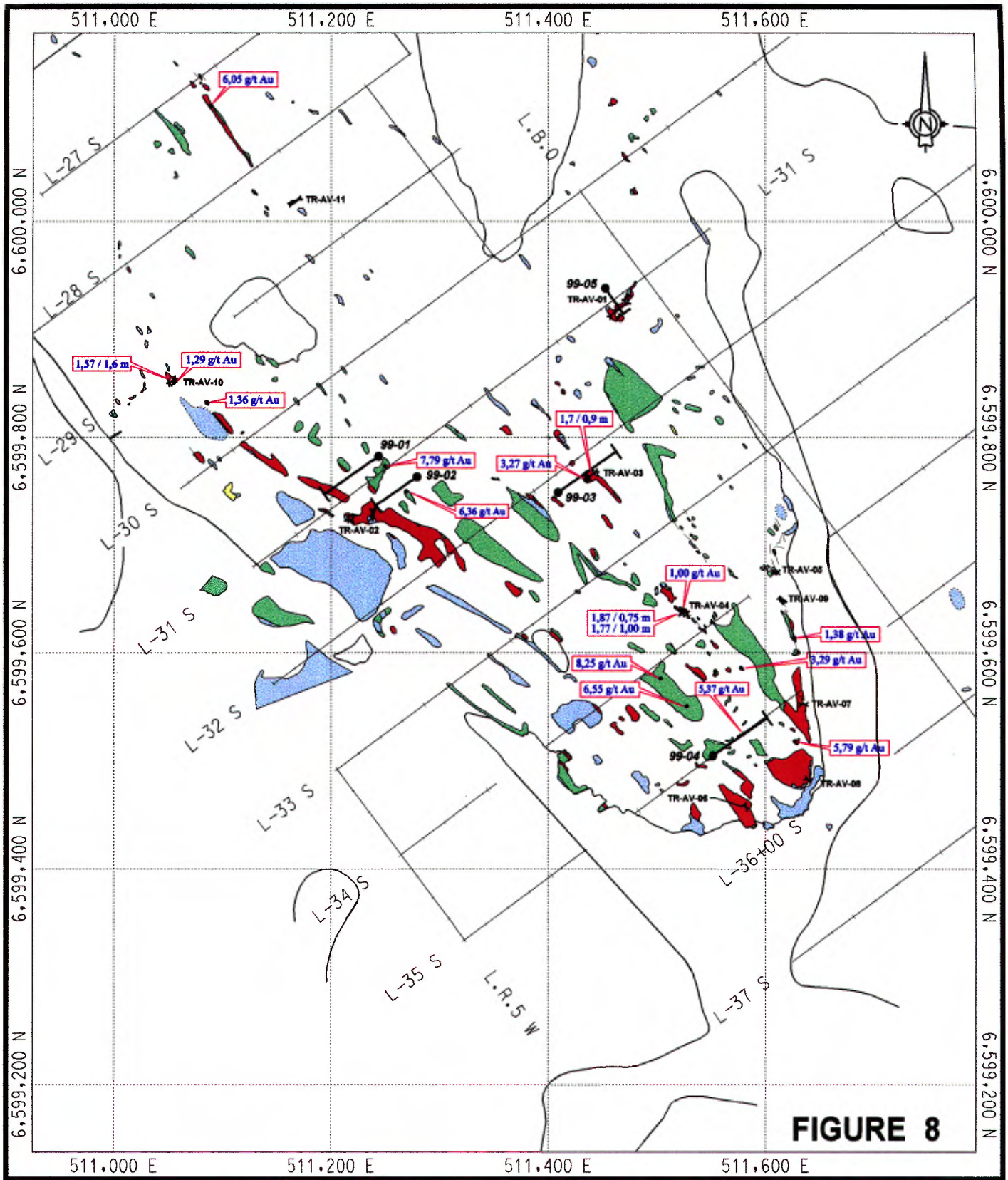
SUITE DES PRÉSENTES PAGES STANDARDS

cette troisième épisode de déformation. De plus, elle est responsable de zones d'épaississement au sein de la formation de fer (**figure 7**). Cette dernière caractéristique sera traitée en détail au chapitre 7. Interprétation des résultats.

La cartographie effectuée au secteur Amaruk est a permis d'observer les mêmes caractéristiques structurales que le secteur Amaruk.

6.1.3 a) Secteur Avingaluk

En comparant les deux secteurs couverts par la cartographie de détail au 1 :1000, on constate que le secteur Amaruk est relativement plus déformé que le secteur Avingaluk. Les données structurales prélevées démontrent que la dernière épisode de déformation (D3), qui est caractérisée par des failles NNO à mouvement inverse-dextre au secteur Amaruk est pratiquement absente au secteur d'Avingaluk. En fait, la schistosité régionale (S2) possède une attitude NO, ainsi que le plan axial (P2). Un pli régional synforme (P2) est présent à la hauteur de la ligne 35 sud à l'ouest de la ligne de base (**figure 8**) avec une plongée de 40° vers le nord. Il est à noter que ce pli (P2) est discriminé des autres plis observés par le fait qu'il affecte la schistosité régionale c.a.d. que la schistosité régionale est plissée. Localement, il est possible d'observer des plis P1. Dans ce cas, un patron en dômes et bassins est observable.



FORMATION DE FER

MÉTAVOLCANITE

MÉTASÉDIMENT

PEGMATITE

ULTRAMAFIQUE
(pyroxénite, serpentinite)

GÉOLOGIE ET VALEURS (Au)

PROJET:	PAYNE (11212)	Exécuté par:	DATE
Secteur:	"AVIGNALUK"	Géologie par:	G. Cuerrier 09-99
Permis:	1139	Dessiné par:	J. Bolduc 20-12-99
S.N.R.C.:	34 O/10	Revisé par:	G. Cuerrier 23-12-99

Échelle: 1:5,000 (0 50 100 150 m)

N.A.D.: 27 | ZONE: 18 | PLAN NO.:

e:\11212\1999\AVIGALUK\FIGURE\FIGURE.dgn Réf.:

6.1.4) Minéralisation

Les valeurs aurifères obtenues en 1997, 1998 et 1999 sont présentées à la **figure 7** pour le secteur Amaruk, à la **figure 8** pour le secteur Avingaluk ainsi qu'à la **figure 9** pour le secteur Amaruk Est (secteur 1998).

La minéralisation aurifère rencontrée se retrouve généralement au sein de formations de fer et/ou au contact de celles-ci avec l'unité stratigraphique juxtaposée ainsi que, localement, au sein de gneiss à hornblende et plagioclase (métabasalte).

La formation de fer aurifère est généralement aux faciès silicatés et sulfurés. La **figure 10** montre l'étroite association entre les valeurs aurifères et les formations de fer aux faciès silicatés et sulfurés. Il est important de noter que ces faciès ne sont pas toujours aurifères. Nous traiterons de ce fait dans la discussion. Comme décrits en 1997 et 1998 (Cuerrier 1997 et Chapdelaine 1998) ces faciès résultent d'un remplacement métasomatique de la formation de fer à oxydes par un fluide métamorphique. Le terme de skarn (Einaudi et al., 1981) a été utilisé en 1998 (Chapdelaine 1998) pour décrire ces faciès silicatés et sulfurés. Les travaux de 1997, ainsi qu'une étude pétrographique avaient permis de montrer l'étroite association entre l'or et les sulfures (Cuerrier 1997). Pour une description détaillée des zones aurifères voir Cuerrier 1997 et Chapdelaine 1998.

Les zones aurifères au sein du gneiss à hornblende et plagioclase sont associées à des zones de cisaillements centimétriques à métriques caractérisées par une intense silicification et une légère carbonatisation minéralisées en pyrrhotine, pyrite et arsenopyrite (3-5%).

La minéralisation aurifère semble être contrôlée par le dernier épisode de déformation (D3). Le fuide aurifère percole le long des failles à mouvement inverse-dextre (voir chapitre 7. Interprétation des résultats) et dans les shear bands qui se développent au sein et/ou aux contacts de la formation de fer (**figure 7**).

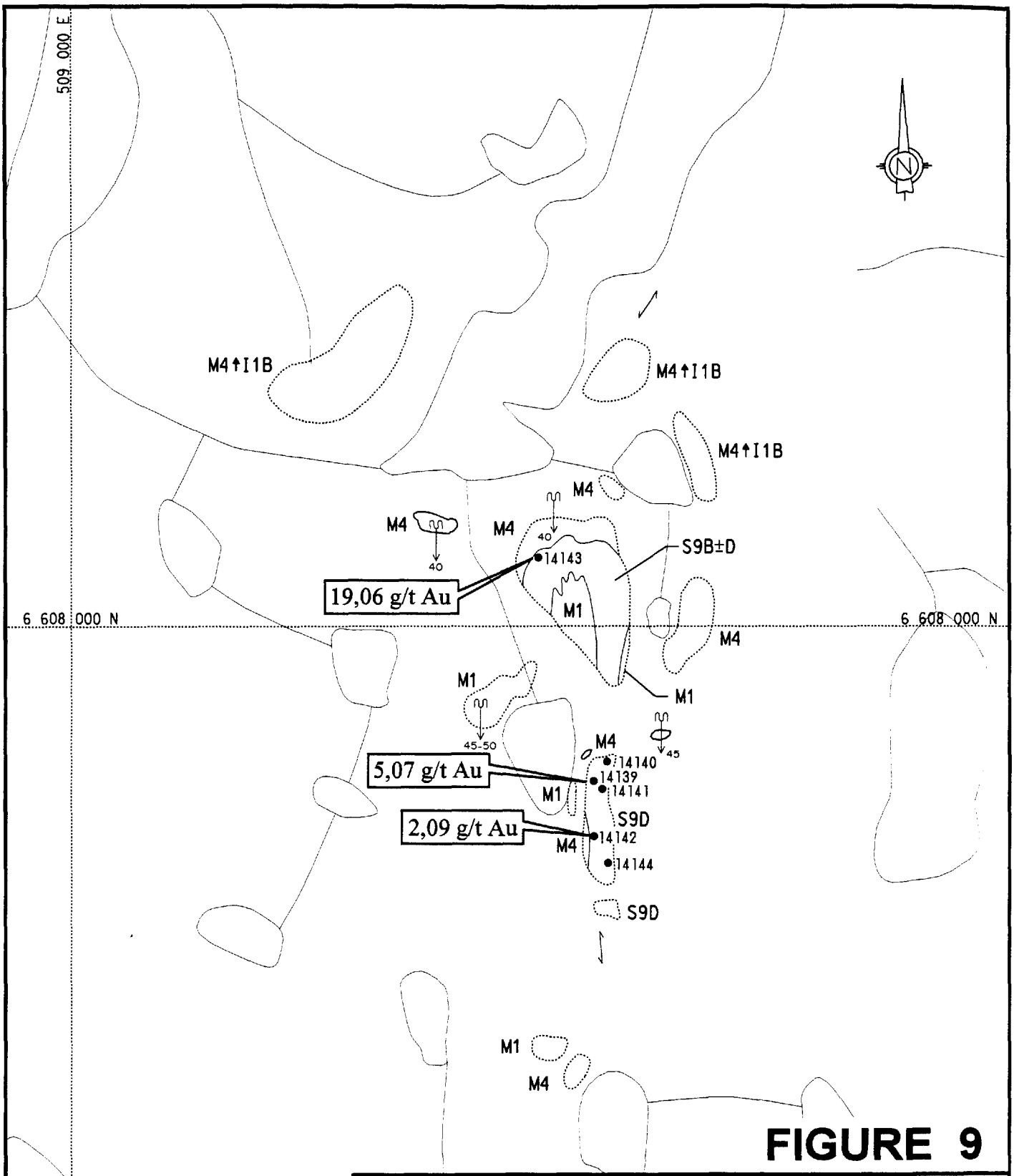


FIGURE 9

GÉOLOGIE ET VALEURS (Au)

PROJET: PAYNE (11212)		Exécuté par:	DATE
Secteur: AMARUK (Est)		Géologie par:	
Permis: 1139		Dessiné par: J. Bolduc	15-12-99
S.N.R.C.: 34 O/10		Revisé par: G. Cuerrier	15-12-99
Échelle: 1:5,000	0 50 100 150 m	N.A.D.: 27 ZONE: 18	PLAN NO.:

e:\11212\1999\AMARUK\FIGURE\FIGURE9.dgn Réf.:

Microfilm

PAGE DE DIMENSION HORS STANDARD

MICROFILMÉE SUR 35 MM ET

POSITIONNÉE À LA SUITE DES

PRÉSENTES PAGES STANDARDS

Numérique

PAGE DE DIMENSION HORS STANDARD

NUMÉRISÉE ET POSITIONNÉE À LA

SUITE DES PRÉSENTES PAGES STANDARDS

Un total de 14 échantillons avait été analysé par "Metallic seave" en 1997. Ces analyses, avaient démontré que l'or présent sur la propriété PAYNE est grossier. Cette année, plusieurs échantillons ont été réanalysés par un autre laboratoire pour vérifier la précision des résultats. De plus, des standards ont été insérés au sein des échantillons. Le tableau 2 montre ces résultats d'analyses.

Tableau 2 : Vérification de la précision des résultats d'analyses

Échantillons	Xral Au (g/t)	Chimitec Au (ppb)	Standard Au (g/t)	Pulpe 1997 (analysé par Chimitec)
14014	163 ppb	158		
14015	87 ppb	225		
14016	100 ppb	109		
14050	8,74		8,56 ± 0,25	
14111	10,8			15,22 (gravimétrique) 10,34 (metallicseave)
14168	4,25			3,91
14217	1.06			2,19
14232	2,13			1,3
14255	44 ppb	45		
14256	200 ppb	182		
14257	48 ppb	40		
14386	15,84			14,71 (gravimétrique) 15,98 (metallicseave)
13639	1,65		1,4	
13711	17,97		17,0 ± 0,3	
13823	26,64			83,0 (gravimétrique) 84,26 (metallicseave)
13964	10,83			17,55 (gravimétrique) 15,67 (metallicseave)
16553	7,13			24,25 (gravimétrique) 9,88 (metallicseave)

6.2- DEUXIÈME SECTION: Phase 2 (Forage)

Les descriptions géologiques et les résultats d'analyses pour le programme de sondages sont présentés dans les journaux de forages à l'**annexe 1**. Les rapports d'analyses du laboratoire sont présentés à l'**annexe 4** et les principales intersections aurifères (Au>1 g/t) se retrouvent dans le **tableau 3**. La localisation des sondages du secteur Amaruk (carte 44-05) et du secteur Avingaluk (carte 44-06) est présentée à l'échelle 1:2500 et des sections transversales de forage à l'échelle 1:500 sont aussi disponibles avec les principaux résultats obtenus sur des cartes en pochette.

TABLEAU 3

Principaux résultats des forages

AVINGALUK

FORAGE	COORDONNÉES	Az	Incl.	Prof (m)	Cibles	Résultats
11212-9901	L30+92S ; 2+93W	235°	-45°	86	Structure aurifère dans M1 et contact entre les métasédiments et la formation de fer ayant retourné en rainure **2,7 g/t sur 4,9 mètres.**	16.7 à 17.2 m; **3.12 g/t Au** dans M1, Si+++ 36.8 à 38 m; **2.20 g/t Au** dans S9D, Si+++, Po(30%), Py (4%) 60.9 à 61.6 m; **1.72 g/t Au** dans S9D, As(3%), Po (5-8%) et Py (tr) 63,6 à 66 m; **1,95 g/t Au sur 2,4 m** au contact avec M4, Si+++ avec injection de M15, As (3-5%), Po (3%), Py (2%)
11212-9902	L31+17S;2+76W	235°	-45°	65	Idems	19,15 à 20,15 m; **628 ppb Au** dans M1, Si+++ 47,0 à 48,1 m; **926 ppb Au** dans M1, Si+++ 54.1 à 54.8 m; **1.03 g/t Au** dans S9D, Si+ avec Po (15%)
11212-9903	L32+20S :1+10W	235°	-45°	93	TR-AV-03 et cisaillement de plan axial	80.6 à 81.8 m; **1.12 g/t Au** dans M1, Si++, Py, Po, As (4%)
11212-9904	L35+00S :2+15W	055°	-50°	95	Cisaillement de plan axial dans culmination antiforme	5.5 à 6.35 m; **1.82 g/t Au** dans M1, Si+++, Py, Po (2%)
11212-9905	L31+63S :0+35E	145°	-45°	41	Charnière antiforme : 2 éch. : **25 g/t et 3 g/t Au**	17.6 à 18.1 m; **713 ppb Au** dans skarn au contact entre M4 et S9

AMARUK

FORAGE	COORDONNÉES	Az	Incl.	Prof (m)	Cibles	Résultats
11212-9906	L9+75S ; 0+20E	075°	-55°	75	Faille dans S9 aurifère (11212-97-06; **4,61 g/t Au sur 8,4 m dont 16,2 g/t Au sur 1,2 m**) à 25m vertical et possibilité S9 au contact M4-M1.	4 à 5 m; **1,53 g/t Au** dans M1, Si++, 2% SF 24,1 à 30 m; **6,36 g/t Au sur 5,9 m dont 17,27 g/t Au sur 1,2 m** dans S9 faillée et minéralisée
11212-9907	L10+08S; 0+18E	075°	-45°	75	Faille dans S9 aurifère (11212-97-06; **4,61 g/t Au sur 8,4 m dont 16,2 g/t Au sur 1,2 m**) à 25m vertical et possibilité S9 au contact M4-M1.	7,5 à 9,0 m; **509 ppb Au sur 1,5 m** dans M1, Si+++, 2% SF 25 à 27 m; **3,2 g/t Au sur 2 m** dans M1 Si++, 4% SF

FORAGE	COORDONNÉES	Az	Incl.	Prof (m)	Cibles	Résultats
11212-9908	L9+50S; 0+20E	075°	-55°	69	Faille dans S9 aurifère (11212-97-06; **4,61 g/t Au sur 8,4 m dont 16,2 g/t Au sur 1,2 m)** à 25m vertical et possibilité S9 au contact M4-M1.	12,3 à 12,8 m; **891 ppb Au sur 0,5 m** dans M1, Si++, 4% SF 21,5 à 22,8 m; **960 ppb sur 1,3 m** au contact entre M1 et S9, Si++, 1% SF 24 à 25,5 m; **788 ppb Au sur 1,5 m** dans S9D Si+++, 4% SF 35,3 à 35,9 m; **508 ppb Au sur 0,6 m** dans injection de skarn localement minéralisée
11212-9909	L12+90S; 0+20W	075°	-50°	51	Faille inverse à mvt apparent dextre aurifère découpant S9 (copeaux) entre TR-97-01 et 02; **8,86 g/t Au sur 3,15 m et 7 g/t Au sur 4,9 m (coupé)** respectivement.	35,1 à 36,1 m; **1,1 g/t Au sur 1 m** au contact S9-M1, Si+++, 3% SF 38,9 à 39,4 m; **2,08 g/t Au sur 0,5 m** au contact entre S9-M4, Si+++, 5-8% SF
11212-9910	L13+17S; 0+17W	075°	-50°	51	Faille inverse à mvt apparent dextre aurifère découpant S9 (copeaux) entre TR-97-01 et 02; **8,86 g/t Au sur 3,15 m et 7 g/t Au sur 4,9 m (coupé)** respectivement.	36,3 à 36,95 m; **1,6 g/t Au sur 0,65 m** dans S9D injectée de skarn localement minéralisée 37,6 à 38,55 m; **1,3 g/t Au sur 0,95 m** dans S9D injectée de skarn localement minéralisée
11212-9911	L12+62S; 0+18W	075°	-50°	51	Faille inverse à mvt apparent dextre aurifère découpant S9 (copeaux) entre TR-97-01 et 02; **8,86 g/t Au sur 3,15 m et 7 g/t Au sur 4,9 m (coupé)** respectivement.	40,2 à 41,5 m; **1,07 g/t Au sur 1,3 m** dans S9D injectée de skarn localement minéralisée 41,8 à 44 m; **1,1 g/t Au sur 2,2 m** dans S9D Si+++, avec localement 2% SF
11212-9912	L20+50S; 0+75W	075°	-50°	39	Flanc est du pli au sud d'Amaruk **(12.75 g/t Au sur 0.8 mètres)**	31,5 à 32,1 m; **0,94 g/t Au sur 0,6 m** dans S9B injectée de skarn localement minéralisée
11212-9913	L20+76S; 1+00W	075°	-45°	61.5	Cisaillement dans charnière de pli **(10 g/t sur 0.9 mètres)**	24 à 25,5 m; **1,12 g/t Au sur 1,5 m** dans M1 Si+++, 2% SF 30 à 31,4 m; **544 ppb Au sur 1,4 m** au contact entre M1 et S9
11212-9914	L7+29S ; 0+73W	075°	-50°	86	Faille aurifère produisant copeaux de S9B-D Éch. : 14259; **25 g/t Au**	
11212-9915	L7+61S; 0+47W	075°	-50°	87	Faille aurifère produisant copeaux de S9B-D Éch. : 14259; **25 g/t Au**	8,5 à 11 m; **721 ppb Au sur 2,5 m** dans S9 faillée et localement minéralisée, 2% SF 40,8 à 41,6 m; **841 ppb Au sur 0,8 m** dans M1, Si+++, 3% SF

FORAGE	COORDONNÉES	Az	Incl.	Prof (m)	Cibles	Résultats
11212-9916	L10+22S; 0+65W	075°	-45°	117	Faille aurifère de l'Ouest (TR-97-04; **16,14 g/t Au sur 3,3 m**) et S9D du flanc est à 50 mètres au sud du trou 11212-9706 **(4,61 g/t Au sur 8,4 m dont 8,23 g/t Au sur 3,4 m)** et à 70 mètres verticale	12,3 à 13,1 m; **1,15 g/t Au sur 0,8 m** dans S9D faillée et minéralisée 20,8 à 22,1 m; **2,93 g/t Au sur 1,3 m** dans M4 faillé avec fragments de S9 46,4 à 47,1 m; **3,17 g/t Au sur 0,7 m** dans M1 Si+++ minéralisée (5% de sulfures) 64,65 à 65,55 m; **1,12 g/t Au sur 0,9 m** dans M1, Si+++ avec 4% de sulfures 71,1 à 72 m; **1 g/t Au sur 0,9 m** dans M1 Si+++ avec 4% de sulfures 91,7 à 93,4; **2,18 g/t Au sur 1,7 m** dans M1 Si+++ avec 3% de sulfures
11212-9917	L20+76S; 1+00W	075°	-63°	67	Cisaillement dans charnière de **pli (10 g/t sur 0.9 mètres)**	17,3 à 19,5 m; **548 ppb Au sur 2,2 m** dans S9 injecté de skarn localement minéralisé 29,3 à 31 m; **781 ppb Au sur 1,7 m** dans S9B Si+++ avec injection de skarn, Po, Py (5%) 32 à 33 m; **1,95 g/t Au sur 1 m** dans zone de culmination montrant une alternace M1-S9 légèrement minéralisée en Py, Po 37,4 à 39,55 m; **2,5 g/t Au sur 2,15 m** dans S9B Si+++ injectée de skarn localement minéralisé

La campagne de forage s'est effectuée entre le 01 et le 15 août pour un total de 1210 mètres répartis en 17 sondages. Les objectifs de ce programme étaient de vérifier l'orientation spatiale et la continuité des structures aurifères découvertes en surface et de, basée sur l'interprétation structurale, vérifier des zones à fort potentiel aurifères mais qui n'affleurent pas.

La majorité des zones aurifères qui ont été intersectées (voir le tableau suivant) possèdent des teneurs et des largeurs insuffisantes pour un projet tel que PAYNE, cependant il reste un secteur possédant un potentiel fort intéressant. Il s'agit du secteur AMARUK dans sa partie Nord dont les forages 11212-99-06 (**6,36 g/t Au sur 5,9 m dont 17,27 g/t Au sur 1,2m**), 11212-97-06 (**5.28 g/t Au sur 1,30 mètres et 4,61 g/t Au sur 8,4 m dont 8,23 g/t Au sur 3,4 m**) et 11212-97-04 (**24.36 g/t Au sur 0,75 mètres**) délimitent une zone de 100 mètres par 50 mètres non fermée en profondeur et vers le nord.

6.2.1) Résumé des sondages

SECTEUR AVIGNALUK

Sondages 11212-99-01

Résumé:

0-3,0 m		**Mort Terrain**
3,0-28,65 m		**Gneiss à hornblende et plagioclase silicifié et minéralisé**
	16,7-17,2 m	**3,12 g/t Au sur 0,5 mètres** associés à une silicification intense et à une légère carbonatisation minéralisée en As;3%,Py ;3%, Po;2% dans les épontes d'une veine de quartz de 30 cm d'épaisseur.
28,65-66,0 m		**Formation de fer à oxydes et silicates**
	36,8-38,0 m	**2,2 g/t Au sur 1,2 mètres** associés à une silicification intense avec porphyroblastes de grunérite et amas de magnétite centimétrique (Po;30%, Py;4%, As;trace)
	60,9-61,6 m	**1,72 g/t Au sur 0,7 mètres** dans formation de fer à silicates minéralisée en Po(5-8%), As(3%) et Py(trace).
	63,6-66,0 m	**1,95 g/t Au sur 2,4 mètres** dans formation de fer à silicates injectée de skarn minéralisé en As(3-5%), Po(3%) et Py(2%).
66,0-86,0 m		**Paragneiss à biotite et grenat**

Sondages 11212-99-02

Résumé:

0-3,0 m		**Mort Terrain**
3,0-36,1 m		**Gneiss à hornblende et plagioclase**
	19,15-20,15 m	628 ppb Au sur 1 mètre associés à une silicification intense et à une légère carbonatisation minéralisée en As(2%), Po(1%) et Py(1%).
36,1-55,85 m		**Formation de fer à oxydes et silicates**
	47,0-48,1 m	926 ppb Au sur 1,1 mètre associés à une silicification intense minéralisée en Po(10%).
	54,5-55,85 m	Injection de skarn localement minéralisé en PO(jusqu'à 15% sur 30 centimètres (1,03 g/t Au sur 0,7 mètres)
55,85-65,0 m		**Paragneiss à biotite et grenat**

Sondage 11212-99-03

Résumé:

0-3,0 m		**Mort Terrain**
3,0-29,2 m		**Zone de charnière** Nombreuses injections de skarn avec stratification et schistosité variant de 0 à 90° de l'axe de la carotte.
	3,0-4,4 m	**Formation de fer à silicates** Injectée de skarn localement minéralisé en Po(3%) et Py(1%) (268 ppb Au sur 1,4 mètres).
	4,4-7,3 m	**Paragneiss à biotite et grenat**
	7,3-12,15 m	**Formation de fer à silicates**
	12,15-13,05 m	**Paragneiss à biotite et grenat**
	13,05-20,6 m	**Formation de fer à silicates** Injectée de skarn localement minéralisé en As, Po et Py(3-5%).
	20,6-23,6 m	**Gneiss à hornblende et plagioclase**
	23,6-26,0 m	**Formation de fer à silicates**
	26,0-27,2 m	**Paragneiss à biotite et grenat**
	27,2-29,2 m	**Formation de fer à silicates**
29,2-50,0 m		**Paragneiss à biotite et grenat** Schistosité varie entre 15° et 90° de l'axe de la carotte
50,0-93,0 m		**Gneiss à hornblende et plagioclase** **1,12 g/t Au sur 1,2 mètres** associé à une silicification et à une légère carbonatisation minéralisée en As, Po et Py(4%).

Sondage 11212-99-04

Résumé:

0-3,0 m		**Mort Terrain**
3,0-42,4 m		**Gneiss à hornblende et plagioclase**
	5,5-6,35 m	**1,82 g/t Au sur 0,85 mètres** associé à une silicification intense et à une légère carbonatisation minéralisée.
	7,0-24,0 m	Zone de charnière Schistosité varie de 0 à 45° par rapport à l'axe de la carotte.
42,4-83,1 m		**Formation de fer à oxydes (Charnière)**
	42,4-45,0 m	Intense silicification localement minéralisée en Py(4%) et Po(1%) avec trace de As.
83,1-92,0 m		**Formation de fer à silicates** Nombreuses injections de skarn localement minéralisées
92,0-95,0 m		**Paragneiss à biotite et grenat**

Sondage 11212-99-05

Résumé:

0-4,0 m		**Mort Terrain**
4,0-17,6 m		**Paragneiss à biotite et grenat** Schistosité varie entre 30° et 70° par rapport à l'axe de la carotte
17,6-20,7 m		**Injection de skarn**
	17,6-18,1 m	713 ppb Au sur 0,50 mètres dans un fragment de formation de fer à silicates minéralisés en Py, As et Po(3%) .
20,7-34,5 m		**Formation de fer à silicates et oxydes** Zone de charnière; lamines variant de 0° à 65° par rapport à l'axe de la carotte.
34,5-40,5 m		**Paragneiss à biotite et grenat**

SECTEUR AMARUK

Sondages 11212-99-06

Résumé:

0-4,0 m		**Mort Terrain**
4,0-23,3 m		**Gneiss à hornblende et plagioclase**
	4,0-5,0 m	**1,53 g/t sur 1 mètre** associé à une silicification et à une légère carbonatisation minéralisée
23,3-34,1 m		**Formation de fer à oxydes**
	23,3-30,0 m	**6,36 g/t Au sur 5,9 mètres** dont **17,27 g/t sur 1,2 mètres** dans une zone de faille caractérisée par une silicification intense brêchifiant la formation de fer et minéralisée en Po et Py (jusqu'à 40%) et avec de l'As en trace.
34,1-60,5 m		**Paragneiss à biotite et grenat**
	58,05-58,4 m	**Formation de fer à silicates injectée de skarn**
60,5-75,0 m		**Gneiss à hornblende et plagioclase**

Sondages 11212-99-07

Résumé:

0-4,0 m		**Mort Terrain**
4,0-28,8 m		**Gneiss à hornblende et plagioclase**
	25,0-27,0 m	**3,2 g/t Au sur 2 mètres** associés à une silicification intense et à une légère carbonatisation minéralisée en As, Py et Po(4%).
28,8-41,2 m		**Formation de fer à silicates et à oxydes** Présence de nombreuses zones de failles centimétriques caractérisées par des biotitites à fragments de formation de fer généralement non minéralisés. Localement, présence de veines de quartz minéralisées.
	39,4-41,2 m	Injection de skarn avec fragments de formation de fer et de gneiss à hornblende et plagioclase, ainsi que des zones de biotitites (faille).
41,2-69,85 m		**Paragneiss à biotite et grenat**
	69,6-69,9 m	Contact faillé caractérisé par une carbonatisation et une chloritisation moyenne injectée d'une subpegmatite.
69,85-75,0 m		**Gneiss à hornblende et plagioclase**

Sondages 11212-99-08

Résumé:

0-3,0 m		**Mort Terrain**
3,0-22,8 m		**Gneiss à hornblende et plagioclase**
	12,3-12,8 m	**891 ppb Au sur 0,5 mètres** associés à une silicification intense et à une légère carbonatisation avec As(tr), Py(1%) et Po(3%)
	21,5-22,8 m	**960 ppb Au sur 1,3 mètres** au contact associés à une silicification intense et à une légère carbonatisation minéralisée en Py et Po (trace à 1%).
22,8-36,7 m		**Formation de fer à silicates et à oxydes** Présence de nombreuses zones de failles centimétriques caractérisées par des biotitites à fragments de formation de fer généralement non minéralisés.
	23,1-23,15 m	Fragment de gneiss à hornblende et plagioclase
	24,0-25,5 m	**788 ppb sur 1,5 mètres** associés à une injection de skarn faiblement minéralisée en Py et As (1%). Localement, 10% de Py.
	34,1-36,7 m	Zone de faille avec injection de skarn minéralisé en Py, Po et As (4-5%) (**508 ppb Au sur 0,6 mètre**)
36,7-57,0 m		**Paragneiss à biotite et grenat**
	56,9-57,3 m	Contact faillé
57,0-69,0 m		**Gneiss à hornblende et plagioclase**

Sondages 11212-99-09

Résumé:

0-3,0 m		**Mort Terrain**
3,0-36,1 m		**Gneiss à hornblende et plagioclase**
	35,1-36,1 m	1,1 g/t Au sur 1 mètre associé à une silicification moyenne et à une légère carbonatisation minéralisée en As(1%), Po(1%) et Py(1%).
36,1-39,4 m		**Zone de faille** caractérisée par une schistosité intense et un pourcentage élevé en biotite (jusqu'à 95%). Localement, minéralisation en Py et Po (jusqu'à 5%).
	36,4-36,7 m	Biotitite avec 3-5% de grenat et trace de quartz.
	38,9-39,4 m	2,1 g/t Au sur 0,5 mètre associés à une formation de fer à silicates silicifiée et minéralisée en Po et Py(5-8%).
39,4-51,0 m		**Paragneiss à biotite et grenat**

Sondages 11212-99-10

Résumé:

0-3,0 m		**Mort Terrain**
3,0-34,2 m		**Gneiss à hornblende et plagioclase**
34,2-38,55 m		**Formation de fer à silicates et à oxydes**
	34,75-35,65 m	Zone de faille caractérisée par des fragments de quartz et de magnétite dans une matrice composée essentiellement de biotite. Plusieurs veines de quartz centimétriques.
	35,65-38,55 m	Injection de skarn localement minéralisé en As, Po et Py (1,61 g/t Au sur 0,65 mètre et 1,3 g/t Au sur 0,95 mètre)
38,55-51,0 m		**Paragneiss à biotite et grenat**

Sondages 11212-99-11

Résumé:

0-3,0 m		**Mort Terrain**
3,0-36,5 m		**Gneiss à hornblende et plagioclase**
	35,45-35,6 m	Copeaux de formation de fer à silicates minéralisés en Py et Po(3-4%)
36,5-44,0 m		**Formation de fer à silicates** Nombreuses injections de skarn ainsi que des zones de biotitites, localement minéralisées en Py, Po et As (jusqu'à 5%) (faille).
	37,55-37,9 m	Gneiss à hornblende et plagioclase
	40,2-41,5 m	**1,1 g/t Au sur 1,3 mètres** au sein de la formation de fer à silicates injectés de skarn minéralisé en Py(2%) et Po(8%).
	41,5-41,8 m	Paragneiss à biotite et grenat
	41,8-42,9 m	**1,8 g/t Au sur 1,1 mètres** au sein de la formation de fer à silicates injectée de skarn minéralisée en Py(2%) et Po(8%) avec une zone de 20 cm possédant 2% de As.
	42,9-44,0 m	**561 ppb Au sur 1,1 mètres** au sein de la formation de fer à silicates injectée de skarn minéralisée en Py(2%) et Po(8%).
44,0-51,0 m		**Paragneiss à biotite et grenat**

Sondages 11212-99-12

Résumé:

0-3,0 m		**Mort Terrain**
3,0-31,5 m		**Gneiss à hornblende et plagioclase**
31,5-34,1 m		**Formation de fer à oxydes**
	31,5-32,1 m	**0,94 g/t Au sur 0,6 mètres** au sein d'injection de skarn minéralisée en Py(2%) et Po(2%).
34,1-39,0 m		**Paragneiss à biotite et grenat**

Sondages 11212-99-13

Résumé:

0-3,0 m		**Mort Terrain**
3,0-11,1 m		**Paragneiss à biotite et grenat**
11,1-21,7 m		**Formation de fer à oxydes** Zone de charnière avec de nombreuses injections de skarn et de zones silicifiées brêchifiant l'unité localement minéralisée.
21,7-31,4 m		**Gneiss à hornblende et plagioclase**
	24,0-25,5 m	**1,1 g/t Au sur 1,5 mètres** associé à une silicification intense et à une légère carbonatisation minéralisée Po et Py (2-4%).
31,4-44,4 m		**Formation de fer à oxydes** Zone de charnière avec de nombreuses injections de skarn et de zones silicifiées brêchifiant l'unité localement minéralisée.
	42,5-42,65 m	Paragneiss à biotite et grenat
44,4-61,5 m		**Paragneiss à biotite et grenat**

Sondages 11212-99-14

Résumé:

0-3,0 m	**Mort Terrain**
3,0-28,9 m	**Paragneiss à biotite et grenat**
28,9-32,0 m	**Faille** caractérisée par une alternance métrique de formation de fer et de paragneiss avec de nombreuses zones de biotitites et d'indicateurs cinématiques montrant un mouvement inverse (W sur E) à composante directionnelle dextre.
32,0-44,25 m	**Formation de fer à oxydes** Nombreuses zones de biotitites (faille)
44,25-51,7 m	**Gneiss à hornblende et plagioclase**
51,7-53,8 m	**Formation de fer à silicates**
53,8-77,75 m	**Paragneiss à biotite et grenat**
77,75-86,0 m	**Gneiss à hornblende et plagioclase**

Sondages 11212-99-15

Résumé:

0-4,0 m		**Mort Terrain (Paragneiss)**
4,0-11,0 m		**Faille** caractérisée par une alternance centimétrique de formation de fer, de gneiss et de paragneiss avec de nombreuses injections de skarn.
	8,5-11,0 m	**721 ppb Au sur 2,5 mètres** associés à des zones centimétriques silicifiées et minéralisées en Po (jusqu'à 20%), Py et As(2%).
11,0-29,4 m		**Gneiss à hornblende et plagioclase**
29,4-35,6 m		**Formation de fer à oxydes** Nombreuses zones centimétriques silicifiées et minéralisées en Po(jusqu'à 25%), Py(1%) et As(2%).
35,6-47,4 m		**Gneiss à hornblende et plagioclase**
	40,8-41,6 m	**841 ppb Au sur 0,8 mètre** associés aux épontes minéralisées en Po(1%), Py(1%) et As(2%) d'une veine de quartz-plagioclase.
	47,3-47,5 m	Injection subpegmatique
47,4-74,6 m		**Paragneiss à biotite et grenat**
74,6-76,1 m		**Faille** caractérisée par une alternance de paragneiss, de gneiss et de deux niveaux centimétriques de formations de fer à silicates.
76,1-87,0 m		**Gneiss à hornblende et plagioclase**

Sondages 11212-99-16

Résumé:

0-6,0 m		**Mort Terrain**
6,0- 12,3 m		**Paragneiss à biotite et grenat**
12,3-19,5 m		**Formation de fer à oxydes et à silicates** Nombreuses injections de skarn et de zones silicifiées sur des épaisseurs centimétriques minéralisées en As, Py et Po (3-5%)
	12,3-13,0 m	**1,15 g/t Au sur 0,8 mètres** dans le contact cisaillé caractérisé par une alternance de formations de fer et de paragneiss injecté de skarn faiblement minéralisé (Py, Po en trace).
19,5-35,2 m		**Paragneiss à biotite et grenat**
	19,5-20,8 m	Contact cisaillé caractérisé par l'injection de skarn et de zones silicifiées, ainsi que des fragments de formation de fer minéralisés en Py et Po (3%).
	20,8-22,1 m	**2,93 g/t Au sur 1,3 m**
35,2-96,0 m		**Gneiss à hornblende et plagioclase**
	46,4-47,1 m	**3,17 g/t Au sur 0,7 mètres** associés à une silicification intense minéralisée en As, Po et Py (4%) et trace de Cp.
	64,65-65,55 m	**1,1 g/t Au sur 0,9 mètres** associé à une silicification intense légèrement minéralisée.
	71,1-72,0 m	**1,0 g/t Au sur 0,9 mètres** associé à une silicification intense légèrement minéralisée.
	91,7-93,4 m	**2,18 g/t Au sur 1,7 mètres** associés à une silicification intense minéralisée en Py, Po et As (3%).
	95,0-96,0	Manque 1 mètre de carotte
96,0-102,3 m		**Formation de fer à oxydes** Nombreuses injections de skarn et de zones silicifiées centimétriques minéralisées Py, Po et As (2 à 8%).
102,3-117,0 m		**Paragneiss à biotite et grenat**

Sondages 11212-99-17

Résumé:

0-3,0 m		**Mort Terrain**
3,0-13,0 m		**Paragneiss à biotite et grenat**
13,0-48,35 m		**Formation de fer à oxydes** Zone de charnière avec de nombreuses injections de skarn et de zones silicifiées d'épaisseurs métriques brêchifiant l'unité et localement minéralisées.
	18,7-19,5 m	**663 ppb Au sur 0,8 mètres** associés à une injection de skarn recoupant l'unité et minéralisée en Py(2%).
	28,1-31,0 m	**781 ppb Au sur 1,7 mètres** associés à une silicification intense brêchifiant l'unité et des injections de skarn minéralisées en Py et Po (5%).
	31,0-34,1 m	**1,95 g/t Au sur 1 mètre** dans une zone de culmination montrant une alternance métrique de gneiss à hornblende et plagioclase silicifié et minéralisé et de formation de fer à silicates minéralisés en Py et Po (1-3%).
	37,4-39,55 m	**2,5 g/t Au sur 2,15 mètres** associé à une silicification intense et des injections de skarn minéralisées en Py (3%) et Po (5%).
48,35-67,0 m		**Paragneiss à biotite et grenat**

7- INTERPRÉTATION DES RÉSULTATS

Suite aux travaux réalisés, on remarque qu'il y a une grande proportion des valeurs aurifères obtenues depuis 1997 qui proviennent de la partie Nord de la grille AMARUK (**voir figure 7**). Plus précisément, la formation de fer du flanc *est* près de la ligne 10S s'avère être la zone minéralisée connue possédant le plus de continuité. En fait, les meilleurs résultats aurifères par forages proviennent de cette zone :

- 11212-99-06 (**6,36 g/t Au sur 5,9 m dont 17,27 g/t Au sur 1,2m**),
- 11212-97-06 (**5.28 g/t Au sur 1,30 mètres et 4,61 g/t Au sur 8,4 m dont 16,18 g/t Au sur 1,2 m**) et,
- 11212-97-04 (**24.36 g/t Au sur 0,75 mètres**)

La particularité de cette zone est la variation brusque de l'épaisseur de la formation de fer. En moyenne, l'épaisseur de la formation de fer est de 3 à 5 mètres alors qu'entre la ligne 9S et 11S la formation de fer atteint une vingtaine de mètres. Deux hypothèses peuvent expliquer cet épaississement : la première est un épaississement syngénétique, c.a.d. formationel dû à un phénomène de paléobassin alors que la deuxième hypothèse consiste en un épaississement structural. L'interprétation des sections de forage combinée aux données de terrain favorisent l'hypothèse d'un épaississement structural. Cette hypothèse est appuyée par les observations suivantes :

1. La cartographie de détail au 1 :1000 de cette zone a permis d'observer de nombreuses failles ainsi qu'un patron de plissement complexe au sein de la formation de fer et,
2. Les sections de forages présentent aussi une variation brusque de l'épaississement dans le plan vertical (**figure 11**). Les forages 11212-97-04 et 06 ont intercepté les zones d'épaississement tandis que les forages 11212-99-06, 07, 08 et 16 ont intercepté la formation de fer d'épaisseur plus ou moins normale (5 à 10 mètres).

Les zones d'épaississement seraient expliquées par un jeu de failles qui ont été activées lors de la dernière épisode de déformation (D3). Rappelons qu'au chapitre 6.1.3., nous avons

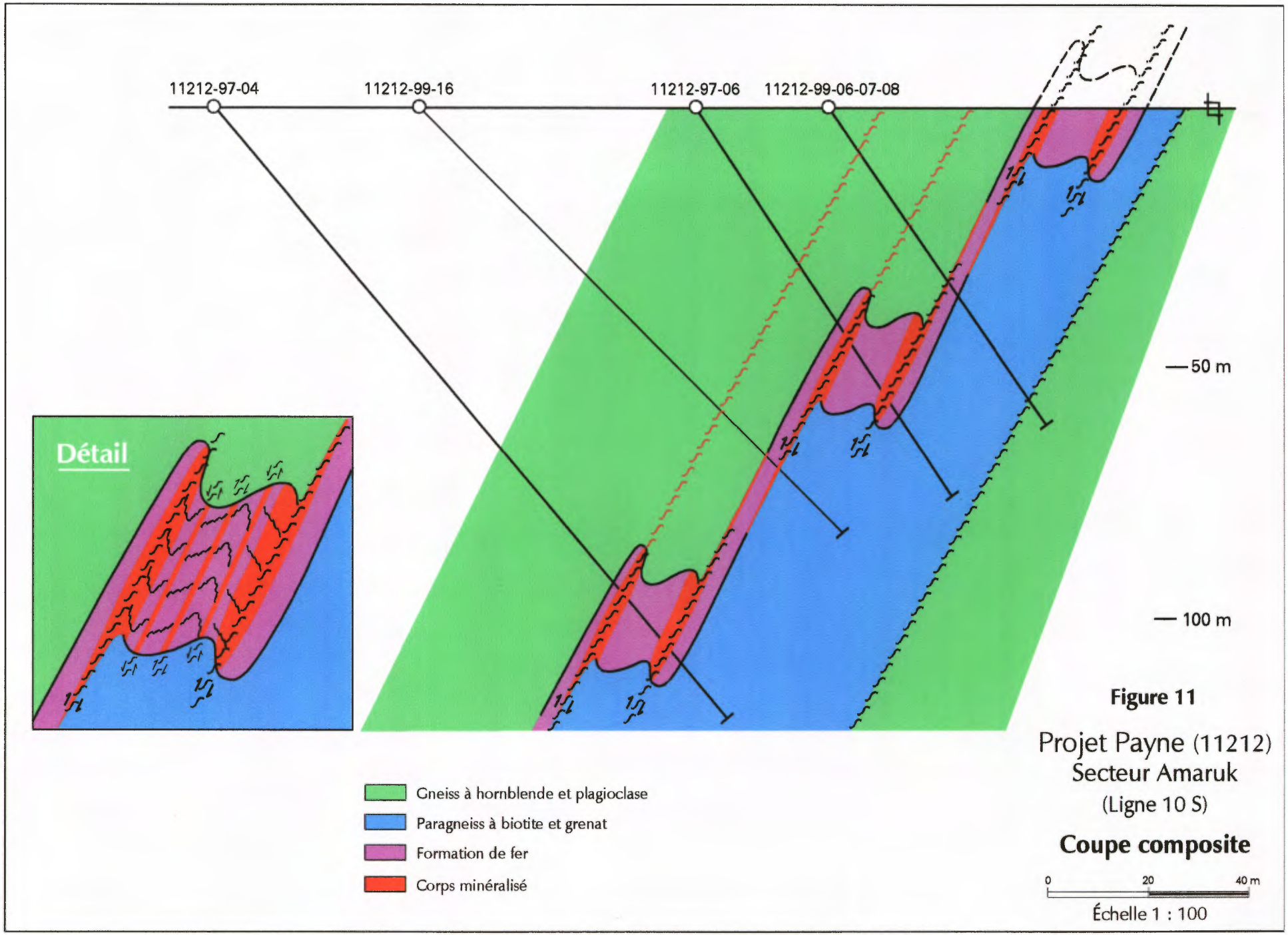


Figure 11

Projet Payne (11212)
Secteur Amaruk
(Ligne 10 S)

Coupe composite

Échelle 1 : 100

mentionné que cet épisode est responsable d'une fabrique planaire qui est caractérisée par des failles à mouvement inverse-dextre avec un rejet de 65° sud-ouest (linéation minérale) sur le plan de failles. Ce jeu de failles crée des asymétries inverses au sein de la formation de fer dues à la différence de compétence entre les unités. L'interprétation des sections suggère que ces asymétries inverses possèdent une longueur d'onde d'environ 50 mètres verticalement. Ces asymétries se caractérisent par une zone d'épaississement s'étendant sur environ une vingtaine de mètres alors que les flancs s'étirent sur une trentaine de mètres entre les zones d'épaississement (**figure 11**).

La projection longitudinale des épaisseurs verticales de la formation de fer dans cette zone montre que les asymétries inverses provoquant les épaississements possèdent un axe subhorizontal (**figure 12**). Lorsqu'on projette les intersections aurifères sur la longitudinale, on s'aperçoit que le corps minéralisé plonge à 65°, c.a.d. parallèle à la linéation d'étirement. Donc, le fluide aurifère migre le long des failles en suivant la direction de transport, c.a.d. le mouvement inverse-dextre. Ce fluide altère et minéralise la formation de fer en un faciès silicaté et sulfuré. Les zones d'épaississements peuvent être minéralisées sur des épaisseurs pouvant atteindre 8 mètres (11212-97-06) tandis que les flancs peuvent être minéralisés sur des épaisseurs de 6 mètres (11212-99-06). Les teneurs obtenues sur ces épaisseurs sont de l'ordre du 6 g/t Au. Un calcul de tonnage en utilisant une densité de 4 g/cm^3 a été effectué pour avoir un ordre de grandeur possible d'un corps minéralisé dont les données seraient les suivantes :

Flancs :	30 mètres verticalement	Zones épaissies :	20 mètres verticalement
	40 mètres d'extension		40 mètres d'extension
	6 mètres d'épaisseur		8 mètres d'épaisseur

Chaque asymétrie inverse comprenant un épaississement de 20 mètres et un flanc de 30 mètres verticaux donnent 55 000 tonnes à environ 6 g/t Au, donc 10 000 onces par asymétrie inverse. Pour une dizaine d'asymétrie, il est possible d'obtenir 500 000 à 600 000 tonnes de minerai, soit près de 100 000 onces. Il est possible et *souhaitable* qu'il y ait plusieurs de ces corps minéralisés parallèles à la linéation d'étirement dans ce plan de failles. Il est possible

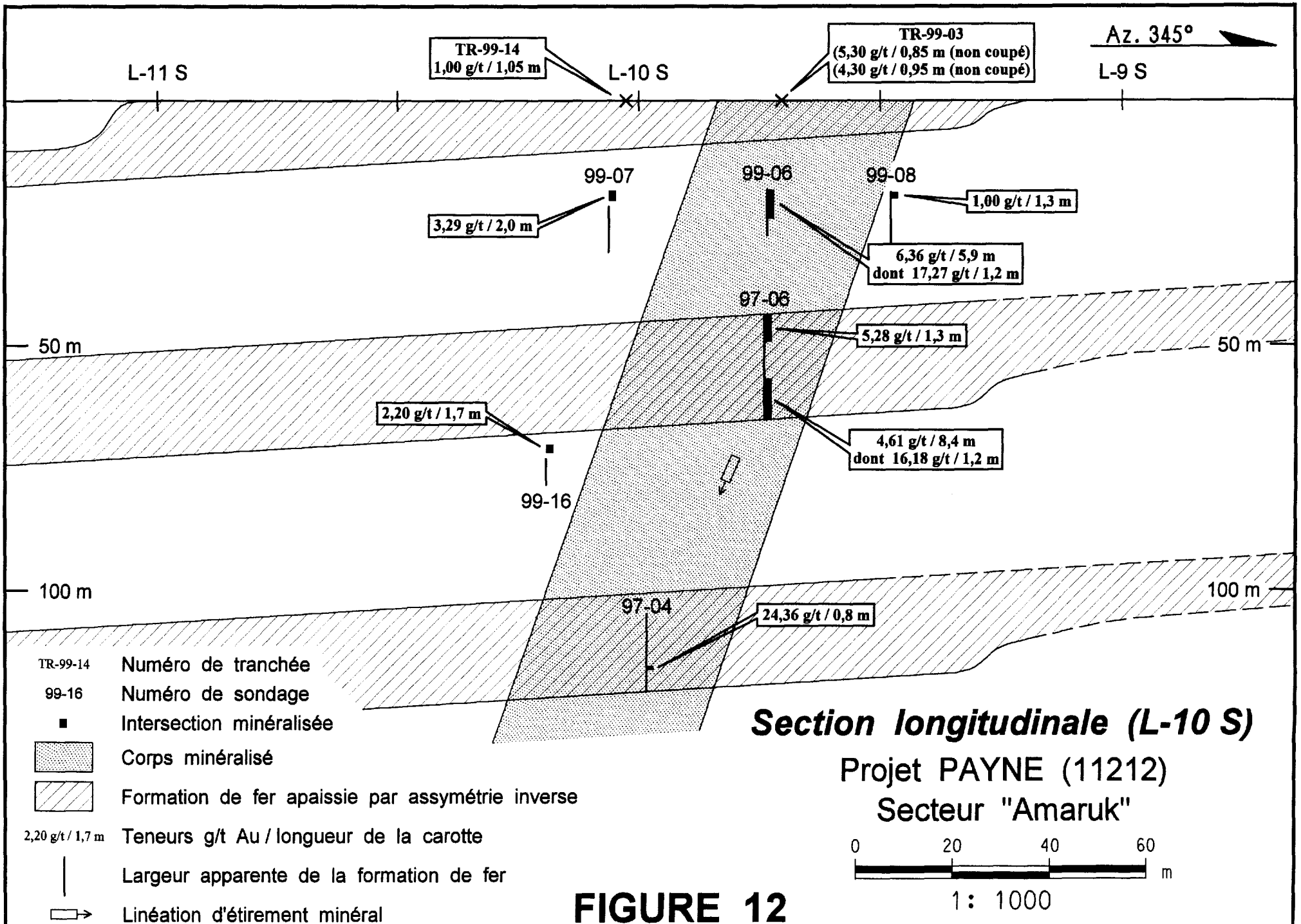

L-11 S
TR-99-14
1,00 g/t / 1,05 m
L-10 S
TR-99-03
(5,30 g/t / 0,85 m (non coupé)
(4,30 g/t / 0,95 m (non coupé)
Az. 345°
L-9 S
99-07
3,29 g/t / 2,0 m
99-06
99-08
1,00 g/t / 1,3 m
6,36 g/t / 5,9 m
dont 17,27 g/t / 1,2 m
97-06
5,28 g/t / 1,3 m
50 m
50 m
2,20 g/t / 1,7 m
99-16
4,61 g/t / 8,4 m
dont 16,18 g/t / 1,2 m
100 m
100 m
97-04
24,36 g/t / 0,8 m
TR-99-14 Numéro de tranchée
99-16 Numéro de sondage
Intersection minéralisée
Corps minéralisé
Formation de fer apaissie par assymétrie inverse
2,20 g/t / 1,7 m Teneurs g/t Au / longueur de la carotte
Largeur apparente de la formation de fer
Linéation d'étirement minéral
Section longitudinale (L-10 S)
Projet PAYNE (11212)
Secteur "Amaruk"
0 20 40 60
m
1 : 1000

FIGURE 12

également que le volume de ces corps soit plus important en se dirigeant vers la charnière principale.

Il est important de noter que dans cette partie de la grille Amaruk, plusieurs valeurs aurifères ont été intersectées dans des zones de cisaillements au sein des métabasaltes encaissants les formations de fer. Par exemple, de nombreuses valeurs aurifères de l'ordre du 1 g/t sur 1 mètre ont été intersectées en forage (jusqu'à **3,2 g/t sur 2 mètres** dans le forage 11212-99-07), ainsi que dans des échantillons choisis au sein de zones de cisaillements métriques aurifères (jusqu'à **8,57 g/t**). Ces failles sont interprétées comme étant associées au jeu de failles responsable des asymétries inverses (C3) observées dans la formation de fer dont le fluide aurifère aurait percolé dans les métabasaltes (**voir figure 11**).

8- DISCUSSION

En comparant les deux secteurs couverts par la cartographie de détail au 1 :1000, on constate que le secteur Amaruk est relativement plus déformé et définitivement plus minéralisé que le secteur Avingaluk. Les données structurales prélevées démontrent que le dernier épisode de déformation (D3), qui est caractérisé par des failles NNO à mouvement inverse-dextre au secteur Amaruk, est pratiquement absent au secteur d'Avingaluk. Nous avons démontré que la minéralisation aurifère est associée à ces failles et qu'elles se concentrent au sein de la formation de fer. L'interprétation structurale régionale des photos aériennes à l'échelle 1 :40 000 (**figure 13**) et des cartes magnétiques disponibles montrent des linéaments d'orientation Nord-Nord-Ouest dans la partie nord de la propriété (secteur Amaruk et Amaruk Est), tandis que dans la partie sud de la propriété (secteur Avingaluk), l'orientation des linéaments sont Nord-Ouest. Ces observations sont conformes aux données structurales prélevées et suggèrent que les futurs travaux d'exploration doivent se concentrer aux secteurs Amaruk et Amaruk Est.

Les zones aurifères sont généralement au sein de la formation de fer aux faciès silicatés et sulfurés. Cependant, nous avons découvert, avec les travaux de cette année, que certains de ces faciès ne sont pas aurifères (voir sous-chapitre 6.1.4-Minéralisation). Deux hypothèses peuvent expliquer ce phénomène. L'une suggère qu'il y ait deux épisodes d'altération et de sulfurisation différentes, une épisode aurifère et une épisode non aurifère. L'autre hypothèse envisageable est qu'il s'agisse de la même épisode de minéralisation qui altère et sulfurise la formation de fer avec un halo aurifère à proximité des failles C3 (voir croquis 1). Les données de terrain prélevées à la tranchée TR-97-04 au secteur Amaruk favorise la deuxième hypothèse. À cette tranchée, les zones aurifères sont présentes au sein de la formation de fer aux faciès silicatés et sulfurés à proximité de zones de skarn (mobilisat), tandis que des échantillons prélevés au sein des mêmes faciès à une trentaine de mètres de la zone de skarn ne sont pas aurifères. Dans cette optique, la charnière, découverte à la ligne du secteur Amaruk dans laquelle se trouve une formation de fer aux faciès silicatés et sulfurés non aurifères devient une cible de choix. De plus, cette zone se situe à proximité de la faille de décollement majeur (figure 10).

Microfilm

PAGE DE DIMENSION HORS STANDARD

MICROFILMÉE SUR 35 MM ET

POSITIONNÉE À LA SUITE DES

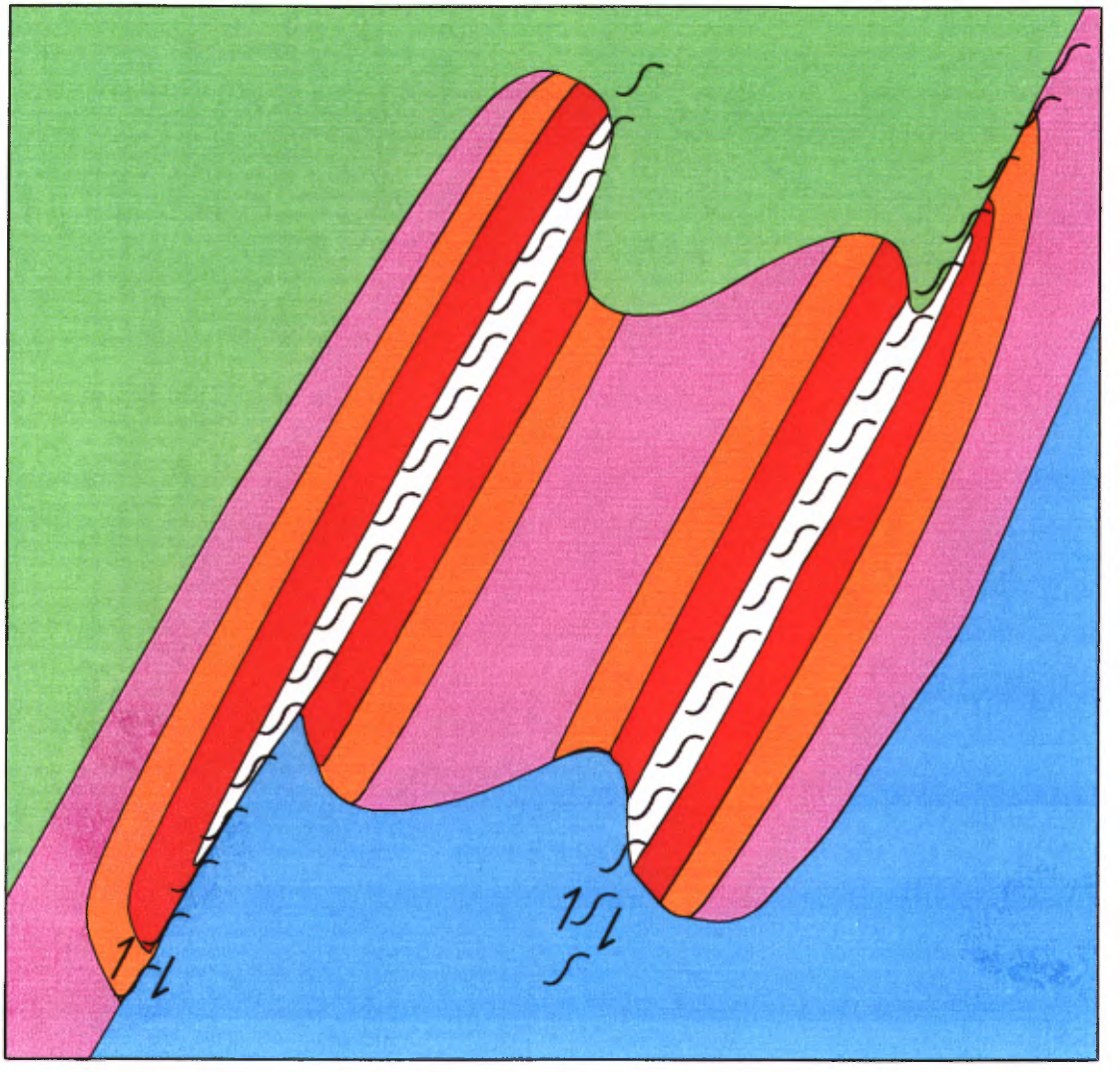
PRÉSENTES PAGES STANDARDS

Numérique

PAGE DE DIMENSION HORS STANDARD

NUMÉRISÉE ET POSITIONNÉE À LA

SUITE DES PRÉSENTES PAGES STANDARDS



Gneiss à hornblende et plagioclase

Paragneiss à biotite et grenat

Formation de fer stérile ne renfermant aucun minéral aurifère ou sulfuré

Formation de fer aux faciès silicatés et sulfurés aurifère

Zone de skarn (Mobilisat)
Qz - GA - BO ±AB

Formation de fer aux faciès silicatés et sulfurés non aurifère

Croquis 1

9- CONCLUSION ET RECOMMANDATIONS

Les objectifs du programme d'exploration de 1999 visaient à vérifier la continuité des structures aurifères découvertes au sein des formations de fer et, basée sur l'interprétation structurale et métallogénique, d'évaluer des secteurs propices de renfermer des corps minéralisés de dimensions économiques.

Suite aux travaux réalisés, la partie nord de la grille Amaruk s'avère être la zone minéralisée connue possédant le plus de continuité. En fait, les meilleurs résultats aurifères obtenus par forages proviennent de cette zone :

- 11212-99-06 (**6,36 g/t Au sur 5,9 m dont 17,27 g/t Au sur 1,2m**),
- 11212-97-06 (**5.28 g/t Au sur 1,30 mètres et 4,61 g/t Au sur 8,4 m dont 16,18 g/t Au sur 1,2 m**) et,
- 11212-97-04 (**24.36 g/t Au sur 0,75 mètres**)

Le modèle structural et métallogénique basé sur l'interprétation des données de surface et de forage évoque une minéralisation aurifère contemporaine à la dernière phase de déformation. Cette dernière phase est caractérisée par des failles à mouvement inverse-dextre provoquant des asymétries inverses au sein de la formation de fer. Les fluides aurifères auraient percolé le long de ces failles en suivant la direction de transport provoquant un corps minéralisé parallèle au rejet de 65° sud-ouest sur le plan de faille.

Nous recommandons de vérifier la continuité en profondeur de ce corps minéralisé ainsi que de vérifier la rythmicité des épaississements provoquée par les asymétries inverses. Quatre trous de forage sont proposés totalisant 800 mètres. Les forages A et B ont comme cible la continuité en profondeur du corps minéralisé dans les zones d'épaississement selon le modèle proposé (**figure 14**), tandis que le forage C vérifie la continuité latérale de la zone d'épaississement intersectée par le forage 11212-97-06. Le forage D vérifie la continuité latérale de la zone d'épaississement intersectée par le forage 11212-97-04.

Microfilm

PAGE DE DIMENSION HORS STANDARD MICROFILMÉE SUR 35 MM ET POSITIONNÉE À LA SUITE DES PRÉSENTES PAGES STANDARDS

Numérique

PAGE DE DIMENSION HORS STANDARD NUMÉRISÉE ET POSITIONNÉE À LA SUITE DES PRÉSENTES PAGES STANDARDS

Les travaux de cartographie et de prospection du secteur Amaruk est (secteur 1998) ont démontré que les failles à mouvement inverse-dextre (C3) associées à la minéralisation aurifère sont présentes. La formation de fer possède une épaisseur de 15 mètres et elle est généralement altérée aux faciès silicatés et localement sulfurés (**jusqu'à 19 g/t Au**). Nous recommandons d'effectuer des travaux de décapage et de l'échantillonnage en rainure au sein des zones de failles (C3) dans ce secteur.

10- RÉFÉRENCES

Chapdelaine, M.,

1996 : Projet Minto (1121), Permis de Payne (PEM 1139 et 1140), été 1996. SOQUEM, rapport interne.

Chapdelaine, M.,

1998 : Projet Minto, Propriété Payne, rapport des travaux de cartographie et de prospection, été 1998. Mines d'Or Virginia INC, rapport interne.

Cuerier, G.,

1997 : Propriété Payne (11212), rapport des travaux, été1997. SOQUEM, rapport interne.

Franklin, J.M.

1997: Lithogeochemical and mineralogical methods for base metal and gold exploration; in Proceedings of Exploration 97:Fourth Decennial International Conference on mineral Exploration; edited by A.G. Gubins;Géological Survey of Canada, 1997, p.191-208.

Kerswill, J.A.

1993: Models for iron formation-hosted-gold deposits; in Mineral Deposit Modeling, (ed.) R.V. Kirkham, W.D. Sinclair, R.I. Thorpe, and, J.M. Duke; Geological Association of Canada, Special Paper 40, p. 171-199.

Lin, S., Percival, J.A., Winsky, P.A., Skulski, T., and Card, K.D.

1995: Structural evolution of the Vizien and and Kogaluc greenstone belts in Minto block, northeastern Superior Province, northern Québec: in Current Research 1995-C: Geological Survey of Canada, p.121-30.

Lin, S., Percival, J.A., and Skulskim, T.

in press: Structural constraints on the tectonic evolution of the late Archean greenstone belt in the northeastern Superior Privince, northern Québec (Canada); Techtonophysics, in press.

Percival, J.A. and Berman, R.G.

1996: Minto block: metamorphic-plutonic hinterland in northeastern Superior Privince; Geological Association of Canada, Program with Abstracts, v. 21,p. A-74.

Percival, J.A. and Card, K.D.

1994: Geology, Lac Minto-Rivière aux Feuilles, Québec; Geological Survey of Canada, Map 1854A, scale 1:500 000.

Percival, J.A., Mortenson, J.K., Stern , R.A., and Card, K.D.

1992: Giant granulite terranes of northeastern Superior Province: the Ashuanipi complex and Minto block; Canadian Journal of Earth Sciences, v. 29, p. 2287-2308.

Percival, J.A., Stern, R.A., Skulski, T., Card, K.D., Mortensen, J.K., and Begin, N.J.

1994: Minto block, Superior Province: Missing link in deciphering assembly of the craton at 2.7 Ga; Geology, v. 22, p. 839-842.

Percival, J.A., Skulski, T., Lin, S., and Card, K.D.

1995a: Granite-greenstone terrains of the northern Goudalie domain, northeastern Superior Province, Quebec; in Current Research 1995-C; Geological Survey of Canada, p. 141-150.

Percival, J.A., Skulski, T., Card, K.D., and Lin, S.

1995b: Geology of the Rivière Kogaluc-Lac Qalluviartuuq region (parts of 34J and 34O), Quebec; Geological Survey of Canada, Open File 3112, scale 1:250 000.

Percival, J.A., Skulski, T., and Nadeau, L.

1997: Granite-greenstone terranes of the northern Minto block, notheastern Quebec:Pelican-Nantais, Faribault-Leridon, and Duquet belts; in Current Research 1997-C; Geological Survey of Canada, p. 211-221.

Percival, J.A., Skulski, T., and Nadeau, L.

1996a: Granite-greenstone terranes of the northern Minto block, notheastern Superior Privince, Quebec; in Current Research 1996-C; Geological Survey of Canada, p. 157-167.

1996b: Geology, Lac Couture, Quebec; Geological survey of Canada, Open File 3315.

Skulski, T. and Percival, J.A.

1996: Allochathonous 2.78 Ga oceanic plateau slivers in a 2.72 Ga continental arc sequence: Vizien greenstone belt, northeastern Superior Privince, Canada; Lithos, v.37, p. 163-179.

Skulski, T., Percival, J.A., and Stern, R.A.

1996: Archean crustal evolution in the central Minto block northern Quebec; in Raiodgenic Age and Isotoopic Studies: Report 9; Geological Survey of Canada, Current Research 1995-F, p. 17-31.

Stern, R.A., Percival, J.A., and Mortensen, J.K.

1994: Geochimical evolution of the Minto block: a 2.7 Ga continental magmatic arc built on the Superior proto-craton; Precambrian Research, v. 65, p. 115-153.

Stevenson, I.M.

1968: A geological reconnaissance of Leaf River map-area, New Quebec and Northwest Territories; Geological Survey of Canada, Memoir 356, 112p.

Taylor, F.C.

1982: Reconnaissance geology of a part of the Canadian Shield, northern Quebec and Northwest Territories; Geological Survey of Canada, Memoir 399, 32 p.

Winsky, P.A., Kusky, T.M., Percival, J.A., and Skulski, T.

1995: Archean unconformity in the Qalluviartuuq greenstone belt, Goudalie domain, northern Quebec; in Current Research 1995-C; Geological Survey of Canada, p. 131-140.

ANNEXE 1

Description de sondages

SOQUEM (Appalaches-Grenville)

JOURNAL DE SONDAGE

Propriété: 11212

Trou no: 11212-9901 Zone no: Avingaluk Contracteur: MAJOR Débuté le: 31/07/1999
Canton : Terminé le: 01/08/1999
Lot : Rang : Claim no:

Niveau : Section: Lieu de travail:

Coordonnées au collet Ligne : 30+85 S Latitude: 3085.00S Azimut: 235° 0' 0"
Station: 2+96 W Longitude: 296.00 O Inclinaison: -45° 0' 0"
Système de référence: GRID Elévation: 0.00 Longueur: 86.00

Arpenté par:

Tests de déviation	Profondeur	Inclinaison	Az Corrigé
	-		-

Remarques : Cible:tr-av-02

Débit d'eau: Bouchon:
Cimenté : Dimension de la carotte: BQ

Journal par: GUY CUERRIER Rédigé le: 01/08/1999 Trou no: 11212-9901

DE (M)	A (M)	DESCRIPTION	Echan.	DE (M)	A (M)	Long (M)	Au ppb	Au g/t	Ag ppm	As ppm
0.00	3.00	CASING								
3.00	28.65	MÉTABASALTE	14401	3.00	4.00	1.00	144	-9	-0.2	49
		-Couleur verdâtre à granulométrie moyenne	14402	4.00	5.00	1.00	18	-9	1	21
		composée de HB(50-60%), PG(40%), GR(2-5%),	14403	5.00	6.50	1.50	29	-9	-0.2	57
		BO(2-5%).	14404	6.50	8.00	1.50	28	-9	-0.2	105
		-Texture granoblastique	14405	8.00	9.50	1.50	9	-9	-0.2	23
		-Altération: Nombreuses veines et veinules	14406	9.50	11.00	1.50	15	-9	-0.2	23
		(fréquence 8-10 sur 1 m) de quartz localement	14407	11.00	12.50	1.50	9	-9	-0.2	76
		carbonatée (CC) associée à une silicification des	14408	12.50	14.00	1.50	<1	-9	-0.2	33
		épontes sur des puissances centimétriques avec de	14409	14.00	15.50	1.50	<1	-9	-0.2	28
		la minéralisation	14410	15.50	16.70	1.20	32	-9	-0.2	64
		-Schistosité: 50 a 55 c/a								
		-Localement, VCC de 3 cm								
		-Minéralisation: As, Po, Py de trace a 2%								
		disséminée dans les épontes des Vqz sur une								
		trentaine de centimètres et dans des zones								
		silicifiées (jusqu'a 7% localement). Localement								
		les Vqz sont minéralisées en As, Po, Py (2-3%)								
		16.70 - 17.20	14411	16.70	17.20	0.50	>1000	3.12	-0.2	4360
		Vqz de 30 cm silicifiant les épontes avec	14412	17.20	18.50	1.30	162	-9	-0.2	46
		3% de As, 3% Py et 2% de Po disséminée								
		Fractures tardives mm. minéralisées en PO								
		sans orientation préférentielles								
			14413	18.50	20.00	1.50	144	-9	-0.2	185
			14414	20.00	21.50	1.50	12	-9	-0.2	28
			14415	21.50	23.00	1.50	9	-9	-0.2	31
			14416	23.00	24.50	1.50	6	-9	-0.2	35
			14417	24.50	26.00	1.50	42	-9	-0.2	14
			14418	26.00	27.50	1.50	18	-9	-0.2	15
			14419	27.50	28.65	1.15	4	-9	-0.2	29
28.65	66.00	FORMATION DE FER Ä OXYDES ET SILICATES								
		-Rubannement localement conservé (40%) montrant								
		des alternance de lits mm de MG et de chert(S9B).								
		-La présence des silicates (S9D) est dans des								
		zones dont le rubannement est non conservée. On								
		observe des porphyroblastes (Dm:cm) de GN et de								
		MG avec de nombreuses veines de quartz et des								
		zones Si+++ recoupant S9 sans orientation								
		préférentielle. La minéralisation se présente								
		dans ces zones.								
		-Rubannement (lorsque conservée):55 a 60								
		-Minéralisation:As, Py, Po (tr a 5%) en								

DE (M)	A (M)	DESCRIPTION	Echan.	DE (M)	A (M)	Long (M)	Au ppb	Au g/t	Ag ppm	As ppm	
		remplacement de la MG et/ou associé aux zones Si+++ et recristallissé. Localement, on remarque des zones riches en PO(40%) dans des zones Si+++ brêchifiant S9. Présence locale de sulfures dans la GN. -Nombreux plis sont observés -Localement, on remarque des fractures mm sans orientation préférentielle avec des sulfures (PO).									
		28.65 - 28.77 Contact avec Vqz et GR minéralisée en Py(3%) et As(tr)	14420	28.65	30.05	1.40	38	-9	-0.2	-3	
		30.05 - 30.35 Zone brêchique avec fragments de M1 et de S9 centimétrique recristallissé. -trace de As,Po et Py	14421	30.05	30.50	0.45	49	-9	0.8	-3	
			14422	30.50	31.60	1.10	35	-9	-0.2	-3	
		31.60 - 33.90 Silicification intense avec localement des zones (30-50 cm) minéralisées en Po(jusqu'à 40%).	14423	31.60	32.80	1.20	306	-9	2	-3	
			14424	32.80	33.90	1.10	152	-9	1	-3	
			14425	33.90	36.10	2.20	48	-9	-0.2	7	
			14426	36.10	36.80	0.70	162	-9	-0.2	8	
		36.80 - 37.40 Zone Si+++ montrant des porphyroblastes de Gn et des amas de MG cm. avec PO(30%, Py(4%) et As(tr) en remplacement de la MG et dans les porphyroblastes de GN.	14427	36.80	38.00	1.20	>1000	2.2	1.1	20	
			14428	38.00	39.50	1.50	42	-9	0.8	3	
			14429	39.50	41.00	1.50	111	-9	-0.2	-3	
			14430	41.00	42.50	1.50	84	-9	-0.2	-3	
		41.15 - 41.18 PO(30%) en remplacement de la MG.									
			14431	42.50	44.00	1.50	27	-9	-0.2	15	
			14432	44.00	45.50	1.50	90	-9	2.1	-3	
			14433	45.50	47.00	1.50	3	-9	-0.2	-3	
			14434	47.00	48.50	1.50	4	-9	1.1	21	
			14435	48.50	50.00	1.50	2	-9	0.9	13	
			14436	50.00	51.50	1.50	<1	-9	-0.2	24	
			14437	51.50	53.00	1.50	4	-9	0.2	-3	
			14438	53.00	54.50	1.50	2	-9	-0.2	30	

DE (M)	A (M)	DESCRIPTION	Echan.	DE (M)	A (M)	Long (M)	Au ppb	Au g/t	Ag ppm	As ppm	
			14439	54.50	55.60	1.10	4	-9	-0.2	30	
		55.60 - 66.00	14440	55.60	57.50	1.90	6	-9	1.3	134	
		S9D, localement S9B avec présence de Py,	14441	57.50	59.00	1.50	12	-9	-0.2	54	
		As Po en trace a 1%.	14442	59.00	60.90	1.90	44	-9	0.5	32	
		60.90 - 61.60	14443	60.90	61.60	0.70	>1000	1.72	1.1	613	
		As(3%), Po(5-8%), Py(tr) disséminée et en amas.									
		61.50 - 62.10	14444	61.60	62.20	0.60	480	-9	-0.2	57	
		20% de porphyroblastes de grunérite (Dm:2 cm) avec Vqz cm et des fractures mm sans orientation préférentielle remplie de biotite. Les sulfures sont remobilisés par la fracturation tardives. Po(10%), Py(3%), As(tr).									
			14445	62.20	63.60	1.40	116	-9	0.5	13	
			14446	63.60	64.30	0.70	771	-9	0.6	-3	
		64.30 - 66.00	14447	64.30	65.50	1.20	>1000	2.16	0.9	261	
		Zone relativement plus minéralisée avec 3-5% d'As, Po(3%), Py(2%).	14448	65.50	66.00	0.50	>1000	3.07	1.7	724	
		Le Contact avec le M4 est injectée de M15 sur 10 cm avec 5 cm de quartz minéralisée en Py(30%).									
66.00	86.00	MÉTASÉDIMENTS	14449	66.00	67.00	1.00	47	-9	-0.2	72	
		-Couleur blanchâtre a gris moyen possèdant une	14450	67.00	68.00	1.00	21	-9	0.4	39	
		granulométrie moyenne. Composée de 40-45% de QZ,	13501	74.00	75.50	1.50	5	-9	0.9	9	
		15-20% de PG, 25-30% de BO, 10% Gr	13502	80.00	81.50	1.50	1	-9	-0.2	15	
		-Localement, présence de cordiérite	13503	84.50	86.00	1.50	2	-9	0.7	-3	
		-Présence de Veines de QZ-PG cm									
		-Schistosité: 40 a 55 c/a									
		-Minéralisation: Py en trace locale									
		FIN DU TROU									
		Nombre total d'échantillons : 53									
		Longueur totale échantillonée : 69.50									

SOQUEM (Appalaches-Grenville)

JOURNAL DE SONDAGE

Propriété: 11212

Trou no: 11212-9902 Zone no: AVINGALUK Contracteur: MAJOR Débuté le: 01/08/1999
Canton : Terminé le: 02/08/1999
Lot : Rang : Claim no:

Niveau : Section: Lieu de travail:

Coordonnées au collet Ligne : 31+23 S Latitude: 3123.00S Azimut: 235° 0' 0"
Station: 2+79 W Longitude: 279.00 O Inclinaison: -45° 0' 0"
Système de référence: GRID Elévation: 0.00 Longueur: 65.00

Arpenté par:

Tests de déviation

Profondeur	Inclinaison	Az Corrigé
-		-

Remarques : CIBLE: TR-AV-02 (rainure fait en 1998 sur showing de 1997)

Débit d'eau: Bouchon:
Cimenté : Dimension de la carotte: BQ

Journal par: GUY CUERRIER Rédigé le: 02/08/1999 Trou no: 11212-9902

DE (M)	A (M)	DESCRIPTION	Echan.	DE (M)	A (M)	Long (M)	Au ppb	Au g/t	Ag ppm	As ppm	
0.00	3.00	CASING									
3.00	36.10	MÉTABASALTE	13504	3.00	5.00	2.00	17	-9	-9	-9	
		-Couleur gris foncé verdâtre a granulométrie	13505	5.00	6.50	1.50	8	-9	-9	-9	
		moynne, composée de HB(60%) et de PG(40%).	13506	6.50	8.00	1.50	3	-9	-9	-9	
		-Localement présence de GR et BO près de VQZ	13507	8.00	9.50	1.50	15	-9	-9	-9	
		minéralisée	13508	9.50	11.00	1.50	83	-9	-9	-9	
		-Texture granoblastique	13509	11.00	12.50	1.50	19	-9	-9	-9	
		-Schistosité:70-75 c/a	13510	12.50	14.00	1.50	7	-9	-9	-9	
		-Présence de nombreuses veinules et veines de	13511	14.00	15.50	1.50	37	-9	-9	-9	
		quartz (fréq.:10 sur 1m) minéralisée.	13512	15.50	17.00	1.50	21	-9	-9	-9	
		-Localement veinules et veines de CA									
		-Minéralisation: As, Py et Po (tr a 2%) dans les épontes des veinules et veines de quartz sur 2-5 cm et localement dans le quartz.									
		16.60 - 16.75 VQZ avec trace de Po et Py. Éponte inférieur minéralisée sur 3 cm en As,Po,Py (1%) disséminée. Présence de GR(30%) et BO(20%) sur 5 cm aux épontes.	13513	17.00	18.50	1.50	9	-9	-9	-9	
			13514	18.50	19.15	0.65	53	-9	-9	-9	
			13515	19.15	20.15	1.00	628	-9	-9	-9	
		19.70 - 20.15 Zones avec de nombreuses veines et veinules de quartz légèrement carbonatée minéralisant les épontes. As(2%), Po(1%) et Py(1%) disséminées.	13516	20.15	21.50	1.35	49	-9	-9	-9	
			13517	21.50	23.00	1.50	6	-9	-9	-9	
			13518	23.00	24.50	1.50	47	-9	-9	-9	
			13519	24.50	26.00	1.50	8	-9	-9	-9	
			13520	26.00	27.50	1.50	15	-9	-9	-9	
			13521	27.50	29.00	1.50	85	-9	-9	-9	
			13522	29.00	30.60	1.60	69	-9	-9	-9	
		29.60 - 30.00 Idems, sauf As(tr), Po(3-4%) et Py(1%)									
		30.40 - 30.60 Vqz avec GR(20%), Py(tr)	13523	30.60	32.00	1.40	10	-9	-9	-9	
			13524	32.00	33.50	1.50	9	-9	-9	-9	
			13525	33.50	35.00	1.50	133	-9	-9	-9	

DE (M)	A (M)	DESCRIPTION	Echan.	DE (M)	A (M)	Long (M)	Au ppb	Au g/t	Ag ppm	As ppm	
			13526	35.00	36.10	1.10	15	-9	-9	-9	
36.10	55.85	FORMATION DE FER Ä OXYDES ET SILICIATES -Alternance de lamines mm de chert-magnétite et grunérite. -Le rubannement est généralement bien conservée -Localement, présence de zones Si+++ associée avec des porphyroblastes de GN (Dm:1-3 cm) avec des amas de MG. -Minéralisation:PO (5-10%) jusqu'a 20% associée aux zones Si+++. Py et As en trace. -Schistosité: 75 c/a									
		36.10 - 36.75 Zones silicifiées avec porphyroblastes de GN et PO(5%),As(tr) Py(1%).	13527	36.10	36.75	0.65	289	-9	-9	-9	
		36.55 - 36.65 Vqz parrallèle aux rubannements avec As(tr) et Py(tr)									
			13528	36.75	38.00	1.25	43	-9	-9	-9	
		37.50 - 37.90 Zone plissée Si+++ avec porphyroblastes de GN. Aucun sulfures									
			13529	38.00	39.35	1.35	34	-9	-9	-9	
		39.35 - 39.70 Si+ avec Po(3%)	13530	39.35	41.00	1.65	117	-9	-9	-9	
			13531	41.00	42.50	1.50	19	-9	-9	-9	
			13532	42.50	44.05	1.55	90	-9	-9	-9	
		43.10 - 43.50 Si++ avec porphyroblastes de GN. Aucun sulfures observés.									
		43.95 - 44.02 Si++ avec Po(5%)									
			13533	44.05	45.50	1.45	36	-9	-9	-9	
			13534	45.50	47.00	1.50	37	-9	-9	-9	
			13535	47.00	48.10	1.10	926	-9	-9	-9	
		47.70 - 48.10 Si+++ avec Po(10%) possèdant une orientation préférentielle parallèle aux									

DE (M)	A (M)	DESCRIPTION	Echan.	DE (M)	A (M)	Long (M)	Au ppb	Au g/t	Ag ppm	As ppm	
		rubannements.									
			13536	48.10	49.80	1.70	60	-9	-9	-9	
		49.80 - 50.00 Py(3%) et PO(1%) en remplacement de la MG associée à une fracturation mm tardive sans orientation préférentielle de couleur noirâtre(biotite).	13537	49.80	51.50	1.70	47	-9	-9	-9	
			13538	51.50	53.00	1.50	23	-9	-9	-9	
			13539	53.00	54.10	1.10	28	-9	-9	-9	
			13540	54.10	54.80	0.70	>1000	1.03	-9	-9	
		54.50 - 54.80 PO(15%) avec présence des fractures de biotite (noirâtre)									
		54.80 - 55.00 Zone de Mg massive	13541	54.80	55.40	0.60	43	-9	-9	-9	
		55.00 - 55.40 Zone sans rubannement composée de GN, HB et MG porphyroblastiques (Dm:1-3 cm). Aucun sulfures observés.									
		55.40 - 55.85 Faille Zone de BO massive avec quelques fragments (2%) de quartz. Traces de PY	13542	55.40	55.85	0.45	14	-9	-9	-9	
55.85	65.00	Métasédiments	13543	55.85	57.00	1.15	26	-9	-9	-9	
		-Couleur blanchâtre a granulométrie moyenne composé de QZ(55%), PG(30%), BO(5-10%) et de GR(5%).	13544	63.50	65.00	1.50	65	-9	-9	-9	
		-Localement, aux contacts et près de veines de quartz on observe relativement plus de BO(20%) et de GR(20%)									
		-Schistosité:60-65 c/a									
		FIN DU TROU									
		Nombre total d'échantillons : 41 Longueur totale échantillonée : 55.50									

SOQUEM (Appalaches-Grenville)

JOURNAL DE SONDAGE

Propriété: 11212

Trou no: 11212-9903 Zone no: AVINGALUK Contracteur: MAJOR Débuté le: 03/08/1999
Canton : Terminé le: 04/08/1999
Lot : Rang : Claim no:

Niveau : Section: Lieu de travail: TERRAIN

Coordonnées au collet Ligne : 32+14 S Latitude: 3214.00S Azimut: 55° 0' 0"
Station: 1+83 W Longitude: 183.00 O Inclinaison: -45° 0' 0"
Système de référence: GRID Elévation: 0.00 Longueur: 93.00

Arpenté par:

Tests de déviation

Profondeur	Inclinaison	Az Corrigé
-		-

Remarques :

Débit d'eau: Bouchon:
Cimenté : Dimension de la carotte: BQ

Journal par: GUY CUERRIER Rédigé le: 05/08/1999 Trou no: 11212-9903

DE (M)	A (M)	DESCRIPTION	Echan.	DE (M)	A (M)	Long (M)	Au ppb	Au g/t	Ag ppm	As ppm	
0.00	3.00	CASING									
3.00	4.40	FORMATION DE FER A SILICATES ET SKARN -Zone d'injection de skarn a granulométrie grossière GR(20%), QZ(80%) et Px(tr) minéralisée dans S9D. -Le rubannement dans S9D varie de 5 a 50 c/a. -Zone de charnière de plis -Minéralisation:2 Zones de 20 cm avec de la Po(3%), Py(1%) "à texture fluidale dans du quartz"	13545	3.00	4.40	1.40	268	-9	1.2	-3	
4.40	7.30	MÉTASÉDIMENTS -Schistosité: c/a a 50	13546 13547	4.40 5.90	5.90 7.30	1.50 1.40	18 7	-9 -9	0.7 0.4	-3 -3	
7.30	12.15	FORMATION DE FER A SILICATES -Rubannement plus ou moins conservée a 60 c/a montrant des porphyroblastes de GN(65%) et de MG(20%) avec du quartz(15%)(Dm:05cm). -Minéralisation: trace de Po, As et Py locale -Localement, on remarque des veinules mm de couleur noir (biotite) sans orientation préférentielle associé avec de la Py et Po (2%). 10.50 - 10.60 Skarn non minéralisée	13548 13549 13550 13601	7.30 8.80 10.20 11.40	8.80 10.20 11.40 12.15	1.50 1.40 1.20 0.75	9 64 7 99	-9 -9 -9 -9	0.9 1.1 1.1 1.4	-3 -3 -3 25	
12.15	13.05	MÉTASÉDIMENTS -Schistosité: 70 degré c/a	13602	12.15	13.05	0.90	32	-9	0.5	-3	
13.05	20.60	Zone de charnière dans S9D -Idems à 7.3 à 12.15 -Rubannement varie de 0 à 70 degré -Minéralisation: Localement, des zones avec As, Py, Po(3-5%) associées à Vqz et à des veinules de biotite (fractures tardives) sur 5 cm. 13.50 - 13.55 Veine de quartz minéralisée recoupant le rubannement. As(3%), Po(1%) et Py(1%) 14.70 - 14.83 M15 non minéralisée	13603 13604	13.05 14.60	14.60 15.50	1.55 0.90	172 47	-9 -9	0.8 0.9	117 -3	

DE (M)	A (M)	DESCRIPTION	Echan.	DE (M)	A (M)	Long (M)	Au ppb	Au g/t	Ag ppm	As ppm	
		14.90 - 15.15 Veines de qz cm avec un Po(5%), et PY(2%) recoupant le rubannement									
			13605	15.50	17.00	1.50	122	-9	1	-3	
			13606	17.00	18.50	1.50	30	-9	0.8	-3	
			13607	18.50	19.50	1.00	5	-9	0.9	-3	
		19.50 - 20.60 80% de M15 avec trace de PY	13608	19.50	20.60	1.10	23	-9	-0.2	-3	
20.60	23.60	MÉTABASALTES -Schistosité varie de 30 à 80 degré.	13609	20.60	22.00	1.40	14	-9	0.6	-3	
			13610	22.00	23.60	1.60	7	-9	0.6	-3	
23.60	26.00	FORMATION DE FER A SILICATES -Aucune minéralisation observée	13611	23.60	25.00	1.40	29	-9	0.6	-3	
			13612	25.00	26.00	1.00	185	-9	1	-3	
26.00	27.20	MÉTASÉDIMENTS -Schistosité varie de 20 à 30 degré	13613	26.00	27.20	1.20	73	-9	0.4	-3	
27.20	29.20	FORMATION DE FER A SILICATES -Contact avec zone de 20 cm de skarn non minéralisé -Rubannement vari de 0 à 60 degré -Localement Po(2%) dans S9D associée à des veinules de quartz,.	13614	27.20	28.20	1.00	14	-9	0.6	-3	
			13615	28.20	29.20	1.00	78	-9	0.9	-3	
29.20	50.00	MÉTASÉDIMENTS -Couleur gris blanchâtre à granulométrie moyenne composée de quartz(50%), plagioclase(20%) biotite(20-30%) et de grenat(5-10%) -Localement, la quantité de grenat atteint 30% -Aucun sulfures observés -Schistosité bien définie par l'orientation préférentielle de la biotite et varie de 15 à 90 degré(plissement)	13616	29.20	30.50	1.30	24	-9	0.5	-3	
			13617	42.50	43.50	1.00	10	-9	0.4	-3	
50.00	93.00	MÉTABASALTE -Couleur gris moyen à foncé verdâtre à granulométrie moyenne à grossière composée de hornblende(40-55%), plagioclase (30-40%), quartz(5%), biotite(2-10%) et grenat(tr-5%) -Localement, près de veines et veinules de quartz la quantité de biotite et de grenat atteint 20% et plus -Nbreuses veinules de QZ-CC et de QZ sans									

DE (M)	A (M)	DESCRIPTION	Echan.	DE (M)	A (M)	Long (M)	Au ppb	Au g/t	Ag ppm	As ppm	
		orientation préférentielle. Les veinules de quartz sont localement minéralisées en As, Po et Py (tr à 1%) et accompagnées d'une silicification et d'une sulfurisation disséminées dans les épontes (As, Po, Py:3-5%). -Schistosité: 40 à 80 degré c/a									
		50.00 - 53.00 Nbreuses veinules de CC. Minéralisation en trace (Py).	13618	50.00	51.50	1.50	71	-9	0.6	-3	
			13619	51.50	53.00	1.50	15	-9	0.5	-3	
			13620	53.00	54.50	1.50	166	-9	0.5	-3	
			13621	62.00	63.50	1.50	29	-9	0.8	-3	
			13622	63.50	65.00	1.50	20	-9	0.7	-3	
			13623	68.40	69.15	0.75	47	-9	0.3	-3	
		68.96 - 69.00 -Fragments de S9D minéralisée en Po (1%). -c/a dans le M1 à proximité est de 70 degré c/a.									
			13624	69.15	70.80	1.65	16	-9	0.4	-3	
			13625	70.80	72.20	1.40	461	-9	0.5	41	
		71.10 - 71.30 Zone silicifiée avec As, Py, Po(5%) disséminée									
			13626	75.60	77.00	1.40	59	-9	0.4	-3	
		77.00 - 80.50 Charnière : c/a varie de 0 à 90 degré	13627	77.00	78.30	1.30	18	-9	0.4	-3	
			13628	78.30	79.40	1.10	18	-9	0.4	-3	
			13629	79.40	80.60	1.20	10	-9	0.5	-3	
			13630	80.60	81.80	1.20	>1000	1.12	0.4	98	
		81.40 - 81.80 Zone silicifiée minéralisée en Py, As et Po (4%) disséminée et localement veinules de py recoupant le c/a perpendiculaire	13631	81.80	83.00	1.20	148	-9	0.3	-3	
			13632	83.00	84.50	1.50	13	-9	0.6	-3	
			13633	84.50	86.00	1.50	11	-9	0.4	-3	
			13634	86.00	87.50	1.50	7	-9	0.6	-3	
			13635	87.50	89.00	1.50	8	-9	0.6	-3	
			13636	89.00	90.50	1.50	6	-9	0.8	-3	
			13637	90.50	92.00	1.50	13	-9	0.3	-3	
			13638	92.00	93.00	1.00	28	-9	0.3	-3	

DE (M)	A (M)	DESCRIPTION	Echan.	DE (M)	A (M)	Long (M)	Au ppb	Au g/t	Ag ppm	As ppm	
		FIN DU TROU Nombre total d'échantillons : 44 Longueur totale échantillonée : 57.20									

SOQUEM (Appalaches-Grenville)

JOURNAL DE SONDAGE

Propriété: 11212

Trou no: 11212-9904 Zone no: AVINGALUK Contracteur: MAJOR
Débuté le: 04/08/1999
Terminé le: 05/08/1999
Canton :
Lot : Rang : Claim no:

Niveau : Section: Lieu de travail: TERRAIN

Coordonnées au collet Ligne : 35+00 S Latitude: 3500.00S Azimut: 55° 0' 0"
Station: 2+15 W Longitude: 215.00 O Inclinaison: -50° 0' 0"
Système de référence: GRID Elévation: 0.00 Longueur: 95.00

Arpenté par:

Tests de déviation

Profondeur	Inclinaison	Az Corrigé
-		-

Remarques :

Débit d'eau: Bouchon:
Cimenté : Dimension de la carotte: BQTK

Journal par: GUY CUERRIER Rédigé le: 06/08/1999 Trou no: 11212-9904

DE (M)	A (M)	DESCRIPTION	Echan.	DE (M)	A (M)	Long (M)	Au ppb	Au g/t	Ag ppm	As ppm	
0.00	3.00	CASING									
3.00	42.40	MÉTABASALTE	13640	4.00	5.50	1.50	73	-9	0.2	-3	
		-Couleur gris foncée verdâtre à granulométrie	13641	5.50	6.35	0.85	>1000	1.82	0.4	229	
		moyenne.	13642	6.35	7.50	1.15	37	-9	-0.2	-3	
		-Composé de HB(50%), PG(40%), Bo(5%) et QZ(5%)									
		-Schistosité généralement à 35-40 degré c/a									
		-Nbreuses veines et veinules de quartz et localement de CC associées à une silicification pénétrative avec, généralement des sulfures. Les épontes possèdent une texture porphyroblastique(HB et localement GN) avec relativement plus de BO(15-20%)									
		-Minéralisation: Associée aux Vqz et à la silicification en Py et Po (2-3%) disséminée et localement en As.									
		7.00 - 24.00	13643	7.50	9.00	1.50	28	-9	0.5	-3	
		Zone de charnière	13644	9.00	10.50	1.50	16	-9	0.2	-3	
		-C/a varie de 45 degré à 0 degré	13645	10.50	12.00	1.50	10	-9	-0.2	-3	
		-	13646	23.00	24.00	1.00	17	-9	-0.2	-3	
		23.50 - 23.70									
		Zone Silicifiée avec Py(2%), Po(1%)	13647	27.00	27.60	0.60	25	-9	-0.2	-3	
		27.10 - 27.60									
		Veine de Qz-Pg-Gr minéralisée									
		-Minéralisation en Cp-Py-Po en trace	13648	27.60	29.00	1.40	13	-9	0.2	-3	
		29.00 - 29.50	13649	29.00	30.20	1.20	478	-9	-0.2	-3	
		Zone relativement plus minéralisée en Po, Py (jusqu'à 8%)	13650	30.20	31.60	1.40	13	-9	0.3	-3	
			13551	31.60	33.00	1.40	16	-9	-0.2	-3	
		37.80 - 42.40	13552	37.80	39.00	1.20	9	-9	0.7	-3	
		Nbreuses veines de quartz minéralisées	13553	39.00	40.50	1.50	10	-9	0.4	-3	
		-C/a à 40 degré	13554	40.50	41.40	0.90	11	-9	0.3	-3	
		-Minéralisation généralement en Py(2%) avec localement de la Po et As(1%)	13555	41.40	42.40	1.00	49	-9	0.4	-3	
		-Les épontes possèedent une texture porphyroblastique de HB (Dm: .5 à 1cm) avec de la minéralisation disséminée Py,									

DE (M)	A (M)	DESCRIPTION	Echan.	DE (M)	A (M)	Long (M)	Au ppb	Au g/t	Ag ppm	As ppm	
		Po, As(jusqu'à 3%).									
42.40	83.10	FORMATION DE FER A OXYDES -Rubannement millimétrique relativement bien conservée de Mg avec localement de la GN(10-20%) et de chert montrant des évidences de plissement symétrique et asymétrique (Zone de charnière) -Localement, on rencontre des veinules noirs aphanitique de dureté faible (chlorite?) sans orientation préférentielle minéralisée en Py. Minéralisation: Seulement le contact est faiblement minéralisé									
		42.40 - 45.00 Intense silicification Rubannement non conservée avec localement des zones minéralisées en Py et PO									
		42.40 - 42.90 Zone minéralisée en Py(4%), Po(1%) et trace de As associée à une silicification intense brêchifiant la S9.	13556	42.40	42.85	0.45	344	-9	0.7	5	
			13557	42.85	43.90	1.05	41	-9	0.6	-3	
			13558	43.90	45.00	1.10	16	-9	1	-3	
			13559	45.00	46.50	1.50	13	-9	1	-3	
		47.34 - 47.35 Veinules de 5 mm à 45 degré du c/a (parallèle au rubannement) de chlorite.									
			13560	50.00	51.00	1.00	11	-9	0.7	-3	
		51.00 - 51.81 Fracturation millimétrique tardive sans orientation préférentielle de couleur noir(biotite) avec Py(1%)	13561	51.00	52.25	1.25	33	-9	0.4	-3	
			13562	52.25	53.25	1.00	10	-9	0.7	-3	
			13563	60.00	61.40	1.40	8	-9	1	-3	
			13564	61.40	63.00	1.60	12	-9	1	-3	
		61.80 - 62.30 Zone avec fracturation tardive de couleur noir(biotite) de 1mm minéralisé en PY									
			13565	63.00	64.00	1.00	9	-9	0.8	-3	

DE (M)	A (M)	DESCRIPTION	Echan.	DE (M)	A (M)	Long (M)	Au ppb	Au g/t	Ag ppm	As ppm	
		67.50 - 67.80 Porphyroblastes de GN (Dm: 1-2 cm) avec amas de MG en inclusion (remplacement de la MG par GN). PY,PO en trace. 68.20 - 68.40 Présence de fracturation tardive remplie de biotite avec des porphyroblastes de GN remplaçant la MG. Aucun sulfure	13566	68.50	69.00	0.50	9	-9	0.8	-3	
			13567	69.00	70.00	1.00	24	-9	0.5	-3	
			13568	70.00	70.50	0.50	27	-9	1	-3	
		70.10 - 70.35 Porphyroblastes de GN avec amas de MG et PO(tr). GN remplace MG	13569	70.50	71.00	0.50	19	-9	0.5	-3	
		71.00 - 71.10 Idems	13570	71.00	72.00	1.00	17	-9	0.6	-3	
			13571	72.00	73.00	1.00	17	-9	0.8	-3	
			13572	78.00	79.00	1.00	14	-9	0.6	-3	
			13573	79.00	80.00	1.00	21	-9	0.7	-3	
			13574	80.00	81.00	1.00	16	-9	0.5	-3	
		80.40 - 80.55 Présence de Po en trace									
83.10	92.00	FORMATION DE FER Ä SILICATES -Rubannement localement conservée montrant des alternance de lamines de chert et de GN avec 10% de MG et 5 à 20% de GR. -Localement, on rencontre des injections de skarn(QZ-GR-GN-BO) -Fréquement des zones de porphyroblastes de GN et HB avec possiblement des Px sont présentent et mnéralisées -Le rubannement lorsque conservée est à 70-90 degré c/a -Minéralisation:PO et PY (2-3%) en amas dans les zones de skarns	13575	83.10	84.00	0.90	27	-9	0.7	-3	
		83.40 - 83.55 Injections de QZ-GR non minéralisé	13576	84.00	85.50	1.50	87	-9	1	-3	

DE (M)	A (M)	DESCRIPTION	Echan.	DE (M)	A (M)	Long (M)	Au ppb	Au g/t	Ag ppm	As ppm	
			13577	85.50	87.00	1.50	39	-9	0.6	-3	
			13578	87.00	88.50	1.50	71	-9	0.4	-3	
			13579	88.50	89.90	1.40	33	-9	0.5	-3	
		89.90 - 90.10 Zone de skarn GR-BO-QZ avec 3% de PY	13580	89.90	90.50	0.60	56	-9	0.7	-3	
			13581	90.50	92.00	1.50	50	-9	0.2	-3	
92.00	95.00	MÉTASÉDIMENTS	13582	92.00	93.00	1.00	15	-9	-0.2	-3	
		FIN DU TROU									
		Nombre total d'échantillons : 43 Longueur totale échantillonée : 48.35									

SOQUEM (Appalaches-Grenville)

JOURNAL DE SONDAGE

Propriété: 11212

Trou no: 11212-9905 Zone no: AVINGALUK Contracteur: MAJOR Débuté le: 06/08/1999
Canton : Terminé le: 06/08/1999
Lot : Rang : Claim no:

Niveau : Section: Lieu de travail: TERRAIN

Coordonnées au collet Ligne : 30+63 S Latitude: 3063.00S Azimut: 145° 0' 0"
Station: 0+35 W Longitude: 35.00 O Inclinaison: -45° 0' 0"
Système de référence: GRID Elévation: 0.00 Longueur: 40.50

Arpenté par:

Tests de déviation

Profondeur	Inclinaison	Az Corrigé
-		-

Remarques :

Débit d'eau: Bouchon:
Cimenté : Dimension de la carotte: BQ

Journal par: GUY CUERRIER Rédigé le: 07/08/1999 Trou no: 11212-9905

DE (M)	A (M)	DESCRIPTION	Echan.	DE (M)	A (M)	Long (M)	Au ppb	Au g/t	Ag ppm	As ppm	
0.00	4.00	CASING									
4.00	17.60	MÉTASÉDIMENTS -Couleur gris blanchâtre à granulométrie variant de fine à grossière composé de quartz(50-60%), plagioclase(15%), biotite(20%), grenats(5-15%) -Schistosité varie de 30 à 70 degré -Non-minéralisé	13583 13584 13585	6.00 12.00 16.50	7.50 13.50 17.60	1.50 1.50 1.10	20 16 21	-9 -9 -9	-0.2 -0.2 0.3	-3 -3 -3	
17.60	20.70	INJECTION DE SKARN -Zone composée de GR(25%;jusqu'à 40%) (Dm:.5cm) dans une matrice de BO grossière(60-75%) avec localement des fragments(30cm) de S9D minéralisée -Le skarn n'est pas minéralisé -On remarque une orientation préférentielle de la BO à 40 degré c/a.									
		17.60 - 18.10 Fragments de S9D minéralisée -As, Po, et Py (3%). -Présence de veinules de chlorite noir minéralisées en PY	13586	17.60	18.10	0.50	713	-9	0.9	101	
			13587 13588	18.10 19.50	19.50 20.70	1.40 1.20	26 16	-9 -9	0.2 -0.2	-3 -3	
20.70	34.50	FORMATION DE FER Ä SILICATES ET Ä OXYDES -Alternance de lamines mm de chert et de MG ainsi que de GN -Les lamines varient de 0 à 65 degré du c/a. -Minéralisation locale et en trace (PO)	13589 13590 13591 13592 13593 13594 13595	20.70 22.00 23.50 25.00 26.50 28.00 29.50	22.00 23.50 25.00 26.50 28.00 29.50 30.45	1.30 1.50 1.50 1.50 1.50 1.50 0.95	360 10 25 13 12 10 9	-9 -9 -9 -9 -9 -9 -9	0.5 0.4 0.4 0.6 0.3 0.3 0.4	-3 -3 -3 -3 -3 -3 -3	
		30.45 - 30.80 VEINE DE QZ -Veine de QZ avec 3% de GR non minéralisée recoupant les lamines.	13596	30.45	31.50	1.05	10	-9	0.4	-3	
			13597 13598	31.50 33.00	33.00 34.50	1.50 1.50	15 51	-9 -9	0.7 0.4	-3 -3	
34.50	40.50	MÉTASÉDIMENS	13599 13600	34.50 39.00	36.00 40.50	1.50 1.50	38 12	-9 -9	-0.2 -0.2	-3 -3	

DE (M)	A (M)	DESCRIPTION	Echan.	DE (M)	A (M)	Long (M)	Au ppb	Au g/t	Ag ppm	As ppm	
		FIN DU TROU Nombre total d'échantillons : 18 Longueur totale échantillonée : 24.00									

SOQUEM (Appalaches-Grenville)

JOURNAL DE SONDAGE

Propriété: 11212

Trou no: 11212-9906 Zone no: AMARUK Contracteur: MAJOR Débuté le: 06/08/1999
Canton : Terminé le: 06/07/1999
Lot : Rang : Claim no:

Niveau : Section: Lieu de travail: TERRAIN

Coordonnées au collet Ligne : 9+75 S Latitude: 975.00S Azimut: 75° 0' 0"
Station: 0+20 E Longitude: 20.00 E Inclinaison: -55° 0' 0"
Système de référence: GRID Elévation: -1.50 Longueur: 75.00

Arpenté par:

Tests de déviation

Profondeur	Inclinaison	Az Corrigé
-		-

Remarques :

Débit d'eau: Bouchon:
Cimenté : Dimension de la carotte: BQ

Journal par: GUY CUERRIER Rédigé le: 07/08/1999 Trou no: 11212-9906

DE (M)	A (M)	DESCRIPTION	Echan.	DE (M)	A (M)	Long (M)	Au ppb	Au g/t	Ag ppm	As ppm	
0.00	4.00	CASING									
4.00	23.30	MÉTABASALTE -Couleur gris verdâtre foncé à granulométrie fine à moyenne composée de HB(40-50%), de PG(30-45%) et de biotite(5%). -Alrération:silicification moyenne à intense locale et légèrement carbonaté -Présence de nombreuses veines et veinules de QZ-CC localement minéralisées (fréquence:5/1mètres). Les épontes de ces veines et veinules possèdent relativement plus de biotite (jusqu'à 20%) grossier et localement on observe du grenat(3-5%) -Schistosité: 65-70 degré c/a -Minéralisation:Py,Po,As(2%) disséminée dans les zones silicifiées et dans les épontes des veinules et veines de Qz sur quelques cm (2-5cm) 4.40 - 4.80 Veinules et veines de quartz faiblement carbonatées associées è une silicification dans les épontes minéralisées en PO, PY(2%) et CP(tr)	13651	4.00	5.00	1.00	>1000	1.53	0.2	42	
			13652	5.00	5.60	0.60	150	-9	-0.2	-3	
			13653	5.60	7.00	1.40	302	-9	-0.2	124	
			13654	7.00	8.00	1.00	230	-9	-0.2	11	
			13655	8.00	9.00	1.00	71	-9	-0.2	3	
			13656	9.00	10.50	1.50	297	-9	-0.2	396	
			13657	10.50	12.00	1.50	29	-9	-0.2	-3	
			13658	12.00	13.50	1.50	93	-9	-0.2	-3	
			13659	13.50	15.00	1.50	72	-9	-0.2	-3	
			13660	15.00	16.50	1.50	22	-9	-0.2	-3	
			13661	16.50	18.00	1.50	72	-9	-0.2	-3	
			13662	18.00	19.50	1.50	12	-9	-0.2	-3	
			13663	19.50	21.00	1.50	259	-9	-0.2	38	
			13664	21.00	22.50	1.50	332	-9	-0.2	73	
			13665	22.50	23.30	0.80	74	-9	-0.2	-3	
23.30	34.10	FORMATION DE FER Ä OXYDES -Lamines + ou - bien définies millimétrique à 55-60 degré c/a montrant une alternance de bandes de chert(30-40%) et de magnétite(30%) avec de la hornblende(5%) et de la grunérite(20%) -Présence de zones de silicification intense									

DE (M)	A (M)	DESCRIPTION	Echan.	DE (M)	A (M)	Long (M)	Au ppb	Au g/t	Ag ppm	As ppm	
		minéralisées (faille) avec des porphyroblastes (Dm:1 cm) de grunérite et de hornblende. Des sulfures sont présents en inclusion dans les silicates. Minéralisation: Po, Py et As associés aux zones silicifiées(faille). Localement, les pourcentages de sulfures atteignent 30% sur des épaisseurs de 20-30 cm)									
		23.30 - 30.00 Zone de faille -Intense silicification localement minéralisée brêchifiant la formation de fer, lamination non conservée. -Présence de nombreux porphyroblastes de silicates et d'amas de MG centimétrique; "floding" -Localement, on remarque des veinules de de biotite fine accompagnées de PY.	13666	23.30	24.10	0.80	136	-9	0.3	-3	
		24.10 - 26.10 Zone minéralisée en PO et PY (5%). Localement, les pourcentages atteignent jusqu'à 40% sur des épaisseurs de 20 cm.	13667 13668	24.10 25.00	25.00 26.10	0.90 1.10	>1000 >1000	1.56 3.28	0.5 0.2	-3 -3	
		26.10 - 27.00 Zone minéralisée en Po(3%),Py(2%) et As(3%)	13669	26.10	27.20	1.10	>1000	9.98	0.5	148	
		27.00 - 27.20 Zone minéralisée en (15%)Py, (3%)Po et trace de As									
		27.20 - 30.00 Zone faiblement minéralisée (trace à 1%) Py,Po,As.	13670 13671 13672 13673	27.20 28.80 30.00 31.50	28.80 30.00 31.50 32.30	1.60 1.20 1.50 0.80	970 >1000 72 72	-9 17.27 -9 -9	-0.2 0.5 0.3 -0.2	-3 -3 -3 -3	
		32.30 - 32.80 Zone avec de nombreuses veinules de biotite fine minéralisée en Py(3-5%)	13674 13675	32.30 32.80	32.80 34.10	0.50 1.30	367 41	-9 -9	0.3 0.5	-3 -3	

DE (M)	A (M)	DESCRIPTION	Echan.	DE (M)	A (M)	Long (M)	Au ppb	Au g/t	Ag ppm	As ppm	
34.10	60.50	MÉTAPÉLITE Ä BIOTITE-GRENAT	13676	34.10	35.50	1.40	18	-9	-0.2	-3	
		-Couleur gris blanchâtre à granulométrie fine à	13677	42.00	43.50	1.50	9	-9	-0.2	-3	
		moyenne composée de QZ(55%), BO(25%), PG(10%) et	13678	51.00	52.50	1.50	18	-9	-0.2	-3	
		GR(10%).	13679	57.00	58.00	1.00	10	-9	-0.2	-3	
		-Schistosité: 75 degré c/a	13680	58.00	58.50	0.50	10	-9	-0.2	-3	
		-Nombreuses veines de QZ-PG légèrement carbonatées									
		58.05 - 58.40 FORMATION DE FER Ä SILICATES INJECTÉE DE MOBILISAT -Pophyroblastes de grunérite avec trace de magnétite dans une matrice de QZ-GR avec trace de PO et PY.	13681	58.50	59.10	0.60	18	-9	-0.2	-3	
		58.90 - 59.00 VEINE DE QZ-GR MINÉRALISÉE -3% de Py et 5% de Po disséminée et en filonnets.	13682	59.10	60.00	0.90	8	-9	-0.2	-3	
			13683	60.00	61.20	1.20	7	-9	-0.2	-3	
60.50	75.00	MÉTABASALTE	13684	61.20	62.50	1.30	4	-9	-0.2	-3	
		-Couleur gris verdâtre foncé à granulométrie fine à moyenne composé de hornblende(40%), plagioclase(30%), de quartz(5%), de biotite (5%), de grenat(5%) -Altération: Nombreuses veines et veinules de QZ-CC associée à une silicification intense des épontes et une légère carbonatisation. Présence locale de grunérite et de grenat jusqu'à 20% aux bordures des veines. -Minéralisation: trace de PY et PO.									
		66.90 - 67.50 Zones silicifiées avec des porphyroblastes de GN et de la PY en trace. -Non magnétique	13685	66.90	67.50	0.60	6	-9	-0.2	7	
			13686	73.50	75.00	1.50	6	-9	-0.2	-3	
		FIN DU TROU									
		Nombre total d'échantillons : 36									
		Longueur totale échantillonée : 42.10									

SOQUEM (Appalaches-Grenville)

JOURNAL DE SONDAGE

Propriété: 11212

Trou no: 11212-9907 Zone no: AMARUK Contracteur: MAJOR Débuté le: 07/08/1999
Canton : Terminé le: 07/08/1999
Lot : Rang : Claim no:

Niveau : Section: Lieu de travail: TERRAIN

Coordonnées au collet Ligne : 10+08 S Latitude: 1008.00S Azimut: 75° 0' 0"
Station: 0+18 E Longitude: 18.00 E Inclinaison: -45° 0' 0"
Système de référence: GRID Elévation: -1.00 Longueur: 75.00

Arpenté par:

Tests de déviation

Profondeur	Inclinaison	Az Corrigé
-		-

Remarques :

Débit d'eau: Bouchon:
Cimenté : Dimension de la carotte: BQ

Journal par: GUY CUERRIER Rédigé le: 08/08/1999 Trou no: 11212-9907

DE (M)	A (M)	DESCRIPTION	Echan.	DE (M)	A (M)	Long (M)	Au ppb	Au g/t	Ag ppm	As ppm	
0.00	4.00	CASING									
4.00	28.80	MÉTABASALTE	13687	4.00	5.25	1.25	50	-9	-0.2	-3	
		-Couleur gris moyen verdâtre à granulométrie fine composé de hornblende(50%), plagioclase(40%), biotite(10%).	13688	5.25	6.00	0.75	477	-9	-0.2	262	
		-Altération: Intense silicification caractérisé par une fréquence de veinules et de veines de QZ (5-8/1m) altérant les épontes sur une épaisseur de 5 à 10 cm. Légère carbonatisation (CC). Les veines et veinules sont généralement parallèles à la schistosité.									
		-Les épontes des veinules et veinules possèdent une granulométrie grossière et du grenat(5%) et sont relativement plus riche en biotite.									
		-Schistosité: 70 degré c/a									
		-Minéralisation: As, Po et Py (jusqu'à 4%) disséminée associée aux veinules et veines de QZ et dans les épontes.									
		5.40 - 6.00 Veinules et veines de QZ légèrement carbonatées minéralisées en Po, Py et As (2%)	13689	6.00	7.50	1.50	226	-9	-0.2	55	
			13690	7.50	9.00	1.50	509	-9	-0.2	320	
			13691	9.00	10.00	1.00	47	-9	-0.2	4	
			13692	10.00	11.00	1.00	18	-9	-0.2	-3	
			13693	11.00	12.00	1.00	23	-9	-0.2	62	
		11.40 - 12.00 Idems	13694	12.00	13.50	1.50	24	-9	-0.2	-3	
			13695	13.50	14.90	1.40	174	-9	-0.2	-3	
			13696	14.90	16.00	1.10	164	-9	-0.2	-3	
			13697	16.00	17.00	1.00	21	-9	-0.2	-3	
			13698	20.60	21.60	1.00	505	-9	-0.2	222	
			13699	25.00	26.10	1.10	>1000	1.48	-0.2	172	
		26.10 - 26.70 Silicification intense minéralisée en As, Py, Po disséminée (4-5%)	13700	26.10	27.00	0.90	>1000	5.32	-0.2	333	
			13701	27.00	28.00	1.00	534	-9	-0.2	-3	
			13702	28.00	28.80	0.80	431	-9	-0.2	23	

DE (M)	A (M)	DESCRIPTION	Echan.	DE (M)	A (M)	Long (M)	Au ppb	Au g/t	Ag ppm	As ppm	
		28.30 - 28.80 Contact faillé silicifié possèdant une granulométrie grossière avec 20% de biotite et des fragment de S9D -Minéralisation: Filonnets et amas de PY(3%) locale.									
28.80	41.20	FORMATION DE FER Ä OXYDES ET SILICATES	13703	28.80	30.00	1.20	52	-9	0.2	-3	
		-Lamines localement sont + ou - bien définies à 65 degré c/a.	13704	30.00	31.50	1.50	125	-9	0.4	-3	
		-Présence de nombreuses zones avec fragments de S9B et S9D dans une matrice de biotite avec grenat (zone de faille) localement minéralisées en Py et PO.									
		31.19 - 31.21 Zone de magnétite massive	13705	31.50	32.40	0.90	336	-9	0.5	-3	
		32.30 - 32.40 Zone de faille (mylonite) avec 20% de fragments de S9B et S9D centimétriques (cataclastite) dans une matrice de biotite avec localement du grenat. -Aucune minéralisation	13706	32.40	33.15	0.75	123	-9	0.2	-3	
		33.15 - 34.60 Zone de faille minéralisée -Minéralisation en Py (2%) et Po(2%) disséminée et en filonnets. Localement, jusqu'à 8% de sulfures sur des épaisseurs centimétrique.	13707	33.15	34.60	1.45	222	-9	-0.2	-3	
			13708	34.60	35.20	0.60	94	-9	-0.2	-3	
		35.10 - 35.20 Zone de faille avec Py et Po en trace	13709	35.20	36.20	1.00	58	-9	0.3	-3	
		36.20 - 36.50 Zone de faille avec 1% de Py et Po	13710	36.20	37.40	1.20	87	-9	0.6	-3	
			13712	37.40	38.00	0.60	398	-9	0.7	-3	
		37.50 - 37.70 Veine de quartz minéralisant les épontes sur 3-4 cm en PY(10%)									

DE (M)	A (M)	DESCRIPTION	Echan.	DE (M)	A (M)	Long (M)	Au ppb	Au g/t	Ag ppm	As ppm	
			13713	38.00	39.00	1.00	96	-9	0.3	-3	
			13714	39.00	40.00	1.00	97	-9	0.3	-3	
		39.20 - 39.40 Zone de faille minéralisée -Minéralisation en amas et filonnets de PY(3%)									
		39.40 - 41.20 Injection de skarn QZ-GR-AB avec localement des fragments de métabasalte et des zones à biotite massive -Minéralisation en PO et PY disséminée (tr-1%)	13715	40.00	41.20	1.20	58	-9	-0.2	-3	
41.20	69.85	MÉTASÉDIMENTS -Couleur blanchâtre à granulométrie fine à moyenne composé de quartz(60), PG(10-15%), Bo(15-20%) et de GR(5%) Schistosité: 70 degré c/a -Nombreuses fractures chloriteuses avec de la calcite et de la PY en plaquage -Nombreuses veines et veinules de QZ avec un peu de CC(2%) -Nombreuses injection subpegmatique prèes du contact avec le métabasalte	13716	41.20	42.50	1.30	14	-9	-0.2	-3	
			13717	51.00	52.50	1.50	9	-9	0.4	-3	
			13718	60.00	61.20	1.20	9	-9	-0.2	-3	
		64.40 - 66.00 Veines de QZ-GR localement minéralisées en PY(tr) avec des injection subpegmatique	13719	64.40	66.00	1.60	8	-9	-0.2	-3	
			13720	69.40	70.00	0.60	9	-9	-0.2	-3	
		69.60 - 69.90 Zone de faille carbonatée et chloritisée avec une injection subpegmatique									
69.85	75.00	MÉTABASALTE -Altération: Nombreuses zones silicifiée avec 10 à 20% de grenats et 30% de biotite -Minéralisation en Py et Po en trace	13721	70.00	71.00	1.00	20	-9	-0.2	-3	
		70.60 - 70.75 Veine de QZ-GR-BO minéralisée en									

DE (M)	A (M)	DESCRIPTION	Echan.	DE (M)	A (M)	Long (M)	Au ppb	Au g/t	Ag ppm	As ppm	
		PY-PO(2%)	13722	71.00	72.00	1.00	18	-9	-0.2	-3	
		71.30 - 71.80 Veine de QZ-GR-BO minéralisée en PY-PO(3%) et CP(tr) en amas et disséminée									
		FIN DU TROU									
		Nombre total d'échantillons : 35 Longueur totale échantillonée : 38.40									

SOQUEM (Appalaches-Grenville)

JOURNAL DE SONDAGE

Propriété: 11212

Trou no: 11212-9908 Zone no: AMARUK Contracteur: MAJOR Débuté le: 08/08/1999
Canton : Terminé le: 08/08/1999
Lot : Rang : Claim no:

Niveau : Section: Lieu de travail: TERRAIN

Coordonnées au collet Ligne : 9+50 S Latitude: 950.00S Azimut: 75° 0' 0"
Station: 0+20 E Longitude: 20.00 E Inclinaison: -55° 0' 0"
Système de référence: GRID Elévation: -1.00 Longueur: 69.00

Arpenté par:

Tests de déviation

Profondeur	Inclinaison	Az Corrigé
-		-

Remarques :

Débit d'eau: Bouchon:
Cimenté : Dimension de la carotte: BQ

Journal par: GUY CUERRIER Rédigé le: 09/08/1999 Trou no: 11212-9908

DE (M)	A (M)	DESCRIPTION	Echan.	DE (M)	A (M)	Long (M)	Au ppb	Au g/t	Ag ppm	As ppm	
0.00	3.00	CASING									
3.00	22.80	MÉTABASALTE	13723	6.60	7.50	0.90	24	-9	-0.2	-3	
		-Couleur gris moyen verdâtre à granulométrie fine à moyenne composé de hornblende(50%), plagioclase(40%), quartz(5%), biotite(5-10%) et grenat(2-4%)	13724	7.50	8.50	1.00	30	-9	-0.2	-3	
		-Altération: silicification intense pénétrative associée à des veines et des veinules de quartz légèrement carbonatisées et minéralisées. Les veines et veinules sont parrllèle au c/a	13725	9.50	10.35	0.85	323	-9	-0.2	114	
		-Schistosité:70 degré c/a									
		-Minéralisation:Py,PO,AS disséminée dans les épontes des veines et des veinules de quartz.									
		10.15 - 10.35 Veine de QZ de 3 cm avec silicification dans lea épontes et minéralisation en As(2%), PY(2%) disséminée	13726	10.35	11.50	1.15	66	-9	-0.2	-3	
			13727	11.50	12.30	0.80	336	-9	-0.2	-3	
		12.30 - 12.80 Veine de quartz associé à une silicification des épontes avec As(tr), Py(1%) et PO(3%) disséminée.	13728	12.30	12.80	0.50	891	-9	-0.2	-3	
			13729	12.80	13.80	1.00	38	-9	-0.2	-3	
		13.70 - 13.80 Veine de QZ-CC minéralisant les épontes en PY(1%). Veine recoupe la schistosité perpendiculairement.									
			13730	20.00	21.50	1.50	45	-9	-0.2	-3	
		21.50 - 22.80 Zone de contact à granulométrie moyenne à grossière silicifiée et minéralisé en Py et Po(tr à 1%)	13731	21.50	22.80	1.30	960	-9	-0.2	92	
22.80	36.70	FORMATION DE FER Ä OXYDES ET Ä SILICATES									
		-Lamines + ou - bien définies à 70-80 degré c/a avec de nombreuses zones centimétriques de faille caractérisée par l'apparition de porphyroblastes de HB et GN et de la silicification intense et/ou des zones avec des									

DE (M)	A (M)	DESCRIPTION	Echan.	DE (M)	A (M)	Long (M)	Au ppb	Au g/t	Ag ppm	As ppm	
		fragments de S9B et S9D dans une matrice de biotite. -Minéralisation: Associée aux zones de faille. Py,Po(jusqu'à 20% localement) et As(tr-2%) -Nombreux plis asymétrique en Z									
		22.80 - 22.90 Zone avec porphyroblastes (Dm:2 cm) de GN et de magnétite minéralisée en Py(3%)	13732	22.80	24.00	1.20	202	-9	-0.2	-3	
		23.10 - 23.15 Fragments de métabasalte	13733	24.00	24.50	0.50	>1000	1.01	0.3	161	
		24.25 - 24.38 Silicification intense avec porphyroblastes de GN, MG et HB minéralisée en PO(2%), PY(10%), As(1%)	13734	24.50	25.50	1.00	640	-9	-0.2	-3	
		24.80 - 25.50 Silicification moyenne avec porphyroblastes de GN, MG et GR minéralisée faiblement en Py et As(1%)	13735	25.50	26.45	0.95	73	-9	0.3	-3	
			13736	26.45	27.40	0.95	60	-9	0.4	-3	
			13737	27.40	28.50	1.10	220	-9	0.3	-3	
			13738	28.50	30.00	1.50	214	-9	-0.2	-3	
			13739	30.00	30.50	0.50	59	-9	-0.2	-3	
		30.50 - 31.00 Silicification intense (Floding) avec porphyroblastes de GN et MG légèrement minéralisée en PY et Po(tr)	13740	30.50	31.00	0.50	39	-9	-0.2	-3	
			13741	31.00	32.50	1.50	38	-9	0.3	-3	
			13742	32.50	34.10	1.60	40	-9	-0.2	-3	
		34.10 - 36.70 Zone de faille avec injection de skarn QZ-GR-BO minéralisé localement en Py, Po(jusqu'à 10% sur des épaisseur de 10 cm) et As(2-3% localement). -Schistosité à 30 degré c/a	13743	34.10	34.80	0.70	147	-9	0.2	-3	
			13744	34.80	35.30	0.50	83	-9	0.2	-3	
			13745	35.30	35.90	0.60	508	-9	-0.2	42	
			13746	35.90	36.70	0.80	408	-9	-0.2	-3	

DE (M)	A (M)	DESCRIPTION	Echan.	DE (M)	A (M)	Long (M)	Au ppb	Au g/t	Ag ppm	As ppm	
36.70	57.00	MÉTASÉDIMENTS	13747	36.70	38.00	1.30	38	-9	-0.2	-3	
		-Couleur gris blanchâtre à granulométrie fine à	13748	42.00	43.50	1.50	20	-9	0.3	-3	
		grossière composé de quartz(50-60%),	13749	51.00	52.50	1.50	54	-9	-0.2	-3	
		biotite(15-20%), plagioclase(5%) et grenat(2-10%)									
		53.00 - 53.50									
		MÉTABASALTE									
			13750	56.00	56.80	0.80	15	-9	-0.2	-3	
			13751	56.80	57.35	0.55	10	-9	-0.2	-3	
		56.90 - 57.30									
		Contact faillé caractérisé par des									
		fragments(30%) de quartz-plagioclase dans									
		une matrice de quartz-biotite non									
		minéralisée									
57.00	69.00	MÉTABASALTE	13752	57.35	58.50	1.15	20	-9	-0.2	-3	
			13753	58.50	60.00	1.50	20	-9	-0.2	-3	
		63.00 - 65.90	13754	63.00	64.40	1.40	45	-9	-0.2	-3	
		Zone de skarn QZ-GR avec porphyroblastes	13755	64.40	65.90	1.50	16	-9	-0.2	-3	
		de grunérite légèrement minéralisée en Py									
		et Po(tr-1%)									
			13756	67.60	69.00	1.40	18	-9	-0.2	-3	
		FIN DU TROU									
		Nombre total d'échantillons : 34									
		Longueur totale échantillonée : 35.50									

SOQUEM (Appalaches-Grenville)

JOURNAL DE SONDAGE

Propriété: 11212

Trou no: 11212-9909 Zone no: AMARUK Contracteur: MAJOR Débuté le: 10/08/1999
Canton : Terminé le: 10/08/1999
Lot : Rang : Claim no:

Niveau : Section: Lieu de travail: TERRAIN

Coordonnées au collet Ligne : 12+90 S Latitude: 1290.00S Azimut: 75° 0' 0"
Station: 0+20 W Longitude: 20.00 O Inclinaison: -50° 0' 0"
Système de référence: GRID Elévation: 0.00 Longueur: 51.00

Arpenté par:

Tests de déviation

Profondeur	Inclinaison	Az Corrigé
-		-

Remarques :

Débit d'eau: Bouchon:
Cimenté : Dimension de la carotte: BQ

Journal par: GUY CUERRIER Rédigé le: 12/08/1999 Trou no: 11212-9909

DE (M)	A (M)	DESCRIPTION	Echan.	DE (M)	A (M)	Long (M)	Au ppb	Au g/t	Ag ppm	As ppm	
0.00	3.00	CASING									
3.00	36.10	MÉTABASALTE	13847	5.00	6.10	1.10	193	-9	-0.2	-3	
		-Couleur gris foncé verdâtre à granulométrie	13848	6.10	7.40	1.30	240	-9	-0.2	-3	
		moyenne composé de hornblende(40%),	13849	7.40	8.90	1.50	84	-9	-0.2	-3	
		plagioclase(50%) et biotite(10%).	13850	8.90	10.30	1.40	36	-9	-0.2	-3	
		-Texture granoblastique et localement gneissique	13901	10.30	11.00	0.70	10	-9	-0.2	-3	
		-Altération: Silicification moyenne avec une	13902	17.70	19.00	1.30	19	-9	-0.2	-3	
		légère carbonatisation. De nombreuses veines et	13903	27.00	28.00	1.00	12	-9	-0.2	-3	
		veinules de quartz sont présentes avec localement	13904	33.50	34.50	1.00	50	-9	0.3	-3	
		des plagioclase de granulométrie grossière	13905	34.50	35.10	0.60	32	-9	-0.2	-3	
		(subpegmatique)									
		-Schistosité: 75 degré c/a déterminé par la									
		texture gneissique									
		-Minéralisation: PO et PY(1-2%) associée à des									
		zones avec des veinules et veines de									
		quartz-carbonates minéralisant les épontes sur									
		des épaisseurs centimétriques. Localement on									
		rencontre de l'As(2%) disséminée									
		35.10 - 36.10	13906	35.10	36.10	1.00	>1000	1.1	0.3	93	
		As(1%), Py(1%) et Po(1%) à granulométrie									
		fine disséminée associée à une									
		silicification moyenne avec relativement									
		plus de biotite(20%)									
36.10	39.40	Zone de faille	13907	36.10	37.00	0.90	244	-9	-0.2	-3	
		-Faille caractérisée par une schistosité intense									
		dûe aux pourcentage élevés en biotite(jusqu'à									
		95%) à 50 degré c/a									
		-Localement, on remarque des textures brèchique									
		constituée de fragments de quartz, de S9D avec									
		des porphyroblastes de grenats, de hornblende et									
		de grunérite dans une matrice de biotite									
		minéralisée en Py et Po(5%)									
		Des veines de quartz non minéralisée recoupent la									
		schistosité									
		36.40 - 36.70									
		Biotitite avec 3-5% de grenat et trace de									
		quartz									
			13908	37.00	38.00	1.00	26	-9	-0.2	-3	
			13909	38.00	38.90	0.90	178	-9	-0.2	-3	

DE (M)	A (M)	DESCRIPTION	Echan.	DE (M)	A (M)	Long (M)	Au ppb	Au g/t	Ag ppm	As ppm	
		38.50 - 38.65 Zone silicifiée avec porphyroblastes de GR et de GN ainsi que des fragments de magnétite(Dm:3mm) (S9B). Minéralisation:Py et Po(4%)	13910	38.90	39.40	0.50	>1000	2.08	-0.2	10	
		39.10 - 39.40 Formation de fer à silicates avec une silicification intense minéralisée en Py et PO(5-8%)									
39.40	51.00	MÉTASÉDIMENTS	13911	39.40	40.50	1.10	57	-9	-0.2	-3	
			13912	45.00	46.50	1.50	33	-9	-0.2	-3	
		46.20 - 46.45 Veines de quartz avec trace de PO	13913	50.00	51.00	1.00	49	-9	0.4	-3	
		FIN DU TROU Nombre total d'échantillons : 17 Longueur totale échantillonée : 17.80									

SOQUEM (Appalaches-Grenville)

JOURNAL DE SONDAGE

Propriété: 11212

Trou no: 11212-9910 Zone no: AMARUK Contracteur: MAJOR Débuté le: 10/08/1999
Canton : Terminé le: 10/08/1999
Lot : Rang : Claim no:

Niveau : Section: Lieu de travail: TERRAIN

Coordonnées au collet Ligne : 13+17 S Latitude: 1317.00S Azimut: 75° 0' 0"
Station: 0+17 W Longitude: 17.00 O Inclinaison: -50° 0' 0"
Système de référence: GRID Elévation: 0.00 Longueur: 51.00

Arpenté par:

Tests de déviation

Profondeur	Inclinaison	Az Corrigé
-		-

Remarques :

Débit d'eau: Bouchon:
Cimenté : Dimension de la carotte: BQ

Journal par: GUY CUERRIER Rédigé le: 11/08/1999 Trou no: 11212-9910

DE (M)	A (M)	DESCRIPTION	Echan.	DE (M)	A (M)	Long (M)	Au ppb	Au g/t	Ag ppm	As ppm	
0.00	3.00	CASING									
3.00	34.20	MÉTABASALTE -Schistosité: 65 degré c/a									
		6.60 - 7.20 Veines et veinules de QZ légèrement carbonatées minéralisées en PO, Py (2%) disséminées dans les épontes	13824	6.60	7.20	0.60	217	-9	0.6	-3	
			13825	7.20	8.00	0.80	118	-9	0.5	-3	
			13826	13.00	13.90	0.90	14	-9	0.5	-3	
		13.90 - 14.50 Idems	13827	13.90	15.00	1.10	73	-9	0.7	-3	
			13828	15.00	16.00	1.00	8	-9	0.4	-3	
			13829	21.00	22.00	1.00	8	-9	0.3	-3	
			13830	24.00	25.50	1.50	73	-9	-0.2	-3	
		24.85 - 24.90 Veine de quartz non minéralisée									
			13831	25.50	27.00	1.50	97	-9	0.2	-3	
			13832	27.00	28.15	1.15	92	-9	0.3	17	
			13833	28.15	29.40	1.25	110	-9	0.6	-3	
		28.40 - 28.60 Veine de quartz plagioclase minéralisée en PO et PY(1%)									
			13834	29.40	30.60	1.20	61	-9	0.4	10	
		30.60 - 30.70 Veinules de QZ légèrement carbonatée et minéralisée en PO et PY(2%) dans les épontes.	13835	30.60	32.00	1.40	111	-9	0.3	-3	
			13836	32.00	33.00	1.00	14	-9	0.4	-3	
		32.50 - 32.65 Veine de quartz avec 5% de grenats minéralisée en PO et PY(1%)									
			13837	33.00	34.20	1.20	11	-9	0.6	-3	
34.20	38.55	FORMATION DE FER Ä OXYDES ET SILICATES -Lamines localement conservées à 50 degré c/a -Nbreuses zone silicifiées et minéralisées avec des porphyroblastes de GN et HB brêchifiant la formation de fer									

DE (M)	A (M)	DESCRIPTION	Echan.	DE (M)	A (M)	Long (M)	Au ppb	Au g/t	Ag ppm	As ppm	
		34.20 - 34.30 Veines de quartz avec porphyroblastes de GN et HB et du grenat(5%) minéralisées 3n PO(3%) et PY(1%)	13838	34.20	34.75	0.55	43	-9	0.5	-3	
		34.30 - 34.75 Formation de fer à silicates et oxydes brêchifiée par une silicification intense Trace de PY et PO									
		34.75 - 35.65 Zone de faille -Caractérisée par des porphyroblastes de GN et GR et des fragments de quartz et de magnétite dans une matrice de biotite avec plusieurs injections de veines de quartz centimétrique -Texture fragmentaire (cataclastiques) -Minéralisation en As(tr) disséminée et étirée dans la matrice de biotite -Orintation de la biotite est de 40 degré et les veines de quartz sont à 70 degré -Unité à texture brêchique	13839	34.75	35.45	0.70	247	-9	0.5	50	
			13840	35.45	36.30	0.85	88	-9	0.8	-3	
		35.65 - 37.60 Zone localement silicifié avec des injections de mobilisat minéralisée en Py et Po(2%)									
		36.30 - 36.45 As(2%) disséminée	13841	36.30	36.95	0.65	>1000	1.61	1.1	96	
			13842	36.95	37.60	0.65	122	-9	0.9	-3	
		37.60 - 38.55 Injection de mobilisat minéralisée en PY(4%) et en PO(3%)	13843	37.60	38.55	0.95	>1000	1.31	0.6	53	
38.55	51.00	MÉTASÉDIMENTS -Schistosité à 75 degré c/a -Nbreux porphyroblastes de GR (Dm2 cm)	13844	38.55	40.00	1.45	18	-9	0.5	-3	
			13845	45.00	46.00	1.00	37	-9	-0.2	-3	
			13846	50.00	51.00	1.00	8	-9	-0.2	-3	
		FIN DU TROU Nombre total d'échantillons : 23 Longueur totale échantillonée : 23.40									

SOQUEM (Appalaches-Grenville)

JOURNAL DE SONDAGE

Propriété: 11212

Trou no: 11212-9911 Zone no: AMARUK Contracteur: MAJOR Débuté le: 11/08/1999
Canton : Terminé le: 12/08/1999
Lot : Rang : Claim no:

Niveau : Section: Lieu de travail: TERRAIN

Coordonnées au collet Ligne : 12+62 S Latitude: 1262.00S Azimut: 75° 0' 0"
Station: 0+18 W Longitude: 18.00 O Inclinaison: -50° 0' 0"
Système de référence: GRID Elévation: 0.00 Longueur: 51.00

Arpenté par:

Tests de déviation

Profondeur	Inclinaison	Az Corrigé
-		-

Remarques :

Débit d'eau: Bouchon:
Cimenté : Dimension de la carotte: BQ

Journal par: GUY CUERRIER Rédigé le: 13/08/1999 Trou no: 11212-9911

DE (M)	A (M)	DESCRIPTION	Echan.	DE (M)	A (M)	Long (M)	Au ppb	Au g/t	Ag ppm	As ppm	
0.00	3.00	CASING									
3.00	36.50	MÉTABASALTE	13914	7.80	9.00	1.20	11	-9	-0.2	-3	
		Description...	13915	9.00	10.50	1.50	82	-9	0.3	-3	
		-Schistosité: 50-55 degré c/a avec localement des	13916	10.50	12.00	1.50	11	-9	0.3	-3	
		plis asymétrique en forme de "Z"	13917	12.00	13.50	1.50	239	-9	-0.2	-3	
		-Texture granoblastique et gneissique	13918	22.50	23.50	1.00	27	-9	0.3	-3	
		-Altération: Silicification moyenne associée à	13919	31.50	33.00	1.50	10	-9	-0.2	-3	
		des veines et veinules de quartz localement	13920	33.00	34.50	1.50	172	-9	-0.2	-3	
		carbonaté et minéralisée	13921	34.50	35.40	0.90	33	-9	0.3	-3	
		-Minéralisation: Po et Py (1%) associé aux veines	13922	35.40	36.50	1.10	40	-9	0.3	7	
		de quartz et dans les épontes sur des épaisseurs									
		centimétrique.									
		-Localement, on remarque des injection									
		subpegmatique centimétrique à métrique.									
		35.45 - 35.60									
		Copeaux de formation de fer à silicates									
		minéralisée en PY et PO(3-4%)									
36.50	44.00	FORMATION DE FER À SILICATES									
		-Formation de fer majoritairement à silicates									
		(grunérite) avec localement des zones à oxydes.									
		-Les zones à silicates sont silicifiées et									
		possèdent de nombreuses injections de mobilisats									
		et des zones de biotitite(faille) et de nombreux									
		porphyroblastes de grunérite.									
		-Les zones à oxydes (zones relativement mions									
		altérées) possèdent des lamines + ou - continues									
		à 45-50 degré c/a avec localement des									
		porphyroblastes de grunérite et									
		des injections de mobilisat.									
		-Minéralisation: associé à la silicification et									
		aux zones de mobilisat en Py, Po(jusqu'à 20% sur									
		des épaisseur de 50 cm) et As(tr)									
		36.50 - 36.90	13923	36.50	36.90	0.40	395	-9	-0.2	51	
		MOBILISAT MINÉRALISÉE									
		-Zones avec des biotitites et grenatites									
		quartz minéralisée en PY ,PO et									
		AS(5%)(faille)									
		36.90 - 37.55	13924	36.90	37.55	0.65	305	-9	0.6	-3	
		Formation de fer à silicates minéralisée									
		-Porphyroblastes de grunérite dans une									

DE (M)	A (M)	DESCRIPTION	Echan.	DE (M)	A (M)	Long (M)	Au ppb	Au g/t	Ag ppm	As ppm	
		matrice de quartz avec fragments de magnétique se faisant remplacer par les silicates. -Injections de mobilisat de 25 cm minéralisée -Minéralisation:Po et Py(2%) associée au mobilisat et dans la S9D									
		37.55 - 37.90 Métabasalte avec porphyroblastes(5%) de grunérite et de hornblende (Dm: 1cm) avec un fragments de S9D de 5 cm)	13925	37.55	37.90	0.35	25	-9	-0.2	-3	
		37.90 - 41.50 Formation de fer majoritairement à silicates avec plusieurs injections centimétrique de mobilisat minéralisée en Py(2%) et Po(5-10%)	13926 13927 13928	37.90 38.80 40.20	38.80 40.20 41.50	0.90 1.40 1.30	400 424 >1000	-9 -9 1.07	0.8 0.8 0.5	-3 -3 -3	
		41.50 - 41.80 Métasédiments	13929	41.50	41.80	0.30	24	-9	-0.2	-3	
		41.80 - 42.70 Idems à 37.9-41.5	13930	41.80	42.90	1.10	>1000	1.77	-0.2	46	
		42.70 - 42.90 Idems sauf avec As(2%)									
		42.90 - 44.00 Idems à 37.9-41.5	13931	42.90	44.00	1.10	561	-9	0.4	-3	
44.00	51.00	MÉTASÉDIMENTS	13932 13933	44.00 48.00	45.00 49.50	1.00 1.50	27 13	-9 -9	-0.2 -0.2	-3 -3	
		48.80 - 49.20 Veine de quartz minéralisée en Py(1%) dans les contacts avec le métasédiments.	13934	49.50	51.00	1.50	9	-9	-0.2	-3	
		FIN DU TROU									
		Nombre total d'échantillons : 21 Longueur totale échantillonée : 23.20									

SOQUEM (Appalaches-Grenville)

JOURNAL DE SONDAGE

Propriété: 11212

Trou no: 11212-9912 Zone no: AMAMRUK. Contracteur: MAJOR Débuté le: 15/08/1999
Canton : Terminé le: 15/08/1999
Lot : Rang : Claim no:

Niveau : Section: Lieu de travail: TERRAIN

Coordonnées au collet Ligne : 20+50 S Latitude: 2050.00S Azimut: 75° 0' 0"
Station: 0+75 W Longitude: 75.00 O Inclinaison: -50° 0' 0"
Système de référence: grid Elévation: 0.00 Longueur: 39.00

Arpenté par:

Tests de déviation

Profondeur	Inclinaison	Az Corrigé
-		-

Remarques :

Débit d'eau: Bouchon:
Cimenté : Dimension de la carotte: BQ

Journal par: GUY CUERRIER Rédigé le: 15/08/1999 Trou no: 11212-9912

DE (M)	A (M)	DESCRIPTION	Echan.	DE (M)	A (M)	Long (M)	Au ppb	Au g/t	Ag ppm	As ppm	
0.00	3.00	CASING									
3.00	31.50	MÉTABASALTE	14000	3.00	4.50	1.50	9	-9	0.2	-3	
		-Schistosité à 50 degré c/a	16551	4.50	6.00	1.50	276	-9	0.3	41	
		-Minéralisation: Po et Py (2%) associés à des	16552	6.00	7.50	1.50	167	-9	-0.2	-3	
		veines de quartz légèrement carbonatée	16554	7.50	9.00	1.50	71	-9	-0.2	-3	
		minéralisant les épontes sur 3-5 cm	16555	21.00	22.00	1.00	19	-9	-0.2	-3	
			16556	25.50	26.00	0.50	16	-9	0.3	-3	
			16557	28.50	30.00	1.50	26	-9	-0.2	-3	
			16558	30.00	31.50	1.50	12	-9	0.5	-3	
31.50	34.10	FORMATION DE FER Ä OXYDES									
		Lamines localement bien définies à 65 degré c/a									
		avec plusieurs zones silicifiées avec									
		développement de porphyroblastes de grunérite.									
		-Minéralisation locale en Py et Po sur des									
		épaisseurs centimétrique									
		31.50 - 32.10	16559	31.50	32.10	0.60	>1000	0.94	-0.2	-3	
		Mobiliat au contact sur 5 cm avec des									
		zones cent. silicifiées et localement									
		minéralisées en PY(2%) et PO(2%)									
			16560	32.10	33.20	1.10	131	-9	2.7	-3	
			16561	33.20	34.10	0.90	69	-9	0.8	-3	
34.10	39.00	MÉTASÉDIMENTS	16562	34.10	35.20	1.10	94	-9	0.3	-3	
		-Schistosité à 55-60 degré c/a									
		FIN DU TROU									
		Nombre total d'échantillons : 12									
		Longueur totale échantillonée : 14.20									

SOQUEM (Appalaches-Grenville)

JOURNAL DE SONDAGE

Propriété: 11212

Trou no: 11212-9913 Zone no: AMARUK Contracteur: MAJOR
Débuté le: 13/08/1999
Canton :
Terminé le: 14/08/1999
Lot : Rang : Claim no:

Niveau : Section: Lieu de travail: TERRAIN

Coordonnées au collet Ligne : 20+76 S Latitude: 2076.00S Azimut: 75° 0' 0"
Station: 1+00 W Longitude: 100.00 O Inclinaison: -45° 0' 0"
Système de référence: GRID Elévation: 0.00 Longueur: 61.50

Arpenté par:

Tests de déviation

Profondeur	Inclinaison	Az Corrigé
-		-

Remarques :

Débit d'eau: Bouchon:
Cimenté : Dimension de la carotte: BQ

Journal par: GUY CUERRIER Rédigé le: 14/08/1999 Trou no: 11212-9913

DE (M)	A (M)	DESCRIPTION	Echan.	DE (M)	A (M)	Long (M)	Au ppb	Au g/t	Ag ppm	As ppm	
0.00	3.00	CASING									
3.00	11.10	MÉTASÉDIMENTS -Couleur gris blanchâtre de granulométrie variant entre fine et grossière composé de quartz(50-70%) biotite(20-30%) et de grenats(5%, jusqu'à 30%) -Schistosité: 50 degré c/a	13883	10.00	11.10	1.10	24	-9	0.4	-3	
11.10	21.70	FORMATION DE FER Ä OXYDES -Lamines localement bien définies dont le c/a varie de 0 à 50 degré montrant de nombreux plis. -Altération: de nombreuses injections de mobilisat (QZ-AB-GR-BO) métrique sont présentes et localement minéralisée avec des zones silicifiées brêchifiant l'unité(faille). Les zones silicifiées possèdent des porphyroblastes de grunérite et sont minéralisée. -Minéralisation: Localement le mobilisat est minéralisée en PO et PY(jusqu'à 8%). Les zones silicifiées sont minéralisées en Po et Py(jusqu'à 10%) et localement de l'As(2%) est présentes.									
		11.10 - 12.00 MOBILISAT -trace à 1% de Py	13884	11.10	12.00	0.90	46	-9	-0.2	-3	
		12.00 - 12.80 Formation de fer à oxydes avec injection centimétrique de mobilisat minéralisée en Py(1%). La formation de fer estlocalement silicifiée et minéralisée en Py(1%)	13885	12.00	12.80	0.80	378	-9	0.6	-3	
		12.80 - 13.85 MOBILISAT minéralisée en PY(1%)	13886 13887	12.80 13.85	13.85 15.10	1.05 1.25	132 97	-9 -9	-0.2 0.5	-3 -3	
		15.10 - 16.00 Zone de faille avec une biotitite de 40 cm d'épaisseur et une silicification intense brêchifiant l'unité et minéralisée en Po(8%), Py(2%) et As(tr à 1%)	13888	15.10	16.00	0.90	242	-9	0.5	-3	
			13889 13890	16.00 17.50	17.50 19.00	1.50 1.50	137 90	-9 -9	0.8 0.5	-3 -3	

DE (M)	A (M)	DESCRIPTION	Echan.	DE (M)	A (M)	Long (M)	Au ppb	Au g/t	Ag ppm	As ppm	
		19.00 - 20.00 Zone de faille silicifiée et injectée de mobilisat minéralisant en PO(10%) et PY(10%) sur des épaisseur de 20 cm	13891	19.00	20.00	1.00	333	-9	-0.2	-3	
			13892	20.00	21.00	1.00	42	-9	0.6	-3	
		21.00 - 21.70 MOBILISAT avec trace de PY en amas	13893	21.00	21.70	0.70	57	-9	-0.2	-3	
21.70	31.40	MÉTABASALTE	13894	21.70	22.50	0.80	70	-9	0.4	-3	
		-Couleur gris moyen à foncé verdâtre à granulométrie moyenne à grossière composé de hornblende(50-60%) et de plagioclase(40%) et de quartz(5%).	13895	22.50	24.00	1.50	177	-9	0.5	-3	
			13896	24.00	25.50	1.50	>1000	1.12	0.3	-3	
			13897	25.50	27.00	1.50	439	-9	0.3	10	
			13898	27.00	28.50	1.50	184	-9	-0.2	-3	
		-Près des veines et veinules de quartz et carbonate, on remarque de la biotite grossière(jusqu'à 20%) ainsi que du grenats(5%)	13899	28.50	30.00	1.50	257	-9	0.3	-3	
			13900	30.00	31.40	1.40	544	-9	0.3	-3	
		-Schistosité à 55 degré									
		-Altération: silicification pénétrative associé à des veines et des veinules de quartz légèrement carbonatée et localement minéralisée en PO(2%) et Py(2%) fine et disséminée dans les épontes									
31.40	44.40	FORMATION DE FER À OXYDES									
		-Lamines + ou - bien définies à 50 degré c/a avec localement des zones métrique de plissement dont les flancs sont faillés et injectée de mobilisat									
		-Localement des zones centimétriques silicifiées brèchifiant et minéralisant l'unité sont présentes. On remarque dans ces zones des porphyroblastes de grunérite									
		31.40 - 31.60 Faille caractérisée par une biotitite et des injections de mobilisat minéralisée en Py(1%) en filonnets et amas. On remarque des fragments de magnétite et de quartz.	13951	31.40	32.80	1.40	87	-9	0.2	-3	
		32.80 - 33.50 Zone de plissement symétrique en W	13952	32.80	34.00	1.20	26	-9	0.4	-3	
			13953	34.00	35.20	1.20	206	-9	0.9	-3	
			13954	35.20	36.50	1.30	308	-9	0.9	-3	
			13955	36.50	38.00	1.50	368	-9	0.5	-3	
			13956	38.00	39.50	1.50	90	-9	0.4	-3	

DE (M)	A (M)	DESCRIPTION	Echan.	DE (M)	A (M)	Long (M)	Au ppb	Au g/t	Ag ppm	As ppm	
			13957	39.50	40.10	0.60	161	-9	0.6	-3	
			13958	40.10	41.10	1.00	115	-9	0.4	-3	
			13959	41.10	42.00	0.90	19	-9	-0.2	-3	
			13960	42.00	43.00	1.00	133	-9	0.6	-3	
		42.50 - 42.65 Métasédiments									
		42.85 - 44.40 Mobilisat minéralisée en Py et Po(tr à 1%)	13961	43.00	44.40	1.40	130	-9	0.4	-3	
44.40	61.50	MÉTASÉDIMENTS -Schistosité à 50 degré c/a	13962	44.40	45.80	1.40	10	-9	0.3	-3	
			13963	60.00	61.50	1.50	14	-9	-0.2	-3	
		FIN DU TROU									
		Nombre total d'échantillons : 31 Longueur totale échantillonée : 37.30									

SOQUEM (Appalaches-Grenville)

JOURNAL DE SONDAGE

Propriété: 11212

Trou no: 11212-9914 Zone no: AMARUK . Contracteur: MAJOR Débuté le: 09/08/1999
Canton : Terminé le: 10/08/1999
Lot : Rang : Claim no:

Niveau : Section: Lieu de travail: TERRAIN

Coordonnées au collet Ligne : 7+29 S Latitude: 729.00S Azimut: 75° 0' 0"
Station: 0+73 W Longitude: 73.00 O Inclinaison: -50° 0' 0"
Système de référence: GRID Elévation: 0.00 Longueur: 86.00

Arpenté par:

Tests de déviation

Profondeur	Inclinaison	Az Corrigé
-		-

Remarques :

Débit d'eau: Bouchon:
Cimenté : Dimension de la carotte: BQ

Journal par: GUY CUERRIER Rédigé le: 11/08/1999 Trou no: 11212-9914

DE (M)	A (M)	DESCRIPTION	Echan.	DE (M)	A (M)	Long (M)	Au ppb	Au g/t	Ag ppm	As ppm	
0.00	3.00	CASING									
3.00	28.90	MÉTASÉDIMENTS	13792	15.00	16.50	1.50	9	-9	-0.2	-3	
		-Couleur gris blanchâtre à granulométrie variant	13793	27.00	27.90	0.90	7	-9	0.5	-3	
		de fine à grossière composée de quartz(50-70%),de	13794	27.90	28.90	1.00	13	-9	0.3	-3	
		biotite(20-30%), grenat(5%, jusqu'à 25%) et de									
		sillimanite en trace									
		-Schistisité:60 degré c/a									
28.90	32.00	Zone de faille									
		-Alternance de formation de fer métrique et de									
		métasédiments avec aux contacts des zones de									
		biotite massive avec des fragments des									
		encaissants.									
		-Localement, on remarque des indicateurs									
		cynématique montrant un mvt inverse (W sur E) à									
		composante directionnelle dextre.									
		-Minéralisation locale pouvant atteindre 5% de Py									
		et Po									
		-Faille à 70 degré c/a									
		28.90 - 30.90	13795	28.90	30.00	1.10	88	-9	0.9	-3	
		Formation de fer à silicates localement	13796	30.00	30.90	0.90	122	-9	0.9	-3	
		minéralisée en Py et Po (jusqu'à 5% sur									
		10 cm)									
		30.90 - 32.00	13797	30.90	32.00	1.10	21	-9	0.2	-3	
		Métasédiments									
32.00	44.25	Formation de fer à oxydes	13798	32.00	33.00	1.00	39	-9	1.1	-3	
		-Certaines zones de 10-20 cm montrent des	13799	33.00	34.50	1.50	17	-9	0.7	-3	
		évidences de faille caractérisée par des	13800	34.50	35.60	1.10	26	-9	0.4	-3	
		fragments de S9 et des porphyroblastes de QZ-AB									
		dans une matrice de biotite									
		-La minéralisation rencontrée est à proximité des									
		zones de faille et consiste en PY(3%) sur des									
		épaisseurs de 5 cm.									
		-Lamines à 50-55 degré c/a									
		35.60 - 35.70	13801	35.60	36.45	0.85	72	-9	-0.2	-3	
		Zone avec fragments de QZ-PG dans matrice									
		de biotite non minéralisée									
		36.20 - 36.45									
		Idems									

DE (M)	A (M)	DESCRIPTION	Echan.	DE (M)	A (M)	Long (M)	Au ppb	Au g/t	Ag ppm	As ppm	
			13802	36.45	37.50	1.05	17	-9	0.9	-3	
			13803	37.50	39.00	1.50	21	-9	0.4	-3	
			13804	39.00	40.20	1.20	55	-9	0.9	-3	
		40.00 - 40.20 Idems, sauf que l'éponte supérieur est minéralisée sur 5 cm en PY(5%).									
			13805	40.20	41.50	1.30	39	-9	0.8	-3	
			13806	41.50	43.00	1.50	72	-9	0.2	-3	
			13807	43.00	44.25	1.25	141	-9	0.5	-3	
44.25	51.70	MÉTABASALTES -Légèrement minéralisée en Py,Po et As(1-2%) aux épontes de veines de quartz -Schistosité: 65 degré c/a	13808	44.25	45.90	1.65	10	-9	0.2	-3	
			13809	45.90	47.00	1.10	25	-9	-0.2	-3	
		46.30 - 46.60 1% de Py, Po et As dans épontes de veines de quartz.									
			13810	47.00	48.50	1.50	35	-9	-0.2	-3	
			13811	48.50	49.50	1.00	33	-9	-0.2	-3	
			13812	49.50	50.50	1.00	31	-9	0.3	-3	
			13813	50.50	51.70	1.20	15	-9	0.3	-3	
51.70	53.80	FORMATION DE FER À SILICATES Minéralisation en As(2%) sur 5 cm au contact inférieur avec les métasédiments. Contact à 65 degré c/a	13814	51.70	53.00	1.30	63	-9	0.4	-3	
			13815	53.00	53.80	0.80	212	-9	0.9	-3	
53.80	77.75	MÉTASÉDIMENTS -Schistosité à 65 degré c/a	13816	53.80	55.00	1.20	27	-9	-0.2	-3	
			13817	66.00	67.50	1.50	8	-9	0.3	-3	
			13818	77.00	77.75	0.75	7	-9	0.3	-3	
77.75	86.00	MÉTABASALTES -Schistosité à 55 degré c/a									
		77.75 - 80.20 NOMBREUSE INJECTIONS SUBPEGMATITIQUE -Le métabasalte est intensément silicifiée et possèdent 20% de grenat. Auncune minéralisation a été observée	13819	77.75	79.00	1.25	9	-9	-0.2	-3	
			13820	81.00	82.00	1.00	11	-9	0.3	-3	
		81.40 - 81.70 FORMATION DE FER À SILICATES INJECTÉE DE									

DE (M)	A (M)	DESCRIPTION	Echan.	DE (M)	A (M)	Long (M)	Au ppb	Au g/t	Ag ppm	As ppm	
		MOBILISAT -Contacts sont biotisés (faillé) -Py et Po en trace à 1% disséminée									
			13821	84.00	85.00	1.00	9	-9	0.2	-3	
			13822	85.00	86.00	1.00	7	-9	-0.2	-3	
		FIN DU TROU									
		Nombre total d'échantillons : 31 Longueur totale échantillonée : 36.00									

SOQUEM (Appalaches-Grenville)

JOURNAL DE SONDAGE

Propriété: 11212

Trou no: 11212-9915 Zone no: amaruk Contracteur: MAJOR Débuté le: 08/08/1999
Canton : Terminé le: 09/08/1999
Lot : Rang : Claim no:

Niveau : Section: Lieu de travail: TERRAIN

Coordonnées au collet Ligne : 7+61 S Latitude: 761.00S Azimut: 75° 0' 0"
Station: 0+47 W Longitude: 47.00 O Inclinaison: -50° 0' 0"
Système de référence: GRID Elévation: 0.00 Longueur: 87.00

Arpenté par:

Tests de déviation

Profondeur	Inclinaison	Az Corrigé
-		-

Remarques :

Débit d'eau: Bouchon:
Cimenté : Dimension de la carotte: BQ

Journal par: GUY CUERRIER Rédigé le: 09/08/1999 Trou no: 11212-9915

DE (M)	A (M)	DESCRIPTION	Echan.	DE (M)	A (M)	Long (M)	Au ppb	Au g/t	Ag ppm	As ppm	
0.00	4.00	CASING Vérifier les carrotes du casing étant donné que les foreurs ont avancé la foreuse de 8 mètres de plus que prévue -MÉTASÉDIMENTS									
4.00	11.00	ZONE DE FAILLE -Alternance centimétrique à métrique de métasédiments, métabasaltes et de formation de fer à oxydes et à silicates avec des injection de quartz-grenat-biotite avec porphyroblastes de grunérite et d'albite(skarn) -Minéralisation: Zones centimétriques (jusqu'à 40 cm) avec de la PY(jusqu'à 5%), de la PO(jusqu'à 20%) et AS(2%) en filonnets et disséminées -Altération:Intense silicification -Schistosité: 45 degré c/a	13757	4.00	5.00	1.00	165	-9	0.6	-3	
			13758	5.00	6.30	1.30	43	-9	0.2	-3	
			13759	6.30	7.50	1.20	16	-9	0.4	-3	
			13760	7.50	8.50	1.00	36	-9	0.7	-3	
			13761	8.50	9.50	1.00	754	-9	0.4	-3	
		8.75 - 9.10 Zone de silicification intense minéralisée -PO(20%)	13762	9.50	10.30	0.80	546	-9	0.3	-3	
		10.00 - 10.60 Intense silicification avec porphyroblastes (2 cm) de albite, grunérite et de magnétite. -Minéralistion: Po, Py, As(2%)	13763	10.30	11.00	0.70	870	-9	0.3	518	
11.00	29.40	MÉTABASALTES -Couleur gris foncé verdâtre à granulométrie fine à moyenne composé de HB(60%), PG(30%), BO(5-10%) et de QZ(5%) -Altération:Intense silicification et légère carbonatisation pénétrative aux épontes de nombreuses veinules et veines de quartz-calcite localement minéralisée -Quelques veines de QZ-PG à granulométrie subpegmatique sont présentes. Schistosité: 45 degré c/a -Minéralisation:Localement les veines et veinules de QZ-CC et les épontes sont minéralisées en PY et PO(1%) et As(tr)	13764	11.00	12.30	1.30	23	-9	0.3	-3	
			13765	12.30	13.35	1.05	89	-9	-0.2	10	
			13766	13.35	14.50	1.15	40	-9	0.3	7	
			13767	14.50	15.50	1.00	15	-9	0.4	-3	
			13768	15.50	16.50	1.00	50	-9	-0.2	81	
			13769	16.50	18.00	1.50	231	-9	-0.2	275	
			13770	18.00	19.50	1.50	13	-9	0.2	14	
			13771	22.00	23.10	1.10	21	-9	0.3	40	
			13772	25.50	27.00	1.50	91	-9	0.3	56	

DE (M)	A (M)	DESCRIPTION	Echan.	DE (M)	A (M)	Long (M)	Au ppb	Au g/t	Ag ppm	As ppm	
		25.85 - 26.00 Veinules de QZ minéralisant les épontes sur 5 cm en Py, Po et As(2%)									
			13773	27.00	28.50	1.50	12	-9	0.2	-3	
			13774	28.50	29.40	0.90	40	-9	-0.2	-3	
29.40	35.60	FORMATION DE FER À OXYDES -Lamines mm localement conservées à 50 degré c/a. -Généralement, silicification intense (faille) bréchifiant l'unité avec présence de porphyroblastes de GN et de biotite -Minéralisation: Associée aux zones silicifié en PO(jusqu'à 25%), Py(1%) et As(2%)									
		29.40 - 29.70 Faille silicifiée (Flodnig) et minéralisée en Po(25%), Py(1%) et As(2%)	13775	29.40	30.00	0.60	380	-9	0.8	115	
			13776	30.00	31.40	1.40	144	-9	0.7	-3	
		30.80 - 31.30 Silicification avec porphyroblastes de GN minéralisée localement (2-3cm) en PO(1%) et Py(tr)									
			13777	31.40	32.50	1.10	33	-9	0.8	-3	
			13778	32.50	34.00	1.50	61	-9	0.6	-3	
			13779	34.00	35.60	1.60	95	-9	-0.2	-3	
		35.20 - 35.60 Mobilisat sur 10 cm avec 2% de PY dans S9B-D									
35.60	47.40	MÉTABASALTE -Nombreuses injections subpegmatitique -Minéralisation:Zones centimétrique minéralisée en PY, PO et AS(2-3%) disséminée. -Schistosité: 70 degré c/a	13780	35.60	37.00	1.40	15	-9	0.4	-3	
			13781	37.00	38.50	1.50	24	-9	-0.2	-3	
			13782	40.80	41.60	0.80	841	-9	0.2	418	
		41.00 - 41.50 Po(1%), Py(1%) et As(2%) disséminée dans ls épontes de veines de QZ-PG									
			13783	46.50	47.40	0.90	22	-9	0.4	-3	
		47.30 - 47.50 Contact entre métabasalte et métasédiments est graduel avec présence									

DE (M)	A (M)	DESCRIPTION	Echan.	DE (M)	A (M)	Long (M)	Au ppb	Au g/t	Ag ppm	As ppm	
		injection centimétrique subpegmatitique.									
47.40	74.60	MÉTASÉDIMENTS	13784	47.40	48.00	0.60	22	-9	0.4	-3	
		-schistosité à 70 degré c/a	13785	57.00	57.60	0.60	8	-9	0.5	-3	
		minéralisation en PY plaquage dans le plan de la schistosité									
		57.10 - 57.40 Zone de couleur vert pomme dûe à une altération pénétrative en épidote.									
74.60	76.10	Zone de faille caractérisée par la présence d'une	13786	74.60	75.30	0.70	34	-9	-0.2	-3	
		alternance de métasédiments, métabasaltes et de	13787	75.30	76.10	0.80	10	-9	-0.2	-3	
		deux niveaux(fragments de 5 cm) de formation de fer à silicates minéralisée en PO(2-3%) et de mobilisat locale.									
76.10	87.00	MÉTABASALTES	13788	76.10	77.50	1.40	9	-9	-0.2	-3	
		76.75 - 76.90 Veine de QZ-PG minéralisée en PO(2%) et As(tr)									
			13789	84.00	85.50	1.50	6	-9	-0.2	-3	
		84.75 - 84.80 Veine de QZ-GR minéralisée en PO(3%) et CP(tr)									
			13790	85.50	87.00	1.50	6	-9	0.3	14	
			13791	87.00	88.50	1.50	9	-9	-0.2	-3	
		FIN DU TROU									
		Nombre total d'échantillons : 35 Longueur totale échantillonée : 39.90									

SOQUEM (Appalaches-Grenville)

JOURNAL DE SONDAGE

Propriété: 11212

Trou no: 11212-9916 Zone no: AMARUK Contracteur: MAJOR Débuté le: 12/08/1999
Canton : Terminé le: 13/08/1999
Lot : Rang : Claim no:

Niveau : Section: Lieu de travail: TERRAIN

Coordonnées au collet Ligne : 10+22 S Latitude: 1022.00S Azimut: 75° 0' 0"
Station: 0+65 W Longitude: 65.00 O Inclinaison: -45° 0' 0"
Système de référence: GRID Elévation: -5.00 Longueur: 117.00

Arpenté par:

Tests de déviation

Profondeur	Inclinaison	Az Corrigé
-		-

Remarques :

Débit d'eau: Bouchon:
Cimenté : Dimension de la carotte: BQ

Journal par: GUY CUERRIER Rédigé le: 13/08/1999 Trou no: 11212-9916

DE (M)	A (M)	DESCRIPTION	Echan.	DE (M)	A (M)	Long (M)	Au ppb	Au g/t	Ag ppm	As ppm	
0.00	6.00	CASING									
6.00	12.30	MÉTASÉDIMENTS -Schistosité à 80 degé c/a	13936	11.30	12.30	1.00	21	-9	0.2	-3	
12.30	19.50	FORMATION DE FER Ä OXYDES ET SILICATES -Lamines + ou - bien définies à 65 degré c/a avec de nombreuses injections de mobilisat et de zones silicifiées et minéralisées en As(2%) et Py(2%) sur des épaisseurs centimétriques									
		12.30 - 13.00 ZONE DE FAILLE -Caractérisée par une alternance de formation de fer à silicates et de métasédiments injectée par du mobilisat riche en biotite(80%) et grenat(20%) -Minéralisation: Py et Po en trace	13937	12.30	13.10	0.80	>1000	1.15	0.6	-3	
		13.00 - 13.10 Éponte inférieur de la faille est minéralisée en Po et Py(4%)	13938	13.10	13.80	0.70	146	-9	0.6	-3	
		13.50 - 13.55 Silicification intense minéralisée en As(4%), Po(3%) et Py(1%)									
		13.65 - 13.85 Injection de mobilisat QZ(50%)-GR(40%) et BO(10%)	13939	13.80	15.00	1.20	47	-9	0.7	-3	
			13940	15.00	16.50	1.50	27	-9	1	-3	
		15.30 - 15.60 Injection de mobilisat riche en biotite (faille).									
		15.55 - 15.80 Plis asymétrique en forme de "Z"									
		16.20 - 16.30 Mobilisat riche en biotite									
			13941	16.50	17.70	1.20	11	-9	0.4	-3	
		17.70 - 18.20 Métasédiments avec aux épontes des zones	13942 13943	17.70 18.20	18.20 18.80	0.50 0.60	7 394	-9 -9	-0.2 1.1	-3 138	

DE (M)	A (M)	DESCRIPTION	Echan.	DE (M)	A (M)	Long (M)	Au ppb	Au g/t	Ag ppm	As ppm	
		de mobilisat avec trace de sulfures.									
		18.30 - 18.65 Silicification intense avec minéralisation en As(2%) et Po(3%) avec localement des zones de mobilisat	13944	18.80	19.50	0.70	30	-9	0.8	-3	
19.50	35.20	MÉTASÉDIMENTS									
		19.50 - 19.65 Métasédiments silicifiés et injecté de mobilisat	13945	19.50	20.80	1.30	28	-9	-0.2	7	
		19.65 - 20.80 Veines de quartz avec localement de fragments centimétrique de S9D minéralisée en Py et Po(3%) Les épontes sont fortement biotisées	13946	20.80	22.10	1.30	>1000	2.93	0.3	-3	
			13947	34.80	35.30	0.50	23	-9	0.3	-3	
		35.00 - 35.20 Contact silicifié et irrégulier (contact tectonique)									
35.20	96.00	MÉTABASALTE	13948	37.10	38.00	0.90	425	-9	-0.2	37	
		-Schistosité à 65 degré c/a	13949	38.00	39.10	1.10	54	-9	-0.2	-3	
		-Minéralisation: Py,Po et As(2-3%) sur des	13950	39.10	40.40	1.30	49	-9	-0.2	-3	
		épaisseurs centimétrique (jusqu'à 40 cm) associée	13851	45.70	46.40	0.70	150	-9	0.3	12	
		à des veines et veinules de quartz silicifiant les épontes et localement miéralisées. Fréquence 3-4 veinules sur 1 mètre									
		46.40 - 47.10 5% de sulfures (As,Po,Py) disséminées. Zones relativement plus silicifiées et biotisées	13852	46.40	47.10	0.70	>1000	3.17	-0.2	271	
			13853	47.10	48.00	0.90	56	-9	-0.2	-3	
			13854	51.90	52.80	0.90	161	-9	-0.2	18	
		52.00 - 52.30 3% de sulfures disséminées									
			13855	52.80	54.00	1.20	17	-9	0.2	-3	
			13856	54.00	55.00	1.00	173	-9	-0.2	9	

DE (M)	A (M)	DESCRIPTION	Echan.	DE (M)	A (M)	Long (M)	Au ppb	Au g/t	Ag ppm	As ppm	
		54.50 - 55.00 5% de sulfures dans les épontesd'une veines de quartz (10 cm) avec 5% de grenats									
			13857	55.00	56.00	1.00	17	-9	-0.2	-3	
			13858	56.00	56.75	0.75	26	-9	-0.2	-3	
		56.25 - 56.60 Veines de quartz avec 10% de fragments de métabasaltes.									
			13859	56.75	57.30	0.55	48	-9	-0.2	-3	
		57.30 - 57.70 4% de sulfures avec CP en trace associée à une silicification intense	13860	57.30	58.20	0.90	856	-9	-0.2	104	
			13861	60.50	61.00	0.50	39	-9	0.5	10	
			13862	64.65	65.55	0.90	>1000	1.12	-0.2	141	
			13863	71.10	72.00	0.90	>1000	1.03	-0.2	120	
		71.30 - 71.90 4% de sulfures disséminée associés à une silicification pénétrative									
			13864	72.00	73.50	1.50	442	-9	-0.2	21	
			13865	85.50	86.70	1.20	81	-9	-0.2	-3	
			13866	86.70	87.80	1.10	494	-9	-0.2	52	
		86.80 - 87.30 3% de sulfures disséminés associés à une silicification pénétrative									
			13867	87.80	88.90	1.10	472	-9	0.2	77	
			13868	88.90	90.00	1.10	40	-9	0.2	-3	
			13869	90.00	91.00	1.00	13	-9	-0.2	-3	
			13870	91.00	91.70	0.70	300	-9	-0.2	15	
		91.70 - 93.20 3%(jusqu'à 5% sur 25 cm) de sulfures associés à une silicification pénétrative	13871	91.70	92.70	1.00	>1000	1.39	0.3	245	
			13872	92.70	93.40	0.70	>1000	3.31	0.3	1140	
			13873	93.40	95.00	1.60	85	-9	0.4	-3	
		95.00 - 96.00 Manque 1 mètre de carotte au contac avec formation de fer???									
96.00	102.30	FORMATION DE FER À OXYDES -Lamines localement bien définies à 55 degré c/a.									

DE (M)	A (M)	DESCRIPTION	Echan.	DE (M)	A (M)	Long (M)	Au ppb	Au g/t	Ag ppm	As ppm	
		-Nombreuses zones faillées caractérisés par des biotite avec des fragments de formation de fer centimétriques et des porphyroblastes de grunérite remplaçant la magnétite -Silicification intense brêchifiant l'unité et minéralisant en Py, Po et As (de 2-8%) sur des épaisseur centimétrique.									
		96.00 - 96.10 Py, Po(5%) et trace de As associée à une silicification intense (floding)	13874	96.00	96.80	0.80	260	-9	0.7	15	
		96.40 - 96.60 Faille caractérisée par une texture brèchiques avec des porphyroblastes de grunérite dont la matrice est de la biotite Minéralisation en trace	13875	96.80	97.80	1.00	152	-9	0.8	-3	
		97.40 - 97.60 Silicification intense brêchifiant l'unité avec des zones de biotite et des fragment de magnétite et des porphyroblastes de grunérite. Minéralisation 3% de Py.	13876	97.80	99.00	1.20	34	-9	0.5	-3	
			13877	99.00	100.50	1.50	32	-9	0.5	-3	
			13878	100.50	101.50	1.00	382	-9	0.4	-3	
		100.75 - 101.05 Idems avec As(2%) et Py(3%)									
		101.30 - 102.00 Nombreuses zones centimétriques de biotitite et d'injection de grenat-quartz (mobilisat) minéralisé en PY(4%)	13879	101.50	102.30	0.80	89	-9	0.6	-3	
		102.27 - 102.30 Contact de faille avec biotite(80%), grenat(10%) et fragment de quartz(10%)									
102.30	117.00	MÉTASÉDIMENTS -Schistositée à 70 degré du c/a, localement la schistosité varie de 0 à 30 du c/a	13880	102.30	103.50	1.20	22	-9	0.4	-3	
			13881	108.00	109.50	1.50	12	-9	0.4	-3	
			13882	115.50	117.00	1.50	9	-9	0.3	-3	

DE (M)	A (M)	DESCRIPTION	Echan.	DE (M)	A (M)	Long (M)	Au ppb	Au g/t	Ag ppm	As ppm	
		FIN DU TROU Nombre total d'échantillons : 47 Longueur totale échantillonée : 47.00									

SOQUEM (Appalaches-Grenville)

JOURNAL DE SONDAGE

Propriété: 11212

Trou no: 11212-9917 Zone no: AMARUK Contracteur: MAJOR Débuté le: 14/08/1999
Canton : Terminé le: 14/08/1999
Lot : Rang : Claim no:

Niveau : Section: Lieu de travail: TERRAIN

Coordonnées au collet Ligne : 20+76 S Latitude: 2076.00S Azimut: 75° 0' 0"
Station: 1+00 W Longitude: 100.00 O Inclinaison: -63° 0' 0"
Système de référence: grid Elévation: 0.00 Longueur: 67.00

Arpenté par:

Tests de déviation

Profondeur	Inclinaison	Az Corrigé
-		-

Remarques :

Débit d'eau: Bouchon:
Cimenté : Dimension de la carotte: BQ

Journal par: GUY CUERRIER Rédigé le: 15/08/1999 Trou no: 11212-9917

DE (M)	A (M)	DESCRIPTION	Echan.	DE (M)	A (M)	Long (M)	Au ppb	Au g/t	Ag ppm	As ppm	
0.00	3.00	CASING									
3.00	13.00	MÉTASÉDIMENTS -Schistosité à 30 degré c/a	13965	12.00	13.00	1.00	7	-9	-0.2	-3	
13.00	48.35	FORMATION DE FER Ä OXYDES -Lamines localement bien définies variant de 0 à 90 degré (zone de charnière) avec de nombreuses zones silicifiées et minéralisées ainsi que des injections de mobilisat localement minéralisée en Py et Po. -Les zones silicifiée et de mobilisat sont interprètées comme étant des zones de failles -Minéralisation: Jusqu'à 15% de sulfures (Po et Py). Pas observée de As. Les zones de mobilisat sont relativement plus riche en Py, tandis que les zones silicifiées sont majoritairement à Po.									
		13.00 - 14.00 Mobilisat (QZ-AB-BO-GR) à granulométrie grossière non minéralisée	13966	13.00	14.00	1.00	21	-9	-0.2	-3	
			13967	14.00	15.00	1.00	200	-9	-0.2	-3	
		14.20 - 14.40 Mobilisat(QZ-GR+-BO) à granulométrie fine minéralisée en PY(8%) et Po(2%) L'injection de mobilisat recoupe les lamines orthogonalement									
		14.60 - 14.80 silicification intense brêchifiant l'unité avec du grenat(20%) à granulométrie fine et minéralisée en Py-Po(5%)	13968	15.00	16.50	1.50	123	-9	0.2	-3	
			13969	16.50	17.30	0.80	92	-9	-0.2	-3	
		16.70 - 17.00 Silicification intense avec GR(20%) et des fragments de magnétite. trace de PY et PO									
			13970	17.30	18.70	1.40	482	-9	0.3	-3	
		18.70 - 19.50 Mobilisat(QZ-AB-GR-BO) à granulométrie	13971	18.70	19.50	0.80	663	-9	-0.2	-3	

DE (M)	A (M)	DESCRIPTION	Echan.	DE (M)	A (M)	Long (M)	Au ppb	Au g/t	Ag ppm	As ppm	
		grossière localement minéralisée en PY(2%) recoupant l'unité									
			13972	19.50	21.00	1.50	190	-9	0.4	-3	
			13973	21.00	22.50	1.50	396	-9	-0.2	-3	
		21.30 - 22.50 Idems									
			13974	22.50	24.00	1.50	34	-9	-0.2	-3	
			13975	24.00	25.30	1.30	87	-9	-0.2	-3	
		25.30 - 26.20	13976	25.30	26.20	0.90	436	-9	0.7	-3	
		Silicification intense brêchifiant l'unité minéralisée en PO et PY(5% jusqu'à 10%) "floding"	13977	26.20	27.00	0.80	256	-9	0.4	-3	
			13978	27.00	28.10	1.10	246	-9	-0.2	-3	
		28.10 - 31.00	13979	28.10	29.30	1.20	290	-9	-0.2	-3	
		Silicification intense brêchifiant	13980	29.30	30.30	1.00	622	-9	0.3	-3	
		l'unité avec des injections de mobilisat à granulométrie grossière	13981	30.30	31.00	0.70	>1000	1.01	-0.2	-3	
		Minéralisation locale (épaisseur jusqu'à 1 mètres) en Py et Po(5%) "floding"									
		31.00 - 34.10	13982	31.00	32.00	1.00	472	-9	-0.2	-3	
		Zone de culmination montrant une	13983	32.00	33.00	1.00	>1000	1.95	0.3	-3	
		alternance métrique de métabasalte	13984	33.00	34.10	1.10	488	-9	-0.2	-3	
		silicifiée et minéralisée et de formation de fer altérée et minéralisée (Contact intérieur du pli synforme)									
		Minéralisation en Py et Po de 1 à 3%									
			13985	34.10	35.00	0.90	280	-9	0.4	-3	
			13986	35.00	36.00	1.00	114	-9	-0.2	-3	
			13987	36.00	37.40	1.40	97	-9	-0.2	-3	
		37.40 - 39.55	13988	37.40	38.20	0.80	516	-9	-0.2	-3	
		Silicification intense avec injection de	13989	38.20	39.55	1.35	>1000	3.65	0.7	-3	
		mobilisat grossier (QZ-AB-GR-BO) avec	13990	39.55	40.50	0.95	62	-9	0.2	-3	
		fragments centimétrique de magnétite. Minéralisation locale sur des épaisseur de 10 à 20 cm en PO(5-8%) dans les zones silicifées et en Py(3%) dans le mobilisat									
			13991	40.50	42.00	1.50	49	-9	-0.2	-3	
			13992	42.00	43.15	1.15	35	-9	-0.2	-3	

DE (M)	A (M)	DESCRIPTION	Echan.	DE (M)	A (M)	Long (M)	Au ppb	Au g/t	Ag ppm	As ppm	
		42.60 - 43.15 Mobilisat riche en BO (biotite) avec fragments de magnétite minéralisée en PY(2%) en filonnets et amas.	13993	43.15	44.00	0.85	80	-9	-0.2	-3	
		44.00 - 44.40 Silicification intense minéralisée en PO(5%) avec trace de PY.	13994	44.00	45.00	1.00	183	-9	0.4	-3	
			13995	45.00	46.50	1.50	139	-9	0.3	-3	
			13996	46.50	47.25	0.75	52	-9	-0.2	-3	
		47.00 - 47.25 Métasédiments Contact franc et silicifié avec grenat Pas observée de sulfures									
			13997	47.25	48.35	1.10	108	-9	-0.2	-3	
		47.40 - 47.60 Mobilisat (QZ-GR) non minéralisé recoupant l'unité									
		47.70 - 47.90 Idems									
		48.30 - 48.35 Trace d'As avec PO(2%) et PY(1%)									
48.35	67.00	Métasédiments	13998	48.35	49.50	1.15	48	-9	-0.2	-3	
		-Schistosité à 45 degré c/a	13999	66.00	67.00	1.00	9	-9	-0.2	-3	
		FIN DU TROU									
		Nombre total d'échantillons : 35 Longueur totale échantillonée : 38.50									

ANNEXE 2

Résultats d'analyses partiels (Au, Ag et As) et descriptions des échantillons choisis et de rainures

PROJET PAYNE (1121-2)
ÉCHANTILLONNAGE ÉTÉ 1999

Échantillons	zone	ligne	station	tranchée	de (m)	à (m)	Longueur	AU	AU	Ag	As	Descriptions de l'échantillon
								PPB	G/T	ppm	ppm	
14001	Amaruk	17+75S	0+27W					67		-0.2	36	S9D avec injection M15, As(tr)
14002	Amaruk	17+92S	0+38W					138		0.5	126	S9D avec injection Vqz, As(tr)
14003	Amaruk	17+92S	0+45W					19		0.6	17	Vqz (5cm) fumé au contact S9D-M1, As, Py(tr)
14004	Amaruk	9+70S	0+30E					>1000	2.11	-0.2	3010	M1 à granul. Grossière avec Qz,Bo, As(tr)
14005	Amaruk	9+82S	0+35W					85		0.6	99	S9D-B dans charnière avec injection M15, As(3%), Py(2%), Po(tr)
14006	Amaruk	9+82S	0+35W					52		-0.2	113	Idems à 14005
14007	Amaruk	15+65S	0+24W					79		0.9	27	S9D avec M15
14008	Amaruk	15+05S	0+20W					299		-0.2	68	S9D avec M15, Py(2%)
14009	Amaruk	?	?					24		-0.2	15	M1 dans charnière avec Vqz et Bo grossier, sulfure en trace
14010	Amaruk	8+85S	0+33W					97		1	38	S9B-D avec M15, sulfures non observés mais rouillé
14011	Amaruk	9+90S	0+85W					34		-0.2	128	M4 dans charnière, Grenatite avec Qz(fusion partiel), As(3%)
14012	Amaruk	10+20S	0+78W					46		1.6	68	M4 dans charnière, Grenatite avec Qz(fusion partiel), Py, Po(5%), As(tr)
14013	Amaruk	6+90S	0+36W					133		1.2	30	S9D au contact avec M1, As (2%)
14014	Amaruk	13+41S	0+25W	TR-99-10	0	0.7	0.7	163		0.5	261	Charnière:S9D(30%)-M15(70%):Py(3%), As(2%)
14015	Amaruk	13+41S	0+25W	TR-99-10	0.7	1.75	1.05	87		1.8	241	Charnière:M15(30%)-S9D(70%):Po(10%), As(5%), Py(3%)
14016	Amaruk	13+41S	0+25W	TR-99-10	1.75	2.9	1.15	100		0.5	111	Charnière:S9D(40%)-M15(60%):Py(8%), As(4%), Po(1%)
14017	Avingaluk	34+25S	2+11W					>1000	8.25	-0.2	16230	M1, Si+++, As(3%)
14018	Avingaluk	34+36S	1+80W					296		-0.2	212	M15 dans contact entre S9B-M4, As(tr)
14019	Avingaluk	34+40S	1+67W					124		0.2	294	Pli asymétrique "Z" avec M15 dans contact entre S9B-M1,As(tr),Py(3%)
14020	Avingaluk	34+19S	1+53W					22		1.1	12	Pli asymétrique "Z" avec M15 dans S9B, sulfure non observé
14021	Avingaluk	34+92S	1+05W					85		-0.2	38	M15 (Bo,Ab,Qz,Gr) dans contact entre S9B-M4, As(2%))
14022	Avingaluk	34+57S	0+88W					>1000	1.38	-0.2	151	S9B, Si+++, Py(2%), As(1%)
14023	Avingaluk	34+51S	0+89W					33		-0.2	55	M1, Vqz(4cm)+gr(4%), As(1%), Py(tr), éponte légèrement minéralisée
14024	Avingaluk	34+57S	0+88W					516		0.3	80	M15 dans contact M1-S9B, Py(4%), As(1%)
14025	Avingaluk	34+43S	0+85W					48		-0.2	54	M1 près du contact avec S9B, Si++ avec Py, As(1%)
14026	Avingaluk	34+23S	0+77W					96		1.4	49	S9B avec M15 dans pli asymétrique "Z" avec Py(3%)
14027	Avingaluk	34+22S	2+73W					626		-0.2	15	S9B rouillé avec Vqz cent.,Py(2%)
14028	Avingaluk	29+16S	4+07W					428		0.4	239	Contact S9B-M4, M15, Py(5%),As(2%), Po(1%) ,a gran. fine
14029	Avingaluk	29+16S	4+06W					>1000	1.29	1.4	6150	S9D, As massive de 5 cm localement, Py(3%), As(3%)
14030	Avingaluk	29+88S	4+30W					45		-0.2	154	S9D rouillé avec M15
14031	Avingaluk	29+82S	4+31W					31		0.8	63	M15 dans S9D avec 5% Py, 2% As
14032	Avingaluk	29+73S	3+94W					73		-0.2	90	M4 rouillé avec M15 près contact avec S9D
14033	Avingaluk	29+68S	3+93W					569		1	39	S9D, S0 non conservée, Py(3%), As(tr)
14034	Avingaluk	29+50S	3+93W					>1000	1.36	-0.2	159	S9B-D avec Vqz fumé, Py(2%)
14035	Avingaluk	29+98S	3+26W					43		2.3	7	Vqz dans charnière asymétrique en Z dans M1, As(tr)
14036	Avingaluk	29+94S	0+10W					23		-0.2	51	M4 avec M15, Py(1%)
14037	Avingaluk	29+54S	0+74E					53		0.4	49	S9D très oxydée avec M15 dans charnière antiforme, sulfure non observ
14038	Avingaluk	32+22S	1+50W	TR-AV-03	0	1.25	1.25	44		0.5	46	S9D-B, As(tr), Py(tr), rubannement relativement bien conservée
14039	Avingaluk	32+22S	1+50W	TR-AV-03	1.25	2.3		462		0.7	337	S9D avec M15, As(1%), Py(tr), rubannement moins conservée
14040	Avingaluk	32+22S	1+50W	TR-AV-03	0	0.9		>1000	1.70	0.7	1690	S9D avec zone de M15 (30 cm), As (1-2%) dans épontes sur 5 à 10 cm.
14041	Avingaluk	32+22S	1+50W	TR-AV-03	0.9	1.9		559		0.6	828	Idems à 14040 avec Py(1%) intersticielle à Gn
14042	Avingaluk	32+22S	1+50W	TR-AV-03	1.9	2.8		250		-0.2	451	Idems à 14040 avec plus de S9B
14043	Avingaluk	32+22S	1+50W	TR-AV-03	2.8	3.35		34		-0.2	28	S9B-D rubannement bien conservée
14044	Avingaluk	32+22S	1+50W	TR-AV-03	0	1.2		23		-0.2	37	S9B-D rubannement bien conservée
14045	Avingaluk	32+22S	1+50W	TR-AV-03	1.2	2.1		51		-0.2	27	S9B-D rubannement bien conservée, As(tr)
14046	Avingaluk	32+22S	1+50W	TR-AV-03	2.1	3.1		62		0.6	78	S9B-D rubannement bien conservée, As(tr)
14047	Avingaluk	32+22S	1+50W	TR-AV-03	3.1	3.85		167		0.5	446	S9D, As(tr), Vqz 5 cm avec Py(tr)
14048	Avingaluk	32+22S	1+50W	TR-AV-03	3.85	4.45		20		-0.2	19	S9D, As(tr)
14049	Avingaluk	32+22S	1+50W	TR-AV-03	4.45	4.95		9		-0.2	10	M4, Py-As(tr) près du contact
14050	N/A	N/A	N/A		N/A	N/A	N/A		8.74	-2000	-2000	Standard 8.56 g/t Au
14051	Avingaluk	29+99S	0+50E					14		0.2	-3	M15 dans S9D trace de As et Py
14052	Avingaluk	34+10S	0+58W					208		1.4	10	Bloc erratique de M15 dans M4? Avec 40% de Py intersticielle
14053	Avingaluk	32+21S	1+56W					>1000	3.27	1.1	2610	S9D avec As(2%) dans antiforme pl 33 nord
14054	Avingaluk	33+63S	1+55W					>1000	1.00	1.4	-3	S9D, As(2%) dans charnière P2 plongeant vers le nord
14055	Avingaluk	33+75S	1+55W	TR-AV-04A	0	0.3	0.3	119		0.6	176	Zone de faille avec M1 et M15(tr de Py)
14056	Avingaluk	33+75S	1+55W	TR-AV-04A	0.3	1.3	1	130		0.9	114	S9D rectiligne avec Gn, As(tr à 1%), Py(1%)
14057	Avingaluk	33+75S	1+55W	TR-AV-04A	1.3	2.1	0.8	63		1	33	S9D rectiligne avec localement du M15, As(tr à 1%)
14058	Avingaluk	33+75S	1+55W	TR-AV-04B	0	1	1	25		1	-3	S9B
14059	Avingaluk	33+75S	1+55W	TR-AV-04B	1	2	1	52		1.1	-3	S9B-D
14060	Avingaluk	33+75S	1+55W	TR-AV-04B	2	3	1	590	1.77	1.1	-3	S9B-D avec localement des zones centimétrique de M15

Échantillons	zone	ligne	station	tranchée	de (m)	à (m)	Longueur	AU	AU	Ag	As	Descriptions de l'échantillon
14061	Avingaluk	33+75S	1+55W	TR-AV-04B	3	4	1	480		1.3	-3	S9B-D avec localement des zones centimétrique de M15
14062	Avingaluk	33+75S	1+55W	TR-AV-04B	4	5	1	126		1.1	-3	S9B-D avec localement des zones centimétrique de M15
14063	Avingaluk	33+75S	1+55W	TR-AV-04B	5	6.1	1.1	408		0.8	149	M15 avec localement S9D brêchifiée sulfure en trace
14064	Avingaluk	33+75S	1+55W	TR-AV-04C	0	1	1	910		1.5	90	S9B-D avec localement des zones centimétrique de M15
14065	Avingaluk	33+75S	1+55W	TR-AV-04C	1	2	1	264		1.1	16	S9B-D avec localement des zones centimétrique de M15, Py(1%)
14066	Avingaluk	33+75S	1+55W	TR-AV-04C	2	2.9	0.9	404		0.8	-3	Contact M4-S9D dans charnière assymétrique,M15 (py,As trace
14067	Avingaluk	33+75S	1+55W	TR-AV-04D	0	0.75	0.75	>1000	1.87	1	125	Zone de faille au contact entre M4 et S9D, M15 Py(5%)
14068	Avingaluk	33+75S	1+55W	TR-AV-04D	0.75	1.5	0.75	634		1.3	6	Zone de faille au contact entre M4 et S9D, M15 Py(5%)
14069	Avingaluk	33+75S	1+55W	TR-AV-04D	1.5	2.25	0.75	30		1	-3	S9D-B avec localement M15 trace de Py
14070	Avingaluk	33+77S	1+62W					17		0.5	97	M15 dans contact entre M1 et S9D, As(tr)
14071	Avingaluk	33+95S	0+70W	TR-AV-05	0	0.9	0.9	8		0.7	-3	M4 avec Vqz de 10 cm, Py en trace
14072	Avingaluk	33+95S	0+70W	TR-AV-05	0.9	1.15	0.25	86		0.6	-3	M15 au contact entre M4 et S9D, As(1%), Py(3%)
14073	Avingaluk	33+95S	0+70W	TR-AV-05	1.15	1.5	0.35	>1000	0.95	1	1250	S9D, Si+++, Py en filonnets et amas(10%), As(tr)
14074	Avingaluk	33+95S	0+70W	TR-AV-05	1.5	2.3	0.8	162		1	-3	S9B-D avec localement zone de Py(10%), As(3%)
14075	Avingaluk	33+95S	0+70W	TR-AV-05	2.3	2.75	0.45	58		0.7	70	M1 avec Vqz, Py(1%), As(1%)
14076	Avingaluk	35+65S	2+24W					47		1.7	39	M15 dans S9D, Py(5%)
14077	Avingaluk	35+62S	2+24W					123		1.4	184	M15 (qz) de 10 cm avec Py, As(2%) dans S9D
14078	Avingaluk	35+75S	2+25W					126		0.9	-3	S9D oxydée avec du M15, Py(2%)
14079	Avingaluk	35+58S	2+18W	TR-AV-06	0	0.8	0.8	248		1.3	21	S9B-D dans charnière avec localement Py(1%), As(1%) fine
14080	Avingaluk	35+58S	2+18W	TR-AV-06	0.8	1.8	1	80		1.5	-3	S9B-D dans charnière avec localement Py(1%), As(1%) fine
14081	Avingaluk	35+58S	2+18W	TR-AV-06	1.8	2.25	0.45	220		1.4	-3	Idems avec Vqz avec Py(5%) sur 10 cm
14082	Avingaluk	35+58S	2+18W	TR-AV-06	2.25	2.95	0.7	224		1.7	-3	M15 (qz) avec Py(20%), As(1%), Po(2%) avec Mg(10%) intersticielle
14083	Avingaluk	35+58S	2+18W	TR-AV-06	2.95	3.65	0.7	498		2.3	-3	Idems sauf 30 cm de la fin dans S9D, As(tr)
14084	Avingaluk	35+58S	2+18W	TR-AV-06(reprise)	2.25	3.35	1.1	654		2.9	-3	M15 (qz) avec Py(20%), As(1%), Po(2%) avec Mg(10%) intersticielle
14085	Avingaluk	35+12S	1+20W	TR-AV-07	0	0.2	0.2	12		0.6	-3	M4
14086	Avingaluk	35+12S	1+20W	TR-AV-07	0.2	1	0.8	21		0.9	-3	S9D,PO(2%),AS(tr)
14087	Avingaluk	35+12S	1+20W	TR-AV-07	1	1.8	0.8	45		1	-3	M15 avec localement S9D brêchifiée, Py(2%), Po(2%), As(tr)
14088	Avingaluk	35+12S	1+20W	TR-AV-07	1.8	2.7	0.9	186		0.9	193	S9D, Py(tr), As(tr)
14089	Avingaluk	35+12S	1+20W	TR-AV-07	2.7	3.4	0.7	78		0.8	12	Idems
14090	Avingaluk	35+12S	1+20W	TR-AV-07	3.4	4	0.6	57		0.9	5	Idems
14091	Avingaluk	35+12S	1+20W	TR-AV-07	4	5	1	55		0.8	-3	S9D avec Vqz,Py(1%) en filonnets, As(tr) dans GN
14092	Avingaluk	35+12S	1+20W	TR-AV-07	5	6	1	68		0.9	-3	S9D avec Vqz,Py(1%), As(1%)
14093	Avingaluk	35+12S	1+20W	TR-AV-07	6	6.6	0.6	88		1.3	-3	S9D, M15 avec Py,Po(1%)
14094	Avingaluk	35+72S	1+56W	TR-AV-08	0	0.55	0.55	8		0.8	-3	M4
14095	Avingaluk	35+72S	1+56W	TR-AV-08	0.55	1.7	1.15	159		1.4	-3	S9D, M15 très oxydée, Py, As (?%)
14096	Avingaluk	34+20S	0+77W	TR-AV-09A	0	0.3	0.3	10		1	-3	M4
14097	Avingaluk	34+20S	0+77W	TR-AV-09A	0.3	0.6	0.3	42		0.9	-3	Contact M4-S9D avec M15, Py(1%), Po(1%)
14098	Avingaluk	34+20S	0+77W	TR-AV-09A	0.6	1.7	1.1	90		0.7	-3	S9B-D, Py(1%), As(tr)
14099	Avingaluk	34+20S	0+77W	TR-AV-09A	1.7	2	0.3	29		0.5	-3	M1
14100	Avingaluk	34+20S	0+77W	TR-AV-09B	0	1.2	1.2	396		1	-3	S9B-D avec M15, Py(3%)
14101	Avingaluk	34+20S	0+77W	TR-AV-09B	1.2	2.35	1.15	8		0.7	-3	M1 avec contact S9B-M1 minéralisée sur 10 cm Vqz avec As(1%)
14102	Avingaluk	29+13S	4+08W	TR-AV-10A	0	0.07	0.07	28		0.8	-3	M4
14103	Avingaluk	29+13S	4+08W	TR-AV-10A	0.07	0.35	0.22	>1000	1.34	4.6	-3	M15, Cp(1%), As(1%), Py(5%)
14104	Avingaluk	29+13S	4+08W	TR-AV-10A	0.35	0.9	0.55	>1000	2.18	4.8	-3	S9D oxydée avec Vqz, As(5-7%), Py(5%), Po(5%), Cp(tr)
14105	Avingaluk	29+13S	4+08W	TR-AV-10A	0.9	1.75	0.85	>1000	1.25	2.8	-3	Idems
14106	Avingaluk	29+13S	4+08W	TR-AV-10B	0	0.8	0.8	82		1.1	-3	S9D avec M15 As(2-4%), Cp(tr), Po(1%), localement As en amas cent.
14107	Avingaluk	29+13S	4+08W	TR-AV-10B	0.8	1.75	0.95	194		1.2	-3	Idems
14108	Avingaluk	29+13S	4+08W	TR-AV-10B	1.75	2.7	0.95	167		1.7	-3	Idems
14109	Avingaluk	29+13S	4+08W	TR-AV-10B	2.7	3.75	1.05	92		1.6	649	Idems
14110	Avingaluk	29+13S	4+08W	TR-AV-10B	3.75	4.2	0.55	43		0.9	-3	M4
14111	N/A	N/A	N/A	N/A	N/A	N/A	N/A		10.80	1.1	6310	Ech 97 699580 15.22 g/t (grav),10.34 g/t (MS)
14112	Avingaluk	28+48S	2+15W	TR-AV-11	0	0.3	0.3	<1		1	-3	S9B
14113	Avingaluk	28+48S	2+15W	TR-AV-11	0.3	0.5	0.2	15		1	-3	M15 (HB:80%, GR:10%,QZ:10%), As(tr), Py(tr)
14114	Avingaluk	28+48S	2+15W	TR-AV-11	0.5	1.7	1.2	14		0.9	-3	S9B(D) avec localement M15, Py(tr)
14115	Avingaluk	28+48S	2+15W	TR-AV-11	1.7	2.9	1.2	22		1	-3	S9B avec localement M15, Py(1%)
14116	Avingaluk	28+48S	2+15W	TR-AV-11	2.9	3.6	0.7	30		1	-3	S9B(D) avec localement M15, Py(tr)
14117	Avingaluk	28+48S	2+15W	TR-AV-11	3.6	4.4	0.8	34		1	-3	Idems
14118	Avingaluk	28+48S	2+15W	TR-AV-11	4.4	5.05	0.65	47		0.8	-3	S9B-D avec localement M15, Py(1%)
14119	Avingaluk	28+48S	2+15W	TR-AV-11	5.05	5.65	0.6	216		1.1	18	M15 brêchifiant S9B-D avec Vqz, Py(4%), As(1%), Po(tr)
14120	Avingaluk	28+48S	2+15W	TR-AV-11	5.65	6.6	0.95	155		0.9	-3	M15 avec HB porphyroblastique, Py(5%), Po(2%), As(tr)
14121	Avingaluk	28+48S	2+15W	TR-AV-11	6.6	7.1	0.5	17		0.4	-3	M1, As(tr) avec Vqz centimétrique

ÉCHANTILLONNAGE ÉTÉ 1999

Échantillons	zone	ligne	station	tranchée	de (m)	à (m)	Longueur	AU	AU	Ag	As	Descriptions de l'échantillon
14122	Amaruk	8+88S	BL					351		1.2	90	M1 Si++ avec Py(3%), Po(1%)
14123	Amaruk	9+15S	0+12E					>1000	1.58	-0.2	68	Vqz dans M1 avec Py, Cp, Po(2%)
14124	Amaruk	10+37S	0+05E					>1000	5.62	0.2	5380	Vqz dans M1 avec As(2%), Py(2%), Zone oxydée sur 2 m
14125	Amaruk	9+89S	0+36W					337		0.7	54	M15, Py(1%)
14126	Amaruk	9+16S	0+42W					249		0.8	170	S9D, avec M15, As(4%),Py(4%) grosier et en filonnets
14127	Amaruk	7+76S	0+11W					135		0.3	10	Contact M1-S9D avec Vqz, Py(1%), As(tr)
14128	Amaruk	8+63S	0+65W					414		0.4	397	M15, Py(20%) interstitielle
14129	Avingaluk	26+03S	1+75W					270		0.9	-3	S9D avec Py(3%)
14130	Avingaluk	25+27S	2+15W					83		0.2	-3	M15 dans S9D avec Po(1%), As(tr)
14131	Avingaluk	34+49S	2+07W					>1000	6.55	-0.2	1900	Vqz de 30 cm dans M1 avec 5% As, Py(tr)
14132	Avingaluk	35+01S	1+79W					>1000	5.37	-0.2	12620	Vqz dans M1 avec As(5%)
14133	Amaruk	24+11S	1+66W					55		0.7	162	S9D très oxydé, As(tr)
14134	Amaruk	24+15S	1+73W					31		0.5	-3	M15 dans S9D, Py(2%)
14135	Amaruk	22+25S	2+78W					111		0.6	61	S9D très oxydé, As(2%)
14136	Amaruk	22+22S	2+67W					194		1	28	S9D injecté de M15 avec Po(2%), As(1%)
14137	Amaruk	22+22S	2+67W					170		-0.2	108	M15 dans S9D, Po(2%) en filonnets
14138	Amaruk	22+22S	2+67W					377		1	43	M15 avec As(2%) disséminée et Po(2%)
14139	Amaruk est							>1000	4.85	-0.2	4040	S9D avec As(5-8%) et Py(1%)
14140	Amaruk est							892		-0.2	2670	S9B-D avec Vqz minéralisée As(2%), Py(1%) et Po(1%)
14141	Amaruk est							446		-0.2	695	S9B, As(tr)
14142	Amaruk est							>1000	1.90	0.5	6010	même niveau que 14139 à environ 40 m au sud:S9D, As(5%) et Py(1%)
14143	Amaruk est	509410	6608077					>1000	19.06			S9D, As(15%), Py(2-5%)
14144	Amaruk est	509468	6607873									S9B, Zone de rouille avec Vqz, Py(tr)
14151	Amaruk	18+15 S	0+40 W					88		-0.2	94	mobilisat 5% Py
14152	Amaruk	18+85 S	0+35 W					45		-0.2	55	Form fer silicatée
14153	Amaruk	14+75 S	0+20 W					32		0.7	13	mobilisat <1% Py
14154	Amaruk	10+55 S	0+35S					401		2.8	14	mobilisat 1% Py
14155	Amaruk	10+50 S	0+30 E					>1000	0.98	2	32	mobilisat <1% Py
14156	Amaruk	10+65 S	0+45 E					40		-0.2	48	mobilisat (Qz-Gr) tr de Py
14157	Amaruk	9+90 S	0+70 E					308		0.9	1590	mobilisat (Gn-Gr)
14158	Amaruk	9+55 S	0+55 E					112		0.9	72	Formfer (rouillée)
14159	Avignaluk	32+25 S	1+50 W					95		0.5	38	mobilisat (Qz-Gr) 1% Py
14160	Avignaluk	32+35 S	1+40 W					318		0.2	184	mobilisat (Gn-Qz-Gr) 1% As
14161	Avignaluk	32+25 S	1+90 W					244		-0.2	375	Form fer 1% Py
14162	Avignaluk	32+80 S	1+90 W					12		-0.2	35	mobilisat (Qz-Gr)
14163	Avignaluk	32+60 S	2+70 W					226		-0.2	21	Formfer <1% Py
14164	Avignaluk	32+25 S	3+80 W					20		-0.2	14	Formfer et mobilisat 1% Py
14165	Avignaluk	30+75 S	3+30 W					60		-0.2	29	mobilisat (Qz-Gr) <1% Py
14166	Avignaluk	41+70 S	2+25 E					32		-0.2	24	Formfer (Ox+Sil) rouillée
14167	Avignaluk	39+75 S	2+50 E					20		1	10	Formfer et mobilisat 1% Py
14168	n/a	n/a	n/a						4.25	-2000	-2000	Pulpe de 1997 (échantillon 699520: 3.91 g/l)
14169	Avignaluk	36+25 S	2+25 E					12		0.5	-3	Matériel felsique dans M1 Hb (2% Po)
14170	Avignaluk	36+10 S	1+60E					14		0.6	281	M1 Hb (3-4% Po+Py)
14171	Avignaluk	34+20 S	4+75 E					27		1.1	-3	M1 Hb (1% Py)
14172	Avignaluk	28+15 S	3+55 W					70		1	-3	Formfer rouillée
14173	Avignaluk	26+70 S	0+95 W					149		1.1	109	Formfer silicatée + mobilisat rouillé
14174	Avignaluk	26+10 S	2+00 W					14		1.1	-3	Formfer silicatée
14175	Avignaluk	26+00 S	1+75 W					57		1.5	-3	Formfer silicatée rouillée
14176	Avignaluk	25+75 S	2+25 W					38		0.8	-3	Formfer silicatée + mobilisat (Qz-Gr) rouillé
14177	Avignaluk	25+70 S	1+65 W					28		0.6	-3	Mobilisat (Qz-Gr-Gn)
14178	Amaruk	9+25 S	0+55 E					298		1	238	Formfer silicatée 1% Py tr As
14179	Amaruk	14+10 S	0+30 E					751		1.8	-3	Formfer silicatée 5% Py
14180	Amaruk	14+75 S	0+30E					362		1	-3	Formfer silicatée + mobilisat (Qz-Gr-5% Py)
14181	Amaruk	16+35 S	0+45 E					160		1.1	-3	Formfer oxyde + mobilisat (Qz-Gr-Bo-5% Py)
14182	Amaruk	7+60 S	0+15 W					495		-0.2	337	Formfer oxyde (rouillée)
14183	Amaruk	7+75 S	0+12 W					422		0.9	-3	Formfer silicatée 1% Py
14184	Amaruk	8+10 S	0+05 E					69		-0.2	-3	Formfer oxyde + mobilisat (Qz-Gr) rouillé
14185	Amaruk	23+60 S	1+45 W					43		-0.2	21	Formfer silicatée + mobilisat (Qz-Gr) rouillé
14186	Amaruk	23+10 S	0+50 W					7		0.2	-3	Formfer silicatée + mobilisat (Qz-Gr) rouillé
14187	Amaruk	23+20 S	1+10 W					14		0.2	-3	Formfer silicatée rouillée
14188	Amaruk	23+40 S	1+30 W					7		0.2	-3	Formfer oxyde 1% Py

PROJET PAYNE (1121-2)
ÉCHANTILLONNAGE ÉTÉ 1999

Échantillons	zone	ligne	station	tranchée	de (m)	à (m)	Longueur	AU	AU	Ag	As	Descriptions de l'échantillon
14189	Amaruk	23+60 S	1+90 W					14		-0.2	-3	Formfer oxyde (rouillée)
14190	Amaruk	22+85 S	2+90 W					13		0.7	-3	Formfer silicatée (3-4% Py) + mobilisat (Qz-Gr)
14191	Amaruk	22+115 S	3+45 W					218		0.5	-3	Mobilisat (Gr-Gn) 2-3% Py
14192	Recon	-----	-----							-0.2	669	Mobilisat (Qz-Gr) légèrement rouillé
14193	Recon	-----	-----							-0.2	192	Formfer silicatée rouillée
14201	Amaruk	20+00S	0+20W					41		-0.2	23	Mobilisat avec tr. Sulfures dans formfer au contact avec paragneiss
14202	Amaruk	19+11S	0+12E					80		0.7	32	Mobilisat avec tr. Sulfures dans formfer au contact avec amphibolite
14203	Amaruk	19+90S	0+26W					128		-0.2	13	Mobilisat avec tr. Sulfures dans formfer au contact avec amphibolite
14204	Amaruk	14+09S	0+12W	TR-99-09	0	1.3	1.3	45		1.2	-3	Formation de fer (oxide) partiellement silicatée
14205	Amaruk	14+09S	0+12W	TR-99-09	1.3	2.3	1	31		-0.2	18	Formation de fer (oxide) partiellement silicatée
14206	Amaruk	14+09S	0+12W	TR-99-09	2.3	3.3	1	132		-0.2	151	Idem + traces sulfures et 5% mobilisat (qtz + grunérite)
14207	Amaruk	14+09S	0+12W	TR-99-09	3.3	4.55	1.25	232		0.4	221	1% sulfures
14208	Amaruk	14+09S	0+12W	TR-99-09	4.55	5.25	0.7	22		-0.2	21	Paragneiss a biotite-qtz-feldspath±grenat non mineralisé
14209	Amaruk	14+09S	0+12W	TR-99-09	5.25	6	0.75	200		-0.2	243	Formfer oxide fortement silicatée avec 1-2% pyrrotite + traces ars-chalco
14210	Amaruk	14+09S	0+12W	TR-99-09	6	7.35	1.35	48		-0.2	67	Formfer mod. Silicatée avec tr. Sulfures
14211	Avignaluk	33+97S	0+67W					83		0.4	30	Mobilisat de qtz-biotite-pyrite dans charnière de pli parasite P2
14212	Avignaluk	33+65S	0+46W					9		-0.2	33	Mobilisat qtz-amphibole avec traces sulfures
14213	Avignaluk	33+61S	0+48W					367		-0.2	61	Mobilisat qtz-amphibole avec traces sulfures
14214	Avignaluk	33+25S	1+07W					518		0.4	24	Mobilisat qtz-amphibole avec traces sulfures
14215	Avignaluk	33+98S	1+49W					105		0.5	45	Formfer oxide sulfurée (jusqu'à 10% pyrite/goetite)
14216	Avignaluk	33+77S	1+56W					539		0.8	2090	Formfer oxide (jusqu'à 10% goetite possiblement après pyrite) près du c
14217	N/A	N/A	N/A	N/A	N/A	N/A	N/A		1.06	-2000	-2000	Pulpe de 1997 (échantillon 699526: 2.19 g/t)
14218	Avignaluk	35+71S	0+82E					12		0.9	-3	Zone de "skarn" dans métavolcanite
14219	Avignaluk	35+72S	0+83E					1		0.7	-3	Zone de "skarn" dans métavolcanite
14220	Avignaluk	35+71S	0+84E					24		1.2	-3	Zone de "skarn" dans métavolcanite
14221	Avignaluk	35+77S	0+72E					22		0.8	-3	"Skarn" à feldspath-biotite-grenat et tr. Sulfures dans métavolcanite
14222	Avignaluk	35+72S	0+67E					4		0.4	-3	"Skarn" à feldspath-biotite-grenat et tr. Sulfures dans métavolcanite
14223	Avignaluk	35+73S	0+68E					16		0.9	-3	"Skarn"
14224	Avignaluk	32+63S	3+16E					39		1.3	-3	Formfer à oxides
14225	Avignaluk	27+73S	2+10W					32		1	-3	Zone rouillée dans formfer silicatée en bordure contact avec amphibolite
14226	Avignaluk	27+46S	2+16W					536		0.9	-3	Formfer silicatée avec tr. Sulfures près du contact avec amphibolite
14227	Avignaluk	27+37S	2+20W					59		1.1	-3	Zone rouillée dans formfer oxides
14228	Avignaluk	27+32S	2+21W					>1000	6.05	1.3	2380	Formfer silicatée/"skarn avec tr. Sulfures
14229	Avignaluk	27+04S	2+27W					60		1.4	-3	Formfer oxides/silicatée avec taches de rouille
14230	Avignaluk	26+98S	2+18W					305		0.7	654	Charnière de pli P1 en "Z" dans formfer/"skarn" biotite-qtz-grenat
14231	Avignaluk	27+81S	3+44W					372		0.6	919	Petite zone de "skarn" quartzeux avec 10% pyrite et tr. Arsénopyrite
14232	N/A	N/A	N/A	N/A	N/A	N/A	N/A		2.13	1.2	-3	Pulpe de 1997 (échantillon 699523: 1.3 g/t)
14233	Amaruk	8+00S	0+30E	TR-99-11	2.05	3.6	1.55	554		0.8	-3	Formfer silicatée, pyrite (2-3%) et arsénopyrite (1-2%)
14234	Amaruk	8+00S	0+31E	TR-99-11	3.6	4.15	0.55	602		1.2	251	Formfer à oxides, localement silicatée, tr. Py-As
14235	Amaruk	8+00S	0+33E	TR-99-11	4.15	5.7	1.55	>1000	3.84	1.2	118	Formfer à oxides, mod. Silicatée avec tr. Py-As
14236	Amaruk	7+82S	0+18E					93		0.7	18	Formfer silicatée et boudinée, 2-5% limonite (possible sulfures)
14237	Amaruk	7+81S	0+17E					144		0.7	-3	Idem mais seulement avec traces limonite
14238	Amaruk	7+80S	0+16E					37		0.3	-3	Zone de "skarn" au contact formfer-paragneiss à Bo
14239	Amaruk	7+30S	0+27W	TR-99-12	0	1	1	>1000	1.96	1	-3	Formfer mod. Silicatée avec 1% Py et tr. As
14240	Amaruk	7+30S	0+28W	TR-99-12	1	2.35	1.35	40		0.9	-3	Formfer à oxides, non-minéralisée
14241	Amaruk	7+30S	0+29W	TR-99-12	2.35	3.4	1.05	43		1	-3	Formfer à oxides, non-minéralisée
14242	Amaruk	7+30S	0+30W	TR-99-12	3.4	4.3	0.9	98		1	-3	Formfer à oxides, non-minéralisée
14243	Amaruk	7+49S	0+37W	TR-99-13	0	1	1	118		1.1	-3	Formfer à oxides, non-minéralisée
14244	Amaruk	7+49S	0+38W	TR-99-13	1	1.75	0.75	137		1	-3	Formfer à oxides, non-minéralisée
14245	Amaruk	7+49S	0+39W	TR-99-13	1.75	2.75	1	100		0.7	-3	Formfer à oxides, mod. Silicatée, 1% Py
14246	Amaruk	7+49S	0+40W	TR-99-13	2.75	3.75	1	112		0.9	-3	Formfer à oxides, silicatée et traversée d'un cisaillement, 5% limonite
14247	Amaruk	7+49S	0+41W	TR-99-13	3.75	4.8	1.05	51		0.8	-3	Formfer à oxides, non-minéralisée, "skarn" à qtz-grunerite-grenat
14248	Amaruk	7+49S	0+42W	TR-99-13	4.8	5.9	1.1	22		1.1	-3	Formfer à oxides, non-minéralisée
14249	Amaruk	7+49S	0+43W	TR-99-13	6.2	7	0.8	25		1	-3	Formfer à oxides, non-minéralisée
14250	Amaruk	7+49S	0+44W	TR-99-13	7.5	7.75	0.25	28		0.7	-3	Paragneis qtz-biotite mylonitisé
14251	Amaruk	20+00S	1+25W					>1000	6.89	-0.2	52	Bloc rouillé de S9D avec 15% sulfures (Po>As>Py>Cpy)
14252	Amaruk	13+32S	0+22W					368		-0.2	47	S9D rouillé
14253	Amaruk	10+67S	0+05W					>1000	2.02	0.7	4480	As en trace sub-parallèle au rubannement dans M1
14254	Amaruk	11+08S	0+28W					140		0.6	289	As en trace sub-parallèle au rubannement dans M4
14255	Amaruk	13+50S	0+40W					44		1	49	As et Py en trace dans S9D rouillé plissée
14256	Amaruk	13+50S	0+40W					200		-0.2	79	Py en trace dans M15

ÉCHANTILLONNAGE ÉTÉ 1999

Échantillons	zone	ligne	station	tranchée	de (m)	à (m)	Longueur	AU	AU	Ag	As	Descriptions de l'échantillon
14257	Amaruk	13+50S	0+40W					48		-0.2	79	Py en trace dans M15 affectée par P1 et P2
14258	Amaruk	7+25S	0+32W					558		-0.2	5	Py, Po, As en trace dans S9D
14259	Amaruk	7+47S	0+27W					>1000	25.62	3.5	3690	5% sulfures (Py>Po> As) dans S9D
14260	Amaruk	8+65S	0+65W					>1000	10.02	-0.2	474	Py en trace dans S9B
14261	Avignaluk	35+10S	1+10W					195		2	45	Pyrite disséminée dans S9D au contact de M4
14262	Avignaluk	35+40S	1+40W					>1000	5.79	1.2	326	5% sulfures (Py>As) dans S9D
14263	Avignaluk	35+60S	2+20W					570		1.9	27	10% micropyrite dans zone silicifiée affectant contact S9D/M4
14264	Avignaluk	35+38S	1+45W					38		-0.2	27	Traces de Py et Po dans Vq dans M1 20cm au dessus de contact S9B
14265	Avignaluk	35+40S	2+75W					766		0.3	1150	As en trace dans M15 au contact de M4
14266	Avignaluk	31+25S	2+80W					>1000	6.36	-0.2	9690	2% sulfures (As>Po>Py) dans M4 aux épontes de Vq sub-parallèle à S1
14267	Avignaluk	30+97S	2+97W					>1000	7.79	-0.2	6080	As disséminée dans M1 aux épontes de Vq-gr-gn sub-parallèle à S1
14268	Avignaluk	31+03S	3+10W					52		0.6	198	As, Py, Cpy en amas aux épontes de Vq-alb dans M1
14269	Avignaluk	34+40S	1+50W					>1000	3.29	-0.2	4690	2% sulfures (Po>As>Py) dans M4 aux épontes de Vq sub-parallèle à S1
14270	Avignaluk	35+60S	2+25W					125		0.6	128	S9D très rouillé aus épontes de Vq dans charnière de pli P2
14271	Amaruk	10+48S	0+10E					>1000	8.80	0.5	4730	As disséminée dans M1
14272	Amaruk	10+08S	0+38W					857		-0.2	1290	Py disséminée dans S9B au contact de M4 mylonitique recristallisé
14273	Amaruk	10+10S	0+36W					>1000	32.95	1.4	3730	5% sulfures (As, Py) disséminés dans S9D plissé près de biotitite
14274	Amaruk	10+08S	0+34W					>1000	11.93	0.4	1480	5% sulfures (As, Py) en structure de faille ductile entre M4/S9D?/M1
14275	Amaruk	10+06S	0+36W					>1000	5.08	0.5	2110	5% sulfures (As, Py) disséminés en contact faillé M4/S9D?/M1
14276	Amaruk	8+92S	0+13W					>1000	10.46	-0.2	4020	3% sulfures (As, Py) disséminés au contact M4?/S9D
14277	Amaruk	8+63S	0+63W					>1000	2.39	0.3	2110	3% sulfures (As, Py) disséminés dans S9D
14278	Amaruk	22+05S	0+05W					3		-0.2	-3	Traces de Py cubique dans S9B et S9D boudiné
14279	Amaruk	22+87S	0+36W					5		0.3	-3	Py cubique en amas centimétrique dans M15 au contact M1/S9D
14280	Amaruk	23+07S	0+38W					20		0.5	-3	5% de Py en feuillet parallèle au rubannement dans S9D
14281	Amaruk	22+85S	0+75W					4		0.5	47	M15 fortement oxydé sans sulfures en affleurement
14282	Amaruk	17+72S	0+26W					>1000	1.32	0.3	3780	Traces de As et Py dans S9B
14283	Amaruk	17+36S	0+31W					780		0.6	2640	2% de As dans ?pseudotachylite parallèle au rubannement dans S9B
14284	Recon	508696	6603785						10.87	-0.2	7670	5% As et Py au contact S9D-M4
14301	Amaruk	7+49S	0+45W	TR-99-13	7.75	8.85	1.1	21		1	-3	Formfer à oxides et "skarn" Qz-Grenat
14302	Amaruk	7+50S	0+41W	TR-99-13	0	0.9	0.9	131		1.1	-3	Rainure test sur veinules (parallèle à foliation)
14303	Amaruk	8+00S	0+27E	TR-99-11	0	2.05	2.05	48		1	-3	S9B modérément silicatée (grunérite-biotite)
14304	Amaruk	10+06S	0+61E	TR-99-14	0	0.25	0.25	10		0.5	-3	M4
14305	Amaruk			TR-99-14	0.25	1.55	1.3	78		0.9	-3	S9D et M15 (Qz-grunérite-grenat), 5% limonite
14306	Amaruk			TR-99-14	1.55	2.2	0.65	101		0.9	22	S9D avec localement pM15 Py(tr), As(tr)
14307	Amaruk			TR-99-14	2.2	3.3	1.1	16		0.9	-3	S9B (D)
14308	Amaruk			TR-99-14	3.3	4.45	1.15	175		0.8	-3	S9B-D avec M15 locale
14309	Amaruk			TR-99-14	4.45	5.55	1.1	16		1.1	-3	Idem
14310	Amaruk			TR-99-14	5.55	6.55	1	64		1.1	-3	Idem, sauf Vqz (2cm) avec Py(1%)
14311	Amaruk			TR-99-14	6.55	7.05	0.5	250		1.2	-3	S9B(D) avec Py(tr)
14312	Amaruk			TR-99-14	7.05	7.65	0.6	94		1	-3	Idem
14313	Amaruk			TR-99-14	7.65	8.65	1	28		1	-3	S9B-D avec zone de Bo massive de 4 cm
14314	Amaruk			TR-99-14	8.65	9.65	1	18		1.1	-3	S9B-D M15 locale Py(tr)
14315	Amaruk			TR-99-14	9.65	10.25	0.6	513		0.8	54	Zone cataclastique avec fr de qz+alb dans matrice de Bo massive.
14316	Amaruk			TR-99-14	10.25	11.75	1.5	250		1.2	-3	S9B-D Py(tr), As(tr)
14317	Amaruk			TR-99-14	11.75	12.85	1.1	288		1.2	-3	Vqz+M15 avec Py(5%), Po(2%), As(tr), zone de Mg massive, faille
14318	Amaruk			TR-99-14	12.85	13.85	1	210		1.1	-3	Idem a 14317 avec moins de sulfures, faille
14319	Amaruk			TR-99-14	13.85	14.75	0.9	114		1.1	-3	zone de mobilisat, S9B-D(Mg grossière), sans sulfures
14320	Amaruk			TR-99-14	14.75	15.85	1.1	133		0.6	-3	S9B-D, localement Vqz(cm), Py(tr)
14321	Amaruk			TR-99-14	15.85	16.75	0.9	85		1	-3	S9B(D) avec petite faille concordante, Bo(massive) sans sulfures
14322	Amaruk			TR-99-14	16.75	17.8	1.05	986		1.2	-3	S9B(D) avec Py(tr), As(tr), M15 au contact (10cm)
14323	Amaruk			TR-99-14	17.8	18.25	0.45	562		0.6	-3	M1, As(1%), Po(1%) à texture grossière
14324	Amaruk	13+35S	0+21E	TR-99-15	0	0.6	0.6	9		-0.2	-3	M4 qz-bo-gt, Py(tr) en éponte d'une vqz
14325	Amaruk	13+35S	0+20E	TR-99-15	0.6	1.05	0.45	7		-0.2	-3	S9B(D) avec M15 à qz-bo-gt non-minéralisé au contact avec M4
14326	Amaruk	13+35S	0+19E	TR-99-15	1.05	2.35	1.3	28		-0.2	-3	S9B non-minéralisé
14327	Amaruk	13+35S	0+18E	TR-99-15	2.35	3.95	1.6	>1000	1.29	0.3	-3	S9B avec M15 au contact avec M1, Po(4%), Py(2%)
14328	Amaruk	13+35S	0+17E	TR-99-15	3.95	4.45	0.5	35		-0.2	-3	M1 non-minéralisé
14329	Amaruk	12+70S	0+26E	TR-99-16	0	1.2	1.2	26		-0.2	-3	M4 qz-bo-gt, Py(1%) As(tr)
14330	Amaruk	12+70S	0+17E	TR-99-16	1.2	2.35	1.15	12		-0.2	-3	M4 qz-bo-gt, Po(tr)
14331	Amaruk	12+70S	0+17E	TR-99-16	2.35	3.4	1.05	14		-0.2	-3	M4 qz-bo-gt, Po(tr)
14332	Amaruk	12+70S	0+17E	TR-99-16	3.4	4.5	1.1	8		-0.2	-3	M4 qz-bo-gt, Po(tr)
14333	Amaruk	12+70S	0+17E	TR-99-16	4.5	5.25	0.75	7		-0.2	-3	M15 qz-gt Py(tr)

ÉCHANTILLONNAGE ÉTÉ 1999

Echantillons	zone	ligne	station	tranchée	de (m)	à (m)	Longueur	AU	AU	Ag	As	Descriptions de l'échantillon
14334	Amaruk	12+70S	0+17E	TR-99-16	5.25	6.75	1.5	14		-0.2	-3	M4 qz-bo-gt, non-minéralisé
14335	Amaruk	12+70S	0+17E	TR-99-16	6.75	8.65	1.9	12		-0.2	-3	M4 qz-bo-gt, Po(tr)
14336	Amaruk	12+70S	0+17E	TR-99-16	8.65	9.05	0.4	>1000	7.80	0.3	83	M4 mylonitisé, Py(3%), Po(tr)
14337	Amaruk	12+70S	0+17E	TR-99-16	9.05	9.55	0.5	>1000	52.67	0.2	364	M4 mylonitisé, Py(5%), As(tr)
14338	Amaruk	12+70S	0+17E	TR-99-16	9.55	10.75	1.2	334		-0.2	69	M1 non-minéralisé
14339	Amaruk	12+78S	0+18E	TR-99-17	0	0.5	0.5	40		-0.2	-3	M4 non-minéralisé
14340	Amaruk	12+78S	0+17E	TR-99-17	0.5	1.65	1.15	>1000	2.47	0.5	-3	M4 mylonitisé et M15 Gt Py(1%) au contact
14341	Amaruk	12+78S	0+17E	TR-99-17	1.65	2.15	0.5	24		-0.2	-3	M1 non-minéralisé
14342	Amaruk	7+30S	0+30W	TR-99-12	4.3	6	1.7	56		0.4	-3	S9B(D) non-minéralisé
14343	Amaruk	7+30S	0+31W	TR-99-12	6	7.1	1.1	66		0.2	-3	S9B(D) non-minéralisé
14344	Amaruk	7+30S	0+32W	TR-99-12	7.1	8.6	1.5	73		-0.2	-3	S9B(D) non-minéralisé
14345	Amaruk	7+30S	0+29W	TR-99-12	0	-1.55	1.55	121		-0.2	-3	S9B non-minéralisé
14346	Amaruk	7+30S	0+28W	TR-99-12	-1.55	-2.5	0.95	>1000	4.17	0.4	69	S9B Py(5%) As(1%)
14347	Amaruk	11+96S	0+28E	TR-99-18	0	0.8	0.8	36		0.5	-3	M4 et M15 Qz-Gt-Bo au contact
14348	Amaruk	11+96S	0+27E	TR-99-18	0.8	1.6	0.8	17		-0.2	-3	S9B et M15 Gt-Bo au contact
14349	Amaruk	11+96S	0+26E	TR-99-18	1.6	2.4	0.8	45		0.3	-3	S9B non-minéralisé
14350	Amaruk	11+96S	0+25E	TR-99-18	2.4	3.65	1.25	6		0.4	-3	S9B non-minéralisé
14351	Amaruk	11+96S	0+24E	TR-99-18	3.65	4.95	1.3	20		-0.2	-3	S9B-D/M15 Qz-Bo-Gt non-minéralisé
14352	Amaruk	11+35S	0+42E	TR-99-19	0	0.9	0.9	6		-0.2	-3	M4 Qz-Bo-Gt
14353	Amaruk	11+35S	0+41E	TR-99-19	0.9	2.2	1.3	68		-0.2	5	S9D/M15 Gt-Gn-Qz-Mt, Py(tr)
14354	Amaruk	11+35S	0+40E	TR-99-19	2.2	3.7	1.5	70		0.6	-3	S9B(D)
14355	Amaruk	11+35S	0+39E	TR-99-19	3.7	5	1.3	372		0.8	-3	S9D(B)/M15 Qz-Bo, Py(tr)
14356	Amaruk	11+35S	0+38E	TR-99-19	5	6	1	401		-0.2	-3	S9B(D), Py(tr)
14357	Amaruk	11+35S	0+37E	TR-99-19	6	7.45	1.45	>1000	1.32	0.6	-3	S9B(D)/M15 Qz-Gt
14358	Amaruk	11+33S	0+38E	TR-99-19	0	1.1	1.1	133		-0.2	-3	S9B(D)/M15 Qz-Gt
14359	Amaruk	11+32S	0+38E	TR-99-19	1.1	1.6	0.5	140		-0.2	-3	M1
14360	Amaruk	20+53S	0+87W	TR-99-20	0	0.6	0.6	17		-0.2	-3	M4 Bo-Qz
14361	Amaruk	20+53S	0+87W	TR-99-20	0.6	1.8	1.2	40		-0.2	-3	S9D/M15 Qz-Gt-Bo
14362	Amaruk	20+53S	0+87W	TR-99-20	1.8	2.8	1	>1000	1.32	0.5	-3	S9B(D) Py(1%)
14363	Amaruk	20+53S	0+87W	TR-99-20	2.8	3.9	1.1	311		0.9	-3	S9D/M15 Qz-Gt-Bo, Py(tr)
14364	Amaruk	20+53S	0+87W	TR-99-20	3.9	4.9	1	80		-0.2	-3	M1/M15 Qz-Bo
14365	Amaruk	20+20S	0+40W	TR-99-21	0	1	1	6		0.4	-3	S9B Py(1%)
14366	Amaruk	20+20S	0+41W	TR-99-21	1	1.75	0.75	78		-0.2	-3	S9D(B)/M15 Qz-Bo-Gt
14367	Amaruk	20+20S	0+42W	TR-99-21	1.75	2.55	0.8	137		0.6	-3	S9B(D)/M15 Qz-Gt sur 15cm
14368	Amaruk	20+20S	0+43W	TR-99-21	2.55	3.35	0.8	>1000	10.13	0.2	65	S9B(D) Py(5%) semi-massive sur 10cm
14369	Amaruk	20+20S	0+44W	TR-99-21	3.35	4.2	0.85	23		-0.2	-3	M4 Qz-Bo
14370	Amaruk	20+20S	0+45W	TR-99-21	4.2	5.7	1.5	424		-0.2	-3	S9B(D) Py(tr) dans vQz au contact avec M1
14371	Amaruk	20+20S	0+46W	TR-99-21	5.7	6.2	0.5	85		-0.2	-3	M1
14372	Amaruk			TR-97-07	0	0.9	0.9	>1000	2.35	0.9	68	S9B(D) Py(1%) As(1%)
14373	Amaruk			TR-97-07	0.9	1.9	1	190		0.6	-3	S9B(D) Py(tr) As(tr)
14374	Amaruk	20+20S	1+10W	TR-99-22	0	0.75	0.75	111		-0.2	8	M1 Py(tr)
14375	Amaruk	20+20S	1+10W	TR-99-22	0.75	1.15	0.4	146		-0.2	-3	S9D Py(10%) dans contact cisaillé
14376	Amaruk	20+20S	1+10W	TR-99-22	1.15	2.25	1.1	4		0.4	-3	S9B(D)
14377	Amaruk	20+20S	1+10W	TR-99-22	2.25	2.65	0.4	7		0.5	-3	S9B
14378	Amaruk	20+20S	1+10W	TR-99-22	2.65	3.65	1	3		-0.2	-3	S9B(D)
14379	Amaruk	20+20S	1+10W	TR-99-22	3.65	4.55	0.9	<1		-0.2	-3	S9B(D) Py(tr)
14380	Amaruk	20+20S	1+10W	TR-99-22	4.55	5.45	0.9	7		0.3	-3	S9B(D)
14381	Amaruk	20+20S	1+10W	TR-99-22	5.45	6.25	0.8	5		0.4	-3	S9B(D)
14382	Amaruk	20+20S	1+10W	TR-99-22	6.25	7.25	1	2		-0.2	-3	S9B(D)
14383	Amaruk	20+20S	1+10W	TR-99-22	7.25	8.35	1.1	4		0.4	-3	S9B
14384	Amaruk	20+20S	1+10W	TR-99-22	8.35	9.45	1.1	7		0.2	-3	S9B
14385	Amaruk	20+20S	1+10W	TR-99-22	9.45	10.15	0.7	17		-0.2	-3	S9B
14386	N/A	N/A	N/A	N/A	N/A	N/A	N/A		15.84	-2000	-2000	Echantillon 97 (699577) 14.71 g/t Au (grav) 15.98 g/t Au (metallic sieve)
14387	Amaruk			TR-97-08	0	1.15	1.15	289		0.4	171	S9D Po(2%) Py(tr), extension vers l'ouest d'une rainure 1997
14388	Amaruk			TR-97-08	1.15	2.7	1.55	>1000	1.37	0.5	44	S9D Po(1%) Py(1%), extension vers l'ouest d'une rainure 1997
14389	Amaruk			TR-97-08	2.7	4.45	1.75	370		-0.2	185	S9D As(tr) Py(3%), extension vers l'ouest d'une rainure 1997
14390	Amaruk	18+85S	0+35W	TR-99-23	0	0.9	0.9	33		-0.2	-3	M4 Qz-Bo-Gt
14391	Amaruk	18+85S	0+36W	TR-99-23	0.9	2.05	1.15	204		0.8	1100	S9D As(tr) Py(2%)
14392	Amaruk	18+85S	0+37W	TR-99-23	2.05	2.65	0.6	66		-0.2	-3	M1 Gt vQz
14393	Amaruk	18+85S	0+38W	TR-99-23	2.65	3.9	1.25	408		0.5	140	S9D Py(1%)
14394	Amaruk	18+85S	0+39W	TR-99-23	3.9	4.9	1	33		0.4	-3	S9B Py(tr) As(tr)

Echantillons	zone	ligne	station	tranchée	de (m)	à (m)	Longueur	AU	AU	Ag	As	Descriptions de l'échantillon
14395	Amaruk	18+85S	0+40W	TR-99-23	4.9	6.4	1.5	595		0.9	489	S9B(D) Qz-Gt Py(2%) As(1%)
14396	Amaruk	18+85S	0+41W	TR-99-23	6.4	7.4	1	587		0.6	76	S9B(D) Py(tr)
14397	Amaruk	18+85S	0+42W	TR-99-23	7.4	8.25	0.85	469		0.5	-3	S9B(D) Py(tr) As(tr)
14398	Amaruk	18+85S	0+43W	TR-99-23	8.25	9.4	1.15	213		-0.2	73	S9B(D) Po(2%) As(2%) graphite (tr)
14399	Amaruk	18+85S	0+44W	TR-99-23	9.4	11.2	1.8	>1000	1.60	-0.2	5640	S9B(D) Py(tr)

ANNEXE 3

Résultats d'analyses des échantillons choisis et/ou de rainures

Rés s d'a es d ihant de s es

# Éch.	Au ppb	AU G/T	Be ppm	Na %	Mg %	Al %	P %	K %	Ca %	Sc ppm	Ti %	V ppm	Cr ppm	Mn ppm	Fe %	Co ppm	Ni ppm	Cu ppm	Zn ppm	As ppm	Sr ppm	Y ppm	Zr ppm	Mo ppm	Ag ppm	Cd ppm	Sn ppm	Sb ppm	Ba ppm	La ppm	W ppm	Pb ppm	Bi ppm
14001	67		-0.5	0.01	1.12	1.38	0.11	0.01	0.57	1.1	0.01	-2	75	1920	27	17	23	110	60.9	36	2.7	7.4	43	8	-0.2	-1	11	35	9	18.4	-10	12	24
14002	138		0.6	0.03	1.14	0.76	0.08	0.01	3.05	1	0.01	5	67	1360	28.9	10	22	135	31.5	126	38.8	8	4.5	10	0.5	4	10	39	6	16.1	-10	8	23
14003	19		0.6	0.03	1.06	0.35	0.08	0.01	1.03	0.6	0.01	5	111	1170	30.4	11	23	39.9	25.4	17	16.7	5.6	0.6	8	0.6	-1	12	34	10	15.3	-10	14	24
14004	>1000	2.11	-0.5	0.85	3.01	6.84	0.06	1.48	3.82	52.6	1.12	478	105	4720	16.9	48	66	295	184	3010	54.3	25.6	86.2	7	-0.2	42	-10	23	203	19	-10	-2	41
14005	85		1.2	0.48	1.8	3.83	0.13	0.45	4.79	18.5	0.37	151	117	2000	17.8	33	35	219	129	99	28.6	20.1	27.6	8	0.6	2	-10	36	67	20.6	-10	4	18
14006	52		0.6	0.05	1.5	5.89	0.16	1.05	2.17	18.6	0.24	50	147	2400	20.8	12	34	42.8	79.2	113	11.9	41.8	40.2	7	-0.2	3	-10	22	281	23.1	-10	5	27
14007	79		0.6	0.03	1.58	1.04	0.05	0.03	1.93	1.5	0.02	2	116	5400	22.8	9	20	62.5	30	27	34	7.2	7.4	8	0.9	-1	10	27	25	14.6	-10	12	19
14008	299		-0.5	0.06	0.92	5.1	0.13	0.06	1.8	17.1	0.02	37	120	2350	13.1	8	14	38.8	23.7	68	12	33.3	15.4	8	-0.2	4	-10	6	67	12.2	-10	3	10
14009	24		-0.5	0.29	1.57	3.05	0.07	0.17	2.15	36.5	0.31	161	133	2050	9.76	25	25	198	71.5	15	10.7	41.4	24.9	6	-0.2	-1	-10	13	40	14.6	-10	3	13
14010	97		-0.5	0.04	1.16	3.05	1.08	0.1	3.31	13.5	0.04	11	123	3010	22.9	12	19	31	49.1	38	21.5	40.5	6.2	8	1	3	-10	37	30	38.2	-10	13	8
14011	34		2.1	-0.01	0.84	2.28	0.07	-0.01	1.41	5.8	0.09	21	63	355	12.6	9	20	40.3	64.1	128	1.4	5.4	41	5	-0.2	2	-10	14	3	10.9	-10	5	12
14012	46		1.8	0.06	2.18	8.4	0.26	0.27	7.01	14.2	0.2	69	135	432	17.5	36	140	3140	118	68	149	14.7	64.8	12	1.6	3	-10	16	36	28.4	3520	-2	11
14013	133		0.8	0.08	2.04	1.06	0.04	0.03	2.27	2.2	0.04	8	114	4330	22.9	17	32	121	84.4	30	5.1	7.8	13.3	9	1.2	-1	12	34	6	16.5	-10	7	22
14014	163		0.6	0.01	1.87	2.68	0.07	0.01	1.54	2.9	0.04	26	124	1620	26.8	16	30	72.3	67.1	261	5.3	8.7	4.4	3	0.5	5	-10	35	10	14	-10	-2	28
14015	87		-0.5	0.01	1.25	3.16	0.08	0.01	1.62	4.3	0.02	16	154	2420	31.7	18	44	321	36.2	241	8.9	11.2	-0.5	5	1.8	3	-10	49	10	20.9	-10	15	39
14016	100		-0.5	0.01	1.84	3.73	0.16	0.02	1.15	20.6	0.02	12	163	3050	28.9	32	47	63.6	47	111	14.9	27.1	8.3	14	0.5	3	-10	39	18	73	-10	8	27
14017	>1000	8.25	-0.5	1.81	2	5.29	0.02	0.22	4.87	45.6	0.86	278	118	1320	9.06	23	20	362	88.3	16230	234	20	44.7	5	-0.2	233	-10	17	99	9.9	17	-2	16
14018	296		-0.5	0.2	0.76	2.95	0.11	0.1	0.86	9.1	0.1	27	151	894	10.7	9	23	61	21.3	212	19.9	10.4	5.4	6	-0.2	4	-10	11	24	13.8	-10	8	11
14019	124		-0.5	0.03	0.2	0.17	0.02	0.01	0.4	1.1	0.02	9	182	190	3.34	12	16	331	6.7	294	4.4	0.9	3.6	3	0.2	4	-10	-5	4	1.6	-10	3	-5
14020	22		0.6	0.03	0.91	0.19	0.08	0.01	1.71	0.8	0.01	-2	159	1380	19.2	5	15	18.7	5.8	12	65.7	5.1	-0.5	7	1.1	2	-10	29	8	10.8	-10	10	20
14021	85		-0.5	0.08	2.95	6.61	0.1	1.28	1.72	27.5	0.29	82	253	2450	18.9	26	143	37.7	84.7	38	33	34.8	9.3	7	-0.2	2	-10	38	511	11	-10	8	19
14022	>1000	1.375	0.7	0.05	1.69	0.38	0.14	0.02	1.84	2.3	0.01	5	121	1970	20.1	10	21	66.7	81.9	151	11.9	9	2.7	6	-0.2	2	-10	30	31	14.5	-10	7	9
14023	33		-0.5	1.58	2.06	5.96	0.05	0.38	4.86	41.4	0.88	367	80	2000	10.4	41	41	107	112	55	116	20.3	68.1	4	-0.2	2	-10	21	163	13.2	-10	-2	15
14024	516		0.9	0.26	2.77	1.86	0.07	0.12	2.39	7.4	0.07	38	119	4160	23.3	16	39	32.3	293	80	15.5	13	15.8	8	0.3	3	-10	24	38	16.1	-10	10	18
14025	48		4.8	1.2	4.06	6.04	0.07	0.66	7.81	66.4	1.43	561	45	2880	17.5	60	44	55	198	54	133	35.6	56.4	8	-0.2	1	-10	24	263	20.6	-10	8	25
14026	96		0.5	0.05	0.77	1.08	0.12	0.03	1.07	2.7	0.05	13	89	812	32.5	19	31	59	61.4	49	10.1	7.9	1.5	-1	1.4	-1	14	36	20	20.1	-10	27	35
14027	626		0.8	0.03	0.71	0.19	0.05	0.01	2.64	0.8	0.01	-2	75	929	31.1	9	25	25.4	6.7	15	28.4	5.7	-0.5	10	-0.2	1	11	49	6	16.7	-10	15	29
14028	428		0.7	0.03	1.45	5.58	0.11	0.15	2.69	2.6	0.1	23	143	1910	26.4	15	30	2000	72.5	239	7.9	7.2	7.5	16	0.4	4	-10	37	83	14	-10	7	49
14029	>1000	1.285	2.2	0.09	2.15	0.96	0.08	0.1	1.12	0.9	0.05	3	81	1010	24.5	29	47	257	90.6	6150	11.1	4.1	-0.5	8	1.4	86	-10	29	14	14	-10	5	55
14030	45		-0.5	0.03	1.57	2.81	0.12	0.01	1.23	4.7	0.07	24	203	1520	22.4	13	39	57.7	141	154	2.6	9.8	18.6	9	-0.2	4	-10	31	5	16	-10	7	16
14031	31		-0.5	0.03	0.95	4.02	0.06	0.02	1.25	6.9	0.11	35	140	1410	13	35	40	478	40	63	3.1	10.3	45.4	7	0.8	2	-10	11	7	21.1	-10	4	17
14032	73		-0.5	0.03	1.96	0.58	0.02	0.01	0.56	1.1	0.01	-2	135	6660	23	10	23	56.3	15.2	90	3.6	9.7	7	7	-0.2	2	-10	25	6	16.2	-10	15	21
14033	569		0.8	0.03	1.34	0.37	0.05	-0.01	2.39	0.5	0.01	-2	101	3060	28.2	10	24	26.3	7.3	39	18.8	7.5	-0.5	8	1	2	11	46	17	14.1	-10	21	31
14034	>1000	1.355	-0.5	1.26	3.53	5.11	0.04	0.41	5.13	49.4	1	434	117	1330	10.9	34	37	96.2	107	159	74.6	24.8	50.8	6	-0.2	2	-10	22	80	12.6	-10	-2	12
14035	43		-0.5	0.04	1.93	7.68	0.04	1.31	1.86	15.7	0.31	67	263	9020	19.3	10	24	19.5	41.9	7	13.3	11.2	99.2	8	2.3	-1	-10	30	470	13.6	-10	-2	15
14036	23		-0.5	0.01	2.02	6.92	0.04	0.25	1.69	19.6	0.29	91	288	1740	16.5	20	71	107	47.1	51	6	11.1	74.6	8	-0.2	-1	-10	29	29	26.2	-10	-2	22
14037	53		1.1	0.03	1.85	0.65	0.1	0.01	1.04	0.8	0.01	-2	131	1460	25.7	14	21	64.1	69.6	49	3.6	7.1	3.3	9	0.4	2	12	34	9	15.9	-10	8	22
14038	44		1.6	0.01	1.42	0.23	0.14	-0.01	1.08	1.4	0.01	-2	54	2620	35	11	28	12.7	5.9	46	51.2	11	-0.5	2	0.5	2	14	39	17	19.7	-10	14	40
14039	462		1.1	0.04	1.31	1.86	0.11	0.06	0.99	8.8	0.02	9	101	2740	27	15	33	56.2	21.1	337	39.6	16.1	11.3	9	0.7	5	-10	45	45	18.4	-10	4	27
14040	>1000	1.695	0.8	0.04	1.28	2.11	0.13	0.08	1.62	7.3	0.09	26	109	1910	25.1	19	41	76	29.6	1690	36.2	11.4	16.1	9	0.7	24	-10	42	58	18.5	-10	5	27
14041	559		0.9	0.03	0.44	0.3	0.12	-0.01	3.12	0.6	0.01	-2	123	763	28.8	15	29	144	20.1	828	140	8.4	1.9	7	0.6	12	10	36	6	17.3	-10	9	29
14042	250		1.4	0.03	1.43	0.7	0.16	0.03	1.4	2.6	0.04	5	72	2120	32.9	16	33	39	17.5	451	89.5	12.2	9.6	-1	-0.2	6	11	39	51	21.7	29	9	28
14043	34		1.1	-0.01	1.39	0.16	0.13	-0.01	0.84	0.7	0.01	-2	74	2120	33.2	9	24	8.9	4.7	28	53.7	10.5	-0.5	11	-0.2	-1	12	34	7	21.3	-10	11	36
14044	23		1.1	-0.01	1.39	0.22	0.12	-0.01	0.82	0.6	0.01	-2	55	2070	31.9	11	23	10.4	5.8	37	41.5	8.8	-0.5	16	-0.2	3	11	42	7	19.4	-10	15	37
14045	51		0.9	0.01	1.31	0.13	0.08	-0.01	1.09	0.6	-0.01	-2	57	1320	30.1	11	22	30.1	10.6	27	50.1	7	0.6	2	-0.2	2	12	24	6	17.8	-10	10	28
14046	62		0.9	0.01	1.58	0.14	0.12	-0.01	1.23	0.6	-0.01	-2	60	1220	32.5	12	24	23.5	7.1	78	61.7	7.9	-0.5	5	0.6	3	13	33	7	20.2	-10	14	45
14047	167		1	0.01	1.27	0.16	0.1	-0.01	1.49	0.5	-0.01	-2	79	1290	29.1	11	24	45.8	7.7	446	77.6	7.3	-0.5	7	0.5	7	-10	47	10	18.5	-10	11	30
14048	20		0.9	0.01	1.37	0.36	0.1	0.03	1.3	1.9	0.01	-2	75	1630	30.9	13	27	11.4	5.7	19	60.3	9.1	-0.5	3	-0.2	2	10	47	16	20.5	-10	12	18
14049	9		-0.5	1.91	1.43	7.32	0.02	1.55	1.35	18.9	0.37	96	179	535	4.95	30	87	32.2	85.5	10	256	11.9	92.3	3	-0.2	1	-10	26	579	34.6	-10	5	17
14050	standard	8.74	-2000	-2000	-2000	-2000	-2000	-2000	-2000	-2000	-2000	-2000	-2000	-2000	-2000	-2000	-2000	-2000	-2000	-2000	-2000	-2000	-2000	-2000	-2000	-2000	-2000	-2000	-2000	-2000	-2000	-2000	-2000
14051	14		-0.5	0.05	0.69	2.96	0.01	0.11	0.92	13.3	0.12	72	156	900	6.9	8	9	5.6	23.6	-3	5.7	15.7	17.5	-1	0.2	-1	-10	-5	57	1.9	-10	-2	-5
14052	208		1.2	0.03	0.79	0.15	0.07	-0.01	0.9	-0.5	0.01	34	142	743	15.7	3	3	41.4	21.4	10	10.1	4.8	7.9	-1	1.4	2	-10	-5	3	-0.5	-10	34	-5
14053	>1000	3.27	3.1	0.02	1.45	0.39	0.16	-0.01	0.9	-0.5	-0.01	37	157	2420	27.2	5	7	90.7	41.4	2610	31.6	9.6	18.3	-1	1.1	9	-10	-5	7	5.7	-10	17	-5
14054	>1000	0.995	2.3	0.03	0.93	0.21	0.08	-0.01	1.66	-0.5	-0.01	31	186	876	21.9	6	8	128	22.3	-3	33.3	6.5	10.5	-1	1.4	5	-10	-5	3	2.3	-10	15	-5
14055	119		2.1	0.77	2.49	7.06	0.05	1.62	2.62	39.9	0.92	460	330	1740	11.6	39	28	20.2	152	176	108	27.3	90.7	-1	0.6	2	-10	-5	567	12.8	-10	-2	-5
14056	130		3	0.04	1.28	0.69	0.09	0.02	1.96	-0.5	0.04	52	187	1420	26.4	8	3	37.4	75.3	114	34	9.4	20.8	-1	0.9	9	-10	-5	10	5.3	-10	16	6
14057	63		2.7	0.02	1.37	0.25	0.09	0.01	1.36	-0.5	0.01	41	138	1330	28.3	4	-1	18.4	25.5	33	37.8	8	14.7	-1	1	10	-10	-5	333	3.8	-10	20	-5
14058	25		3.6	0.03	1.08	0.22	0.13	-0.01	1.62	-0.5	-0.01	43	143	1840	31.7	5	-1	7.6	22.9	-3	37.2	9.9	16.2	-1	1	14	-10	-5	19	7.1	-10	22	-5
14059	52		3.3	0.02	1.39	0.17	0.12	-0.01	1.66	-0.5	-0.01	46	132	2230	32.9	4	-1	15.7	29.6	-3	36.9	8.8	16.2	-1	1.1	13	-10	-5	19	5.1	-10	23	7

Résultats d'analyses des échantillons de surfaces

# Ech.	Au ppb	AU G/T	Be ppm	Na %	Mg %	Al %	P %	K %	Ca %	Sc ppm	Ti %	V ppm	Cr ppm	Mn ppm	Fe %	Co ppm	Ni ppm	Cu ppm	Zn ppm	As ppm	Sr ppm	Y ppm	Zr ppm	Mo ppm	Ag ppm	Cd ppm	Sn ppm	Sb ppm	Ba ppm	La ppm	W ppm	Pb ppm	Bi ppm
14060	590	1.77	3.3	0.03	1.45	0.34	0.1	-0.01	2.04	-0.5	0.01	42	143	2250	29	7	4	24.5	29.2	-3	39.7	11.1	15.9	-1	1.1	10	-10	-5	4	5.9	-10	18	-5
14061	480		3.3	0.03	1.25	0.21	0.13	-0.01	1.67	-0.5	-0.01	43	114	2160	31.8	7	3	77.8	36.1	-3	43.6	10	16.4	-1	1.3	14	-10	-5	6	7.3	-10	20	-5
14062	126		3.2	0.02	1.29	0.15	0.13	-0.01	1.54	-0.5	-0.01	46	143	1960	31.2	5	1	33.8	34.3	-3	43.5	10.8	15.3	-1	1.1	12	-10	-5	2	5	-10	21	8
14063	408		1.4	0.02	0.95	1.93	0.07	0.03	0.7	1.9	0.01	35	200	1420	21	11	6	26.6	28.2	149	8.9	10	20.9	-1	0.8	5	-10	-5	5	3.6	-10	12	-5
14064	910		2.7	0.03	1.11	0.31	0.06	-0.01	1.44	-0.5	-0.01	39	140	1150	28	13	9	139	30	90	42.9	5.9	14.2	-1	1.5	10	-10	-5	20	3.2	-10	17	-5
14065	264		1.5	0.08	1.25	1.76	0.09	0.07	1.26	3	0.02	40	260	1470	21.2	8	10	79.5	36.2	16	23.8	9.4	14.6	-1	1.1	5	-10	-5	15	3.8	-10	13	-5
14066	404		1.7	0.97	1.81	6.26	0.13	1.85	2.33	7.7	0.46	157	304	1050	16.4	16	52	17.5	70.2	-3	202	9.4	45.8	-1	0.8	3	-10	-5	598	5.6	-10	6	-5
14067	>1000	1.87	2.4	0.03	1.19	0.27	0.06	-0.01	1.59	-0.5	-0.01	36	145	1320	25	6	3	60.6	27.6	125	38.6	5.8	12.9	-1	1	7	-10	-5	2	3	-10	15	-5
14068	634		2.2	0.03	1.07	0.2	0.07	0.02	1.85	-0.5	-0.01	35	188	1240	25.1	5	5	101	31.2	6	55.1	6.4	11.9	-1	1.3	8	-10	-5	7	3.9	-10	12	-5
14069	30		3	0.03	1.27	0.58	0.1	0.01	1.54	-0.5	0.02	42	167	1870	27.9	5	-1	9.4	23.7	-3	39.3	12.4	14.7	-1	1	10	-10	-5	12	4.4	-10	16	-5
14070	17		1.7	1.1	1.83	8.86	0.21	1.09	1.95	49	0.08	64	309	2720	14.4	13	14	8.8	61.3	97	137	42.5	21.8	-1	0.5	2	-10	-5	185	9.7	-10	4	-5
14071	8		0.7	2.5	1.26	7.64	0.04	1.81	1.57	9.8	0.3	97	182	359	4.28	17	40	12.6	53.7	-3	334	4.4	42.3	-1	0.7	-1	-10	-5	498	22.2	-10	-2	-5
14072	86		0.6	0.48	0.5	3.02	0.07	0.28	0.86	5.8	0.03	22	171	926	8.2	5	7	19.7	17.6	-3	94.4	10.2	9.1	-1	0.6	-1	-10	-5	64	2.1	-10	-2	-5
14073	>1000	0.945	2.2	0.07	1.04	0.44	0.09	0.04	1.19	-0.5	0.02	39	196	675	23	7	3	31.7	32.6	1250	15.9	8.2	12	-1	1	7	-10	-5	10	3.3	-10	20	-5
14074	162		2.2	0.07	1.11	0.78	0.09	0.04	1.49	-0.5	0.04	47	229	1190	22.2	7	1	22	35.3	-3	16.1	9.3	12.6	-1	1	6	-10	-5	12	4.4	-10	13	-5
14075	58		3	0.83	2.58	4.76	0.06	0.55	6.64	40.1	0.81	487	107	2330	14.4	41	28	49.9	105	70	150	26.7	39.3	-1	0.7	3	-10	-5	100	8.5	-10	2	-5
14076	47		1.1	0.04	1.63	4.95	0.08	0.8	1.29	13.9	0.21	85	258	2470	16	70	231	189	57.2	39	8	20.1	45.5	2	1.7	4	-10	-5	182	5.2	-10	6	-5
14077	123		2	0.04	1.41	0.49	0.03	0.03	2.41	-0.5	0.02	29	188	4440	17.4	8	16	80.2	23.1	184	17.8	6.9	13.5	-1	1.4	5	-10	-5	6	1.5	-10	11	-5
14078	126		1.4	0.07	1.92	5.79	0.04	0.19	2.67	5.9	0.18	69	240	10660	19.3	21	61	173	78.1	-3	20.5	13.1	82.5	-1	0.9	5	-10	-5	63	5.7	-10	5	-5
14079	248		2.1	0.06	1.67	0.36	0.05	0.02	2.78	-0.5	0.02	35	158	3930	21.2	5	11	34.5	26.4	21	30.4	6.1	13.8	-1	1.3	7	-10	-5	8	3	-10	11	-5
14080	80		2.5	0.03	0.99	0.19	0.05	-0.01	1.72	-0.5	-0.01	40	136	739	28.2	4	-1	7.9	20.1	-3	32.6	5.5	14.8	-1	1.5	12	-10	-5	-1	2.3	-10	19	5
14081	220		2.9	0.03	1.09	0.12	0.05	-0.01	1.62	-0.5	-0.01	40	102	732	29.8	4	-1	8.2	21.2	-3	28.9	5.3	14.8	-1	1.4	15	-10	-5	-1	2.3	-10	22	-5
14082	224		2	0.02	1.13	0.14	0.04	-0.01	0.54	-0.5	-0.01	34	152	795	24.3	4	-1	23.6	25.6	-3	10.6	4	11.3	-1	1.7	9	-10	-5	1	0.7	-10	16	-5
14083	498		2.5	0.03	1.08	0.18	0.07	-0.01	0.92	-0.5	-0.01	37	171	867	26.1	4	-1	34.2	25.5	-3	15.7	5	14.5	-1	2.3	11	-10	-5	14	2.6	-10	19	-5
14084	654		2.3	0.03	1.02	0.14	0.05	-0.01	0.83	-0.5	-0.01	36	146	850	24.9	6	2	52	26.7	-3	11.4	4.8	15.3	-1	2.9	9	-10	-5	15	1.4	-10	18	-5
14085	12		0.7	1.78	1.46	7.51	0.03	2.45	1.64	13.7	0.34	110	314	833	6.05	17	44	25.1	72.1	-3	172	11	41.4	-1	0.6	-1	-10	-5	478	18.3	-10	-2	-5
14086	21		2.2	0.05	1.41	1.38	0.06	0.05	2.39	0.7	0.05	47	222	2720	21.8	8	21	37.1	39	-3	88.6	6	22.8	-1	0.9	7	-10	-5	44	5	-10	13	-5
14087	45		1.6	0.09	2	4.24	0.05	0.55	2.23	4.8	0.17	68	251	4800	18.1	18	47	66	91	-3	34.1	10.2	59.5	-1	1	4	-10	-5	117	12.8	-10	8	-5
14088	186		2.1	0.04	1.6	1.35	0.05	0.03	1.83	-0.5	0.05	46	174	3480	24.4	7	14	11.6	32.8	193	32.3	6.2	21.8	-1	0.9	8	-10	-5	30	4.5	-10	16	-5
14089	78		2.3	0.04	1.48	1.02	0.05	0.02	2.23	-0.5	0.04	46	169	3590	24.7	5	20	18	26.4	12	25.4	6.4	23.3	-1	0.8	8	-10	-5	15	2.2	-10	18	-5
14090	57		1.9	0.04	1.76	0.62	0.05	0.01	2.44	-0.5	0.02	35	132	4160	21.1	5	14	10.9	21.6	5	28.4	6.7	14.5	-1	0.9	7	-10	-5	11	3.1	-10	14	-5
14091	55		1.9	0.04	1.74	0.81	0.04	0.01	2.15	-0.5	0.03	41	141	4350	22.2	4	14	9.9	26.9	-3	14.1	8	17.6	-1	0.8	8	-10	-5	6	2.8	-10	12	-5
14092	68		1.9	0.06	1.55	0.64	0.04	0.02	2.01	-0.5	0.02	34	135	3440	19.6	5	12	17.3	23.3	-3	16.6	4.9	13.4	-1	0.9	5	-10	-5	10	1	-10	11	-5
14093	88		2.3	0.05	1.1	1.03	0.06	0.01	2.73	-0.5	0.01	31	186	1230	21.5	8	7	38.3	23.4	-3	28.5	7	19	-1	1.3	7	-10	-5	14	2.2	-10	13	-5
14094	8		1.1	2.01	1.6	8.01	0.07	1.86	2.2	12.8	0.35	121	184	910	7.49	18	46	16.1	76.6	-3	215	9.9	68.2	-1	0.8	-1	-10	-5	382	22.2	-10	-2	-5
14095	159		1.7	0.08	1.59	1.9	0.05	0.1	2	0.9	0.06	45	185	3050	19.7	17	18	48	41.6	-3	26.7	7.1	36	-1	1.4	5	-10	-5	40	4	-10	7	-5
14096	10		0.8	3.36	2.36	9.96	0.1	3.26	2.57	16.3	0.58	171	139	405	5.9	28	62	14.7	122	-3	598	7.2	73	-1	1	-1	-10	-5	1360	46.6	-10	-2	-5
14097	42		1.7	0.4	2.44	4.45	0.1	2.03	2.29	27.2	0.72	356	179	1590	18.7	27	24	22.4	93.7	-3	94.4	19.4	46.2	-1	0.9	6	-10	-5	658	6.2	-10	11	-5
14098	90		2.8	0.07	0.97	0.75	0.11	0.06	1.52	-0.5	0.03	56	147	1290	28.3	6	2	11.5	36.1	-3	24.6	9.5	16.2	-1	0.7	12	-10	-5	22	2	-10	22	-5
14099	29		1.4	1.63	3.26	6.67	0.06	0.8	5.28	48.9	1.19	586	95	1680	12.1	50	28	39.7	154	-3	174	30.8	58.5	-1	0.5	3	-10	-5	244	9.2	-10	-2	-5
14100	396		2.2	0.08	1.39	0.7	0.11	0.03	1.8	-0.5	0.03	53	133	1660	23.7	6	4	46.9	67	-3	16.1	9.5	15.5	-1	1	8	-10	-5	9	2.6	-10	18	8
14101	8		1.2	1.71	3	6.37	0.05	0.51	5.32	46.7	1.09	521	102	2010	11.6	44	27	48.2	143	-3	135	31.3	63.5	-1	0.7	3	-10	-5	129	8.7	-10	-2	-5
14102	28		4	2.63	1.38	7.92	0.06	2.4	1.76	9.4	0.33	99	129	640	7.81	14	36	19.1	131	-3	323	4.6	53.7	-1	0.8	-1	-10	-5	408	22.9	-10	7	-5
14103	>1000	1.335	2.7	0.1	1.11	5.22	0.21	0.25	2.17	9.3	0.06	46	261	6980	18.6	25	28	3840	91.1	-3	18.7	40	42	-1	4.6	6	-10	-5	29	4	15	9	*INF
14104	>1000	2.18	2	0.14	0.91	6.26	0.07	0.1	2.25	8	0.03	41	210	5630	19.2	28	24	2750	56.2	-3	14.2	42.4	40.4	-1	4.8	5	-10	-5	136	8.1	25	12	*INF
14105	>1000	1.25	3.5	0.12	1.13	3.24	0.09	0.08	2.27	1.9	0.03	34	215	2490	18.7	36	21	1610	105	-3	14.5	18.7	19.1	-1	2.8	5	-10	-5	13	3.8	26	13	*INF
14106	82		3.6	0.09	1.38	0.65	0.07	0.05	2.89	-0.5	0.02	28	154	1580	16.7	28	17	444	132	-3	22.8	6.4	16.9	-1	1.1	4	-10	-5	2	-0.5	47	12	-5
14107	194		3	0.08	1.31	0.59	0.08	0.05	1.36	-0.5	0.02	32	195	1140	20.4	24	16	309	116	-3	7.8	6.1	12.4	-1	1.2	6	-10	-5	2	2.1	-10	11	23
14108	167		2.6	0.06	1.67	1.48	0.08	0.06	1.44	-0.5	0.03	39	156	1360	22.4	21	12	803	105	-3	8.7	11.6	17	-1	1.7	7	-10	-5	4	0.9	-10	15	-5
14109	92		3.1	0.07	1.59	1.48	0.1	0.1	1.43	-0.5	0.05	45	206	1130	22.8	19	15	413	99.7	649	9.2	6.8	19	-1	1.6	8	-10	-5	12	4.4	10	12	-5
14110	43		3.4	2.29	1.61	7.96	0.22	2.53	1.97	10.3	0.34	96	138	842	9.36	19	45	215	174	-3	374	5.9	44.1	-1	0.9	-1	-10	-5	450	14.4	-10	3	-5
14111	standard	10.8	1.9	0.04	0.97	0.22	0.08	0.03	0.67	-0.5	-0.01	34	112	871	22.8	43	19	116	97	6310	14.9	5.6	14.7	-1	1.1	8	-10	-5	8	4.4	16	16	-5
14112	<1		2.3	0.05	0.82	0.34	0.08	0.04	1.75	-0.5	0.02	42	147	856	26.3	5	1	12	22.8	-3	35.4	6.6	14.9	-1	1	10	-10	-5	5	1.7	-10	17	7
14113	15		2.8	0.73	4.62	5.68	0.16	1.6	4.9	19.5	0.47	175	355	1130	15.3	33	131	17.6	82.2	-3	551	17.5	47.6	-1	1	4	-10	-5	555	30.9	-10	4	-5
14114	14		2.5	0.19	1.2	0.55	0.1	0.07	1.49	-0.5	0.01	42	132	1260	26.9	6	2	7.3	26.2	-3	27.8	7.9	27.9	-1	0.9	10	-10	-5	294	12.1	-10	20	-5
14115	22		2.5	0.15	0.94	0.43	0.09	0.08	2.16	-0.5	0.02	43	188	1470	24.9	4	7	15.8	26.1	-3	36.4	7.9	23.6	-1	1	10	-10	-5	221	9.7	-10	17	-5
14116	30		2.8	0.13	0.83	0.37	0.11	0.03	2.19	-0.5	0.01	43	168	1310	26.2	5	2	9.8	25.2	-3	56	9.4	23	-1	1	10	-10	-5	190	8.9	-10	19	-5
14117	34		2.6	0.19	0.9	0.43	0.11	0.06	2.26	-0.5	0.02	41	159	879	24.4	5	-1	28.7	28.7	-3	71.2	8.4	25	-1	1	10	-10	-5	276	12.4	-10	15	-5

Résultats d'analyses des échantillons de surfaces

# Ech.	Au ppb	AU G/T	Be ppm	Na %	Mg %	Al %	P %	K %	Ca %	Sc ppm	Ti %	V ppm	Cr ppm	Mn ppm	Fe %	Co ppm	Ni ppm	Cu ppm	Zn ppm	As ppm	Sr ppm	Y ppm	Zr ppm	Mo ppm	Ag ppm	Cd ppm	Sn ppm	Sb ppm	Ba ppm	La ppm	W ppm	Pb ppm	Bi ppm
14118	47		2.8	0.04	0.79	0.3	0.09	-0.01	2.19	-0.5	0.01	40	148	755	25.1	4	-1	29.2	28.9	-3	89.9	7.2	20.1	-1	0.8	10	-10	-5	22	2.3	-10	17	-5
14119	216		2.9	0.15	1.95	1.92	0.13	0.15	2.34	1.6	0.09	47	189	859	18.4	15	15	132	345	18	59.6	8.1	31.1	-1	1.1	6	-10	-5	82	8.5	-10	12	-5
14120	155		2.2	0.13	1.8	2.44	0.08	0.1	1.91	4.3	0.12	70	162	1050	17.3	17	14	108	244	-3	34.2	11.2	39.4	-1	0.9	4	-10	-5	21	4.5	-10	15	-5
14121	17		1.6	1.23	2.81	6.83	0.07	0.5	6.21	49.2	1.17	571	95	1420	11.5	50	28	47.2	165	-3	353	30.9	85.7	-1	0.4	3	-10	-5	104	10.4	-10	-2	-5
14122	351		1.4	0.36	3.32	6.94	0.13	0.16	8.86	40.9	0.71	362	129	1250	14.5	31	20	689	71.8	90	418	30.8	60.1	-1	1.2	-1	-10	-5	27	17.7	-10	-2	-5
14123	>1000	1.58	0.9	0.96	1.26	3.69	0.09	0.11	6.3	11.8	0.28	157	209	3300	10.9	28	23	442	94	68	55.8	19.8	33.6	4	-0.2	-1	-10	-5	48	9.9	552	-2	-5
14124	>1000	5.62	1.4	1.99	2.13	5.9	0.08	0.36	4.68	39.4	0.77	383	140	961	10.6	52	27	576	122	5380	140	26.6	82.2	-1	0.2	-1	-10	-5	130	13.4	38	-2	-5
14125	337		2.1	0.24	1.31	3.21	0.25	0.14	2.89	8.4	0.09	59	269	3010	13.4	12	18	88.5	309	54	31	17.5	43.7	-1	0.7	-1	-10	-5	12	11.2	-10	4	-5
14126	249		1.5	0.06	0.89	2.44	0.07	0.02	2.22	-0.5	0.05	45	218	1160	21.8	7	11	105	32.4	170	17.2	5.1	10	-1	0.8	-1	-10	-5	4	10.2	49	5	-5
14127	135		1.5	0.38	1.76	2.09	0.13	0.42	2.13	26.5	0.32	118	166	1420	20.1	7	5	42	130	10	26.4	23.1	20.8	-1	0.3	-1	-10	-5	57	185	-10	20	-5
14128	414		0.8	0.06	1.08	6.47	0.02	0.04	1.13	27.2	0.01	58	229	2330	19.6	7	13	101	32.3	397	6	41.4	43.2	-1	0.4	-1	-10	-5	8	13.6	-10	-2	11
14129	270		2.3	0.05	1.24	0.99	0.17	0.03	0.98	-0.5	0.03	40	134	2000	37	13	9	63.2	73.6	-3	11	9.3	16.1	-1	0.9	5	-10	-5	3	20.9	-10	14	22
14130	83		1.5	0.06	1.57	3.95	0.06	0.25	1.22	7.1	0.07	50	240	1760	13.7	17	26	83.1	89.1	-3	8	10.8	35.6	-1	0.2	-1	-10	-5	77	8.8	-10	-2	-5
14131	>1000	6.55	0.9	1.18	1.33	3.35	0.03	0.16	3.47	21.1	0.45	148	235	972	8.58	27	19	200	71.8	1900	156	10.8	18.1	2	-0.2	-1	-10	-5	70	6	-10	-2	-5
14132	>1000	5.365	0.7	1.25	1.14	3.57	0.02	0.19	2.75	21.2	0.46	168	198	738	7.96	12	10	525	56.4	12620	112	13	32.4	-1	-0.2	-1	-10	-5	70	6.2	43	-2	-5
14133	55		2.2	0.02	1.48	0.57	0.12	0.01	1.13	-0.5	0.02	33	113	1650	26.9	5	5	120	41.9	162	14.8	9.9	12.9	-1	0.7	3	-10	-5	6	15.1	-10	10	8
14134	31		1.5	0.05	1.84	1.15	0.13	0.02	1.03	1.3	0.03	36	213	2220	22.5	37	26	589	177	-3	4.8	12	18.5	-1	0.5	-1	-10	-5	4	18.9	-10	5	-5
14135	111		1.5	0.04	1.26	0.96	0.07	0.02	1.97	-0.5	0.01	21	109	1160	22.2	12	13	175	31.1	61	12.9	6	16.7	-1	0.6	-1	-10	-5	17	13.1	-10	4	-5
14136	194		0.9	0.05	1.41	1.2	0.06	0.03	2.47	0.8	0.03	23	139	2150	13.5	17	32	343	36	28	15.7	6.7	14.2	2	1	-1	-10	-5	5	10.5	-10	4	-5
14137	170		-0.5	0.04	0.73	1.46	0.04	0.01	0.54	0.7	-0.01	11	222	1200	9.38	11	21	153	23	108	7.4	4.1	18.3	-1	-0.2	-1	-10	-5	8	4.9	-10	-2	-5
14138	377		0.9	0.06	1.83	0.74	0.1	0.02	3.57	-0.5	0.02	20	168	1680	15.3	30	46	562	42.8	43	16.7	7.8	10.8	4	1	-1	-10	-5	4	13.1	-10	4	-5
14139	>1000	5.07	0.8	0.04	1.16	0.25	0.04	0.02	1.76	0.9	-0.01	-2	89	1210	25.1	23	37	197	37.9	4040	44.5	7.8	2.4	9	-0.2	56	11	34	14	11.2	-10	15	62
14140	892		1	0.12	0.72	0.96	0.02	0.09	1.57	1.4	0.02	2	169	853	9.62	20	26	106	19.6	2670	36.9	7	17.9	5	-0.2	37	-10	20	16	6.1	-10	9	25
14141	446		0.9	0.02	1.13	0.18	0.08	0.01	0.66	0.9	-0.01	-2	132	624	28.1	12	20	73.7	9.8	695	36.2	7.9	-0.5	-1	-0.2	11	16	44	21	13	-10	14	40
14142	>1000	2.09	0.8	0.03	0.99	0.21	0.03	0.03	1.53	0.5	-0.01	-2	150	1140	20.1	14	19	84.1	17	6010	51.9	6.1	2.3	6	0.5	85	-10	23	9	7.4	-10	8	38
14143	>1000	19.06																															
14144																																	
14151	88		0.7	0.03	2.44	0.72	0.12	0.01	1.03	2.7	0.02	-2	85	2180	30.2	13	26	68.5	70.8	94	12	5.7	8.9	13	-0.2	3	-10	38	10	20.9	-10	9	32
14152	45		0.8	0.78	3.91	6.2	0.04	0.68	6.67	68.5	1.35	516	45	1660	17.7	54	54	12.5	131	55	143	29.6	100	7	-0.2	3	-10	31	81	21.3	-10	15	60
14153	32		0.6	0.03	1.55	0.24	0.08	0.01	1.12	1.4	0.02	-2	36	2760	38.3	12	28	8.7	11.3	13	15.4	8.2	-0.5	16	0.7	-1	13	37	15	23.6	-10	12	36
14154	401		-0.5	0.05	0.66	0.46	0.07	0.02	0.67	1.4	0.01	-2	80	912	35.1	11	28	69.6	79.8	14	6.6	5.1	0.6	15	2.8	-1	15	61	6	21.7	-10	10	31
14155	>1000	0.98	1	0.13	1.13	0.71	0.11	0.06	1.98	2	0.02	6	127	951	22.6	8	17	46.7	71.2	32	8.3	7.8	4.8	9	2	2	-10	27	6	9.5	-10	4	22
14156	40		-0.5	0.08	1.43	3.74	0.43	0.04	2.06	31.6	0.01	10	136	5870	15.1	7	17	12.4	39.7	48	9.4	110	2.8	7	-0.2	3	-10	19	12	25.6	-10	-2	15
14157	308		-0.5	0.03	1.85	4.66	0.06	0.03	2.24	7.2	0.12	36	105	7080	19.8	12	30	30.4	71.5	1590	5.7	10.9	54.7	5	0.9	22	-10	25	20	17.5	-10	3	22
14158	112		0.6	0.03	1.58	0.26	0.12	-0.01	1.07	1.8	0.01	-2	77	1890	35.4	9	26	14.6	15.8	72	14.9	10.6	-0.5	18	0.9	1	15	36	8	23.9	-10	10	37
14159	95		-0.5	1.54	2.36	9.54	0.04	1.67	1.87	19.3	0.51	135	134	1500	13.4	19	65	22.2	72.4	38	295	10.5	66	8	0.5	1	-10	24	662	52.7	-10	3	19
14160	318		0.9	0.04	2.12	2.08	0.04	0.03	2.28	3.7	0.07	15	99	5130	23.6	11	29	105	68.3	184	24.2	7.7	21.6	9	0.2	4	-10	33	13	19.9	-10	6	17
14161	244		1	0.11	1.68	1.01	0.12	0.07	1.74	3.3	0.04	17	85	1300	22.3	32	40	378	137	375	18.5	9.9	11.6	6	-0.2	5	-10	24	20	15.3	-10	9	8
14162	12		-0.5	0.01	0.62	1.12	0.05	0.01	0.57	0.9	0.01	-2	230	886	16.7	7	20	48.3	21.3	35	4.7	9.2	3.4	7	-0.2	-1	-10	20	6	8.6	-10	-2	16
14163	226		0.6	0.01	1.34	0.24	0.17	-0.01	0.81	0.8	0.01	-2	98	2110	35.4	12	29	30	8.8	21	18.7	10.2	-0.5	12	-0.2	2	15	48	16	26.1	-10	17	36
14164	20		1.2	0.03	1.57	0.9	0.1	0.01	1.85	3.5	0.04	11	124	949	24.5	13	41	110	102	14	8.8	9	10.5	8	-0.2	-1	10	25	12	16.6	-10	7	16
14165	60		-0.5	0.26	1.16	1.57	0.07	0.16	2.72	7.1	0.33	114	120	2810	17.2	13	23	29.4	188	29	15.4	14	13.9	6	-0.2	1	-10	29	35	9.2	-10	8	31
14166	32		0.9	0.1	1.42	1.4	0.06	0.13	2.65	3.2	0.05	7	112	2510	27.9	11	27	12.7	22.7	24	60.5	6.5	13.3	6	-0.2	2	13	38	59	15.6	-10	13	21
14167	20		-0.5	0.05	1.22	1.4	0.19	0.01	0.74	0.7	0.01	-2	97	1650	31	11	25	6.1	44.2	10	7.2	10.9	29	9	1	-1	11	44	9	22.9	-10	9	38
14168	standard	4.25	-2000	-2000	-2000	-2000	-2000	-2000	-2000	-2000	-2000	-2000	-2000	-2000	-2000	-2000	-2000	-2000	-2000	-2000	-2000	-2000	-2000	-2000	-2000	-2000	-2000	-2000	-2000	-2000	-2000	-2000	-2000
14169	12		1	1.12	3.03	7.77	0.02	0.34	10.9	30.8	0.47	251	159	1830	8.66	26	82	39.8	138	-3	174	9.8	49.1	-1	0.5	-1	-10	-5	99	8.2	-10	-2	-5
14170	14		0.7	0.81	10.3	4.35	0.01	0.21	7.47	23.2	0.14	119	444	1430	7.17	82	482	48.8	89.3	281	11.2	6.2	15.8	-1	0.6	1	-10	-5	2	-0.5	63	3	-5
14171	27		0.9	0.61	3.02	6.93	0.03	0.28	8.05	38.2	0.69	357	298	5070	12.3	59	129	816	133	-3	145	24.4	55.9	1	1.1	2	-10	-5	60	3.7	-10	-2	-5
14172	70		2.2	0.04	0.71	0.39	0.09	0.02	0.91	-0.5	0.02	48	192	868	29.7	6	8	33.7	24.6	-3	9.3	5.8	16	-1	1	11	-10	-5	2	3.6	-10	21	-5
14173	149		1.8	0.1	1.55	1.29	0.04	0.04	3.12	3.8	0.1	76	221	3620	21.4	19	38	285	50.8	109	72.4	8.6	18.6	-1	1.1	5	-10	-5	9	3.5	-10	13	-5
14174	14		3.5	0.03	1.23	0.23	0.08	0.01	1.21	-0.5	-0.01	40	169	1810	29.6	5	-1	7.7	19.8	-3	41.3	6.8	14.3	-1	1.1	12	-10	-5	4	4.9	-10	19	-5
14175	57		4.2	0.05	1.93	0.37	0.18	-0.01	3.23	-0.5	0.01	59	72	2410	37.9	10	-1	62.3	71.6	-3	55.8	15.7	22.2	-1	1.5	21	-10	-5	2	5.1	-10	27	6
14176	38		1.5	0.05	1.14	1.64	0.07	0.02	1.33	-0.5	-0.01	26	282	1130	15.5	8	10	161	39.2	-3	9.7	6.5	13.3	-1	0.8	3	-10	-5	2	1.6	-10	6	-5
14177	28		0.8	1.31	2.18	5.23	0.04	0.2	5.1	29.5	0.56	209	254	1410	9.62	10	8	90.9	232	-3	105	24.6	29.7	-1	0.6	1	-10	-5	85	4.2	-10	-2	-5
14178	298		2.4	0.08	2.17	0.59	0.1	0.01	3.98	-0.5	0.02	40	127	5420	23.7	10	21	33.8	28.6	238	21.6	8.2	15.9	-1	1	10	-10	-5	2	2	-10	15	-5
14179	751		3.1	0.03	1.33	0.14	0.14	0.01	1.15	-0.5	-0.01	35	96	857	23	18	14	131	49.4	-3	30.1	8.6	13.3	-1	1.8	7	-10	-5	12	2.1	-10	15	-5
14180	362		2.7	0.38	1.42	2.82	0.07	0.24	2.78	11.8	0.41	248	179	1700	26.5	12	6	18.5	80.7	-3	25.7	14.8	41	-1	1	11	-10	-5	28	5.4	-10	14	-5
14181	160		1.5	0.04	1.52	3.36	0.23	0.77	1.51	10.6	0.16	62	234	2950	20.5	15	47	76.4	70.2	-3	10.5	29.3	20.8	-1	1.1	5	-10	-5	188	4	-10	11	-5

Résultats d'analyses des échantillons de surfaces

# Ech.	Au ppb	AU G/T	Be ppm	Na %	Mg %	Al %	P %	K %	Ca %	Sc ppm	Ti %	V ppm	Cr ppm	Mn ppm	Fe %	Co ppm	Ni ppm	Cu ppm	Zn ppm	As ppm	Sr ppm	Y ppm	Zr ppm	Mo ppm	Ag ppm	Cd ppm	Sn ppm	Sb ppm	Ba ppm	La ppm	W ppm	Pb ppm	Bi ppm
14182	495		1.8	0.08	1.03	0.47	0.09	0.03	1.51	-0.5	0.02	34	175	1320	28.3	3	1	30.8	50.4	337	10.4	5.6	14.3	-1	-0.2	1	-10	-5	3	13.9	-10	12	16
14183	422		1.5	0.17	2.36	0.61	0.1	0.05	4.49	0.7	0.03	35	175	3050	18.8	11	11	79.7	108	-3	14.3	9.5	13.4	-1	0.9	-1	-10	-5	6	10.5	-10	7	-5
14184	69		1.3	0.16	1.26	2.49	0.07	0.09	1.99	-0.5	0.03	29	307	2670	19.3	3	11	16.1	83.2	-3	7.1	12.4	21.2	-1	-0.2	-1	-10	5	9	13.2	-10	5	7
14185	43		1.5	0.06	1.61	3.55	0.15	0.07	1.92	7.7	0.31	104	212	1930	22.4	7	6	132	62.5	21	17.4	15.1	63.6	-1	-0.2	-1	-10	-5	29	13.7	-10	5	-5
14186	7		1.4	0.03	1.32	2.54	0.11	-0.01	0.85	-0.5	0.04	33	290	1200	23.1	16	13	65.2	31.9	-3	3.6	11.6	44.2	-1	0.2	-1	-10	-5	1	21.5	-10	3	16
14187	14		2.3	0.13	1.94	2.57	0.14	0.42	1.83	4.6	0.12	63	251	1610	21.5	9	13	121	157	-3	54.6	10.7	39.1	-1	0.2	-1	-10	5	234	14	-10	-2	9
14188	7		2.9	0.05	1.42	0.72	0.12	0.04	1.12	-0.5	0.03	42	163	1580	32	5	4	204	107	-3	30.9	10.4	16.4	-1	0.2	2	-10	-5	49	17.1	-10	13	19
14189	14		1.7	0.05	1.37	0.98	0.11	0.03	0.94	-0.5	0.03	29	190	1290	26.4	-1	2	8.7	28	-3	15.6	6.8	17.3	-1	-0.2	-1	-10	-5	8	15.7	-10	7	12
14190	13		2.2	0.09	2.45	3.03	0.04	0.07	4.1	1.6	0.09	45	200	7310	25	8	21	149	65.5	-3	81.7	9.1	45.8	-1	0.7	-1	-10	-5	29	21.2	-10	7	-5
14191	218		1.7	0.04	1.42	8.41	0.04	0.04	2.95	12.8	0.2	121	359	580	24.4	17	38	486	65.4	-3	36.5	9.8	62.7	1	0.5	-1	-10	-5	20	21.5	-10	-2	14
14192	123		1.1	0.05	1.01	1.21	0.07	0.06	1.81	3.4	0.05	15	251	1230	15.8	12	24	31.9	18.8	669	105	9.2	15.3	10	-0.2	8	-10	24	95	9.5	-10	15	53
14193	61		2	0.06	1.37	0.87	0.03	0.04	3.94	3.1	0.05	11	118	1890	25.8	17	25	91.8	20.8	192	186	6.6	7.2	6	-0.2	4	-10	42	17	10.1	-10	13	41
14201	41		-0.5	0.29	1.32	7.1	0.22	0.96	2.17	38.8	0.16	39	207	3610	15.3	10	28	17.4	43.9	23	48.8	76.1	14.7	8	-0.2	-1	-10	20	241	19.1	-10	-2	26
14202	80		2	0.15	1.96	1.51	0.05	0.07	4.34	6.8	0.1	43	137	7250	18.2	14	20	84.2	162	32	11.7	11.8	20.4	9	0.7	2	-10	30	19	12.5	-10	8	23
14203	128		-0.5	0.08	1.87	0.49	0.13	0.07	1.05	3.3	0.07	5	105	1860	30.2	14	29	104	121	13	8.8	8.3	-0.5	6	-0.2	2	13	32	16	27	-10	13	27
14204	45		0.7	0.01	1.46	0.54	0.12	0.01	1.02	1	0.01	-2	82	1880	34.6	12	29	18.7	10.8	-3	30.3	11.3	3.2	15	1.2	-1	13	45	12	22.7	-10	12	34
14205	31		0.8	0.01	1.51	0.23	0.11	0.01	0.97	1.1	0.01	-2	71	1820	34.1	13	27	15.8	8.3	18	30.5	8.7	-0.5	15	-0.2	1	14	47	8	24.6	-10	5	29
14206	132		0.9	0.03	1.74	0.29	0.12	0.02	1.2	1	0.01	-2	67	1450	33.8	13	28	26.9	12.5	151	35.5	8.9	-0.5	11	-0.2	3	14	50	11	21.1	-10	13	34
14207	232		1	0.04	1.21	0.61	0.11	0.03	2.38	2	0.02	8	64	1360	28.6	17	28	35.3	20	221	63.8	8.5	1.4	14	0.4	4	-10	32	16	16.4	-10	11	14
14208	22		0.6	3.23	2.32	10.5	0.04	3.21	1.9	29.8	0.66	189	106	586	7.15	38	117	55.1	106	21	392	10.9	80.5	6	-0.2	-1	-10	27	701	47.1	-10	5	28
14209	200		0.7	0.06	1.4	0.43	0.12	0.03	2.29	1.6	0.02	3	80	1270	24.4	11	23	59.4	44	243	48.3	7.2	-0.5	8	-0.2	4	-10	27	20	14.8	-10	11	25
14210	48		0.8	0.04	1.5	0.36	0.1	0.01	2.11	1	0.01	-2	64	1600	30.9	11	28	36.6	27.3	67	35.1	7.3	1.8	16	-0.2	4	13	41	11	16.3	-10	9	36
14211	83		-0.5	0.08	0.54	1.69	0.06	0.06	0.78	2.6	0.12	53	110	1560	13.9	6	15	63	16.1	30	13.6	9.4	5.5	8	0.4	1	-10	-5	32	12.4	-10	5	19
14212	9		-0.5	2	3.16	7.21	0.04	0.5	6.27	44.6	0.89	333	73	2000	11.6	56	82	34.8	156	33	114	24.7	88.9	5	-0.2	2	-10	21	201	21.6	-10	6	33
14213	367		-0.5	0.95	0.49	3	0.13	0.12	2.15	8.3	0.16	75	78	368	2.48	12	28	112	31.4	61	80.7	5.5	23.4	3	-0.2	-1	-10	16	66	4.9	-10	-2	-5
14214	518		-0.5	0.85	2.15	3.78	0.12	0.35	3.76	45	0.79	304	115	1040	9.83	30	23	266	97.8	24	45.5	26.4	49.7	6	0.4	1	-10	9	83	16.4	-10	-2	19
14215	105		0.6	0.03	1.39	0.22	0.05	0.01	1.36	0.9	0.01	-2	79	1040	32.1	7	24	12.8	14.3	45	23.5	6.3	-0.5	7	0.5	2	16	46	9	15.8	-10	15	38
14216	539		2.4	0.06	1.39	0.94	0.24	0.03	3.01	4.2	0.06	30	231	2250	12.7	45	44	130	217	2090	40.8	11.8	16.1	9	0.8	29	-10	25	11	10.2	50	7	-5
14217	standard	1.06	-2000	-2000	-2000	-2000	-2000	-2000	-2000	-2000	-2000	-2000	-2000	-2000	-2000	-2000	-2000	-2000	-2000	-2000	-2000	-2000	-2000	-2000	-2000	-2000	-2000	-2000	-2000	-2000	-2000	-2000	-2000
14218	12		0.6	1.5	1.49	5.56	0.03	0.18	4.11	17.5	0.33	141	225	862	6.82	40	56	258	161	-3	125	14.4	37.8	-1	0.9	-1	-10	-5	48	2.8	-10	-2	-5
14219	1		1.5	0.43	1.22	3.42	0.09	0.08	1.5	5.5	-0.01	35	231	1560	20.9	6	10	9.5	44.5	-3	77.4	15.7	22.8	-1	0.7	5	-10	-5	34	4.6	-10	12	-5
14220	24		0.7	1.08	1.38	4.09	0.07	0.08	4.22	14.1	0.26	124	210	894	9.8	57	71	981	121	-3	100	10	22.9	1	1.2	1	-10	-5	32	3	-10	9	-5
14221	22		1.1	0.43	2.51	5.7	0.06	0.05	10.7	37.4	0.68	210	157	2470	11.4	35	43	211	382	-3	107	25.3	50.9	-1	0.8	2	-10	-5	32	5.6	15	7	-5
14222	4		1.3	1.76	3.47	8	0.23	1.66	3.43	22.6	0.57	294	248	1720	9.6	26	32	76.3	459	-3	192	5.4	38.4	1	0.4	1	-10	-5	742	10	-10	4	-5
14223	16		1	0.4	1.1	4.14	0.05	0.12	3.54	13.5	0.22	90	295	2940	9.85	15	23	376	167	-3	70.5	16.3	36.1	-1	0.9	2	-10	-5	53	9.7	-10	6	-5
14224	39		2.8	0.04	1.38	0.17	0.1	0.02	1.65	-0.5	0.01	44	160	1330	29.2	3	-1	16.1	24.6	-3	30	6	15.2	-1	1.3	13	-10	-5	9	2.6	-10	19	6
14225	32		4.6	0.34	2.35	2.7	0.06	0.19	2.91	9	0.21	132	187	2680	19.5	12	16	50.1	158	-3	75.7	13.8	47.5	-1	1	6	-10	-5	76	7.3	52	11	-5
14226	536		3.6	0.25	2.26	3.32	0.06	0.14	2.65	6.9	0.11	83	268	1630	20	10	28	64.7	180	-3	48.4	14.2	45.3	-1	0.9	7	-10	-5	54	3.9	-10	10	-5
14227	59		4.1	0.02	1.27	0.17	0.09	-0.01	1.14	-0.5	-0.01	47	120	2350	31.7	5	-1	21.7	31.6	-3	36.8	6.7	18.4	-1	1.1	16	-10	-5	4	3.4	-10	20	-5
14228	>1000	6.05	5.9	0.07	1.68	0.41	0.2	0.04	2.04	-0.5	0.01	37	115	853	21.8	121	107	116	90.9	2380	15.8	2.9	16.1	-1	1.3	7	-10	-5	11	5	402	12	-5
14229	60		3.4	0.04	1.56	0.39	0.18	0.02	0.77	-0.5	-0.01	51	126	1770	31.7	9	5	85.3	72.3	-3	9.5	8.3	18.6	-1	1.4	15	-10	-5	5	3.1	-10	22	-5
14230	305		3.6	0.5	2.31	5.55	0.07	0.68	3.5	32.9	0.81	418	175	1920	16	29	25	57.6	159	654	65.8	21.7	52.6	-1	0.7	5	-10	-5	96	6.9	80	4	-5
14231	372		1.7	0.04	0.94	0.16	0.08	-0.01	1.33	-0.5	0.01	27	197	844	14.5	13	20	262	33.4	919	8.9	6.3	6.9	-1	0.6	3	-10	-5	-1	1.2	-10	12	-5
14232	standard	2.13	2.6	0.04	1.28	0.27	0.11	0.02	0.83	-0.5	-0.01	43	163	1450	27.9	10	2	49.5	157	-3	18.8	8.8	15.2	-1	1.2	11	-10	-5	-1	5.5	-10	18	-5
14233	554		2	0.05	1.45	1.16	0.08	0.02	1.1	-0.5	0.05	43	139	1660	24.4	13	5	78.4	136	-3	8	11.8	15.5	-1	0.8	8	-10	-5	2	0.9	-10	19	-5
14234	602		2.7	0.05	0.91	0.22	0.08	-0.01	2.86	-0.5	0.01	40	144	1060	26.3	16	5	35.9	64.8	251	43.7	5.6	17	-1	1.2	11	-10	-5	3	2.5	20	21	-5
14235	>1000	3.84	2	0.06	1.18	1.16	0.08	0.06	1.48	1.7	0.02	38	141	1420	23.7	24	15	80	89	118	11.3	17.5	15.7	-1	1.2	8	-10	-5	8	5.2	27	16	-5
14236	93		1.8	0.07	1.27	2.92	0.07	0.38	1.6	13.9	0.08	53	156	1900	20.1	11	7	60.7	87.7	18	7.2	51.8	23.7	-1	0.7	6	-10	-5	67	4.6	66	10	-5
14237	144		1.5	0.03	1.08	1.61	0.09	0.04	1.44	3.1	0.02	33	188	1730	19.7	5	5	20.5	50.7	-3	4.7	19.1	23.5	-1	0.7	5	-10	-5	8	14	23	15	-5
14238	37		0.9	0.14	1.68	4.73	0.03	2.25	0.61	22.2	0.4	135	268	2400	11.6	8	10	14.4	90.3	-3	29.5	72.3	9.4	1	0.3	2	-10	-5	385	55.2	-10	7	-5
14239	>1000	1.955	2.2	0.03	1.6	0.99	0.18	0.08	1.25	4	0.09	52	153	2180	25.3	11	8	21	111	-3	17.7	19.3	16.4	-1	1	9	-10	-5	24	31.9	-10	19	-5
14240	40		2.7	0.02	1.26	0.08	0.1	0.01	0.84	-0.5	-0.01	43	126	1690	29.2	5	-1	7.6	22.1	-3	24.8	6.5	15.3	-1	0.9	12	-10	-5	1	0.6	-10	18	-5
14241	43		3	0.03	1.33	0.11	0.12	-0.01	1.5	-0.5	-0.01	43	121	1650	29.3	5	-1	6.7	20.7	-3	35.2	8	15.6	-1	1	13	-10	-5	50	2.1	-10	21	5
14242	98		3	0.08	0.97	0.63	0.1	0.04	2.18	-0.5	0.03	49	166	1670	26.7	10	7	27.4	33.8	-3	25.5	10.4	19.7	-1	1	10	-10	-5	8	2.2	-10	16	-5
14243	118		2.3	0.1	0.95	0.44	0.11	0.04	1.55	-0.5	0.02	43	144	979	25.7	22	6	18.3	43.4	-3	18.6	7.9	22.1	-1	1.1	10	-10	-5	63	3.8	-10	17	-5
14244	137		2.4	0.06	0.96	0.4	0.11	0.03	1.33	-0.5	0.03	44	152	947	26.1	18	4	27.2	45.2	-3	15.1	7.2	16.2	-1	1	10	-10	-5	3	2.8	-10	17	-5
14245	100		1.9	0.12	1.15	0.88	0.1	0.16	1	0.8	0.08	48	143	1080	23	21	5	16.2	54.2	-3	19	9	16.1	-1	0.7	8	-10	-5	32	13.1	-10	13	-5
14246	112		2.3	0.09	1.15	0.48	0.1	0.04	1.13	-0.5	0.03	44	152	1090	26.2	15	8	33.8	52.3	-3	19.7	8.4	16.1	-1	0.9	10	-10	-5	9	7	-10	20	-5

Résultats d'analyses des échantillons de surfaces

# Éch.	Au ppb	AU G/T	Be ppm	Na %	Mg %	Al %	P %	K %	Ca %	Sc ppm	Ti %	V ppm	Cr ppm	Mn ppm	Fe %	Co ppm	Ni ppm	Cu ppm	Zn ppm	As ppm	Sr ppm	Y ppm	Zr ppm	Mo ppm	Ag ppm	Cd ppm	Sn ppm	Sb ppm	Ba ppm	La ppm	W ppm	Pb ppm	Bi ppm
14247	51		3.5	0.05	1.32	0.31	0.13	0.02	1.59	-0.5	0.01	41	151	1660	26.8	10	3	8.8	24.3	-3	35.4	10.5	17.4	-1	0.8	11	-10	-5	8	4.4	-10	21	6
14248	22		2.9	0.02	1.16	0.18	0.13	-0.01	0.79	-0.5	-0.01	46	137	2090	28.6	6	3	7.4	22.2	-3	25.5	8.6	15.6	-1	1.1	11	-10	-5	1	1.3	-10	21	-5
14249	25		2.5	0.04	1.23	0.3	0.13	0.04	0.77	-0.5	0.06	48	186	1740	27.8	11	4	10.3	40.3	-3	21.3	7.8	15	-1	1	11	-10	-5	18	3.3	-10	17	-5
14250	28		1.2	1.15	1.3	5.09	0.16	1.46	1.76	5.7	0.25	74	249	1100	12.6	17	32	13.5	76.9	-3	136	13.4	53.7	1	0.7	2	-10	-5	464	20.9	-10	5	-5
14251	>1000	6.89	0.6	0.06	0.48	0.29	0.08	0.03	1.7	1	0.01	9	92	449	21.5	37	47	697	43.8	52	11.9	5.8	6.6	9	-0.2	3	-10	26	28	14	-10	8	22
14252	368		1.3	0.03	1.76	0.12	0.13	0.01	1.82	0.9	-0.01	-2	109	1080	26.6	11	23	42.6	42.8	47	39.9	9.9	-0.5	8	-0.2	2	11	41	6	16.3	-10	6	35
14253	>1000	2.02	-0.5	2.11	2.7	6.78	0.05	0.46	5.51	54.5	0.99	353	68	1510	12	20	24	181	160	4480	139	26.6	83.5	7	0.7	63	-10	9	144	18.4	-10	-2	29
14254	140		1	0.05	1.12	4.13	0.11	0.06	4.34	6.3	0.15	41	162	3550	15.7	11	32	105	25.9	289	29.7	7.8	33.7	7	0.6	3	-10	31	20	17.2	183	5	18
14255	44		0.7	0.01	1.5	0.31	0.12	0.01	1.04	1.1	0.01	-2	65	2100	31.9	9	24	34	24.3	49	14.5	8.8	-0.5	9	1	2	13	51	6	19.7	-10	10	23
14256	200		-0.5	0.21	1.45	6.32	0.18	0.24	1.24	27.8	0.09	26	176	2720	19.4	13	23	66.8	40.2	79	63.4	38.6	28.9	9	-0.2	-1	-10	34	126	177	-10	14	22
14257	48		-0.5	0.01	1.5	0.61	0.14	0.01	0.6	2.3	0.01	-2	64	2570	33.7	12	29	37.7	82.2	79	14.2	5.9	-0.5	7	-0.2	1	17	33	15	33.9	-10	15	36
14258	558		0.9	0.11	1.96	0.73	0.12	0.08	1.65	2	0.04	5	126	1290	30.2	19	51	80.5	62.1	5	26.1	8.1	3.9	21	-0.2	2	12	34	15	24.8	-10	15	33
14259	>1000	25.615	0.6	0.03	0.79	0.28	0.12	0.02	0.53	0.7	-0.01	5	104	617	26	24	37	99.4	16.5	3690	14.6	6	-0.5	7	3.5	52	-10	30	9	19.1	-10	11	34
14260	>1000	10.015	-0.5	0.03	1.37	6.84	0.28	0.03	1.77	18.4	0.05	27	137	2880	23.4	12	23	32	54.3	474	23.1	37.2	6.1	9	-0.2	7	-10	44	16	32.5	-10	4	23
14261	195		-0.5	0.01	1.54	5.15	0.05	0.16	1.5	10.1	0.17	38	135	6800	21.2	30	114	143	31	45	13.5	10.9	69.9	9	2	2	-10	37	89	28	-10	10	17
14262	>1000	5.79	1.1	0.04	2.02	0.26	0.11	0.04	1.69	1.3	-0.01	-2	185	1710	17.6	8	21	68.2	8.4	326	32.1	9.1	3.3	7	1.2	5	-10	26	228	13.1	-10	6	12
14263	570		0.9	0.03	1	0.2	0.04	0.01	0.79	0.5	0.01	-2	101	1220	25.7	10	24	54.2	16.8	27	13.3	4.7	-0.5	3	1.9	2	12	36	12	14.8	-10	13	38
14264	38		-0.5	0.55	1.27	2.57	0.04	0.11	3.7	10.2	0.24	101	137	3110	8.05	22	25	167	162	27	35.3	9.4	24.5	5	-0.2	1	-10	19	54	8.8	-10	7	13
14265	766		2.2	0.18	2.42	4.21	0.08	0.21	3.17	4.8	0.26	90	95	2730	26.9	14	41	32	74.4	1150	65.4	9.1	31.5	11	0.3	16	10	40	67	22.2	-10	14	39
14266	>1000	6.36	0.7	2.14	2.45	6.72	0.08	0.27	6.92	46.2	0.92	343	157	3160	11	46	86	459	117	9690	252	20.1	37.8	4	-0.2	135	-10	21	123	10.2	380	2	10
14267	>1000	7.785	-0.5	2.13	3.02	6.84	0.06	0.29	8.17	51.8	1.07	378	140	2780	12.5	66	117	484	113	6080	228	20.3	34.5	7	-0.2	85	-10	7	154	10.7	249	5	31
14268	52		-0.5	1.58	2.86	6.24	0.05	0.62	6.51	44.1	0.98	378	72	2240	12.3	51	35	277	241	198	182	22.1	71.2	6	0.6	4	-10	23	215	14.5	-10	-2	34
14269	>1000	3.29	-0.5	2.05	1.69	6.13	0.01	0.35	3.91	38.5	0.76	225	85	1010	10.9	49	48	864	91.5	4690	137	19.3	59.5	5	-0.2	66	-10	8	120	12.4	88	-2	25
14270	125		1.1	0.06	2.65	0.97	0.02	0.02	3.37	2.3	0.04	7	64	9020	30.7	12	28	19.1	18	128	23.2	10.5	6.5	5	0.6	3	-10	35	15	18.2	-10	10	26
14271	>1000	8.795	1.3	2.09	2.34	6.39	0.05	0.37	5.37	42.1	0.86	388	109	1050	11.6	51	24	588	127	4730	98.7	30.2	60.1	-1	0.5	-1	-10	-5	125	15.8	58	-2	-5
14272	857		0.9	0.1	1.17	1.98	0.14	0.03	1.06	5.1	0.07	42	183	1320	19.5	7	14	130	88.7	1290	11.1	18.1	29.6	-1	-0.2	-1	-10	-5	12	9.9	1040	7	-5
14273	>1000	32.95	0.9	0.11	0.94	1.58	0.23	0.05	1.16	4.2	0.05	43	234	1000	16.2	36	28	230	69	3730	12.3	13.1	11.9	-1	1.4	-1	-10	-5	16	13.8	-10	13	-5
14274	>1000	11.93	0.7	0.08	0.86	3.48	0.09	0.15	1.92	5.7	0.13	72	214	1560	13.7	11	14	243	44	1480	9.6	15	42.4	-1	0.4	-1	-10	-5	37	13.4	82	4	-5
14275	>1000	5.075	0.8	0.1	0.68	1.78	0.1	0.09	1.24	3.4	0.09	50	249	826	12	28	22	318	44.2	2110	10.9	9.7	11.2	2	0.5	-1	-10	-5	15	10.3	10	5	-5
14276	>1000	10.455	1	0.06	0.61	2.65	0.09	0.04	1.81	-0.5	0.02	23	287	2160	16.8	28	62	243	38.5	4020	8.4	5.6	11.8	-1	-0.2	-1	-10	-5	7	12.2	73	4	-5
14277	>1000	2.385	1.5	0.04	1.15	0.52	0.22	0.02	1.51	-0.5	0.01	28	179	973	21.5	17	36	237	38.5	2110	35.3	8.2	8.3	-1	0.3	-1	-10	-5	5	14.3	1180	5	-5
14278	3		1.7	-0.01	1.31	0.89	0.1	-0.01	0.9	-0.5	0.04	33	149	1480	21.9	5	6	107	30.6	-3	9.4	7.3	13.2	-1	-0.2	-1	-10	-5	4	16.5	-10	11	-5
14279	5		1.4	0.04	2.54	4.24	0.07	0.03	1.64	1.6	0.04	32	191	1070	21.2	21	30	372	121	-3	4.8	8.4	43.6	-1	0.3	-1	-10	-5	14	12.3	-10	-2	10
14280	20		1.8	0.04	1.6	0.8	0.19	-0.01	0.7	0.9	0.04	44	205	777	24.2	58	73	651	80.8	-3	11.1	10.7	25.5	1	0.5	-1	-10	-5	9	12.8	-10	8	7
14281	4		1.3	0.04	1.8	5.66	0.02	0.16	1.79	17	0.11	57	437	1860	24.8	10	34	96	43.1	47	3.8	13.9	88.8	-1	0.5	-1	-10	-5	92	19.8	-10	5	17
14282	>1000	1.32	1.3	0.04	1.4	1.94	0.11	-0.01	0.98	4.2	0.02	30	214	1950	20.1	33	13	182	74.4	3780	5.3	22.9	24.4	-1	0.3	1	-10	-5	3	14.9	-10	6	-5
14283	780		2.2	0.06	0.85	0.33	0.07	0.03	2.23	-0.5	0.01	35	96	1700	32.4	12	30	71.5	70.2	2640	51.9	6.3	16.2	-1	0.6	5	-10	-5	8	16.2	-10	16	17
14284	>1000	10.87	0.8	0.03	0.77	0.13	0.01	0.01	1.46	0.5	-0.01	-2	127	475	25.4	81	171	513	15.9	7670	32.5	6.3	2.7	1	-0.2	108	16	34	12	8.4	-10	14	50
14301	21		1.8	0.29	1.19	1.88	0.08	0.11	1.95	5.9	0.02	36	241	2080	21.5	13	6	19.8	35.1	-3	26.9	31.9	32	-1	1	6	-10	-5	315	12.4	-10	16	-5
14302	131		2.3	0.19	1.67	0.28	0.09	0.06	1.62	-0.5	-0.01	39	148	988	24.4	8	-1	16.4	22.2	-3	22.1	7.9	25.7	-1	1.1	8	-10	-5	286	10.9	-10	20	-5
14303	48		2.5	0.1	1.41	0.68	0.11	0.09	1.57	-0.5	0.02	43	167	1280	27.4	2	-1	11.6	42.1	-3	14.9	13.6	26.4	-1	1	11	-10	-5	107	7.1	-10	18	-5
14304	10		1.5	1.36	1.6	7.91	0.05	3.88	2.17	13	0.32	109	206	750	6.45	20	44	22.5	70.6	-3	169	9.4	112	2	0.5	-1	-10	-5	438	23	-10	-2	-5
14305	78		2.4	0.1	1.53	1.95	0.06	0.16	2.03	1.2	0.08	58	141	2910	24.5	8	17	23	39.6	-3	53.2	7.6	33.7	-1	0.9	8	-10	-5	134	5.5	241	15	-5
14306	101		2.2	0.18	2.03	1.1	0.05	0.1	2.54	-0.5	0.04	44	135	4860	22.8	7	16	14	28	22	37.1	7.7	34.9	-1	0.9	8	-10	-5	236	9.8	-10	15	-5
14307	16		2.4	0.04	0.94	0.23	0.06	0.01	2.15	-0.5	-0.01	42	115	969	27.1	5	-1	8.2	18.9	-3	22.1	5.4	15.9	-1	0.9	11	-10	-5	12	-0.5	-10	23	-5
14308	175		2.1	0.05	1.13	0.97	0.06	0.02	1.39	-0.5	0.01	37	145	840	25	3	-1	6.8	22.2	-3	9.6	3.8	23	-1	0.8	9	-10	-5	7	3.6	-10	17	9
14309	16		2.4	0.05	1.08	0.63	0.06	0.02	2.04	-0.5	0.01	41	133	1480	25.7	2	-1	8.9	21.6	-3	10.7	5.4	19.3	-1	1.1	10	-10	-5	2	-0.5	-10	16	11
14310	64		2.4	0.04	1.25	0.25	0.07	0.02	1.53	-0.5	0.01	40	128	1090	26.6	5	-1	12.6	29.1	-3	12.2	5	15.6	-1	1.1	10	-10	-5	7	0.8	-10	18	-5
14311	250		2.3	0.05	0.9	0.28	0.07	0.02	2.11	-0.5	-0.01	39	120	1310	25.1	6	-1	23.6	21.3	-3	18.9	5.3	16.8	-1	1.2	8	-10	-5	5	-0.5	-10	23	-5
14312	94		2.7	0.06	1.22	0.34	0.12	0.03	2.02	-0.5	-0.01	41	133	1080	27.9	6	-1	18	23.6	-3	18.9	8.5	16.7	-1	1	12	-10	-5	4	3.1	-10	24	6
14313	28		2.9	0.04	1.52	0.7	0.1	0.33	1.45	-0.5	0.08	52	141	1270	28.4	5	-1	8.1	37.4	-3	22.1	6.9	18.6	-1	1	13	-10	-5	60	4.4	-10	21	-5
14314	18		3.2	0.03	1.4	0.12	0.12	-0.01	1.32	-0.5	-0.01	46	152	1150	30	3	-1	8.4	20.2	-3	25.6	7.1	17.3	-1	1.1	14	-10	-5	1	-0.5	-10	19	8
14315	513		2.3	1.86	1.55	6.84	0.08	2.44	1.8	5.5	0.41	65	112	768	12	13	8	29.7	72.2	54	239	5.5	20.9	-1	0.8	1	-10	-5	456	10.7	-10	9	-5
14316	250		2.8	0.04	1.26	0.24	0.14	0.02	1.12	-0.5	0.01	45	131	1570	28	8	-1	17.1	41	-3	16.7	8.5	15.4	-1	1.2	11	-10	-5	4	7	-10	21	-5
14317	288		2.3	0.14	1.42	1.17	0.11	0.52	1.09	-0.5	0.15	55	113	1320	24.4	12	-1	35.5	72.5	-3	19.7	8.3	16.5	-1	1.2	10	-10	-5	105	9.7	-10	18	-5
14318	210		2.9	0.19	1.88	2.08	0.1	1	1.45	3.9	0.28	82	135	1870	28.6	9	3	13.9	109	-3	22.9	14.2	22.7	-1	1.1	27	-10	-5	195	31.6	-10	22	-5
14319	114		2.7	0.08	1.27	0.55	0.1	0.11	1.48	-0.5	0.04	48	145	1430	29	4	2	18.5	48.7	-3	14.6	8.3	19.6	-1	1.1	27	-10	-5	21	4.8	-10	20	-5
14320	133		2.7	0.05	1.22	0.34	0.13	0.03	1.11	-0.5	0.05	51	142	1620	29.2	5	1	15	49.2	-3	15.3	9	18.8	-1	0.6	27	-10	-5	4	4	-10	21	7

Résultats d'analyses des échantillons de surfaces

# Éch.	Au ppb	AU G/T	Be ppm	Na %	Mg %	Al %	P %	K %	Ca %	Sc ppm	Ti %	V ppm	Cr ppm	Mn ppm	Fe %	Co ppm	Ni ppm	Cu ppm	Zn ppm	As ppm	Sr ppm	Y ppm	Zr ppm	Mo ppm	Ag ppm	Cd ppm	Sn ppm	Sb ppm	Ba ppm	La ppm	W ppm	Pb ppm	Bi ppm
14321	85		2.5	0.05	1.31	0.42	0.12	0.08	1.17	-0.5	0.09	55	146	1610	29.6	6	2	13.1	75.1	-3	13.5	8.3	18.6	-1	1	28	-10	-5	15	31.7	-10	23	-5
14322	986		2.8	0.1	1.37	0.6	0.1	0.06	1.78	-0.5	0.03	46	152	1590	26.2	6	4	22.5	68.7	-3	17	10.3	18.8	-1	1.2	23	-10	-5	14	6	-10	16	6
14323	562		4.5	1.01	4.12	6.23	0.08	1.74	7.48	69.9	1.59	820	63	2350	16	69	39	57.1	197	-3	138	49.8	58.3	-1	0.6	13	-10	-5	614	13.1	-10	-2	-5
14324	9		0.9	2.7	1.46	7.71	0.02	1.78	1.93	12.5	0.34	107	140	447	4.48	17	54	30.8	85.6	-3	331	9	74.2	1	-0.2	-1	-10	-5	502	32.7	-10	3	-5
14325	7		1.9	0.12	1.39	1.26	0.08	0.11	1.48	1	0.04	33	165	1680	25.9	3	7	11.8	28.6	-3	29.6	13.2	14.2	-1	-0.2	1	-10	-5	34	14.8	-10	10	9
14326	28		2	0.06	1.37	0.27	0.11	0.03	1.07	-0.5	0.02	29	135	1490	29.1	-1	-1	10.6	25.1	-3	19.5	7.4	10.4	-1	-0.2	2	-10	-5	6	18	-10	9	11
14327	>1000	1.285	2.3	0.09	1.29	0.57	0.11	0.07	1.16	-0.5	0.04	35	140	1280	27.7	12	5	81.8	69.4	-3	27	8.5	11.2	-1	0.3	1	-10	-5	17	22.2	-10	8	11
14328	35		1.1	1.82	2.34	6.52	0.11	1.44	4.46	38.9	0.98	465	91	1290	10.6	38	23	40.5	125	-3	152	25.8	83	-1	-0.2	-1	-10	-5	363	14.5	-10	-2	-5
14329	26		2.1	2.07	1.48	7.18	0.02	1.14	1.6	12.2	0.36	126	221	464	4.27	21	66	54.3	96.1	-3	246	10	109	1	-0.2	-1	-10	-5	286	17.6	-10	-2	-5
14330	12		1.8	1.87	1.72	7.48	0.03	1.47	1.68	14.8	0.41	142	335	577	5.74	25	82	55.6	93.4	-3	232	10.7	88.4	2	-0.2	-1	-10	-5	444	27.6	-10	-2	7
14331	14		1	1.68	1.27	6.13	0.02	1.28	1.31	12.7	0.33	101	244	352	4	23	65	61.4	79.1	-3	235	9.2	96.5	-1	-0.2	-1	-10	-5	399	24.5	-10	-2	-5
14332	8		2.1	2.14	1.71	7.93	0.01	1.81	1.96	15.8	0.42	151	290	742	4.99	26	88	63.6	93	-3	265	15.9	124	2	-0.2	-1	-10	-5	383	22.2	-10	-2	-5
14333	7		0.7	2.38	0.41	6.71	-0.01	0.48	2.12	13.6	0.04	37	166	1040	2.7	8	46	26.5	17.4	-3	250	36.8	201	2	-0.2	-1	-10	-5	122	16.8	-10	-2	-5
14334	14		3	2.07	1.76	7.73	0.02	1.59	1.73	18.7	0.37	150	247	790	5.38	27	85	50.1	86.3	-3	236	16.8	103	2	-0.2	-1	-10	-5	458	26.1	-10	-2	-5
14335	12		1.1	2.41	1.69	8.01	0.03	2.06	1.52	15.7	0.39	134	223	479	5.34	22	75	39.5	87.9	-3	292	10.5	71.6	-1	-0.2	-1	-10	-5	498	30.6	-10	-2	-5
14336	>1000	7.8	0.9	1.55	1.35	5.82	0.77	1.56	3	7.4	0.33	83	164	450	8.88	10	20	34.5	60.7	83	231	18.2	66	2	0.3	-1	-10	-5	376	34.7	-10	3	-5
14337	>1000	52.665	1.1	0.5	1.04	2.29	0.14	0.36	1.56	3	0.1	43	259	268	13.5	20	17	80.5	45.1	364	55.8	10.2	15.2	4	0.2	-1	-10	6	94	15.5	-10	5	-5
14338	334		1.3	1.58	1.83	6.27	0.14	1.56	2.88	22.9	0.56	246	201	1250	10.1	15	20	10.9	97.4	69	179	26.4	72.2	-1	-0.2	-1	-10	-5	300	28.4	-10	-2	-5
14339	40		1	2.74	1.35	7.87	0.04	1.81	2.23	9.3	0.33	103	137	317	4.51	19	46	11.7	70.8	-3	377	4.5	86.5	-1	-0.2	-1	-10	-5	414	30.5	-10	-2	-5
14340	>1000	2.465	1	0.52	1.41	5.26	0.49	0.68	2.57	25.3	0.18	78	215	3020	16.2	12	18	33.2	61	-3	93.7	70.6	39.2	-1	0.5	-1	-10	-5	137	36.5	-10	-2	-5
14341	24		1.1	1.9	2.69	6.94	0.07	0.57	7.63	42.6	1.03	513	109	1940	11.3	43	28	57.5	140	-3	174	28.2	65.1	-1	-0.2	-1	-10	-5	103	15.8	-10	-2	-5
14342	56		2	0.1	1.03	1.05	0.11	0.05	1.91	-0.5	0.02	30	190	1430	27.1	10	3	15.4	38.4	-3	17.3	13.4	19.7	-1	0.4	-1	-10	-5	7	18.2	-10	9	16
14343	66		2	0.09	1.07	0.72	0.11	0.04	1.77	-0.5	0.03	33	156	1100	27.5	14	6	12	37.3	-3	17.9	9	20.8	-1	0.2	-1	-10	-5	5	17	-10	6	9
14344	73		2.3	0.07	0.9	0.4	0.1	0.03	1.75	-0.5	0.02	30	160	1310	29.1	10	5	11.3	26.2	-3	14	7.6	11.3	-1	-0.2	2	-10	-5	4	16.2	-10	8	15
14345	121		2	0.07	1.18	0.88	0.11	0.04	1.89	1.2	0.04	33	147	1600	28	19	9	16.2	59.1	-3	23.1	24.1	11.3	-1	-0.2	2	-10	-5	7	23.7	-10	6	13
14346	>1000	4.17	1.8	0.07	0.96	0.31	0.08	0.02	2.16	-0.5	-0.01	24	145	1020	26.1	14	7	36.8	27.8	69	26.6	5.5	11.2	-1	0.4	-1	-10	-5	4	14.2	-10	15	5
14347	36		1	2.56	1.93	8.98	0.02	2.55	2.24	13.8	0.62	148	294	721	6.83	25	70	32.6	112	-3	294	9.1	144	1	0.5	-1	-10	-5	486	30	-10	2	-5
14348	17		1.8	0.05	1.37	2.81	0.08	0.28	1.2	8.7	0.09	31	208	2890	23.3	6	8	11.2	44.7	-3	11.1	55.6	25.4	-1	-0.2	-1	-10	-5	54	23.6	-10	6	-5
14349	45		2.4	0.09	1.54	0.41	0.1	0.06	1.46	-0.5	0.03	32	124	1360	31.8	2	-1	7.9	43.3	-3	24.7	7	13.1	-1	0.3	3	-10	-5	12	17.9	-10	11	25
14350	6		2.2	0.07	1.13	0.54	0.09	0.07	2.61	-0.5	0.03	28	158	1550	28.5	2	-1	7.8	19.7	-3	20.3	9.8	13	-1	0.4	2	-10	-5	19	18.5	-10	10	17
14351	20		1.8	0.09	1.69	1.69	0.15	0.49	1.42	4.6	0.1	40	226	1820	28.6	3	10	10.9	49.8	-3	14.6	34.7	12.6	-1	-0.2	1	-10	-5	86	22.7	-10	8	12
14352	6		0.9	2.56	0.92	7.81	0.01	1.27	2.43	9.3	0.24	80	196	765	4.79	11	32	32.7	51.2	-3	313	13.4	124	2	-0.2	-1	-10	-5	302	26.2	-10	-2	-5
14353	68		1.9	0.15	1.71	1.96	0.06	0.12	2.7	1.4	0.07	38	214	3370	23.7	4	19	33	35.9	5	46.8	9.9	24.2	-1	-0.2	-1	-10	-5	54	15.3	-10	12	-5
14354	70		2.5	0.09	1.32	0.45	0.12	0.06	2.42	-0.5	0.03	34	161	1340	33.3	2	-1	17.4	33	-3	30.3	7.9	13.4	-1	0.6	4	-10	-5	26	19.9	-10	11	20
14355	372		1.8	0.34	1.6	1.97	0.25	0.85	1.6	1.5	0.21	49	179	1270	24.6	13	4	63.9	83	-3	51.9	12.1	11.8	-1	0.8	-1	-10	-5	198	17.3	-10	5	14
14356	401		1.9	0.36	1.35	1.9	0.13	0.41	1.98	3.2	0.13	66	194	1490	25.1	10	9	90.8	72.4	-3	42.3	17	23.6	-1	-0.2	-1	-10	-5	86	15	-10	11	8
14357	>1000	1.32	1.6	0.18	1.17	1.33	0.12	0.22	1.9	-0.5	0.05	36	209	1300	22.7	15	11	196	74.8	-3	18.4	13.8	26.3	-1	0.6	-1	-10	-5	38	15.5	-10	8	16
14358	133		1.4	0.12	1.21	1.34	0.12	0.2	1.46	0.8	0.06	42	196	1360	21.9	9	6	97.2	72.1	-3	11.7	10.3	16.2	-1	-0.2	-1	-10	-5	39	14.2	-10	7	-5
14359	140		1.2	1.49	2.96	6.37	0.06	1.42	5.23	42.7	1.05	500	153	1610	12	45	29	44.9	157	-3	124	29	88.5	-1	-0.2	-1	-10	-5	162	15.5	-10	-2	10
14360	17		1.1	2.25	1.9	8.46	0.04	2.9	2.32	14.4	0.44	151	179	413	7.95	23	86	17.9	125	-3	281	3.1	81.7	-1	-0.2	-1	-10	-5	593	26.3	-10	-2	-5
14361	40		1	1.17	1.1	7.29	0.33	1.13	2.67	24.3	0.15	39	178	3580	12.2	5	12	9.8	79.1	-3	131	117	18.9	-1	-0.2	-1	-10	-5	261	20.9	-10	-2	-5
14362	>1000	1.32	1.6	0.1	1.48	1.28	0.15	0.26	1.36	2.1	0.07	36	198	1500	23.7	15	12	75.8	226	-3	15.2	21.4	15.4	-1	0.5	-1	-10	-5	55	19.4	-10	10	9
14363	311		0.9	0.21	1.79	2.81	0.18	0.81	1.55	9.8	0.24	80	192	1870	18.2	21	14	73.9	300	-3	16.3	32.4	19.7	2	0.9	-1	-10	-5	190	45.5	-10	4	12
14364	80		1.6	1.93	2.49	7.15	0.09	1.42	4.98	36.2	1	441	119	1200	10.2	36	26	16.8	138	-3	136	24.1	56.8	-1	-0.2	-1	-10	-5	408	17.4	-10	-2	-5
14365	6		2	0.09	1.12	0.7	0.09	0.08	2.19	-0.5	0.02	31	163	1420	28.9	4	2	15.4	34.3	-3	17.4	11.9	14.1	-1	0.4	2	-10	-5	15	17.1	-10	9	12
14366	78		1.1	0.13	1.4	4.01	0.4	0.53	1.88	14.7	0.12	43	226	3080	20.6	8	12	14.8	69.9	-3	20.1	72.5	22.6	-1	-0.2	-1	-10	-5	112	25.8	-10	7	-5
14367	137		1.4	0.05	1.56	1.7	0.17	0.13	0.95	4.2	0.07	32	170	2180	26.2	6	4	29.1	106	-3	6.8	37.7	12.9	-1	0.6	-1	-10	-5	30	19.8	-10	12	8
14368	>1000	10.13	1.7	0.06	1.26	1.17	0.13	0.05	1.22	2.8	0.02	32	184	1580	26.5	12	11	79.7	73.1	65	14.8	28.9	12.1	-1	0.2	-1	-10	-5	10	16.1	-10	15	15
14369	23		1.8	2.65	1.1	7.9	0.09	1.66	2.53	8.2	0.31	89	121	593	6.81	6	23	8.3	66.4	-3	261	13.8	39.4	-1	-0.2	-1	-10	-5	435	21.2	-10	3	-5
14370	424		2.3	0.09	1.15	0.53	0.11	0.04	1.67	-0.5	0.02	36	152	1520	27.1	8	6	28.9	54.5	-3	17.5	10.1	11.6	-1	-0.2	2	-10	-5	25	16.1	-10	13	10
14371	85		1.4	1.44	2.89	6.42	0.06	0.76	9.52	45.3	1.01	517	74	2080	11.2	48	26	53.3	168	-3	178	29.3	60.5	-1	-0.2	-1	-10	-5	333	15.2	-10	-2	-5
14372	>1000	2.35	2	0.08	1.27	0.46	0.07	0.02	2.01	-0.5	0.03	33	127	1100	28.7	8	4	34.9	109	68	19.8	4.5	12.9	-1	0.9	3	-10	-5	5	15.7	-10	13	14
14373	190		1.8	0.07	1.28	0.38	0.08	0.02	2.1	-0.5	0.03	31	131	1240	27.4	2	-1	10.3	30.7	-3	12	6.3	12.1	-1	0.6	2	-10	-5	6	15.2	-10	8	10
14374	111		1.4	1.57	2.6	6.31	0.06	1.36	4.58	40.6	1.03	465	112	1280	11.9	41	20	32.3	156	8	123	24.4	84.5	-1	-0.2	-1	-10	-5	145	14.1	-10	-2	7
14375	146		1	0.08	1.14	1.74	0.15	0.22	1.23	5	0.04	33	220	1770	16.7	15	9	144	75	-3	7.6	25	15.5	1	-0.2	-1	-10	-5	36	13.4	-10	5	-5
14376	4		2.1	0.06	1.41	0.68	0.13	0.03	1.01	-0.5	0.02	34	143	1880	30.5	3	2	12.3	28.2	-3	12.8	9.2	17.8	-1	0.4	3	-10	-5	5	18	-10	12	19
14377	7		2.5	0.07	1.53	0.72	0.16	0.05	0.9	1.1	0.02	32	131	1780	31.3	4	-1	22.8	44.5	-3	4.5	11.5	15.6	-1	0.5	5	-10	-5	4	19.9	-10	13	13
14378	3		1.9	0.06	1.33	0.48	0.16	0.02	0.65	-0.5	0.04	32	145	1630	31.1	4	-1	8.8	47.5	-3	9.3	9	14.9	-1	-0.2	3	-10	-5	5	19.5	-10	9	20

Résultats d'analyses des échantillons de surfaces

# Éch.	Au ppb	AU G/T	Be ppm	Na %	Mg %	Al %	P %	K %	Ca %	Sc ppm	Ti %	V ppm	Cr ppm	Mn ppm	Fe %	Co ppm	Ni ppm	Cu ppm	Zn ppm	As ppm	Sr ppm	Y ppm	Zr ppm	Mo ppm	Ag ppm	Cd ppm	Sn ppm	Sb ppm	Ba ppm	La ppm	W ppm	Pb ppm	Bi ppm
14379	<1		2.7	0.08	1.38	0.53	0.13	0.03	1.1	-0.5	0.01	30	152	1580	29.3	4	2	7.2	27.2	-3	8.9	8.5	13.9	-1	-0.2	3	-10	-5	7	16.5	-10	9	9
14380	7		2.1	0.09	1.69	0.43	0.11	0.03	1.88	-0.5	0.01	29	111	1050	29	5	1	9.1	22	-3	28.1	6.8	12.6	-1	0.3	3	-10	-5	14	17	-10	16	13
14381	5		2.1	0.17	1.32	0.55	0.11	0.08	1.67	-0.5	0.02	29	122	1190	28.2	5	-1	7.1	25.4	-3	35.2	7.5	12	-1	0.4	2	-10	-5	24	16.7	-10	8	16
14382	2		2.2	0.06	1.14	0.21	0.1	0.01	2.14	-0.5	-0.01	27	126	991	28.7	5	-1	6.6	15.8	-3	22.1	6.4	10.6	-1	-0.2	3	-10	-5	8	15.7	-10	11	16
14383	4		2	0.07	1.04	0.27	0.11	0.01	2.62	-0.5	-0.01	27	124	1410	28.2	3	-1	7.1	18	-3	17.6	6.9	11.2	-1	0.4	3	-10	-5	9	17.2	-10	10	13
14384	7		2	0.07	1.09	0.42	0.06	0.03	2.44	-0.5	0.01	27	139	1130	27.5	4	-1	18.3	22.7	-3	17.5	4.6	11.7	-1	0.2	1	-10	-5	5	13.4	-10	10	-5
14385	17		2.1	0.04	1.23	0.24	0.06	-0.01	1.52	-0.5	-0.01	29	123	773	31	3	-1	9.8	22.4	-3	15.4	5.2	11.4	-1	-0.2	4	-10	-5	3	16.3	-10	12	27
14386	standard	15.84	-2000	-2000	-2000	-2000	-2000	-2000	-2000	-2000	-2000	-2000	-2000	-2000	-2000	-2000	-2000	-2000	-2000	-2000	-2000	-2000	-2000	-2000	-2000	-2000	-2000	-2000	-2000	-2000	-2000	-2000
14387	289		2	0.04	1.59	0.31	0.12	0.01	0.9	-0.5	-0.01	29	92	1220	30	6	4	52.1	38	171	19.2	5	11.5	-1	0.4	2	-10	-5	3	15.5	-10	12	23
14388	>1000	1.37	2.9	0.05	1.56	0.2	0.13	0.01	1.43	-0.5	-0.01	33	96	1650	34.1	2	-1	20.7	24.8	44	26.6	6.9	16.8	-1	0.5	4	-10	-5	6	17.1	-10	14	19
14389	370		1.8	0.25	1.44	2.97	0.1	0.11	1.41	9.4	0.02	35	146	2120	24.2	9	11	78.4	53.6	185	42.9	29.3	12.7	-1	-0.2	1	-10	-5	24	44.4	-10	13	6
14390	33		1	2.25	1.73	8.34	0.04	1.93	1.74	16.5	0.44	146	178	585	5.9	23	81	47.2	125	-3	255	11	89.1	2	-0.2	-1	-10	-5	578	26.3	-10	6	-5
14391	204		2.1	0.31	1.57	1.71	0.1	0.22	2.1	1.1	0.07	51	116	1340	26.3	18	19	101	91	1100	52.6	8.9	20.4	-1	0.8	11	-10	-5	72	17.3	-10	17	9
14392	66		1.8	0.79	3.56	6.09	0.06	0.64	6.05	51.7	1.26	591	92	1960	14.9	48	31	14.6	141	-3	180	35	58.8	-1	-0.2	3	-10	-5	76	14.6	-10	20	5
14393	408		1.9	0.05	1.6	0.94	0.12	0.02	1.36	-0.5	0.03	39	112	1400	29.2	7	6	49.6	69	140	20.6	9	14.3	-1	0.5	8	-10	-5	6	15.4	-10	12	13
14394	33		2.5	0.03	1.41	0.21	0.12	0.01	1.01	-0.5	0.01	37	62	2250	33.3	2	-1	25.5	49.1	-3	27.1	7.4	12.6	-1	0.4	11	-10	-5	1	17.8	-10	18	15
14395	595		1.8	0.1	1.57	1.33	0.1	0.08	1.98	5.6	0.17	105	120	1770	26.8	15	11	88	100	489	48.2	10.6	23.9	-1	0.9	7	-10	-5	43	16.6	-10	25	7
14396	587		1.8	0.04	1.13	0.39	0.11	0.01	1.49	-0.5	0.03	39	81	1310	29	3	1	35.6	58.6	76	34.9	7.6	10.8	-1	0.6	7	-10	-5	4	13.9	53	21	16
14397	469		2	0.03	1.35	0.23	0.1	0.01	1.25	-0.5	-0.01	31	88	1080	29.9	3	-1	13.8	26.8	-3	38.6	7.3	11.4	-1	0.5	7	-10	-5	4	16.3	-10	24	16
14398	213		2	0.02	1.33	0.28	0.09	0.01	1	-0.5	-0.01	30	90	1270	27.8	2	-1	26.5	37.1	73	29.6	6.3	9.7	-1	-0.2	-1	-10	-5	-1	13.2	-10	18	17
14399	>1000	1.595	1.8	0.02	1.12	1.1	0.08	0.03	1.38	-0.5	0.03	38	118	1100	22.2	25	11	71.8	46.9	5640	26.5	6.5	16.4	-1	-0.2	16	-10	-5	12	12.5	-10	25	-5

ANNEXE 4

Résultats d'analyses des échantillons de forages

Résultats d'analyses des échantillons de forage

# forage	SAMP ID.	AU PPB	AU G/T	Be ppm	Na %	Mg %	Al %	P %	K %	Ca %	Sc ppm	Ti %	V ppm	Cr ppm	Mn ppm	Fe %	Co ppm	Ni ppm	Cu ppm	Zn ppm	As ppm	Sr ppm	Y ppm	Zr ppm	Mo ppm	Ag ppm	Cd ppm	Sn ppm	Sb ppm	Ba ppm	La ppm	W ppm	Pb ppm	Bi ppm
11212-9901	14401	144		-0.5	1.77	3.1	6.34	0.05	0.41	5.04	41.4	0.85	467	140	1810	10.8	52	56	105	120	49	130	27.7	57.1	6	-0.2	-1	-10	18	75	10	-10	-2	43
11212-9901	14402	18		-0.5	1.97	3.5	6.41	0.05	0.32	4.09	41.1	0.83	473	138	1330	11.4	54	56	65.1	119	21	112	27.8	69.6	4	1	1	-10	13	96	8.6	-10	-2	13
11212-9901	14403	29		-0.5	1.54	2.58	6.01	0.05	0.35	5.66	37.9	0.76	392	135	1800	9.6	48	58	84.3	124	57	134	27.1	78.1	5	-0.2	-1	-10	15	116	10.6	-10	-2	-5
11212-9901	14404	28		-0.5	1.64	2.65	6.41	0.04	0.25	6.28	37.8	0.75	342	142	1710	9.82	50	63	87	125	105	162	26.1	73.9	7	-0.2	2	-10	11	94	9.7	-10	2	28
11212-9901	14405	9		-0.5	1.86	2.47	6.63	0.05	0.44	5.32	35.6	0.74	339	135	1420	8.83	44	59	36.6	99.1	23	180	24.1	69.1	6	-0.2	1	-10	24	146	9.5	-10	-2	20
11212-9901	14406	15		-0.5	1.64	2.52	5.95	0.04	0.36	5.27	36	0.77	355	133	1320	9.32	45	56	65.2	102	23	145	24	70.2	4	-0.2	1	-10	9	143	9.3	-10	-2	14
11212-9901	14407	9		-0.5	1.59	3.2	5.92	0.05	0.39	4.27	44.6	0.97	486	97	1570	11.4	53	32	49.1	105	76	110	26.5	72.5	6	-0.2	2	-10	10	117	9.6	-10	-2	31
11212-9901	14408	<1		-0.5	1.78	2.62	6.15	0.04	0.4	5.07	46	1.02	515	76	1860	11.7	55	34	51.1	132	33	108	27.7	61.4	7	-0.2	-1	-10	19	113	12.3	-10	5	25
11212-9901	14409	<1		-0.5	1.72	2.38	5.94	0.04	0.4	5.03	41.7	0.96	460	66	1670	11.1	50	31	55.3	128	28	121	25.7	69.5	6	-0.2	1	-10	10	92	7.6	-10	6	22
11212-9901	14410	32		-0.5	1.77	2.27	6	0.05	0.47	4.6	43.1	0.96	492	64	1460	10.7	53	34	57.9	136	64	147	25.7	68.5	4	-0.2	4	-10	27	70	9.5	-10	-2	16
11212-9901	14411	>1000	**3.12**	0.6	1.03	2.11	3.76	0.03	0.37	4.17	31.7	0.7	354	159	1170	7.95	43	28	101	97.2	4360	175	20.5	17.1	5	-0.2	61	-10	18	101	6.3	333	-2	9
11212-9901	14412	162		-0.5	1.63	2.33	6.21	0.05	0.71	5.42	44.6	0.94	500	74	1570	10.6	52	40	47.9	125	46	166	25.8	50	7	-0.2	-1	-10	20	199	8.4	-10	-2	13
11212-9901	14413	144		-0.5	1.86	2.6	6.73	0.04	0.54	5.09	50	1.1	534	78	1830	10.7	54	39	63	132	185	161	28.2	100	4	-0.2	3	-10	22	135	8.9	-10	-2	15
11212-9901	14414	12		-0.5	1.55	3.38	5.88	0.04	0.4	4.29	44.9	0.99	508	65	1310	11.4	53	32	52.2	105	28	117	27.1	64.6	7	-0.2	-1	-10	13	135	8.4	-10	5	15
11212-9901	14415	9		-0.5	1.65	2.61	6.07	0.05	0.36	4.94	45.1	0.94	492	70	1700	11.3	56	33	83.4	153	31	132	28.1	71.5	5	-0.2	-1	-10	8	81	10.9	-10	-2	24
11212-9901	14416	6		-0.5	1.57	2.35	5.8	0.04	0.33	5.07	42.9	0.95	477	70	1730	10.5	55	32	69.6	122	35	124	26.9	55.1	5	-0.2	-1	-10	19	105	9.1	-10	-2	17
11212-9901	14417	42		-0.5	1.36	2.46	5.04	0.05	0.32	4.48	45	0.95	506	69	1530	10.9	51	29	74.3	131	14	104	29.3	49.7	5	-0.2	-1	-10	11	101	10	-10	-2	29
11212-9901	14418	18		-0.5	1.61	2.46	5.62	0.05	0.33	4.57	41.3	0.92	459	66	1520	10.8	50	26	66.4	121	15	126	27.1	63	3	-0.2	1	-10	20	88	7.6	-10	-2	31
11212-9901	14419	4		-0.5	1.59	2.66	5.74	0.05	0.33	5.2	44.6	1.03	476	48	1630	11.2	49	26	41.9	207	29	140	29.8	50.4	4	-0.2	2	-10	8	97	11.5	-10	5	15
11212-9901	14420	38		1.5	0.14	1.4	0.7	0.09	0.03	1.98	3.9	0.06	23	92	1810	27.4	15	19	26.2	76.1	-3	13.7	12.3	3.5	8	-0.2	-1	14	30	11	10	-10	6	45
11212-9901	14421	49		1.3	0.23	3.36	2.03	0.09	0.81	1.93	8.1	0.11	39	86	1800	25.8	17	40	13.6	40.8	-3	28.7	15	13	9	0.8	2	12	36	346	11.6	-10	12	35
11212-9901	14422	35		1.3	0.04	1.14	0.23	0.1	0.01	1.8	1.4	0.01	-2	128	1470	32.4	13	21	12	9.5	-3	14.9	10.4	-0.5	11	-0.2	1	15	50	7	12.3	-10	9	52
11212-9901	14423	306		1.3	0.04	0.93	0.19	0.1	0.02	1.79	1.4	0.01	-2	123	1790	34.9	16	25	87.1	10.5	-3	17.6	10.7	-0.5	8	2	1	17	55	12	12.3	-10	13	48
11212-9901	14424	152		1.2	0.04	1.61	0.52	0.09	0.02	1.31	1.8	0.01	-2	113	2430	28.5	13	87	37	1530	-3	15.4	9.8	-0.5	-1	1	1	13	20	97	13.6	-10	-2	61
11212-9901	14425	48		1.2	0.06	1.06	0.28	0.1	-0.01	1.3	1.8	0.02	-2	110	1580	34.4	16	21	18	8	7	19.9	10.9	-0.5	10	-0.2	-1	15	38	6	13	-10	15	64
11212-9901	14426	162		1.1	0.03	1.09	0.2	0.09	0.01	1.01	1.2	-0.01	-2	116	1660	34.2	13	20	15.1	10.9	8	20.2	10	-0.5	16	-0.2	-1	14	38	5	14	-10	11	61
11212-9901	14427	>1000	**2.20**	1	0.05	1.05	0.33	0.09	0.04	1.18	0.8	0.01	-2	119	1480	28.2	9	19	31.6	15.3	20	19.1	9.9	-0.5	8	1.1	-1	11	26	10	12.4	-10	8	39
11212-9901	14428	42		1	0.06	1.29	0.32	0.12	0.02	0.85	0.9	-0.01	-2	108	2360	34.7	12	22	4.3	7.6	3	19.6	12.3	-0.5	5	0.8	1	18	38	15	14.1	-10	12	48
11212-9901	14429	111		1.4	0.02	1.27	0.17	0.13	-0.01	0.81	0.9	-0.01	-2	104	2000	35.5	13	21	5.8	5.7	-3	30.7	12.7	-0.5	14	-0.2	2	14	59	8	16	-10	11	46
11212-9901	14430	84		1.7	0.02	1.1	0.16	0.12	-0.01	0.8	1	-0.01	-2	114	1680	37	15	23	9.8	3.8	-3	28.5	12.1	-0.5	9	-0.2	2	15	46	6	16.4	-10	11	69
11212-9901	14431	27		1.4	0.04	1.42	0.2	0.11	0.01	1.09	1.2	-0.01	-2	103	1690	31	11	19	3.7	4.3	15	29.9	10.7	-0.5	17	-0.2	2	13	30	17	15.7	-10	13	44
11212-9901	14432	90		1.2	0.03	1.27	0.16	0.1	0.01	0.9	1.4	-0.01	-2	95	1560	32.1	14	20	9.8	6.5	-3	27	10.5	-0.5	14	2.1	1	16	43	15	15.4	-10	12	60
11212-9901	14433	3		1.2	0.03	1.46	0.19	0.13	0.01	0.96	1.5	-0.01	-2	120	2040	35.3	15	40	7.1	6.4	-3	31.1	12.9	-0.5	9	-0.2	1	13	44	15	14.1	-10	23	57
11212-9901	14434	4		0.9	0.02	1.32	0.17	0.14	0.01	0.79	1.3	-0.01	-2	125	1820	33.7	14	21	3.7	17.7	21	30.4	13.7	-0.5	9	1.1	2	18	41	6	16.3	-10	6	51
11212-9901	14435	2		1.1	0.03	1.31	0.16	0.13	0.01	0.85	1.1	-0.01	-2	105	1860	34	13	21	3.3	5.5	13	28.2	12.8	-0.5	-1	0.9	2	12	44	7	13.9	-10	13	54
11212-9901	14436	<1		1.2	0.03	1.42	0.16	0.12	0.02	0.94	1.4	-0.01	-2	117	1710	32.8	12	21	1.4	6.9	24	25.3	11.4	-0.5	10	-0.2	3	15	51	8	12.8	-10	11	32
11212-9901	14437	4		0.9	0.02	1.34	0.16	0.1	0.02	0.77	1.2	-0.01	-2	105	1460	33.7	13	25	9	11.3	-3	21.3	10	-0.5	-1	0.2	2	16	30	7	23	-10	10	56
11212-9901	14438	2		1.2	0.02	1.52	0.16	0.12	0.02	0.94	1	0.01	-2	125	1620	35.1	13	22	6.4	7	30	27.5	11.5	-0.5	2	-0.2	-1	15	45	6	16.5	-10	16	44
11212-9901	14439	4		1.4	0.03	1.17	0.16	0.09	0.01	1.08	1.3	-0.01	-2	106	1190	33.6	12	20	3.8	2.8	30	27.2	11.4	-0.5	10	-0.2	3	14	52	10	16	-10	13	44
11212-9901	14440	6		1.2	0.03	1.31	0.17	0.09	0.02	1.11	0.8	-0.01	-2	132	1540	32.1	12	20	4.8	3.4	134	28.1	10.8	-0.5	10	1.3	4	12	41	64	13	-10	15	52
11212-9901	14441	12		1	0.03	1.32	0.17	0.09	0.02	1.03	-0.5	-0.01	-2	131	1420	32	11	20	4	5	54	23.8	8.6	-0.5	17	-0.2	1	12	52	22	12.5	-10	13	48
11212-9901	14442	44		1.1	0.03	1.44	0.13	0.08	-0.01	1.33	0.9	-0.01	-2	116	1210	35.6	14	21	5.5	6.5	32	38.2	8.6	-0.5	2	0.5	2	17	49	6	14.8	-10	21	54
11212-9901	14443	>1000	**1.72**	1.5	0.04	1.42	0.1	0.09	-0.01	2.34	-0.5	-0.01	-2	104	982	29.9	11	23	23.7	27.9	613	69.7	8.2	-0.5	-1	1.1	11	13	35	4	11.4	-10	14	44
11212-9901	14444	480		-0.5	0.05	1.43	0.41	0.11	0.02	1.48	1.6	0.01	-2	93	894	32.9	10	19	23.9	42.4	57	12.2	8.1	-0.5	6	-0.2	-1	14	50	7	10.8	-10	13	42
11212-9901	14445	116		-0.5	0.03	1.39	0.3	0.11	-0.01	0.93	0.9	-0.01	-2	111	762	32.2	12	18	7.1	31.2	13	9.4	8.3	-0.5	10	0.5	-1	17	33	5	12.1	-10	16	50
11212-9901	14446	771		0.6	0.03	1.1	0.32	0.08	-0.01	0.9	1	-0.01	-2	111	934	35.5	13	20	14.1	30.1	-3	17.6	7	-0.5	9	0.6	3	16	32	5	13.2	130	8	42
11212-9901	14447	>1000	**2.16**	0.9	0.03	1.28	0.17	0.07	-0.01	1.49	0.7	-0.01	-2	115	680	28.7	14	23	33.6	39.4	261	37.5	9.2	-0.5	16	0.9	4	11	66	5	11.5	-10	19	61
11212-9901	14448	>1000	**3.07**	0.9	0.19	1.56	1.36	0.08	0.36	2.25	3.1	0.09	22	132	763	20	9	22	29.5	33.2	724	59.6	8	1.4	10	1.7	12	-10	25	79	9.1	-10	12	49
11212-9901	14449	47		0.7	2.52	1.41	8.1	0.06	1.8	2.34	12	0.33	93	97	382	4.58	17	41	18.6	70.7	72	332	7.1	68.8	7	-0.2	1	-10	15	507	23	-10	8	31
11212-9901	14450	21		0.8	1.76	1.47	7.29	0.05	1.43	2.25	12.3	0.3	94	151	611	4.63	19	60	28.1	68.9	39	209	8.6	81.7	6	0.4	-1	-10	-5	366	21	-10	11	25
11212-9901	13501	5		0.9	1.65	1.73	7.85	0.03	2.19	1.25	21.8	0.44	137	186	519	4.77	34	94	72	105	9	233	14	109	7	0.9	-1	-10	11	661	29.7	-10	3	14
11212-9901	13502	1		1.1	1.89	1.6	8	0.03	1.7	1.71	15.9	0.42	128	184	520	4.52	27	81	54.4	93.5	15	293	10.4	76.2	8	-0.2	-1	-10	19	526	26.7	-10	-2	26
11212-9901	13503	2		0.9	1.73	1.63	7.85	0.03	1.69	1.48	18.9	0.41	134	187	589	4.82	28	80	59.1	99.1	-3	260	13	93.5	5	0.7	-1	-10	11	512	29.1	-10	8	29
11212-9902	13504	17		-0.5	1.7	2.24	5.9	0.05	0.41	4.46	41.7	0.78	359	93	1320	9.93	49	31	120	124	12	127	28.5	81.6	5	-0.2	-1	-10	15	159	12.5	-10	3	23
11212-9902	13505	8		-0.5	1.91	2.57	6.33	0.05	0.42	4.62	45.9	0.85	397	99	1330	10.2	52	33	73.1	141	38	138	31.3	102	4	-0.2	1	-10	25	165	12.3	-10	-2	24
11212-9902	13506	3		-0.5	1.83	2.13	6.82	0.05	0.59	5.5	40.4	0.79	349	128	1360	9.63	44	29	46.4	125	30	159	27.2	118	6	-0.2	-1	-10	12	223	13.8	-10	9	31
11212-9902	13507	15		-0.5	1.75	2.8	6.45	0.06	0.55	4.72	47.6	0.87	410	84	1440	10.8	52	34	74.6	139	30	100	32.6	106	7	-0.2	2	-10	14	382	17.7	-10	-2	30
11212-9902	13508	83		-0.5	1.8	3.1	6.54	0.06	0.39	4.77	43.7	0.9	504	169	1480	10.4	55	53	91.1	122	26	135	28.8	76.2	4	-0.2	-1	-10	32	90	10.7	-10	-2	25
11212-9902	13509	19		-0.5	1.93	3.08	6.63	0.05	0.32	4.87	43.9	0.91	499	91	1570	10.1	54	56	79.2	141	23	139	29.4	80.9	6	-0.2	-1	-10	26	95	10.3	-10	-2	39
11212-9902	13510	7		-0.5	1.83	2.85	6.95	0.06	0.47	6.03	41.5	0.87	393	185	1690	9.41	54	72	103	119	44	152	29.3	94.3	6	-0.2	-1	-10	21	186	11.2	-10	-2	27
11212-9902	13511	37		-0.5	1.9	2.78	7.36	0.05	0.42	6.6	44.4	0.94	421	186	1760	9.57	56	71	91	129	15	188	30.2	94.3	6	-0.2	1	-10	11	220	11.5	-10	-2	21
11212-9902	13512	21		-0.5	1.61	3.18	5.96	0.05	0.41	4.72	41.5	0.89	446	122	2010	9.96	53	46	72.6	123	12	123	26.3	79.2	5	-0.2	-1	-10	13	206	10	-10	-2	21

Résultats d'analyses des échantillons de forage

# forage	SAMP ID.	AU PPB	AU G/T	Be ppm	Na %	Mg %	Al %	P %	K %	Ca %	Sc ppm	Ti %	V ppm	Cr ppm	Mn ppm	Fe %	Co ppm	Ni ppm	Cu ppm	Zn ppm	As ppm	Sr ppm	Y ppm	Zr ppm	Mo ppm	Ag ppm	Cd ppm	Sn ppm	Sb ppm	Ba ppm	La ppm	W ppm	Pb ppm	Bi ppm
11212-9902	13513	9		-0.5	1.67	2.73	6.62	0.05	0.46	5.82	47.1	1.01	538	94	1690	10.1	56	40	61.3	127	19	218	28.1	86.5	5	-0.2	-1	-10	17	124	7.1	-10	3	16
11212-9902	13514	53		-0.5	1.69	2.95	6.2	0.05	0.46	4.88	45.8	1.04	513	66	1650	10.3	53	35	47.7	126	13	146	29.1	87.1	6	-0.2	-1	-10	11	113	10.4	-10	-2	-5
11212-9902	13515	628		-0.5	1.76	2.68	6.96	0.05	0.57	5.9	45.9	0.97	498	80	2120	10.4	57	45	109	120	161	209	27.6	69.2	5	-0.2	-1	-10	21	162	11.4	-10	-2	27
11212-9902	13516	49		-0.5	1.78	2.67	6.76	0.06	0.53	5.93	40.7	0.82	389	170	1810	8.48	50	68	70.2	119	30	153	27.2	99.4	5	-0.2	2	-10	14	204	8.9	-10	-2	24
11212-9902	13517	6		-0.5	1.95	2.48	7.05	0.05	0.44	5.53	41.4	0.88	405	189	1650	8.99	55	71	52.1	131	28	152	28.2	92.5	5	-0.2	-1	-10	24	164	10.9	-10	-2	21
11212-9902	13518	47		-0.5	1.97	2.78	7.34	0.06	0.42	5.74	45	0.94	439	112	1570	9.69	58	69	100	131	10	160	30.1	94.2	5	-0.2	-1	-10	13	157	13.9	-10	-2	34
11212-9902	13519	8		-0.5	1.47	2.55	6.07	0.05	0.42	5.1	43	0.97	483	61	1580	9.42	52	32	47.4	115	12	143	27.8	68.1	6	-0.2	-1	-10	11	139	9.6	-10	-2	16
11212-9902	13520	15		-0.5	1.58	3.44	6.2	0.05	0.37	4.56	48.5	1.1	541	106	1510	10.6	55	34	85.8	114	-3	116	30.6	71.7	6	-0.2	-1	-10	11	84	9.5	-10	3	32
11212-9902	13521	85		-0.5	1.54	3.47	6.68	0.05	0.36	6.05	47.7	1.04	543	182	1580	11.4	58	46	64.3	191	14	129	30.4	71	8	-0.2	-1	-10	24	90	8.8	-10	8	22
11212-9902	13522	69		-0.5	1.22	2.7	5.73	0.07	0.4	6.73	41.1	0.93	478	86	2580	10.7	52	35	88.1	223	5	87.3	27.5	62	5	-0.2	-1	-10	-5	139	10.2	-10	11	11
11212-9902	13523	10		-0.5	1.65	2.62	6.06	0.05	0.38	4.88	45.3	0.98	510	83	1950	10.4	52	35	74.6	146	38	115	27.9	67.3	6	-0.2	1	-10	14	105	11.6	-10	4	23
11212-9902	13524	9		-0.5	1.76	2.99	6.3	0.05	0.39	5.1	46.2	1.05	531	70	1440	10.6	52	34	61.1	133	11	133	29.6	63.3	4	-0.2	-1	-10	8	103	10.4	-10	4	17
11212-9902	13525	133		-0.5	1.63	2.78	5.97	0.05	0.42	5.23	46.7	1.05	527	68	1800	10.6	55	35	82.1	137	8	118	30.6	71	6	-0.2	-1	-10	15	83	11.3	-10	-2	35
11212-9902	13526	15		-0.5	1.72	2.92	6.58	0.06	0.57	6.03	51.2	1.18	572	48	2090	11	61	33	55.5	162	32	124	31.1	69.6	5	-0.2	1	-10	25	204	11.1	-10	-2	32
11212-9902	13527	289		1.2	0.24	1.67	1.3	0.08	0.21	2.67	11.5	0.27	119	141	1950	18.5	17	22	24.7	59.5	5	28.6	14.4	11.2	6	-0.2	3	-10	52	84	10.7	-10	9	46
11212-9902	13528	43		1.2	0.09	1.47	0.52	0.12	0.02	1.76	2.7	0.05	14	132	1540	29.3	16	25	13	23.1	-3	20.8	12.7	2.6	9	-0.2	2	13	49	12	15.4	-10	16	50
11212-9902	13529	34		1.3	0.04	1.07	0.21	0.1	-0.01	1.81	1.4	0.01	-2	138	1720	28.6	12	22	12.1	13.3	-3	18.4	11.2	-0.5	16	1	5	11	55	5	14.6	-10	22	37
11212-9902	13530	117		1.4	0.03	1.35	0.22	0.1	0.01	1.19	0.9	-0.01	-2	135	1590	29.3	15	23	19.6	9.8	-3	23.5	11.2	-0.5	3	0.2	1	15	50	6	14.9	-10	20	58
11212-9902	13531	19		1	0.03	1.43	0.19	0.1	-0.01	0.95	0.9	-0.01	-2	118	1690	33.7	13	26	7.4	7	-3	23.4	11	-0.5	10	-0.2	-1	19	39	8	16.5	-10	22	62
11212-9902	13532	90		1.2	0.04	1.54	0.18	0.11	-0.01	1.57	1.1	0.01	-2	124	1960	30.4	11	24	11.4	19.3	-3	24.8	10.8	0.9	8	0.7	-1	13	47	5	14.9	-10	14	51
11212-9902	13533	36		1.3	0.04	1.27	0.13	0.11	-0.01	1.77	0.6	-0.01	-2	114	1830	33.3	15	24	3.8	10.4	6	24.3	11.5	-0.5	9	-0.2	2	15	46	5	11.8	-10	18	55
11212-9902	13534	37		1	0.03	1.26	0.18	0.12	-0.01	1.53	1	0.02	-2	123	1530	32.1	15	24	7.1	15.4	7	22.7	10.3	-0.5	4	-0.2	1	18	60	6	15.8	-10	13	46
11212-9902	13535	926		0.7	0.02	1.05	0.12	0.09	-0.01	0.7	1.2	-0.01	-2	137	1840	29	13	22	33.5	18.9	-3	18.3	9.7	-0.5	-1	-0.2	-1	16	49	6	13	-10	18	47
11212-9902	13536	60		1.5	0.04	1.46	0.19	0.12	0.01	1.02	1.3	-0.01	-2	105	1880	31.8	12	23	12.3	7	7	32.3	12.3	-0.5	8	-0.2	-1	15	53	38	16.5	-10	17	63
11212-9902	13537	47		1.7	0.05	1.52	0.21	0.11	0.01	1.78	0.7	-0.01	-2	95	2150	31.4	14	23	8.3	6.5	-3	35.5	11.8	-0.5	9	1.4	-1	16	62	29	15	-10	17	54
11212-9902	13538	23		1.4	0.04	1.5	0.17	0.11	-0.01	1.13	1.1	-0.01	-2	131	1760	33.2	14	24	7.4	5.2	-3	28	12.6	-0.5	12	1.4	2	15	46	9	18.4	-10	24	45
11212-9902	13539	28		1.3	0.03	1.35	0.09	0.08	-0.01	1.2	-0.5	-0.01	-2	108	1120	32	11	22	6.2	5.2	5	26.1	8.7	-0.5	7	0.4	-1	14	38	4	13.5	-10	14	46
11212-9902	13540	>1000	**1.03**	0.9	0.03	1.49	0.18	0.17	-0.01	1.45	0.7	0.01	-2	83	1160	34.9	13	25	16	43.9	-3	25.2	8.9	-0.5	10	-0.2	-1	18	43	5	13.8	-10	18	60
11212-9902	13541	43		-0.5	0.04	3.32	1.18	1.12	0.41	2.45	15.9	0.53	69	46	1450	32.9	33	42	7.8	181	-3	36.3	15.6	1.5	4	-0.2	-1	20	31	94	32.5	-10	15	53
11212-9902	13542	14		0.9	1.68	1.72	7.61	0.03	1.48	1.37	19.2	0.43	139	199	562	5.21	33	96	62	108	-3	211	12	81.4	5	-0.2	-1	-10	7	598	27.7	-10	4	15
11212-9902	13543	26		0.5	2.13	2.03	8.76	0.05	1.46	2.1	22	0.45	169	296	876	7.02	33	98	38.2	107	-3	259	11.6	78.5	6	1.5	-1	-10	15	534	25.4	-10	4	10
11212-9902	13544	65		-0.5	0.79	4.62	8.71	0.78	5.93	2.03	18.4	1.48	342	325	400	14.3	57	184	48.3	238	19	118	14.9	84.7	8	-0.2	-1	-10	13	1610	57.8	-10	-2	-5
11212-9903	13545	268		1.4	0.05	0.64	3.47	0.04	0.06	1.65	-0.5	0.01	22	172	1030	12.9	4	8	76.9	17.3	-3	18	4.2	19	-1	1.2	4	-10	-5	18	12.8	-10	11	-5
11212-9903	13546	18		1.6	2.13	1.83	8.08	0.02	2.52	1.94	15.5	0.46	162	139	489	5.94	28	85	36.1	91.8	-3	421	7.3	76.1	-1	0.7	1	-10	-5	583	25	-10	9	8
11212-9903	13547	7		1.3	2.55	1.77	8.49	0.03	1.89	1.6	17.7	0.43	151	171	567	5.44	30	85	56.2	104	-3	269	12	97.4	2	0.4	1	-10	-5	448	27.4	-10	5	-5
11212-9903	13548	9		2.9	0.06	1.38	0.36	0.1	0.05	1.68	-0.5	0.02	44	112	1310	30.3	3	6	10	23.6	-3	74.4	7	19.1	-1	0.9	18	-10	-5	13	5.8	-10	24	24
11212-9903	13549	64		5	0.05	1.55	0.5	0.13	0.03	1.2	-0.5	0.01	44	101	1750	31.6	4	2	14.2	26.9	-3	53.8	8.4	19.5	-1	1.1	19	-10	-5	10	7.4	-10	23	25
11212-9903	13550	7		4.2	0.02	1.33	0.38	0.13	0.02	0.87	-0.5	-0.01	48	69	3020	33.3	-1	3	13.2	27.9	-3	37.2	9.2	21.5	-1	1.1	20	-10	-5	10	6.3	-10	22	23
11212-9903	13601	99		4.2	0.02	1.38	0.36	0.15	0.02	1.16	-0.5	0.02	47	73	2800	32	4	5	27.1	30	25	48.3	11.4	20.6	-1	1.4	19	-10	-5	7	7.3	-10	21	17
11212-9903	13602	32		1.1	2.29	2.27	9.42	0.07	2.48	2.23	22.5	0.56	203	179	755	8.46	32	96	36	109	-3	347	15.2	86.9	-1	0.5	2	-10	-5	592	27.1	-10	9	6
11212-9903	13603	172		4.6	0.02	1.48	0.32	0.12	0.01	1.06	-0.5	0.01	46	80	1880	31.6	6	4	36.1	32.8	117	51.6	8.2	19.4	-1	0.8	20	-10	-5	3	6.5	-10	22	22
11212-9903	13604	47		3.1	0.03	1.37	0.98	0.15	0.06	1.03	-0.5	0.02	42	122	1590	27.5	5	3	37.8	30.1	-3	36	11.5	19.2	-1	0.9	15	-10	-5	11	7	-10	21	17
11212-9903	13605	122		3.2	0.01	1.49	0.19	0.12	-0.01	1.1	-0.5	0.01	43	90	1680	31	2	1	21.9	26.4	-3	80	10	17.9	-1	1	19	-10	-5	39	7.2	-10	24	20
11212-9903	13606	30		2.7	0.01	1.54	0.16	0.1	-0.01	1.27	-0.5	0.01	42	92	1180	31.1	1	-1	13.5	22	-3	71.9	6.1	17.9	-1	0.8	19	-10	-5	8	4.6	-10	24	25
11212-9903	13607	5		3	0.01	1.41	0.15	0.11	-0.01	1.39	-0.5	0.01	49	122	1530	30.9	4	5	7.2	24.6	-3	93	7.5	17.3	-1	0.9	18	-10	-5	34	4.8	-10	22	24
11212-9903	13608	23		1.1	0.07	1.29	3.05	0.13	0.09	0.91	6.1	0.04	48	172	1000	17.1	6	13	29.9	46.9	-3	16.6	16.4	21.8	-1	-0.2	6	-10	-5	30	-0.5	-10	30	14
11212-9903	13609	14		1	1.87	1.84	8.05	0.04	2.01	1.53	16.4	0.49	177	165	518	6.39	31	97	53.4	108	-3	244	10.5	91.5	-1	0.6	1	-10	-5	540	24.9	-10	8	6
11212-9903	13610	7		1.1	1.65	1.83	7.94	0.04	1.83	1.36	21.7	0.4	156	202	876	7.71	30	85	46	95.6	-3	205	19	84.2	2	0.6	1	-10	-5	495	21	-10	8	7
11212-9903	13611	29		2.9	0.02	1.48	0.56	0.11	0.08	1.4	-0.5	0.04	61	104	1510	29.4	2	6	14.8	31.2	-3	64.5	9.2	21.7	-1	0.6	16	-10	-5	36	-0.5	-10	27	17
11212-9903	13612	185		2.7	0.02	1.36	0.27	0.11	0.03	1.35	-0.5	-0.01	53	100	1530	30.2	3	3	49.1	28.5	-3	70.6	7.9	18.7	-1	1	16	-10	-5	13	-0.5	-10	27	12
11212-9903	13613	73		1.1	1.66	2.61	9.62	0.04	2.52	1.82	15.7	0.72	270	201	708	11.8	34	103	17.2	138	-3	321	9	67.6	-1	0.4	3	-10	-5	871	19.9	-10	4	14
11212-9903	13614	14		2	0.1	1.1	1.81	0.09	0.06	2.06	3	0.04	53	150	1250	24.7	3	7	14	30.7	-3	73.3	13.9	21	-1	0.6	10	-10	-5	20	-0.5	-10	17	13
11212-9903	13615	78		4.5	0.15	1.85	2.77	0.05	0.17	2.57	2.8	0.11	69	152	4330	22.8	9	26	45.1	50.8	-3	144	10.6	37	-1	0.9	10	-10	-5	94	1.7	-10	13	13
11212-9903	13616	24		1.1	1.72	1.71	8.02	0.03	1.95	1.68	19.2	0.43	160	161	731	6.27	26	80	44.9	105	-3	263	15.4	83.5	1	0.5	-1	-10	-5	527	23.7	-10	4	-5
11212-9903	13617	10		1.6	1.8	2.04	9.05	0.04	2.09	1.57	20.8	0.51	201	167	702	6.34	33	108	68.6	122	-3	230	13.1	88.7	2	0.4	-1	-10	-5	540	25.3	-10	-2	-5
11212-9903	13618	71		1.1	1.48	2.38	6.1	0.05	0.23	4.77	39	0.82	383	64	1250	10.6	47	23	98.9	109	-3	145	28.6	97.7	-1	0.6	3	-10	-5	83	10.6	-10	-2	-5
11212-9903	13619	15		1.4	1.71	2.42	6.6	0.06	0.39	4.87	38.5	0.81	372	65	1110	10.6	43	25	70.5	133	-3	166	29.1	112	-1	0.5	4	-10	-5	165	11.5	-10	-2	14
11212-9903	13620	166		1.2	1.75	2.49	6.33	0.06	0.35	5.09	43.1	0.9	416	62	1330	11.5	46	24	146	143	-3	131	31.9	113	-1	0.5	4	-10	-5	123	9.2	-10	3	-5
11212-9903	13621	29		1.2	1.93	2.72	6.56	0.06	0.34	5.14	42.5	0.88	414	65	1350	12	50	26	131	140	-3	119	31.1	106	-1	0.8	4	-10	-5	122	8	-10	-2	10
11212-9903	13622	20		1.1	1.89	2.57	6.36	0.05	0.29	4.75	41.8	0.86	408	61	1190	11.2	43	26	112	136	-3	109	29.6	91.6	-1	0.7	3	-10	-5	94	8.7	-10	-2	5
11212-9903	13623	47		1.2	2.08	2.49	6.83	0.06	0.35	5.42	43.9	0.94	417	66	1060	10.9	47	26	150	145	-3	129	32	97.8	-1	0.3	4	-10	-5	150	9.9	-10	-2	6

Résultats d'analyses des échantillons de forage

# forage	SAMP ID.	AU PPB	AU G/T	Be ppm	Na %	Mg %	Al %	P %	K %	Ca %	Sc ppm	Ti %	V ppm	Cr ppm	Mn ppm	Fe %	Co ppm	Ni ppm	Cu ppm	Zn ppm	As ppm	Sr ppm	Y ppm	Zr ppm	Mo ppm	Ag ppm	Cd ppm	Sn ppm	Sb ppm	Ba ppm	La ppm	W ppm	Pb ppm	Bi ppm
11212-9903	13624	16		1.3	2.2	2.42	6.89	0.06	0.4	4.95	42.9	0.86	414	69	1050	10.8	49	25	64.4	141	-3	136	29.8	111	-1	0.4	3	-10	-5	304	10.6	-10	-2	-5
11212-9903	13625	461		1.2	1.87	2.37	6.38	0.05	0.41	5.04	42.8	0.86	406	72	1450	11	49	27	140	129	41	139	31.5	94.2	-1	0.5	3	-10	-5	147	9.5	-10	-2	-5
11212-9903	13626	59		1.3	2.02	2.56	6.58	0.06	0.45	4.97	41.6	0.87	409	74	1490	11.2	47	28	84.5	136	-3	144	30.4	81.1	1	0.4	4	-10	-5	169	8.8	-10	-2	-5
11212-9903	13627	18		1.3	2.12	2.4	7.02	0.05	0.56	5.48	43.2	0.88	433	82	1470	11.3	51	28	72.6	140	-3	129	33.1	118	1	0.4	3	-10	-5	201	10.9	-10	-2	-5
11212-9903	13628	18		1.2	1.9	2.37	6.47	0.05	0.49	5.44	42.2	0.83	410	68	1410	11	48	28	71.7	138	-3	105	33.9	94.5	-1	0.4	3	-10	-5	146	10.3	-10	-2	-5
11212-9903	13629	10		1.2	2.2	2.21	6.96	0.06	0.41	4.99	46	0.94	443	86	1330	10.7	53	26	66.2	139	-3	117	34	116	-1	0.5	3	-10	-5	152	10.5	-10	-2	-5
11212-9903	13630	>1000	**1.12**	1.3	2.05	2.09	6.33	0.06	0.38	4.28	42	0.89	422	81	1310	10.8	51	32	352	185	98	134	30.3	70.7	-1	0.4	4	-10	-5	121	7.6	-10	-2	-5
11212-9903	13631	148		1.3	2.06	2.75	6.65	0.06	0.42	5.5	45.4	0.9	438	101	1530	11.8	51	33	66.1	153	-3	109	33.8	99.7	-1	0.3	4	-10	-5	146	10.4	-10	-2	-5
11212-9903	13632	13		1.2	2.39	2.69	7.09	0.06	0.39	5.01	46.2	0.93	448	75	1370	11.7	53	34	93.4	155	-3	113	34	97.1	-1	0.6	4	-10	-5	148	10.5	-10	-2	7
11212-9903	13633	11		1.1	2.22	2.42	6.66	0.06	0.4	4.94	45.2	0.91	430	78	1370	11.3	52	31	118	142	-3	103	33.1	77.9	-1	0.4	4	-10	-5	139	8.7	-10	-2	-5
11212-9903	13634	7		1.1	2.09	2.05	6.68	0.06	0.42	5.55	41.6	0.83	402	94	1750	10.5	46	29	104	135	-3	130	32.7	122	-1	0.6	4	-10	-5	186	11.2	-10	-2	-5
11212-9903	13635	8		1.1	2.06	2.01	6.5	0.06	0.38	5.17	41	0.81	408	94	2180	10.6	49	31	121	146	-3	107	31.4	102	-1	0.6	4	-10	-5	170	9.7	-10	-2	-5
11212-9903	13636	6		1.1	1.98	2.12	6.17	0.05	0.35	4.81	40.9	0.82	405	109	1590	10.6	50	29	104	138	-3	101	31.3	101	-1	0.8	3	-10	-5	169	10.4	-10	-2	6
11212-9903	13637	13		1.2	1.97	2.23	6.57	0.06	0.38	5.65	43	0.87	446	114	2370	11.7	50	36	126	181	-3	109	34.4	100	-1	0.3	4	-10	-5	156	10	-10	-2	-5
11212-9903	13638	28		1	2.02	2.5	6.75	0.05	0.35	6.71	39.3	0.93	492	124	1880	10.3	51	49	108	135	-3	132	30	91.4	-1	0.3	4	-10	-5	131	7.7	-10	-2	-5
11212-9904	13639		**1.65**	-2000	-2000	-2000	-2000	-2000	-2000	-2000	-2000	-2000	-2000	-2000	-2000	-2000	-2000	-2000	-2000	-2000	-2000	-2000	-2000	-2000	-2000	-2000	-2000	-2000	-2000	-2000	-2000	-2000	-2000
11212-9904	13640	73		1.1	1.81	3.05	6.85	0.05	0.52	7.41	38.9	0.84	411	162	2630	11.9	50	63	76.4	175	-3	190	27.9	90	-1	0.2	-1	-10	-5	127	13.6	-10	9	7
11212-9904	13641	>1000	**1.82**	1.5	1.87	3.11	6.67	0.04	0.55	7.32	42.1	0.91	461	159	1940	10.9	55	67	162	140	229	219	28.2	56.1	-1	0.4	-1	-10	-5	209	12.6	56	-2	-5
11212-9904	13642	37		1	2.03	3.23	7.22	0.05	0.59	7.46	40.2	0.86	430	179	1920	10.6	48	70	48.9	135	-3	147	27.5	79.9	-1	-0.2	-1	-10	-5	126	13.8	-10	-2	-5
11212-9904	13643	28		0.9	1.98	3.2	7.26	0.05	0.92	6.37	41.3	0.91	448	164	2000	11	52	75	71.6	145	-3	120	28	103	-1	0.5	-1	-10	-5	406	14.4	-10	-2	-5
11212-9904	13644	16		1	1.98	3.11	7.03	0.08	0.47	7.28	37.9	0.86	418	136	2120	11.5	57	78	276	146	-3	116	27.8	96.7	-1	0.2	-1	-10	-5	134	14.9	-10	8	-5
11212-9904	13645	10		0.9	2.05	2.93	7.02	0.05	0.23	6.55	39.7	0.84	421	171	1650	9.93	49	72	63.5	130	-3	147	26.8	91.8	-1	-0.2	-1	-10	-5	79	13.8	-10	-2	-5
11212-9904	13646	17		1.1	1.85	2.99	7.26	0.05	0.35	6.91	44	0.97	498	135	2050	11.4	52	55	81.2	167	-3	151	29.2	100	-1	-0.2	-1	-10	-5	100	13.2	-10	-2	-5
11212-9904	13647	25		1.2	3.3	1.46	10.3	0.22	0.56	6.08	21.9	0.58	268	59	1020	6.37	32	23	171	72.9	-3	449	15.9	39.5	-1	-0.2	-1	-10	-5	270	11	-10	-2	-5
11212-9904	13648	13		1.2	1.91	3.13	7.15	0.06	0.39	6.01	49.5	1.23	582	67	1640	12.4	54	27	66.4	145	-3	165	33.4	88.8	-1	0.2	-1	-10	-5	115	14.3	-10	-2	5
11212-9904	13649	478		1.1	1.74	3.14	6.47	0.05	0.38	5.48	45.1	1.13	550	71	1430	11.7	54	23	127	130	-3	125	30.4	72.4	-1	-0.2	-1	-10	-5	107	13.1	-10	-2	-5
11212-9904	13650	13		1	1.78	3.36	6.64	0.06	0.4	5.74	44.4	1.06	552	72	1630	11.8	52	30	40.1	132	-3	161	28.6	77.5	-1	0.3	-1	-10	-5	106	13.6	-10	-2	-5
11212-9904	13551	16		1.1	1.69	3.06	6.41	0.05	0.42	5.78	43.2	1	542	101	1520	11.5	50	31	80.2	138	-3	154	27.9	72.8	2	-0.2	-1	-10	-5	95	13.3	-10	-2	-5
11212-9904	13552	9		0.6	1.01	1.46	3.9	0.03	0.33	3.21	22	0.54	232	139	1060	6.7	34	18	174	93.9	-3	81.1	15.4	42.4	2	0.7	-1	-10	-5	109	7.6	-10	3	-5
11212-9904	13553	10		0.9	1.72	2.63	6.6	0.06	0.69	5.07	44.9	1.09	564	120	1850	11.5	53	35	89	296	-3	115	27.3	81	-1	0.4	-1	-10	-5	235	13.5	-10	-2	5
11212-9904	13554	11		1.1	1.78	2.42	6.64	0.05	0.51	6.11	43.4	1.07	521	78	1940	11	47	27	55.5	170	-3	153	33	86.1	-1	0.3	-1	-10	-5	114	13.8	-10	-2	9
11212-9904	13555	49		3.5	1.03	3.52	4.98	0.07	0.56	6.66	51.4	1.13	656	65	2410	17.7	48	27	26.8	143	-3	90	46.1	47.6	-1	0.4	-1	-10	-5	123	14.4	-10	3	13
11212-9904	13556	344		1.5	0.11	1.58	0.45	0.1	0.03	3.19	2.7	0.08	62	185	1800	19.7	7	5	37.7	39.7	5	18.6	9.5	13	-1	0.7	-1	-10	-5	11	7.8	-10	11	-5
11212-9904	13557	41		2.5	0.04	1.25	0.28	0.11	0.02	1.47	-0.5	0.02	45	114	1950	31.5	5	-1	8.2	32.9	-3	26.1	8.8	15.3	-1	0.6	2	-10	-5	7	13.9	-10	17	26
11212-9904	13558	16		2.3	0.02	1.09	0.19	0.11	0.01	0.97	-0.5	-0.01	39	148	1920	34.7	2	-1	8.3	24.9	-3	27.2	8.7	16.5	-1	1	-1	-10	-5	-1	14.5	-10	17	22
11212-9904	13559	13		2.7	0.02	1.27	0.19	0.12	0.01	0.91	-0.5	-0.01	40	138	1900	33.7	2	-1	6.5	22.8	-3	28.4	9.4	16.7	-1	1	2	-10	-5	6	12.8	-10	15	20
11212-9904	13560	11		2.7	0.02	1.33	0.18	0.12	-0.01	0.83	-0.5	-0.01	37	134	2030	31.6	3	-1	7.6	25.5	-3	31.7	9.5	14.9	-1	0.7	-1	-10	-5	23	12.2	-10	21	13
11212-9904	13561	33		3.9	0.05	1.47	0.18	0.08	0.01	2.76	-0.5	-0.01	34	146	1580	27.7	5	2	8	24.4	-3	48.3	8.3	12	-1	0.4	1	-10	-5	28	11.1	-10	18	10
11212-9904	13562	10		2.3	0.02	1.32	0.13	0.11	-0.01	1.08	-0.5	-0.01	35	148	1500	32.6	6	-1	7.3	18.9	-3	30.1	9.2	14.9	-1	0.7	1	-10	-5	1	13.8	-10	18	20
11212-9904	13563	8		2.1	0.04	1.22	0.18	0.08	-0.01	2.25	-0.5	-0.01	33	136	1470	30.6	5	-1	6.9	23.3	-3	18.6	6.3	15.3	-1	1	-1	-10	-5	1	13.2	-10	19	26
11212-9904	13564	12		1.9	0.05	1.08	0.24	0.06	0.01	2.34	-0.5	0.01	32	139	1220	29.1	2	-1	10	20.3	-3	18	5.3	14.2	-1	1	-1	-10	-5	7	12.3	-10	16	17
11212-9904	13565	9		2.2	0.03	1.46	0.19	0.12	-0.01	1.69	-0.5	0.01	37	131	1230	32.8	7	-1	6.2	61.8	-3	22.4	7.8	15.7	-1	0.8	-1	-10	-5	2	11.7	-10	19	22
11212-9904	13566	9		2.1	0.05	1.29	0.25	0.08	0.02	2.46	-0.5	0.02	36	143	1720	30.9	-1	-1	9.2	22	-3	20.5	6.2	15.9	-1	0.8	-1	-10	-5	9	11	-10	19	12
11212-9904	13567	24		2.4	0.06	1.14	0.22	0.07	-0.01	3.29	-0.5	-0.01	35	141	1760	31.8	1	-1	6.1	23.3	-3	26.6	6.5	16	-1	0.5	1	-10	-5	-1	12.1	-10	18	18
11212-9904	13568	27		2.1	0.05	2.06	0.31	0.06	0.04	2.64	-0.5	0.04	39	111	2560	30.7	2	5	8.9	28.9	-3	20.2	6.9	16.3	-1	1	-1	-10	-5	19	12.1	-10	15	24
11212-9904	13569	19		1.9	0.04	0.93	0.24	0.05	0.01	2.37	-0.5	-0.01	34	157	1180	31.6	3	-1	7.7	28	-3	17.3	4.7	15.4	-1	0.5	-1	-10	-5	6	12.7	-10	19	23
11212-9904	13570	17		1.9	0.04	1.22	0.25	0.06	0.02	2.31	-0.5	0.02	36	138	1300	29.9	-1	2	8	22	-3	16.6	5.1	14.9	-1	0.6	-1	-10	-5	6	11.2	-10	14	15
11212-9904	13571	17		2	0.03	1.1	0.2	0.06	-0.01	1.88	-0.5	-0.01	36	133	1110	31.2	4	-1	7.9	34.8	-3	15.6	5	14.4	-1	0.8	-1	-10	-5	2	10.3	-10	14	25
11212-9904	13572	14		1.9	0.02	1.28	0.16	0.05	-0.01	1.08	-0.5	-0.01	36	118	782	33.1	4	-1	5.8	25.3	-3	16.3	4.9	15	-1	0.6	2	-10	-5	-1	11.3	-10	18	23
11212-9904	13573	21		1.9	0.03	1.08	0.15	0.06	-0.01	1.93	-0.5	-0.01	32	136	1110	28.8	-1	-1	9.3	18.3	-3	24.4	6.3	13.7	-1	0.7	-1	-10	-5	-1	11	-10	17	21
11212-9904	13574	16		1.6	0.03	1.02	0.14	0.06	-0.01	1.86	-0.5	-0.01	30	175	1160	27.8	2	2	6.2	17.4	-3	21.5	5.4	13	-1	0.5	-1	-10	-5	-1	10.7	-10	17	27
11212-9904	13575	27		1.7	0.06	1.41	0.66	0.05	0.03	3.28	-0.5	0.02	34	154	3860	25.1	5	9	8.8	21.9	-3	30.4	10.7	15.8	-1	0.7	-1	-10	-5	13	10.7	-10	16	15
11212-9904	13576	87		1.4	0.04	1.66	1.09	0.04	0.04	1.81	0.8	0.05	45	190	3740	26.1	7	26	17	41	-3	19	5.9	20.7	-1	1	-1	-10	-5	23	12.1	-10	11	9
11212-9904	13577	39		1.6	0.05	1.44	0.86	0.05	0.03	2.01	-0.5	0.04	39	174	3580	25.2	7	13	10.5	27.3	-3	20.7	6.2	17.5	-1	0.6	-1	-10	-5	17	9.4	-10	11	8
11212-9904	13578	71		1.9	0.09	1.83	1.29	0.06	0.11	2.53	1.2	0.06	52	136	4040	28	7	26	15.1	47.7	-3	40	7.5	24.4	-1	0.4	-1	-10	-5	75	12	-10	14	20
11212-9904	13579	33		1.7	0.06	1.54	1.3	0.06	0.04	2.65	0.8	0.06	48	161	3780	27	6	17	14.4	40.9	-3	33.5	7.5	22.4	-1	0.5	-1	-10	-5	21	12.5	-10	11	19
11212-9904	13580	56		1.5	0.11	1.65	2.49	0.05	0.24	3.08	3.9	0.13	60	220	4680	21.2	11	41	46.9	49.3	-3	58.4	9.3	42.9	-1	0.7	-1	-10	-5	82	18.7	-10	7	-5
11212-9904	13581	50		2	0.06	1.46	1.84	0.05	0.06	3.1	1.2	0.07	47	176	2910	24.9	3	16	25.3	34.6	-3	59.8	6.6	33.7	-1	0.2	-1	-10	-5	59	15.8	-10	13	6
11212-9904	13582	15		1.1	1.64	1.5	8.04	0.05	1.85	2.48	12.6	0.33	117	230	928	6.63	20	50	17.7	67.3	-3	220	9.1	72.8	2	-0.2	-1	-10	-5	552	27.5	-10	-2	7
11212-9905	13583	20		1.7	1.44	2.01	8.14	0.02	2.21	1.53	19.9	0.51	189	236	656	7.09	28	103	75.5	122	-3	226	12.4	103	4	-0.2	2	-10	-5	531	25.4	-10	-2	-5
11212-9905	13584	16		1.5	1.59	1.8	7.68	0.05	1.85	1.69	18.4	0.44	163	209	530	6.25	30	90	56	111	-3	232	12.8	73.6	1	-0.2	3	-10	-5	473	22.1	-10	-2	10

Résultats d'analyses des échantillons de forage

# forage	SAMP ID.	AU PPB	AU G/T	Be ppm	Na %	Mg %	Al %	P %	K %	Ca %	Sc ppm	Ti %	V ppm	Cr ppm	Mn ppm	Fe %	Co ppm	Ni ppm	Cu ppm	Zn ppm	As ppm	Sr ppm	Y ppm	Zr ppm	Mo ppm	Ag ppm	Cd ppm	Sn ppm	Sb ppm	Ba ppm	La ppm	W ppm	Pb ppm	Bi ppm
11212-9905	13585	21		1.1	1.79	1.64	8.34	0.04	2.12	1.86	17.6	0.42	165	203	632	8.26	22	67	15.5	97.6	-3	252	13.2	91.3	-1	0.3	3	-10	-5	467	21.2	-10	4	8
11212-9905	13586	713		1.5	0.05	1.79	5.85	0.11	0.14	1.13	12	0.1	92	270	2400	20.8	14	26	120	61.4	101	6.8	17.7	45.5	-1	0.9	11	-10	5	49	2.3	-10	8	5
11212-9905	13587	26		1.8	0.13	3.21	9.08	0.53	3.22	1.84	45.4	0.64	222	397	1880	19.7	28	69	16.2	156	-3	31	38.3	48.5	-1	0.2	11	-10	5	653	14.5	-10	10	-5
11212-9905	13588	16		1.7	0.47	2.18	8.71	0.8	0.93	2.85	38.4	0.13	85	361	2220	18.4	17	23	17	81.5	-3	73.3	42.1	40	-1	-0.2	10	-10	-5	185	24.4	-10	7	14
11212-9905	13589	360		3.1	0.02	1.34	0.32	0.17	0.02	0.84	-0.5	0.01	55	125	2040	31.1	5	5	23.3	37.5	-3	44.7	11.5	16.6	-1	0.5	21	-10	-5	4	-0.5	-10	25	15
11212-9905	13590	10		3.5	0.04	1.6	0.54	0.14	0.03	1.15	-0.5	0.01	60	103	2100	32.6	3	2	7.4	27.2	-3	43.5	8.5	19.8	-1	0.4	22	-10	-5	7	-0.5	-10	25	25
11212-9905	13591	25		3.6	0.02	1.45	0.12	0.11	-0.01	1.72	-0.5	-0.01	53	117	1590	31.6	5	4	15.5	21.7	-3	72.7	8.5	17.9	-1	0.4	22	-10	-5	-1	-0.5	-10	30	23
11212-9905	13592	13		3.2	0.03	1.35	0.11	0.11	-0.01	1.53	-0.5	-0.01	49	126	1590	30.4	1	-1	8.4	20.2	-3	69.7	7.9	20.9	-1	0.6	21	-10	5	12	-0.5	-10	26	22
11212-9905	13593	12		3.3	0.02	1.52	0.15	0.11	-0.01	0.99	-0.5	-0.01	54	117	1680	33	2	-1	7.9	21.5	-3	53.9	8	18.2	-1	0.3	24	-10	-5	168	-0.5	-10	26	18
11212-9905	13594	10		3.2	0.03	1.35	0.12	0.11	-0.01	1.14	-0.5	-0.01	51	119	710	31.7	3	-1	8.3	19.7	-3	51.2	7.4	21.5	-1	0.3	22	-10	-5	17	-0.5	-10	29	20
11212-9905	13595	9		2.8	0.02	1.55	0.18	0.1	-0.01	1.1	-0.5	-0.01	52	100	909	31.1	3	-1	6.9	21	-3	36.4	7.3	17.7	-1	0.4	22	-10	-5	-1	-0.5	-10	25	19
11212-9905	13596	10		2.5	0.03	1.05	0.26	0.07	-0.01	1.78	-0.5	-0.01	44	188	1190	26.9	3	-1	8.8	19.6	-3	27.2	5.8	18.9	-1	0.4	17	-10	-5	11	-0.5	-10	22	23
11212-9905	13597	15		3.3	0.04	1.34	0.29	0.08	0.01	2.57	-0.5	-0.01	51	146	1750	31.5	2	2	11.2	24.5	-3	56.2	7.4	19	-1	0.7	23	-10	-5	15	-0.5	-10	28	23
11212-9905	13598	51		2.8	0.03	1.34	0.59	0.06	-0.01	2.2	-0.5	0.02	51	159	1620	29.4	4	-1	35	28.1	-3	62.9	6.3	19.1	-1	0.4	20	-10	-5	31	-0.5	-10	24	16
11212-9905	13599	38		1	1.94	1.97	8.66	0.04	2.39	2.16	17.1	0.46	163	192	1440	9.23	26	68	16	114	-3	244	10	59.9	-1	-0.2	3	-10	-5	534	29.1	26	10	-5
11212-9905	13600	12		1.1	1.67	1.36	7.02	0.03	1.61	1.35	13.2	0.35	124	239	478	5.05	28	85	101	96.6	-3	189	10.6	84.9	-1	-0.2	1	-10	-5	392	24.7	-10	5	5
11212-9906	13651	>1000	**1.53**	1.4	1.71	3.01	6.26	0.06	1.12	5.31	40	0.89	493	156	1730	11.1	48	47	102	335	42	168	26.3	72.3	-1	0.2	3	-10	-5	305	6.7	64	3	-5
11212-9906	13652	150		1.3	2.16	2.92	6.65	0.05	0.45	5.54	41	0.87	513	180	1570	10.6	50	61	73.1	151	-3	132	28.2	81.8	-1	-0.2	2	-10	-5	130	7.8	-10	-2	-5
11212-9906	13653	302		1.5	1.78	2.2	6.21	0.06	0.43	6.2	39	0.81	451	117	2590	11.5	43	36	182	246	124	141	28.3	79.2	-1	-0.2	3	-10	-5	110	7.6	-10	-2	-5
11212-9906	13654	230		1.3	2.21	3	6.77	0.05	0.51	5.7	42.2	0.93	530	131	1570	10.8	50	58	97.1	147	11	148	29.3	84.8	-1	-0.2	2	-10	-5	185	7.1	-10	-2	-5
11212-9906	13655	71		1.3	2.2	2.84	6.76	0.06	0.52	5.68	42.2	0.93	533	141	1760	10.8	49	54	85.5	150	3	163	30.1	71.3	-1	-0.2	2	-10	-5	121	7.4	-10	-2	-5
11212-9906	13656	297		1.3	2.29	3.2	6.96	0.06	0.54	5.81	38.4	0.82	474	169	1450	10.1	57	89	99	162	396	179	25.9	78.1	-1	-0.2	2	-10	-5	224	7.9	118	-2	-5
11212-9906	13657	29		1.3	2.03	2.63	6.39	0.05	0.48	5.28	43.6	1	567	95	1640	11	50	41	71.7	146	-3	133	31.6	107	-1	-0.2	3	-10	-5	148	8.7	-10	-2	-5
11212-9906	13658	93		1.5	2.04	2.82	6.43	0.06	0.44	5.38	45.8	1.08	599	79	1730	11.6	53	37	92	152	-3	157	33.8	77.6	-1	-0.2	3	-10	-5	109	8.4	-10	-2	-5
11212-9906	13659	72		1.3	2.07	3.18	6.4	0.05	0.52	4.88	42	0.94	539	96	1290	10.3	49	45	69.8	128	-3	161	29.7	84.2	-1	-0.2	2	-10	-5	147	7	11	-2	-5
11212-9906	13660	22		1.4	2.23	3.59	6.64	0.06	0.4	5.28	47.5	1.05	603	118	1530	11.8	51	40	36.7	138	-3	144	33.8	69.8	-1	-0.2	3	-10	-5	80	7.4	-10	-2	8
11212-9906	13661	72		1.3	2.14	3.45	6.69	0.05	0.44	5.71	45.4	1	564	134	1380	11.2	51	55	59.1	114	-3	155	32.1	72.4	-1	-0.2	2	-10	-5	107	7.9	-10	-2	-5
11212-9906	13662	12		1.1	2.08	2.74	6.85	0.05	0.44	6.8	39.7	0.86	413	176	1760	9.77	47	65	68.7	188	-3	149	29.6	86.5	-1	-0.2	2	-10	-5	150	8.9	-10	-2	-5
11212-9906	13663	259		1.2	2.17	2.76	6.86	0.06	0.59	6.5	40.8	0.88	425	198	1640	9.92	49	65	68.9	140	38	150	29.6	87.7	-1	-0.2	2	-10	-5	170	8.8	-10	-2	-5
11212-9906	13664	332		1.6	2.16	2.98	6.84	0.06	0.72	5.55	46.8	1.06	531	151	1680	11.5	54	48	96.1	158	73	164	31.8	71.5	-1	-0.2	3	-10	-5	181	7.2	-10	-2	-5
11212-9906	13665	74		1.5	1.8	2.64	6.31	0.06	1.21	4.91	46.7	1.1	557	96	1830	11.7	49	30	44.7	179	-3	146	32.6	73.6	-1	-0.2	3	-10	-5	193	7.4	-10	-2	8
11212-9906	13666	136		2	0.21	1.38	1.22	0.12	0.14	1.67	4.4	0.2	88	172	1530	25.3	5	5	12.6	115	-3	12.3	17	21	1	0.3	9	-10	-5	8	3.7	-10	18	11
11212-9906	13667	>1000	**1.56**	2.2	0.14	1.15	0.78	0.13	0.13	1.61	1	0.07	52	187	1150	24.5	11	9	71.1	77	-3	10.9	11	18	-1	0.5	9	-10	-5	10	5	134	20	-5
11212-9906	13668	>1000	**3.28**	2.2	0.16	1.3	0.89	0.12	0.17	1.44	3.4	0.13	54	182	1480	25.7	10	5	50.3	108	-3	11.7	12	24.5	3	0.2	10	-10	-5	13	1.6	-10	19	10
11212-9906	13669	>1000	**9.98**	2.8	0.07	0.96	0.37	0.1	0.04	1.54	-0.5	-0.01	51	173	1260	28.6	23	10	62.3	77.2	148	21.4	8.1	16.5	-1	0.5	11	-10	-5	-1	-0.5	-10	22	8
11212-9906	13670	970		2.4	0.09	1.31	0.85	0.18	0.25	1.13	1.9	0.18	64	150	1660	29.6	4	3	30.2	123	-3	13.9	10.1	18.2	-1	-0.2	13	-10	-5	39	23.4	-10	25	8
11212-9906	13671	>1000	**17.27**	2.9	0.04	1.24	0.31	0.11	0.08	1.1	-0.5	0.07	57	150	1610	30	8	3	29.2	49.1	-3	19.9	8	16.1	-1	0.5	13	-10	-5	14	43.6	-10	32	13
11212-9906	13672	72		2.9	0.04	1.03	0.3	0.07	0.03	1.99	-0.5	0.01	48	136	1340	28.8	3	-1	9.4	20.2	-3	20.3	5.6	17.3	-1	0.3	12	-10	-5	14	-0.5	-10	26	8
11212-9906	13673	72		2.1	0.04	0.99	0.58	0.06	0.05	1.09	-0.5	0.02	43	178	921	26.6	3	-1	7.2	28.2	-3	11.7	12	16.5	-1	-0.2	10	-10	-5	9	-0.5	-10	21	15
11212-9906	13674	367		1.3	0.04	1.26	1.63	0.09	1.18	0.79	2.4	0.23	60	251	994	17.7	21	9	53.3	72.8	-3	11.1	6.4	13.9	2	0.3	5	-10	-5	259	17.5	-10	16	-5
11212-9906	13675	41		2.5	0.03	1.19	0.47	0.1	0.08	1.17	-0.5	0.03	48	170	1250	29.1	5	4	12.2	27.2	-3	11.3	10.9	17.1	-1	0.5	13	-10	-5	8	5.9	-10	21	-5
11212-9906	13676	18		1.2	2.19	1.28	7.53	0.02	1.98	2.36	8.5	0.39	127	189	643	5.77	19	46	14.2	89.2	-3	233	8.8	115	1	-0.2	-1	-10	-5	441	29.7	-10	3	-5
11212-9906	13677	9		1.2	2.03	1.62	7.54	0.04	1.52	1.65	16	0.41	147	282	539	5.32	27	86	60.9	124	-3	282	11.7	84.8	2	-0.2	-1	-10	-5	476	21.5	-10	-2	-5
11212-9906	13678	18		1	2.31	1.35	7.84	0.03	1.69	2.56	13.6	0.32	112	233	868	3.97	20	59	48.3	122	-3	356	15.2	139	2	-0.2	-1	-10	-5	375	32.7	-10	4	-5
11212-9906	13679	10		1.1	2.04	1.85	7.84	0.03	1.75	2.22	19.6	0.44	184	273	852	6.44	31	86	42.6	96.9	-3	235	14.5	88.9	-1	-0.2	-1	-10	-5	491	21.1	-10	-2	-5
11212-9906	13680	10		1.1	0.46	1.69	5.97	0.03	0.56	1.69	17.3	0.2	111	397	1620	15.4	19	50	16	75.9	-3	51.4	19.1	72.5	-1	-0.2	3	-10	-5	160	13.4	-10	7	9
11212-9906	13681	18		1.1	1.79	2.18	7.7	0.06	1.67	2.8	23.6	0.38	169	345	992	8.4	36	77	280	89.8	-3	181	16.7	88.6	2	-0.2	-1	-10	-5	402	22.3	-10	-2	-5
11212-9906	13682	8		1.1	2.13	3.13	7.79	0.02	1.13	4.61	19.5	0.18	116	149	739	4.42	26	59	11.4	55.5	-3	155	7.5	79.1	1	-0.2	-1	-10	-5	172	8.1	-10	-2	-5
11212-9906	13683	7		1.4	1.9	2.87	7.84	0.03	1.81	3.89	20	0.46	208	396	873	6.37	40	111	112	102	-3	164	9.6	74	4	-0.2	-1	-10	-5	290	7.6	-10	-2	-5
11212-9906	13684	4		1.2	1.62	2.79	6.64	0.03	0.81	5.75	32.5	0.52	277	240	1630	7.55	42	83	58.2	117	-3	123	19.2	39.9	-1	-0.2	1	-10	-5	116	9.1	-10	-2	-5
11212-9906	13685	6		1	0.66	4.35	3.96	0.02	0.19	11	18.3	0.48	218	177	2710	9.76	54	100	154	141	7	75.6	16.4	32.8	-1	-0.2	3	-10	9	53	4.4	36	2	-5
11212-9906	13686	6		1	1.55	2.75	7.04	0.04	0.52	5.99	31.5	0.58	269	228	1430	8.55	47	84	99	130	-3	128	23	48.3	-1	-0.2	2	-10	-5	122	5.9	-10	-2	-5
11212-9907	13687	50		1.2	2.21	2.07	6.26	0.06	0.38	4.94	41.2	0.84	403	112	2610	9.95	47	34	80.9	160	-3	112	29.9	108	-1	-0.2	-1	-10	-5	153	11.2	-10	4	-5
11212-9907	13688	477		1.3	1.94	1.91	5.89	0.05	0.48	5.23	36.2	0.73	366	131	2870	9.36	44	32	155	144	262	121	27.7	103	-1	-0.2	-1	-10	-5	120	11	11	2	-5
11212-9907	13689	226		1.3	2.09	2.01	6.07	0.06	0.43	5.44	40	0.79	400	66	2000	9.76	44	28	62.6	151	55	157	29.9	93.7	-1	-0.2	-1	-10	-5	88	10.1	-10	4	-5
11212-9907	13690	509		1.3	2.15	2.01	6.01	0.05	0.41	4.49	39.2	0.79	391	72	1910	10.2	44	26	116	158	320	144	28.9	85.4	-1	-0.2	-1	-10	-5	195	9.5	-10	-2	-5
11212-9907	13691	47		1.2	2.1	2.05	6.23	0.06	0.44	5.03	40.1	0.79	398	56	1690	10.1	47	29	78.8	145	4	110	29.2	103	-1	-0.2	-1	-10	-5	158	10.3	-10	-2	-5
11212-9907	13692	18		1.2	1.91	2.13	6.32	0.06	0.43	5.1	40.7	0.81	398	74	1430	10.5	49	26	112	143	-3	119	32.1	106	-1	-0.2	-1	-10	-5	184	11.2	-10	2	-5
11212-9907	13693	23		1	1.83	1.82	5.36	0.04	0.34	3.91	35	0.71	348	172	1490	9.4	44	26	166	144	62	90.1	25	101	-1	-0.2	-1	-10	-5	161	8.9	-10	-2	5
11212-9907	13694	24		1.2	2.05	1.98	6.29	0.06	0.38	4.76	41.7	0.83	416	98	1530	10.3	49	28	89.8	157	-3	107	31.2	105	-1	-0.2	-1	-10	-5	156	11.4	-10	-2	-5
11212-9907	13695	174		1.2	1.87	2.66	6.28	0.05	0.4	5.48	38.1	0.81	460	128	1690	10.1	48	59	62.3	146	-3	131	27.5	69.2	-1	-0.2	-1	-10	-5	133	8.6	-10	-2	8

Résultats d'analyses des échantillons de forage

# forage	SAMP ID.	AU PPB	AU G/T	Be ppm	Na %	Mg %	Al %	P %	K %	Ca %	Sc ppm	Ti %	V ppm	Cr ppm	Mn ppm	Fe %	Co ppm	Ni ppm	Cu ppm	Zn ppm	As ppm	Sr ppm	Y ppm	Zr ppm	Mo ppm	Ag ppm	Cd ppm	Sn ppm	Sb ppm	Ba ppm	La ppm	W ppm	Pb ppm	Bi ppm
11212-9907	13696	164		1.1	1.78	3.32	6.27	0.05	0.7	5.01	38.9	0.86	529	100	1350	10.4	52	67	125	137	-3	116	28	76.6	-1	-0.2	-1	-10	-5	177	7.7	115	-2	-5
11212-9907	13697	21		1.1	1.71	3.42	6.44	0.05	1.33	4.26	38.9	0.87	505	101	1270	10.1	52	61	35.5	132	-3	129	26.3	65.2	-1	-0.2	-1	-10	-5	273	7.1	-10	-2	9
11212-9907	13698	505		1.2	1.76	2.53	6.4	0.04	0.47	7	36.8	0.78	410	109	1900	9.51	49	74	63.4	144	222	144	27.3	71.7	-1	-0.2	-1	-10	-5	127	8.8	13	-2	-5
11212-9907	13699	>1000	**1.48**	1.6	1.73	2.56	6.34	0.05	1.12	5.35	40	0.89	446	139	1660	9.95	50	52	71.4	149	172	165	28.4	61	-1	-0.2	-1	-10	-5	174	8.3	62	-2	-5
11212-9907	13700	>1000	**5.32**	1.4	1.57	2.44	5.23	0.03	0.64	4.7	37.8	0.86	465	83	1280	9.66	39	27	78.4	128	333	179	24.8	44.5	-1	-0.2	-1	-10	-5	97	7.2	56	-2	-5
11212-9907	13701	534		1.4	1.66	3.08	6.21	0.05	1.14	5.36	44.8	1.07	560	101	1620	11.7	54	28	58.1	182	-3	146	31.2	60.4	-1	-0.2	-1	-10	-5	163	7.3	-10	-2	-5
11212-9907	13702	431		1.6	1.06	2.78	5.37	0.16	1.89	4.36	38.8	0.88	433	83	1520	13.9	36	26	38.7	151	23	100	30	55.6	-1	-0.2	-1	-10	-5	360	15.2	-10	-2	-5
11212-9907	13703	52		2.7	0.12	1.34	0.64	0.1	0.08	1.97	0.6	0.05	56	129	1490	26.6	4	4	13.8	53.3	-3	16.7	10.9	18.3	-1	0.2	4	-10	-5	11	4.5	-10	18	9
11212-9907	13704	125		2.8	0.05	1.25	0.35	0.11	0.05	1.43	-0.5	0.07	57	127	1500	30.7	7	-1	16.1	45.4	-3	16.8	9	16.5	-1	0.4	5	-10	-5	9	3.5	-10	24	14
11212-9907	13705	336		2.4	0.08	1.18	0.82	0.09	0.38	1.16	-0.5	0.1	53	117	1370	28.2	7	2	18.4	53	-3	19	11.4	17.2	-1	0.5	5	-10	-5	66	21	-10	23	19
11212-9907	13706	123		2.7	0.02	1.15	0.13	0.11	0.01	0.67	-0.5	0.01	49	125	2560	32.3	4	3	15.7	37.7	-3	18.3	8.5	17	-1	0.2	6	-10	-5	2	2.8	-10	23	17
11212-9907	13707	222		1.7	0.13	1.34	2.04	0.08	1.45	0.59	2.5	0.24	64	144	1210	20.5	10	4	15.2	87.9	-3	13.2	9.4	14.3	-1	-0.2	-1	-10	-5	265	26.3	-10	18	16
11212-9907	13708	94		2.2	0.06	1.31	0.62	0.1	0.31	0.83	-0.5	0.07	50	129	1530	28.1	6	1	15.2	54.2	-3	11.6	8.7	16.1	-1	-0.2	5	-10	-5	60	15.7	93	22	15
11212-9907	13709	58		2.4	0.05	1.23	0.43	0.09	0.14	1.7	-0.5	0.03	43	109	1250	27.6	5	-1	19.4	30.1	-3	25.2	6.6	16.2	-1	0.3	5	-10	-5	17	3.8	-10	21	19
11212-9907	13710	87		2.5	0.07	1.14	0.47	0.11	0.09	1.12	-0.5	0.02	45	114	1690	27.9	7	2	12.4	40.4	-3	14.7	9.1	16.3	-1	0.6	5	-10	-5	15	2.9	-10	20	19
11212-9907	13711		**17.97**	-2000	-2000	-2000	-2000	-2000	-2000	-2000	-2000	-2000	-2000	-2000	-2000	-2000	-2000	-2000	-2000	-2000	-2000	-2000	-2000	-2000	-2000	-2000	-2000	-2000	-2000	-2000	-2000	-2000	-2000	-2000
11212-9907	13712	398		2.4	0.04	0.94	0.3	0.06	0.02	0.9	-0.5	0.02	40	141	1100	26.8	9	4	41.9	29.7	-3	15.1	5.3	15.4	-1	0.7	4	-10	-5	7	2	-10	34	12
11212-9907	13713	96		2.4	0.07	1.2	0.48	0.06	0.04	2.61	-0.5	0.02	42	109	1540	27.7	6	1	14.4	26.2	-3	15	6.5	19.7	-1	0.3	6	-10	-5	6	2.9	-10	24	29
11212-9907	13714	97		1.8	0.05	1.55	1.32	0.04	0.54	2	1.1	0.13	48	179	3290	21.2	8	14	21.4	49.7	-3	22.3	7.9	24.5	-1	0.3	3	-10	-5	131	5.2	-10	18	12
11212-9907	13715	58		1.5	0.28	1.41	2.43	0.1	0.28	1.96	4.5	0.08	48	231	3510	16.8	11	30	28.2	61.6	-3	44.8	20.5	28.2	-1	-0.2	2	-10	-5	84	10.4	-10	9	8
11212-9907	13716	14		0.9	2.57	1.18	7.55	0.04	1.69	1.94	9.8	0.3	95	195	540	4.64	18	41	26	81.4	-3	331	7.6	54.1	-1	-0.2	-1	-10	-5	390	21.4	-10	-2	15
11212-9907	13717	9		1.7	1.94	1.55	7.61	0.03	1.54	1.83	15.4	0.37	133	256	640	4.95	27	72	55	103	-3	309	13.3	89.1	3	0.4	-1	-10	-5	436	25.2	-10	6	6
11212-9907	13718	9		1.2	2.38	1.45	8.02	0.04	1.51	2.21	14.5	0.36	130	206	490	4.18	25	63	52.1	98.1	-3	390	10.8	82.2	-1	-0.2	-1	-10	-5	469	23.9	-10	-2	-5
11212-9907	13719	8		0.8	1.89	0.5	5.89	-0.01	0.7	2.08	12.8	0.09	48	182	1270	2.55	11	29	23.9	35.4	-3	257	25.7	243	5	-0.2	-1	-10	-5	175	10.6	-10	-2	-5
11212-9907	13720	9		0.8	1.54	3.94	6.76	0.03	0.73	4.06	19.6	0.32	144	283	878	5.43	35	152	20.7	92	-3	209	7.8	66.2	-1	-0.2	-1	-10	-5	130	16.4	-10	-2	-5
11212-9907	13721	20		1.1	0.95	2.38	6.03	0.04	0.79	4.27	29	0.5	264	146	1400	7.96	41	75	64.3	110	-3	130	19.7	69.4	-1	-0.2	-1	-10	-5	164	8.8	-10	-2	-5
11212-9907	13722	18		1	0.88	2.17	5.98	0.05	0.94	2.51	24	0.31	144	269	2630	9.55	40	102	298	83.4	-3	88.1	35.9	133	12	-0.2	-1	-10	-5	158	19.5	-10	-2	-5
11212-9908	13723	24		1	1.73	2.51	6.18	0.05	0.3	6.56	37.8	0.88	496	113	2500	10.7	48	58	81.1	139	-3	114	31.6	74.9	-1	-0.2	-1	-10	-5	103	9.5	-10	4	-5
11212-9908	13724	30		1.1	1.81	2.21	6.5	0.05	0.41	6.34	39.5	0.88	512	117	2010	10.3	53	58	56.6	144	-3	138	29.9	84.8	-1	-0.2	-1	-10	-5	158	9.4	-10	-2	-5
11212-9908	13725	323		1.1	1.95	3.09	6.54	0.05	0.51	5.52	39.1	0.88	497	173	1580	10.1	51	61	62.2	125	114	154	28.4	82.4	-1	-0.2	-1	-10	-5	123	8.6	-10	-2	-5
11212-9908	13726	66		1	1.98	3.12	6.77	0.04	0.57	5.59	34.6	0.77	443	123	1570	10.2	61	104	50.5	135	-3	180	24.2	44.5	-1	-0.2	-1	-10	-5	171	7.6	-10	-2	-5
11212-9908	13727	336		1.1	1.69	2.87	6.04	0.04	0.66	5.26	36.1	0.77	444	108	1350	9.59	48	59	49.5	117	-3	162	26.1	58	-1	-0.2	-1	-10	-5	181	8.6	330	-2	-5
11212-9908	13728	891		1.2	1.57	2.02	5.24	0.05	0.4	4.56	32	0.74	428	112	1150	8.53	39	29	167	102	-3	129	23.6	64.1	-1	-0.2	-1	-10	-5	74	8.4	57	-2	-5
11212-9908	13729	38		1.1	1.78	2.67	5.84	0.05	0.39	4.85	41.6	0.98	552	105	1530	10.7	47	35	67.9	133	-3	134	31.5	80.7	-1	-0.2	-1	-10	-5	67	10.4	-10	-2	-5
11212-9908	13730	45		1.1	1.78	2.49	6.45	0.05	0.45	6.37	36.7	0.81	394	108	1870	9.71	45	61	62.5	137	-3	149	27.8	93.3	-1	-0.2	-1	-10	-5	164	10.2	-10	-2	-5
11212-9908	13731	960		1.4	1.73	2.54	6.07	0.05	0.71	5.9	41.4	1	493	144	2060	10.9	51	49	52.1	152	92	168	31.4	56.9	-1	-0.2	-1	-10	-5	138	10.1	22	-2	-5
11212-9908	13732	202		2.7	0.18	1.52	0.93	0.1	0.11	1.93	3.9	0.15	97	158	1950	28.8	6	6	21.7	48.2	-3	24.8	13	26.7	-1	-0.2	4	-10	-5	17	5.4	-10	19	16
11212-9908	13733	>1000	**1.01**	2.2	0.08	1.02	0.46	0.1	0.04	1.04	-0.5	0.02	45	135	1470	28.7	8	2	44.3	32.6	161	16.6	8.6	22.4	-1	0.3	4	-10	-5	15	5.6	-10	19	-5
11212-9908	13734	640		2.1	0.14	1.5	0.94	0.13	0.2	1.29	4.5	0.09	45	141	1800	27.4	4	2	13.2	91.9	-3	19.7	15.5	20.6	-1	-0.2	4	-10	-5	34	33.7	-10	17	9
11212-9908	13735	73		2.4	0.04	1.27	0.28	0.1	0.02	0.86	-0.5	0.02	42	161	1610	30.8	-1	3	7.5	34.6	-3	15.2	8.3	20.7	-1	0.3	6	-10	-5	4	5.6	-10	20	15
11212-9908	13736	60		2.7	0.05	1.25	0.24	0.09	0.02	1.02	-0.5	-0.01	43	137	1710	30.8	4	3	7.1	25.4	-3	16.5	8.5	17.7	-1	0.4	6	-10	-5	4	4.6	-10	25	16
11212-9908	13737	220		2.4	0.04	1.31	0.33	0.12	0.03	0.98	-0.5	0.04	43	144	1860	29.4	6	2	11.6	55.6	-3	15.1	8.9	16.5	-1	0.3	6	-10	-5	7	10.7	-10	23	9
11212-9908	13738	214		2.6	0.04	1.21	0.21	0.1	0.01	1.27	-0.5	-0.01	42	141	1340	30.4	5	-1	7	22.8	-3	16.5	7.6	18.4	-1	-0.2	6	-10	-5	16	4.1	-10	22	18
11212-9908	13739	59		2.5	0.04	1.46	0.18	0.1	0.01	1.23	-0.5	-0.01	41	146	794	30.4	2	-1	7	25.7	-3	14.7	7.1	21.2	-1	-0.2	6	-10	-5	23	5.7	-10	24	27
11212-9908	13740	39		3	0.06	1.26	0.41	0.06	0.05	1.13	-0.5	0.01	36	184	919	25.4	5	1	6.1	24.4	-3	18.5	6.1	15.6	-1	-0.2	3	-10	-5	19	3.7	-10	20	17
11212-9908	13741	38		2.4	0.06	1.04	0.23	0.07	0.01	2.45	-0.5	-0.01	39	152	1270	29	4	-1	6.5	21	-3	17.5	6	20.7	-1	0.3	6	-10	-5	17	5.5	-10	13	12
11212-9908	13742	40		2.4	0.05	1.11	0.25	0.06	-0.01	2.24	-0.5	-0.01	40	136	1330	29.6	3	2	8.9	21.8	-3	16.8	5.4	16.6	-1	-0.2	6	-10	-5	7	4	-10	21	7
11212-9908	13743	147		1.6	0.04	1.26	2.09	0.05	0.41	1.11	2.9	0.09	41	203	1900	22.9	12	10	89.5	57.7	-3	9.5	18.3	22	-1	0.2	2	-10	-5	92	17.3	-10	14	14
11212-9908	13744	83		1.2	0.08	1.23	2.65	0.04	0.59	1.29	5.8	0.19	57	175	2450	19.5	8	14	15.8	75.6	-3	8.8	25.4	55.3	-1	0.2	-1	-10	-5	130	12.8	-10	8	-5
11212-9908	13745	508		0.9	0.44	1.09	3.1	0.03	0.43	1.2	5.5	0.1	37	321	2710	12.6	14	21	74.1	76	42	51.2	28.6	35.5	-1	-0.2	-1	-10	-5	96	4.9	-10	7	-5
11212-9908	13746	408		1.8	0.04	1.51	2.63	0.07	0.07	1.97	3.8	0.08	51	176	3750	23.8	6	18	17.6	58.6	-3	16.2	18.6	38.4	-1	-0.2	2	-10	-5	22	7.9	340	10	-5
11212-9908	13747	38		1.8	2.46	1.5	7.85	0.02	1.92	1.8	15.9	0.4	139	192	613	5.19	26	77	42.9	109	-3	279	11.3	101	-1	-0.2	-1	-10	-5	444	37.8	-10	8	-5
11212-9908	13748	20		1.1	1.98	1.64	7.69	0.05	1.54	2.21	13.2	0.36	129	146	525	4.48	25	77	50.2	103	-3	355	10.8	83.6	-1	0.3	-1	-10	-5	438	25.1	-10	-2	-5
11212-9908	13749	54		1.3	2.42	1.41	7.83	0.05	1.5	2.29	11.8	0.34	116	137	422	3.73	20	55	57	100	-3	453	8.6	80.7	-1	-0.2	-1	-10	-5	509	23.9	-10	-2	5
11212-9908	13750	15		0.8	1.8	4.55	7.54	0.02	1.22	5.75	25.1	0.18	132	270	892	5.1	34	97	7.9	68.1	-3	124	11.8	50.7	-1	-0.2	-1	-10	-5	154	9.9	-10	-2	10
11212-9908	13751	10		1.2	1.64	2.19	6.97	0.02	1.79	3.15	17.6	0.33	172	99	617	4.91	28	75	36.6	91.3	-3	147	4.4	131	4	-0.2	-1	-10	-5	243	9.1	-10	-2	-5
11212-9908	13752	20		0.7	1.27	3.15	7.05	0.04	0.42	9.77	39.6	0.59	332	112	1970	8.66	54	122	112	116	-3	111	23.3	28.5	-1	-0.2	-1	-10	-5	88	4.7	-10	-2	-5
11212-9908	13753	20		0.8	1.21	3.05	6.98	0.04	0.33	7.64	36.9	0.69	343	219	1860	8.95	54	124	120	142	-3	148	24.7	24.6	-1	-0.2	-1	-10	-5	117	4.8	-10	-2	-5
11212-9908	13754	45		0.9	0.45	1.58	5.01	0.04	0.13	2.54	19.4	0.27	157	321	2370	12.5	46	122	267	975	-3	48.8	15	43.5	-1	-0.2	1	-10	5	60	6.8	26	-2	-5
11212-9908	13755	16		1.1	0.98	1.36	6.66	0.05	0.35	3.83	14.8	0.25	111	334	1170	7.59	32	89	139	381	-3	111	11.3	76.9	2	-0.2	-1	-10	7	201	14.8	16	7	-5
11212-9908	13756	18		0.8	1.13	2.26	7.1	0.05	0.36	6.63	44.8	0.82	366	185	2110	10.3	53	80	101	186	-3	113	35.8	27.8	-1	-0.2	-1	-10	-5	121	5.5	-10	-2	-5

Résultats d'analyses des échantillons de forage

# forage	SAMP ID.	AU PPB	AU G/T	Be ppm	Na %	Mg %	Al %	P %	K %	Ca %	Sc ppm	Ti %	V ppm	Cr ppm	Mn ppm	Fe %	Co ppm	Ni ppm	Cu ppm	Zn ppm	As ppm	Sr ppm	Y ppm	Zr ppm	Mo ppm	Ag ppm	Cd ppm	Sn ppm	Sb ppm	Ba ppm	La ppm	W ppm	Pb ppm	Bi ppm
11212-9909	13847	193		1.1	1.64	2.8	6.03	0.06	0.48	5.51	41.4	0.94	393	86	1200	11.5	44	27	134	133	-3	147	29.5	72.5	-1	-0.2	2	-10	-5	135	11.4	146	-2	-5
11212-9909	13848	240		1.2	1.69	2.55	5.83	0.05	0.45	4.67	39.7	0.92	371	73	1320	11	40	23	95.9	117	-3	130	27.8	73.7	-1	-0.2	2	-10	-5	198	11	-10	-2	7
11212-9909	13849	84		1.2	1.95	2.77	6.4	0.06	0.48	4.88	43.6	1.01	404	88	1310	11.5	43	24	78	127	-3	131	30.4	89.6	-1	-0.2	2	-10	-5	166	13	-10	2	6
11212-9909	13850	36		1.2	1.83	2.5	6.46	0.05	1.11	4.16	36.6	0.9	358	92	1190	10.8	36	21	94.6	123	-3	130	25.1	88.6	-1	-0.2	2	-10	-5	228	11.4	-10	-2	-5
11212-9909	13901	10		1.2	1.91	2.55	6.37	0.05	0.51	5.1	42.9	0.97	404	94	1350	11.2	44	27	72.9	131	-3	114	30.6	101	-1	-0.2	2	-10	-5	165	13.3	-10	-2	10
11212-9909	13902	19		1.2	2.1	2.38	7.18	0.06	0.46	5.9	44.3	1.08	498	132	1740	10.7	44	45	99.1	130	-3	121	30	96.3	-1	-0.2	2	-10	-5	94	12.3	-10	-2	-5
11212-9909	13903	12		1	1.67	2.48	6.02	0.04	0.35	5.42	35.9	0.9	449	133	1450	9.12	38	40	78.6	102	-3	110	24.5	81.1	-1	-0.2	2	-10	-5	162	10.4	-10	-2	-5
11212-9909	13904	50		1.1	1.66	2.46	5.98	0.05	0.52	5.1	41.7	1.1	505	101	1990	10.8	46	33	85.2	155	-3	115	26.9	71.1	-1	0.3	3	-10	-5	156	9.7	-10	-2	-5
11212-9909	13905	32		1.2	1.71	3.07	6.61	0.05	1.15	5.32	45.7	1.25	552	87	1470	11.4	47	28	54.5	138	-3	172	29.8	71	-1	-0.2	2	-10	-5	183	9.8	-10	-2	-5
11212-9909	13906	>1000	**1.10**	1.9	1.54	2.89	6.45	0.04	1.17	5.84	42.9	1.14	521	95	1670	11	46	39	72.2	124	93	214	26.1	57.3	-1	0.3	3	-10	-5	245	10.3	32	-2	-5
11212-9909	13907	244		1.1	1.3	2.65	5.99	0.07	1.32	4.53	39.5	1.13	510	126	1590	10.9	38	30	31.4	120	-3	139	24.3	69.4	-1	-0.2	3	-10	-5	280	9.5	-10	5	-5
11212-9909	13908	26		1.1	1.61	2.74	6.61	0.05	0.78	6.18	47.2	1.24	570	89	2030	11.3	45	29	38.4	138	-3	162	29.9	76.4	-1	-0.2	4	-10	-5	115	10.7	-10	-2	-5
11212-9909	13909	178		1.5	1.45	1.93	6.42	0.19	1.71	3.28	28.3	0.78	320	155	1410	9.94	21	17	8.9	94.2	-3	166	31.9	74	-1	-0.2	2	-10	-5	348	14.9	-10	-2	-5
11212-9909	13910	>1000	**2.08**	1.3	1.1	1.61	5.27	0.07	0.91	2.38	12.7	0.38	146	228	1510	12.5	10	21	62.9	122	10	165	11.2	58.5	-1	-0.2	1	-10	-5	199	15.5	-10	7	5
11212-9909	13911	57		1.1	3.01	1.37	8.78	0.04	2.28	2.06	11.4	0.42	118	137	352	4.15	15	45	20.6	83.9	-3	433	5.6	62.8	2	-0.2	-1	-10	-5	473	23.3	-10	5	-5
11212-9909	13912	33		0.5	1.61	1.1	6.06	0.02	1.53	1.28	11.2	0.38	100	183	302	3.79	18	60	59.8	73.1	-3	237	7.4	89.1	1	-0.2	-1	-10	-5	428	22.1	-10	11	6
11212-9909	13913	49		1.1	1.74	1.52	7.1	0.03	1.65	1.36	15.8	0.46	130	197	455	4.55	27	78	66.2	95.1	-3	258	10.6	89.1	2	0.4	-1	-10	-5	455	25.4	-10	6	9
11212-9910	13823		**26.64**	-2000	-2000	-2000	-2000	-2000	-2000	-2000	-2000	-2000	-2000	-2000	-2000	-2000	-2000	-2000	-2000	-2000	-2000	-2000	-2000	-2000	-2000	-2000	-2000	-2000	-2000	-2000	-2000	-2000	-2000
11212-9910	13824	217		1.6	1.81	2.62	6.21	0.05	0.38	4.64	42.8	0.85	395	61	1020	9.62	54	31	254	128	-3	155	32.3	61.8	-1	0.6	3	-10	-5	104	-0.5	-10	-2	25
11212-9910	13825	118		1.5	1.8	2.46	6.44	0.05	0.4	5.05	41.2	0.82	376	66	1500	9.95	41	26	92.4	132	-3	158	31.3	86.6	-1	0.5	3	-10	-5	105	-0.5	-10	-2	21
11212-9910	13826	14		1.4	1.97	2.37	6.33	0.05	0.32	4.06	39.7	0.8	368	73	1370	9.56	46	26	120	128	-3	98	30.7	102	-1	0.5	3	-10	-5	104	-0.5	-10	-2	15
11212-9910	13827	73		1.4	1.91	2.27	6.47	0.05	0.4	4.88	40.4	0.79	371	71	1600	9.74	44	27	114	129	-3	133	32.4	104	-1	0.7	3	-10	-5	157	1.3	-10	-2	13
11212-9910	13828	8		1.3	1.87	2	6.31	0.05	0.37	4.74	39.4	0.78	366	83	1690	9.42	43	26	69.7	123	-3	126	32	111	-1	0.4	3	-10	-5	260	5.4	-10	-2	11
11212-9910	13829	8		1.4	1.8	3.22	6.85	0.05	0.67	5.19	43.4	0.96	525	106	1610	10.5	50	47	100	128	-3	119	35.3	78.4	-1	0.3	3	-10	-5	128	1.4	-10	-2	30
11212-9910	13830	73		1.2	1.7	2.77	6.5	0.04	0.45	5.26	37.8	0.84	456	88	1660	9.5	45	49	72	123	-3	115	30.2	75.6	-1	-0.2	3	-10	-5	104	1	-10	-2	24
11212-9910	13831	97		1.2	1.76	2.47	6.76	0.05	0.45	6.46	37.1	0.81	383	103	2220	9.35	48	69	71.6	121	-3	140	31.2	87.3	-1	0.2	2	-10	-5	154	2	-10	-2	11
11212-9910	13832	92		1.2	1.83	2.57	6.78	0.05	0.51	5.8	37.7	0.83	387	97	1940	9.83	48	62	106	124	17	144	31.3	78.2	-1	0.3	3	-10	-5	184	2.7	-10	-2	12
11212-9910	13833	110		1.2	1.7	2.47	6.24	0.04	0.56	5.27	36.3	0.83	430	72	1840	9.68	46	35	82.9	110	-3	158	28.7	73.2	-1	0.6	3	-10	-5	194	2.8	-10	-2	13
11212-9910	13834	61		1.2	1.77	3.03	6.72	0.05	0.66	5.5	38.1	0.84	433	92	1700	10.2	49	63	67.9	119	10	137	31.5	82.4	-1	0.4	3	-10	-5	130	2.9	-10	-2	25
11212-9910	13835	111		1.2	1.63	2.77	6.21	0.06	0.56	5.25	39.3	0.91	447	100	1710	10.3	48	39	60.3	119	-3	159	31.9	90.1	-1	0.3	2	-10	-5	153	2.6	22	-2	20
11212-9910	13836	14		1.1	1.62	2.56	5.81	0.05	0.4	4.81	38.4	0.91	454	82	2170	10.8	48	32	77.1	131	-3	118	31.9	80.4	-1	0.4	3	-10	-5	137	2.8	-10	-2	23
11212-9910	13837	11		1.2	1.78	2.83	6.56	0.05	0.62	5.2	46.7	1.09	537	54	1910	11.8	54	29	62.6	165	-3	144	36.9	66.4	-1	0.6	3	-10	-5	130	3	-10	-2	18
11212-9910	13838	43		2.6	0.19	1.65	1.16	0.09	0.11	1.99	3.1	0.11	72	98	2420	25.2	8	6	28.1	112	-3	14.9	14.2	20.6	-1	0.5	11	-10	-5	8	-0.5	-10	12	19
11212-9910	13839	247		2.5	1	1.65	4.52	0.13	1.86	1.95	12	0.31	101	124	944	13.4	12	10	7.8	63.2	50	190	13.9	56.3	-1	0.5	3	-10	-5	345	6.8	-10	14	9
11212-9910	13840	88		2.5	0.06	1.37	0.39	0.1	0.05	1.17	-0.5	0.01	26	139	1590	29.7	3	-1	10.2	34.3	-3	17.2	10.3	11.8	-1	0.8	15	-10	-5	1	-0.5	-10	15	17
11212-9910	13841	>1000	**1.61**	2	0.05	1.21	1.18	0.1	0.13	1	1.2	0.03	26	132	2150	28	4	3	15.2	46.6	96	17.1	31.5	10.4	-1	1.1	13	-10	-5	20	-0.5	-10	11	12
11212-9910	13842	122		2	0.02	1.26	0.16	0.06	-0.01	0.72	-0.5	-0.01	24	120	668	32.2	5	-1	8	25.2	-3	14	7.2	10	-1	0.9	17	-10	-5	-1	-0.5	-10	14	32
11212-9910	13843	>1000	**1.31**	1.2	0.06	1.14	3.6	0.19	0.3	1.67	13.9	0.05	33	336	3330	20.8	6	10	27	50.4	53	22.3	125	20.4	-1	0.6	7	-10	-5	55	2.3	-10	6	-5
11212-9910	13844	18		0.9	2.18	1.34	7.66	0.04	1.62	1.89	12.1	0.31	97	222	765	6.15	21	54	40.3	75.2	-3	320	16.5	105	2	0.5	-1	-10	-5	564	27.2	-10	-2	6
11212-9910	13845	37		1.2	1.61	1.71	7.4	0.03	1.85	1.29	17.6	0.42	140	169	665	5.84	31	91	59.8	104	-3	252	16.2	98.6	1	-0.2	-1	-10	-5	481	25.5	-10	-2	-5
11212-9910	13846	8		1.1	1.7	1.68	7.48	0.03	1.81	1.48	19	0.42	141	428	691	5.68	30	87	57.8	101	-3	254	17.1	114	1	-0.2	-1	-10	-5	587	33.5	-10	-2	-5
11212-9911	13914	11		1.2	1.9	2.08	7.16	0.05	1.1	3.84	31.8	0.69	306	102	1130	10	32	19	61.1	109	-3	155	21.3	81.9	-1	-0.2	2	-10	-5	206	19.2	-10	-2	9
11212-9911	13915	82		1	1.88	2.22	6.85	0.05	0.47	4.72	39.2	0.8	359	98	1450	11.1	42	21	116	126	-3	111	27.5	94.3	-1	0.3	-1	-10	-5	132	18.1	-10	-2	-5
11212-9911	13916	11		1	1.85	2.44	6.72	0.05	0.48	4.67	40.7	0.81	379	109	1380	11.6	40	22	65.2	123	-3	103	28.1	84.9	-1	0.3	2	-10	-5	110	17.6	-10	-2	-5
11212-9911	13917	239		1.1	2.11	2.24	7.24	0.06	0.41	4.67	43.3	0.87	394	113	1280	11.1	45	23	154	125	-3	101	29.3	81.3	-1	-0.2	2	-10	-5	132	18.5	-10	-2	-5
11212-9911	13918	27		1	1.74	2.53	6.99	0.05	0.83	4.69	33.6	0.76	406	105	1380	9.46	35	41	60.7	101	-3	124	23.1	75.3	-1	0.3	2	-10	-5	121	15	144	-2	6
11212-9911	13919	10		1.2	1.47	2.15	6.85	0.05	1.32	4.38	36.5	0.78	389	122	1550	10.1	38	32	40.2	121	-3	133	25.8	83.6	-1	-0.2	2	-10	-5	216	17.7	-10	-2	-5
11212-9911	13920	172		0.9	1.67	2.48	7.06	0.05	0.59	5.87	35.1	0.76	371	149	1780	9.67	40	58	62.1	112	-3	133	24.3	79.7	-1	-0.2	1	-10	-5	131	15.1	27	-2	8
11212-9911	13921	33		1	1.92	2.94	6.95	0.05	0.4	4.45	41.9	0.98	481	96	1580	11.7	44	26	57	132	-3	152	27.5	78.5	-1	0.3	3	-10	-5	85	16.9	-10	-2	-5
11212-9911	13922	40		1	1.68	2.48	6.67	0.05	0.52	5.23	41.2	0.96	484	74	1710	11	42	23	44.6	126	7	132	26.1	81.4	-1	0.3	1	-10	-5	101	16.6	-10	-2	-5
11212-9911	13923	395		1.2	0.15	2.23	7.6	0.28	2.05	2.19	44.7	0.45	130	147	5360	21.5	42	14	59.5	102	51	20.7	289	26	-1	-0.2	4	-10	7	443	29.7	-10	-2	-5
11212-9911	13924	305		1.2	0.12	1.17	3.37	0.15	0.53	1.44	4.5	0.17	51	193	2520	19.9	15	6	69.2	71.8	-3	15.6	19.9	24.9	-1	0.6	3	-10	5	137	21.4	-10	6	7
11212-9911	13925	25		1.7	0.78	2.25	5.37	0.1	2.39	2.47	27.1	0.78	355	145	1160	18.1	20	14	11.5	105	-3	95.8	21.7	56.3	-1	-0.2	3	-10	-5	433	23.3	-10	-2	8
11212-9911	13926	400		2.4	0.07	1.22	0.77	0.1	0.06	1.6	-0.5	0.02	30	190	1710	30.4	6	-1	21.7	51.4	-3	26.2	11.5	17.7	-1	0.8	7	-10	-5	11	25.2	-10	11	13
11212-9911	13927	424		2.2	0.08	1.34	1.16	0.1	0.32	1.02	0.7	0.14	52	125	1810	30.7	6	-1	33.5	114	-3	20.7	12.6	27.5	-1	0.8	7	-10	6	57	29.4	-10	13	7
11212-9911	13928	>1000	**1.07**	1.5	0.05	1.19	2.63	0.18	0.24	1.42	8.3	0.06	31	172	2820	24.3	6	4	39.3	73.8	-3	14.6	86.4	16.7	1	0.5	4	-10	5	50	53.2	-10	6	-5
11212-9911	13929	24		1.2	2.28	1.44	8.45	0.01	2.17	2.01	12.5	0.38	124	123	583	6.4	17	57	10.6	93.1	-3	286	5.5	98.4	-1	-0.2	-1	-10	-5	466	24.7	-10	-2	11
11212-9911	13930	>1000	**1.77**	1.8	0.05	1.1	1.41	0.11	0.24	0.92	3.6	0.05	35	199	2040	26.7	11	9	62.8	64.4	46	12.3	32.7	16.5	-1	-0.2	5	-10	7	44	23.5	-10	9	14
11212-9911	13931	561		1.8	0.23	1.4	2.21	0.05	0.33	2.24	2.1	0.09	44	162	3300	21.9	7	14	14.3	38.5	-3	96.8	7.5	31.1	-1	0.4	3	-10	-5	118	20.1	51	6	-5
11212-9911	13932	27		1	2.56	1.15	8.18	0.04	1.64	1.75	10.4	0.29	85	169	517	4.69	17	44	28.3	71.2	-3	375	9.4	77.2	2	-0.2	-1	-10	-5	462	25.6	-10	4	-5
11212-9911	13933	13		0.6	1.57	1.07	6.66	0.03	1.39	1.37	12	0.26	89	139	499	4.08	16	48	27.7	63.2	-3	235	8.9	51.6	-1	-0.2	-1	-10	5	361	17.1	-10	-2	-5

Résultats d'analyses des échantillons de forage

# forage	SAMP ID.	AU PPB	AU G/T	Be ppm	Na %	Mg %	Al %	P %	K %	Ca %	Sc ppm	Ti %	V ppm	Cr ppm	Mn ppm	Fe %	Co ppm	Ni ppm	Cu ppm	Zn ppm	As ppm	Sr ppm	Y ppm	Zr ppm	Mo ppm	Ag ppm	Cd ppm	Sn ppm	Sb ppm	Ba ppm	La ppm	W ppm	Pb ppm	Bi ppm
11212-9911	13934	9		1.3	1.89	1.7	8.59	0.03	2.4	1.52	15.2	0.44	151	247	396	5.21	24	83	48.5	97.5	-3	293	9.2	77.7	3	-0.2	-1	-10	-5	535	29.6	-10	3	-5
11212-9912	16551	276		1	1.89	2.14	6.38	0.05	0.4	5.15	41.3	0.84	400	93	2100	11.3	45	30	97.5	137	41	100	30.1	103	-1	0.3	1	-10	-5	142	14.8	-10	-2	-5
11212-9912	16552	167		1.2	1.89	2.19	6.31	0.05	0.46	5.29	41.3	0.84	406	70	1720	11.2	45	27	106	145	-3	96.8	31.1	89.2	-1	-0.2	1	-10	-5	174	14.5	-10	-2	-5
11212-9912	16553		**7.13**	-2000	-2000	-2000	-2000	-2000	-2000	-2000	-2000	-2000	-2000	-2000	-2000	-2000	-2000	-2000	-2000	-2000	-2000	-2000	-2000	-2000	-2000	-2000	-2000	-2000	-2000	-2000	-2000	-2000	-2000
11212-9912	16554	71		1	1.97	2.34	6.55	0.05	0.44	5.74	42.8	0.92	471	100	1710	11.1	51	46	83.9	148	-3	106	29.2	89.5	-1	-0.2	1	-10	-5	87	14.3	-10	-2	-5
11212-9912	16555	19		0.8	1.63	2.07	5.82	0.05	0.47	6.35	34.2	0.78	436	125	1720	9.22	46	49	86.5	112	-3	130	23.2	70.2	-1	-0.2	-1	-10	-5	87	10.7	-10	-2	-5
11212-9912	16556	16		1	1.92	2.81	6.82	0.05	0.33	5.99	39.3	0.88	467	111	1660	10.4	52	65	115	129	-3	140	26.4	90.7	-1	0.3	1	-10	-5	100	12.3	-10	-2	-5
11212-9912	16557	26		1	1.64	2.21	5.96	0.05	0.43	6.27	36.5	0.89	454	82	2090	9.92	43	28	54.1	119	-3	145	27.7	74.3	-1	-0.2	-1	-10	-5	121	11.4	-10	2	-5
11212-9912	16558	12		1	1.52	2.23	5.83	0.05	0.57	5.4	38.5	0.94	479	72	1620	10.5	44	27	69.6	142	-3	128	25.8	74.9	-1	0.5	1	-10	-5	130	12.1	-10	-2	-5
11212-9912	16559	>1000	**0.94**	1.3	0.15	1.16	2.06	0.15	0.26	1.62	7.1	0.22	108	184	2080	25.4	12	9	54.1	117	-3	16.9	39.4	24.2	-1	-0.2	4	-10	-5	58	64	-10	17	5
11212-9912	16560	131		2	0.08	1.17	0.89	0.1	0.19	1.56	-0.5	0.07	53	151	1670	30.6	7	3	22.3	51.3	-3	14.4	10.8	19.7	-1	2.7	7	-10	-5	40	37.8	-10	12	16
11212-9912	16561	69		2.4	0.05	1.35	0.6	0.11	0.05	1.55	-0.5	0.02	39	139	1740	30.5	6	1	13.1	28	-3	23.8	17.5	16.8	-1	0.8	5	-10	-5	8	13.1	-10	17	14
11212-9912	16562	94		1.2	1.49	1.15	6.5	0.08	1.69	2.13	8.5	0.3	87	176	1180	9.64	10	32	15.9	70.7	-3	195	16.5	46.4	-1	0.3	-1	-10	-5	385	15.4	-10	-2	-5
11212-9912	14000	9		1.1	1.86	2.04	6.3	0.05	0.36	5.3	40.6	0.82	393	89	1680	11.2	42	27	93.5	106	-3	110	29.5	103	-1	0.2	1	-10	-5	130	15.7	-10	-2	-5
11212-9913	13883	24		1.1	2.31	1.73	9.05	0.19	2.86	2.45	11.4	0.45	152	161	548	6.98	21	69	15.4	103	-3	320	8.7	76.4	2	0.4	2	-10	7	733	25	-10	-2	-5
11212-9913	13884	46		1.1	0.71	1.26	7.44	0.38	1.55	2.31	33.8	0.24	74	237	4600	13.8	7	17	11.3	62.2	-3	80.8	142	21.4	-1	-0.2	6	-10	-5	313	18.7	-10	-2	-5
11212-9913	13885	378		1.8	0.06	1.36	0.94	0.12	0.11	0.74	-0.5	0.04	35	143	1780	30	7	-1	24.3	292	-3	9	16.3	17.2	-1	0.6	15	-10	-5	22	24.8	-10	13	10
11212-9913	13886	132		0.9	0.44	1.99	6.77	0.29	2.95	1.47	17.8	0.59	86	174	2980	16.3	6	3	9.9	109	-3	51	73.7	12.7	-1	-0.2	7	-10	-5	673	21.8	-10	-2	-5
11212-9913	13887	97		1.6	0.05	1.51	1.41	0.14	0.69	0.74	1.8	0.16	43	155	1680	26.6	6	-1	17.7	104	-3	8.6	11.1	16.2	-1	0.5	13	-10	-5	149	23.5	-10	10	7
11212-9913	13888	242		1.4	0.07	1.89	3.22	0.48	2.34	1.16	4.4	0.45	78	213	1450	23.3	15	3	48.1	147	-3	16.2	16.8	20.6	1	0.5	11	-10	-5	509	35.6	-10	4	14
11212-9913	13889	137		2.8	0.03	1.13	0.33	0.14	0.04	0.61	-0.5	0.01	33	125	1930	34.1	3	-1	15.4	38.5	-3	13.1	7.5	18.3	-1	0.8	19	-10	-5	7	21.5	-10	16	24
11212-9913	13890	90		2	0.03	1.07	1.13	0.17	0.36	0.6	3.9	0.44	83	136	1550	32	4	-1	13.6	178	-3	6.6	10.1	16.1	2	0.5	18	-10	-5	54	61.2	-10	12	15
11212-9913	13891	333		1.1	0.09	1.61	4.61	0.1	1.65	0.9	18.2	0.32	62	243	2980	20	10	8	41.4	96.5	-3	12.6	79.6	13.6	1	-0.2	9	-10	-5	348	53.1	-10	4	6
11212-9913	13892	42		2.4	0.02	1.22	0.39	0.13	0.08	0.56	-0.5	0.03	36	146	2470	34.1	5	-1	7.9	57.2	-3	22.7	10.7	16.1	-1	0.6	18	-10	-5	15	21	-10	13	18
11212-9913	13893	57		1.4	1.16	1.71	8	0.62	2.44	2.93	24.4	0.44	107	150	3120	14.9	10	6	9.1	97.2	-3	139	112	16.6	-1	-0.2	6	-10	-5	536	65.8	-10	3	9
11212-9913	13894	70		1.4	1.37	2.55	6.56	0.06	1.32	4.83	42.7	0.98	507	66	1560	11.5	47	25	27.1	121	-3	163	28	69.5	-1	0.4	5	-10	-5	213	15.9	-10	-2	-5
11212-9913	13895	177		1.7	1.48	2.34	6.61	0.06	1.14	4.88	40.8	0.92	465	91	1460	10.5	34	19	21.6	127	-3	166	27.6	78.3	-1	0.5	5	-10	-5	179	16.8	-10	-2	-5
11212-9913	13896	>1000	**1.12**	2	1.5	2.66	6.37	0.06	0.73	5.78	36.3	0.78	406	174	1820	10.8	44	42	80.5	116	-3	183	25	54.1	-1	0.3	5	-10	-5	75	15.6	55	-2	5
11212-9913	13897	439		1.9	1.59	2.34	6.66	0.06	0.7	5.45	40.9	0.94	474	122	1680	10.5	45	30	96	126	10	199	26.4	76.3	-1	0.3	5	-10	-5	81	15.8	11	-2	6
11212-9913	13898	184		1.8	1.5	2.74	6.87	0.05	1.47	4.89	43.2	1	488	89	1620	11.2	45	30	39.2	125	-3	178	27.3	69.5	-1	-0.2	5	-10	-5	232	14.1	-10	-2	-5
11212-9913	13899	257		1.8	1.55	2.65	6.59	0.06	0.92	5.45	47.2	1.07	532	112	1800	11.9	48	28	76.1	134	-3	203	29	56.3	-1	0.3	5	-10	-5	94	14.3	22	-2	-5
11212-9913	13900	544		1.6	1.27	2.99	6.49	0.04	2.04	4.22	43.1	1.01	495	98	1410	11.6	44	23	29.9	142	-3	151	27.5	65.5	-1	0.3	5	-10	-5	343	14.6	-10	-2	-5
11212-9913	13951	87		2.1	0.06	1.41	1.11	0.11	0.41	0.87	1.7	0.13	77	121	1500	29.3	5	-1	7.2	44.3	-3	12.9	14.5	18.2	-1	0.2	15	-10	6	77	34.2	-10	12	27
11212-9913	13952	26		2.7	0.04	1.42	0.63	0.1	0.04	0.86	-0.5	0.02	37	138	2040	31.9	6	-1	6.6	33.9	-3	15.3	12	16.4	-1	0.4	17	-10	-5	7	20.7	-10	16	15
11212-9913	13953	206		2.1	0.04	1.36	0.59	0.11	0.26	1.03	-0.5	0.05	34	130	1240	29.7	7	-1	26.4	59.5	-3	14.8	9.1	14.7	-1	0.9	15	-10	6	50	35.3	-10	12	21
11212-9913	13954	308		2.5	0.03	1.18	0.29	0.11	0.05	1.07	-0.5	0.02	32	112	1600	31.4	6	-1	40.7	53.5	-3	20.5	9.7	14.7	-1	0.9	16	-10	6	9	28.2	-10	14	16
11212-9913	13955	368		2.2	0.26	1.43	1.69	0.09	0.36	1.73	5.2	0.18	96	115	1700	26	12	4	45.2	98.2	-3	28.3	11.3	27.6	-1	0.5	13	-10	6	68	19.4	-10	11	13
11212-9913	13956	90		2.3	0.1	1.33	1.21	0.12	0.34	0.92	1.1	0.07	38	135	1820	28.3	5	-1	26.6	52.3	-3	21.1	17.9	15.6	-1	0.4	14	-10	7	66	50.5	-10	13	13
11212-9913	13957	161		2.7	0.06	1.39	0.54	0.11	0.05	1.09	-0.5	0.01	31	146	1600	30.8	4	-1	21.4	21.7	-3	23.3	8	16	-1	0.6	16	-10	6	6	19.2	-10	13	12
11212-9913	13958	115		2.3	0.03	1.44	0.7	0.1	0.01	1.12	-0.5	0.02	32	164	1270	31.4	5	-1	7.5	26.9	-3	16.5	7	17.7	-1	0.4	17	-10	6	4	18.4	-10	13	7
11212-9913	13959	19		1.5	0.1	1.05	3.65	0.07	0.33	1.94	10.1	0.06	34	249	2550	20.8	6	6	5.4	38.2	-3	18.2	47.4	21	-1	-0.2	9	-10	-5	69	14	-10	4	-5
11212-9913	13960	133		1.7	0.37	1.23	2.09	0.07	0.44	1.83	1.9	0.07	42	136	1210	22.2	8	12	70.9	45.4	-3	55.2	7.7	23.3	-1	0.6	9	-10	-5	80	13.9	-10	7	19
11212-9913	13961	130		1.3	0.31	1.52	6.7	0.32	1.17	2.44	22.5	0.15	56	214	3410	18.7	10	18	26.8	68.9	-3	38.1	57.7	27.9	-1	0.4	8	-10	-5	200	17.2	-10	-2	-5
11212-9913	13962	10		1	2.73	1.32	8.99	0.05	1.97	2.14	12.3	0.36	111	128	547	4.85	18	43	25.2	78.2	-3	354	7.3	65.4	2	0.3	1	-10	-5	506	22.4	-10	-2	7
11212-9913	13963	14		1.1	1.97	1.54	8.29	0.05	1.61	1.62	14.9	0.37	115	174	594	5.04	23	56	48.4	89.9	-3	303	11.4	78.3	1	-0.2	-1	-10	5	441	24.1	-10	-2	-5
11212-9914	13791	9		1.2	1.71	1.46	7.08	0.03	1.49	1.45	14.8	0.4	131	160	447	4.58	27	82	58.8	92.8	-3	259	10.1	76.6	2	-0.2	-1	-10	-5	435	24	-10	-2	6
11212-9914	13792	9		1.4	1.79	1.64	7.84	0.03	1.92	1.26	17.3	0.45	150	186	564	5.26	32	91	73.3	109	-3	270	11.8	86.1	2	-0.2	-1	-10	-5	542	25	-10	6	-5
11212-9914	13793	7		1.4	2.2	1.67	8.05	0.03	1.86	1.35	14.9	0.44	154	150	329	4.76	28	100	55.9	105	-3	328	8.2	90	1	0.5	-1	-10	-5	520	26.4	-10	2	7
11212-9914	13794	13		1.2	2.15	1.6	8.13	0.04	2.07	2.13	11.4	0.4	117	138	583	6.35	21	63	36.6	87.2	-3	366	6.2	89	-1	0.3	-1	-10	-5	500	39.5	-10	3	-5
11212-9914	13795	88		1.5	0.11	1.55	0.99	0.1	0.26	0.54	3.8	0.29	101	153	1340	27.4	18	36	131	150	-3	17.6	5	14.6	3	0.9	-1	-10	-5	67	82.4	-10	21	19
11212-9914	13796	122		2	0.28	1.37	1.44	0.1	0.37	1.02	-0.5	0.19	81	144	1530	30	5	12	20.3	68.8	-3	52	6.6	20.8	-1	0.9	-1	-10	-5	97	23.5	-10	17	20
11212-9914	13797	21		1.3	1.9	1.59	7.19	0.03	2.44	1.77	13	0.47	147	170	591	8.6	27	78	35.2	94.4	-3	267	5.6	86.7	-1	0.2	-1	-10	-5	517	82.5	-10	6	-5
11212-9914	13798	39		2.5	0.04	1.35	0.25	0.1	0.03	0.88	-0.5	0.02	40	120	1370	34.8	2	-1	17.3	33.9	-3	24.5	7.3	16.6	-1	1.1	2	-10	-5	16	12.4	-10	23	17
11212-9914	13799	17		2.7	0.05	1.44	0.22	0.1	0.03	1.22	-0.5	-0.01	39	123	1600	32.5	4	4	18	19.4	-3	29.5	7.9	16.3	-1	0.7	-1	-10	-5	14	8.5	-10	20	20
11212-9914	13800	26		2.1	0.05	1.46	0.48	0.12	0.18	1.4	-0.5	0.16	52	117	1590	31.4	5	1	14.4	83.7	-3	23.7	7.2	15.4	-1	0.4	1	-10	-5	45	34.5	-10	21	17
11212-9914	13801	72		1.7	0.76	1.81	3.95	0.09	1.82	1.43	4	0.39	68	143	1020	22	9	9	9.5	92.9	-3	102	7.4	15	-1	-0.2	-1	-10	-5	463	157	-10	19	17
11212-9914	13802	17		2.1	0.05	1.52	0.78	0.11	0.48	0.86	-0.5	0.14	56	135	1520	30.9	7	3	8.5	55.5	-3	20.2	8.7	16.9	-1	0.9	-1	-10	-5	125	40.8	-10	20	18
11212-9914	13803	21		2.1	0.17	1.44	1.01	0.11	0.33	0.98	-0.5	0.15	57	140	1810	31.6	6	3	14.3	73.5	-3	37.1	9.1	15.9	-1	0.4	-1	-10	-5	90	111	-10	25	15
11212-9914	13804	55		1.9	0.08	1.44	1.02	0.12	0.5	0.89	1.5	0.16	54	126	2270	30.6	7	5	21.6	65.1	-3	26.3	9.8	17.4	-1	0.9	1	-10	-5	130	32.3	-10	17	16
11212-9914	13805	39		2.4	0.02	1.14	0.18	0.12	0.01	0.72	-0.5	0.02	41	131	2790	34.1	2	-1	16	33.7	-3	20.8	8	17.4	-1	0.8	1	-10	-5	11	15.1	-10	24	18
11212-9914	13806	72		2.5	0.11	1.34	0.55	0.1	0.04	0.94	-0.5	0.04	42	114	1800	32	6	3	10.7	42.6	-3	25	8.2	15.5	-1	0.2	-1	-10	-5	17	25.6	-10	17	18

Résultats d'analyses des échantillons de forage

# forage	SAMP ID.	AU PPB	AU G/T	Be ppm	Na %	Mg %	Al %	P %	K %	Ca %	Sc ppm	Ti %	V ppm	Cr ppm	Mn ppm	Fe %	Co ppm	Ni ppm	Cu ppm	Zn ppm	As ppm	Sr ppm	Y ppm	Zr ppm	Mo ppm	Ag ppm	Cd ppm	Sn ppm	Sb ppm	Ba ppm	La ppm	W ppm	Pb ppm	Bi ppm
11212-9914	13807	141		1.5	0.09	1.37	1.63	0.08	0.3	1.51	2.4	0.11	50	147	1850	23.1	12	8	34.5	70.5	-3	26.7	13.8	18.1	-1	0.5	-1	-10	-5	71	23.2	-10	15	-5
11212-9914	13808	10		1.3	1.68	2.57	6.6	0.06	0.73	5.07	42.8	1.06	527	68	1600	11.9	47	29	57.9	138	-3	158	29.9	76	-1	0.2	-1	-10	-5	159	22.7	-10	-2	-5
11212-9914	13809	25		1.3	1.78	2.82	6.68	0.05	0.53	5.6	46	1.1	563	110	2070	12.2	53	38	62.6	139	-3	156	30.2	69.1	-1	-0.2	-1	-10	-5	133	12.7	-10	-2	-5
11212-9914	13810	35		1.2	1.95	2.64	7.08	0.05	0.7	5.09	40.9	0.98	507	89	1690	10.8	47	29	64.4	128	-3	190	27.6	90.9	-1	-0.2	-1	-10	-5	197	14.7	-10	-2	-5
11212-9914	13811	33		1.2	1.95	2.62	7.11	0.05	0.55	5.3	47.3	1.11	580	85	1850	11.7	53	40	68	138	-3	168	29	88.4	-1	-0.2	-1	-10	-5	175	11.9	-10	-2	-5
11212-9914	13812	31		1	1.73	2.49	6.19	0.05	0.45	4.84	41.7	1.01	511	79	1860	10.9	49	29	64.7	127	-3	141	27.9	83	-1	0.3	-1	-10	-5	107	10.7	-10	-2	-5
11212-9914	13813	15		1.2	1.51	2.41	6.12	0.06	0.63	4.99	39.9	0.97	498	92	1610	10.7	45	29	45.8	125	-3	134	26.5	74.5	-1	0.3	-1	-10	-5	139	11.2	-10	-2	-5
11212-9914	13814	63		2.7	0.07	1.25	0.39	0.1	0.02	1.88	-0.5	0.03	50	120	1910	31.6	3	3	13.3	26.4	-3	26.4	9.4	18	-1	0.4	-1	-10	-5	14	8.9	-10	23	14
11212-9914	13815	212		2.6	0.04	1.33	0.3	0.1	0.01	1.99	-0.5	0.02	42	103	1670	33	4	3	35.3	30.8	-3	31.3	8	17.3	-1	0.9	1	-10	-5	20	9.9	22	20	15
11212-9914	13816	27		1.2	2.33	1.43	8.24	0.04	2.1	1.69	12.4	0.37	125	124	567	5.64	24	65	49.5	88.2	-3	336	8.4	73.9	1	-0.2	-1	-10	-5	549	23.8	-10	4	-5
11212-9914	13817	8		1.1	2.36	1.58	8.57	0.06	1.69	2.32	13.3	0.37	123	120	526	4.35	21	57	51.6	87.5	-3	458	9.5	86.2	2	0.3	-1	-10	-5	510	23.7	-10	-2	8
11212-9914	13818	7		1.1	2.38	1.48	8.33	0.05	1.74	2.16	11.8	0.33	118	99	399	3.78	22	54	56.8	83.6	-3	420	7.7	82.8	-1	0.3	-1	-10	-5	460	22.8	-10	-2	-5
11212-9914	13819	9		0.9	1.39	2.13	7.38	0.12	0.69	3.74	30.2	0.58	274	149	1140	7.98	39	39	45.8	104	-3	208	19.5	70.5	-1	-0.2	-1	-10	-5	205	13.4	-10	-2	-5
11212-9914	13820	11		1.2	1.34	2.28	6.68	0.05	1.84	2.29	20.2	0.4	174	214	1190	9.51	27	86	147	102	-3	136	15.5	73.3	1	0.3	-1	-10	-5	365	14.5	-10	-2	-5
11212-9914	13821	9		1	1.41	2.53	7.47	0.03	1.71	4.13	28	0.46	201	205	1690	8.3	36	92	53.2	110	-3	126	22.4	51.9	9	0.2	-1	-10	-5	302	9.7	-10	3	7
11212-9914	13822	7		0.6	1.16	2.65	7.62	0.03	0.28	11.2	40.8	0.64	330	179	2570	8.59	57	133	118	111	-3	129	22.3	25.2	-1	-0.2	-1	-10	-5	78	6	-10	-2	-5
11212-9915	13757	165		1.4	1.44	1.61	6.84	0.07	2.06	1.88	9.9	0.4	91	181	977	9.38	13	31	39.8	97	-3	194	13.3	35.9	1	0.6	-1	-10	-5	528	126	-10	10	-5
11212-9915	13758	43		1.2	0.66	1.34	4.19	0.08	0.95	1.58	9.9	0.2	69	220	2060	18.5	12	24	41.3	67.2	-3	105	35.3	28.8	2	0.2	-1	-10	-5	232	23.7	-10	9	8
11212-9915	13759	16		2	0.24	1.32	1.2	0.09	0.26	1.31	-0.5	0.06	45	144	1810	29.5	4	5	8.9	33.8	-3	38.6	8.3	22.4	-1	0.4	-1	-10	-5	71	13.5	-10	16	20
11212-9915	13760	36		1.8	0.05	1.45	1.14	0.12	0.59	0.72	0.5	0.22	62	176	1870	30.4	6	5	18	79.8	-3	18	7.8	16.6	-1	0.7	-1	-10	-5	148	75.2	-10	19	15
11212-9915	13761	754		1.6	0.37	1.84	2.94	0.09	1.01	1.89	13.7	0.38	164	177	1730	20.2	22	12	112	112	-3	42	14.6	33.1	4	0.4	-1	-10	-5	188	49.2	-10	11	19
11212-9915	13762	546		1.7	0.93	1.74	4.72	0.07	1.55	2.39	18.8	0.58	244	121	1080	15.8	22	11	62.6	102	-3	121	14.6	48	2	0.3	-1	-10	-5	320	47	-10	8	19
11212-9915	13763	870		1.9	0.35	1.53	1.81	0.08	0.32	2.19	8.3	0.24	135	171	1300	22.7	13	8	43.4	67.1	518	44.9	12.9	23.1	-1	0.3	-1	-10	-5	78	13.1	-10	12	12
11212-9915	13764	23		1.1	1.62	2.1	6.71	0.04	0.92	5.21	35.3	0.88	434	110	1770	9.52	39	26	39.9	108	-3	176	25.6	63.9	-1	0.3	-1	-10	-5	185	13.9	-10	-2	-5
11212-9915	13765	89		1.4	1.4	2.88	6.55	0.05	0.92	5.7	47.2	1.12	606	93	2300	12.4	51	33	42.1	137	10	128	30.6	70.5	-1	-0.2	-1	-10	-5	173	14.4	71	-2	-5
11212-9915	13766	40		1.5	1.22	2.02	5.54	0.05	0.57	4.76	34.9	0.87	435	103	2510	9.48	33	24	36.2	102	7	124	26.4	53.8	-1	0.3	-1	-10	-5	83	11.6	16	-2	-5
11212-9915	13767	15		1.4	1.54	2.66	6.56	0.05	0.69	5.49	44.3	1.08	538	116	2290	11.7	49	32	51.8	131	-3	137	29.6	73.7	-1	0.4	-1	-10	-5	118	14.4	-10	-2	6
11212-9915	13768	50		1.1	1.59	2.57	6.45	0.05	0.4	7.2	42.1	0.96	505	79	2250	10.7	45	31	56.6	116	81	172	35.5	58.6	-1	-0.2	-1	-10	-5	125	13.5	-10	-2	-5
11212-9915	13769	231		1	1.45	2.8	5.76	0.05	0.44	4.73	39.8	0.97	498	95	1620	10.7	42	26	53.7	113	275	115	28.1	50.4	-1	-0.2	-1	-10	-5	97	11.1	23	-2	5
11212-9915	13770	13		1.1	1.75	2.86	6.6	0.05	0.4	5.06	44.5	1.07	548	68	1670	11.1	46	29	54.1	143	14	126	28.1	79.4	-1	0.2	-1	-10	-5	93	12.7	-10	-2	10
11212-9915	13771	21		1.1	1.13	2.32	5.92	0.05	0.29	9.31	37.6	0.89	441	82	3000	9.4	38	38	55.1	149	40	238	47.5	52.9	-1	0.3	-1	-10	-5	130	16.9	37	3	-5
11212-9915	13772	91		1	1.77	2.78	6.52	0.05	0.4	5.23	44	1.05	543	78	1490	11	46	34	64.1	125	56	130	28	67.2	-1	0.3	-1	-10	-5	104	12.6	-10	-2	-5
11212-9915	13773	12		1.2	1.78	2.53	6.92	0.06	0.5	6.29	46.8	1.11	563	90	2420	11.3	52	34	59.3	128	-3	160	31.1	73.3	-1	0.2	-1	-10	-5	150	13.4	-10	-2	-5
11212-9915	13774	40		1.8	1.4	3.14	5.85	0.05	0.49	5.18	42.7	1.01	521	76	1810	14	36	25	24.4	107	-3	134	28.3	60.7	-1	-0.2	-1	-10	-5	100	12.9	-10	-2	-5
11212-9915	13775	380		2.4	0.07	1.19	0.32	0.11	0.02	1.91	-0.5	0.03	47	192	1750	30.1	18	9	111	28.2	115	34.6	8.9	14.4	-1	0.8	-1	-10	-5	12	11.7	-10	17	14
11212-9915	13776	144		1.9	0.07	1.37	0.54	0.11	0.05	1.04	-0.5	0.02	44	127	1680	31.5	5	-1	21.6	26.1	-3	17.1	8.7	17	-1	0.7	-1	-10	-5	17	14.2	-10	18	13
11212-9915	13777	33		2.6	0.03	1.28	0.2	0.12	0.01	1.33	-0.5	-0.01	39	148	1790	31.8	5	-1	11.1	19.3	-3	33.3	9.4	16.1	-1	0.8	-1	-10	-5	10	10.7	-10	21	22
11212-9915	13778	61		2.2	0.04	1.2	0.4	0.13	0.04	0.77	-0.5	0.01	39	138	2110	32.3	3	1	7.3	26.5	-3	21.2	9	17.7	-1	0.6	-1	-10	-5	28	12.8	-10	17	26
11212-9915	13779	95		2.3	0.04	1.18	0.72	0.14	0.02	1.36	1.2	0.01	37	139	2100	29.4	4	1	29.2	29.3	-3	25	26.8	14.3	-1	-0.2	-1	-10	-5	10	13.4	-10	22	17
11212-9915	13780	15		1.6	1.3	2.77	5.55	0.06	0.86	4.81	40.2	0.87	489	83	1600	13.4	38	27	33.4	132	-3	101	31.8	58	-1	0.4	-1	-10	-5	156	18	-10	-2	11
11212-9915	13781	24		1.1	1.73	2.65	6.31	0.05	0.43	5.17	43	1.01	522	96	1660	11.2	46	34	58.8	122	-3	151	27.8	71.3	1	-0.2	-1	-10	-5	112	12.6	-10	-2	-5
11212-9915	13782	841		1.1	1.49	2.46	5.72	0.04	0.63	4.6	36.1	0.84	429	83	1410	9.68	47	37	66	105	418	146	24.2	48.3	1	0.2	-1	-10	-5	142	10.2	73	-2	8
11212-9915	13783	22		1	1.61	1.49	6.88	0.2	1.59	2.98	18.5	0.55	233	123	747	6.85	20	33	24.4	79.2	-3	240	16.6	54.7	1	0.4	-1	-10	-5	428	20.8	-10	-2	5
11212-9915	13784	22		0.8	2.44	1.04	7.87	0.03	1.46	2.23	7.9	0.3	97	94	449	4.01	16	37	34.1	60.2	-3	355	6.2	64.5	3	0.4	-1	-10	-5	385	19.8	-10	3	-5
11212-9915	13785	8		1.3	1.82	1.65	7.71	0.03	1.46	1.19	16.9	0.37	151	196	532	5	27	83	55.2	87.9	-3	233	10.9	69.8	3	0.5	-1	-10	-5	412	23.5	-10	-2	5
11212-9915	13786	34		1.5	0.97	1.91	6.11	0.08	0.9	3.22	28.2	0.56	278	207	1320	10.4	30	35	68.7	100	-3	121	22.4	59.6	-1	-0.2	-1	-10	-5	216	15.6	-10	-2	13
11212-9915	13787	10		1	1.62	1.94	7.12	0.03	1.62	2.13	16.8	0.4	168	184	712	7.33	27	95	126	116	-3	197	9.9	66.9	1	-0.2	-1	-10	-5	457	18.8	-10	-2	-5
11212-9915	13788	9		0.7	1.31	3.09	7.08	0.04	0.42	6.67	32.3	0.6	275	126	1920	9.05	48	99	134	146	-3	141	21.4	28.7	-1	-0.2	-1	-10	-5	111	8.5	-10	-2	8
11212-9915	13789	6		0.8	1.44	1.96	7.4	0.06	0.28	6.24	42.2	0.77	311	169	2550	10.2	49	79	147	127	-3	145	33.5	22.4	-1	-0.2	-1	-10	-5	145	8.4	-10	-2	5
11212-9915	13790	6		0.7	1.38	1.99	7.54	0.06	0.41	5.4	31.7	0.61	235	147	1660	8.2	33	63	75.6	113	14	215	24.9	45.8	-1	0.3	-1	-10	-5	176	13.3	-10	-2	7
11212-9916	13935	ns		-2000	-2000	-2000	-2000	-2000	-2000	-2000	-2000	-2000	-2000	-2000	-2000	-2000	-2000	-2000	-2000	-2000	-2000	-2000	-2000	-2000	-2000	-2000	-2000	-2000	-2000	-2000	-2000	-2000	-2000
11212-9916	13936	21		1.2	2.19	1.69	8.47	0.04	1.72	1.53	17.1	0.4	137	225	570	6.64	24	65	75.5	101	-3	230	11.2	73.9	2	0.2	-1	-10	-5	407	27.3	-10	-2	-5
11212-9916	13937	>1000	1.15	1.3	0.61	2.35	7.64	0.38	2.42	1.8	22.3	0.53	171	354	1730	19	27	101	79.7	119	-3	107	21.4	61	-1	0.6	5	-10	-5	518	28.3	-10	-2	-5
11212-9916	13938	146		2.4	0.04	1.43	1.62	0.12	0.1	1.27	1.6	0.05	41	170	2640	30	14	9	47.9	53.5	-3	44.8	11.7	20.8	-1	0.6	9	-10	5	26	27.4	-10	12	17
11212-9916	13939	47		2.7	0.02	1.37	0.77	0.15	0.13	0.76	-0.5	0.04	37	154	2020	32.1	5	2	18.8	31.7	-3	26.7	10.6	18.4	-1	0.7	12	-10	7	31	24.3	-10	10	11
11212-9916	13940	27		2.3	0.1	1.42	1.99	0.26	0.61	1.07	2.3	0.14	53	186	1930	28.9	6	9	14.6	45.5	-3	46.2	13.6	28.4	-1	1	10	-10	7	164	30.8	-10	12	16
11212-9916	13941	11		2.7	-0.01	1.25	1.03	0.2	0.09	1.06	-0.5	0.04	34	161	2110	31	4	-1	6	27.7	-3	40.1	14.7	15.7	-1	0.4	10	-10	8	27	24.5	-10	10	19
11212-9916	13942	7		1.6	2.41	1.72	8.51	0.04	2.42	1.28	17.3	0.43	144	178	510	6.36	24	71	38.9	90.3	-3	272	7.5	76.9	1	-0.2	-1	-10	-5	462	35.1	-10	4	-5
11212-9916	13943	394		1.6	0.37	0.96	2.24	0.08	0.35	1.57	2	0.06	38	167	1030	21.4	10	14	35.3	33.4	138	87.3	7.8	31.8	-1	1.1	6	-10	7	75	26	-10	8	20
11212-9916	13944	30		2	0.03	0.99	0.65	0.06	0.03	1.96	-0.5	0.01	26	136	1040	28.6	4	-1	18.6	21	-3	39.4	6.5	21.3	-1	0.8	11	-10	5	2	21.3	-10	9	14
11212-9916	13945	28		-0.5	0.24	0.33	1.57	0.06	0.34	0.54	3.6	0.06	25	164	331	3.43	6	14	7.7	14.9	7	37.2	7	46.6	2	-0.2	-1	-10	-5	66	5.5	-10	-2	-5

Résultats d'analyses des échantillons de forage

# forage	SAMP ID.	AU PPB	AU G/T	Be ppm	Na %	Mg %	Al %	P %	K %	Ca %	Sc ppm	Ti %	V ppm	Cr ppm	Mn ppm	Fe %	Co ppm	Ni ppm	Cu ppm	Zn ppm	As ppm	Sr ppm	Y ppm	Zr ppm	Mo ppm	Ag ppm	Cd ppm	Sn ppm	Sb ppm	Ba ppm	La ppm	W ppm	Pb ppm	Bi ppm
11212-9916	13946	>1000	**2.93**	1	1.4	2.23	8.05	0.28	3.04	2.03	18.5	0.57	188	234	718	10.3	29	100	48.1	130	-3	200	14.3	190	2	0.3	2	-10	8	620	34.4	-10	-2	-5
11212-9916	13947	23		1	1.58	1.85	7.25	0.06	0.91	3.2	27	0.58	236	172	944	8.19	30	38	67.1	108	-3	160	20.4	94.4	1	0.3	2	-10	-5	233	18.8	-10	116	-5
11212-9916	13948	425		1.2	2.01	2.43	7.04	0.06	0.39	4.46	42	0.88	381	106	1540	11.8	45	20	149	127	37	138	29.5	70.7	-1	-0.2	3	-10	-5	102	17	-10	-2	-5
11212-9916	13949	54		1.2	1.99	2.5	6.89	0.06	0.33	4.69	43	0.88	390	94	1550	11.7	44	18	92.1	131	-3	117	30.9	91.1	-1	-0.2	3	-10	-5	103	18.5	-10	-2	8
11212-9916	13950	49		1.1	1.99	2.33	6.92	0.06	0.42	4.76	43.1	0.86	386	89	1520	11.4	42	20	109	124	-3	131	30.2	82.9	-1	-0.2	3	-10	-5	121	17.7	-10	-2	-5
11212-9916	13851	150		1.1	2.19	2.87	6.59	0.05	0.36	4.03	41.5	0.81	374	72	1380	10.9	40	19	69.9	111	12	121	28.7	86.1	-1	0.3	3	-10	-5	123	16.9	-10	-2	6
11212-9916	13852	>1000	**3.17**	1.4	2.06	2.26	6.51	0.05	0.4	4.91	41.8	0.79	369	97	1550	10.9	46	26	237	115	271	165	27.1	63.7	-1	-0.2	3	-10	-5	122	15.6	30	-2	-5
11212-9916	13853	56		1.1	2.19	2.25	7.19	0.05	0.46	5.08	41.9	0.78	371	89	1490	11	41	22	40.8	112	-3	160	27.3	94.3	-1	-0.2	3	-10	-5	130	17.3	-10	-2	-5
11212-9916	13854	161		1.1	2.16	1.98	6.79	0.06	0.32	4.53	40.6	0.79	370	99	1540	10.8	43	20	144	213	18	108	28.3	96.1	-1	-0.2	2	-10	-5	147	17.2	-10	-2	-5
11212-9916	13855	17		1.1	2.1	2.02	6.63	0.05	0.34	4.41	39.1	0.77	360	100	1580	10.6	39	18	81.4	148	-3	112	27.3	99.4	-1	0.2	3	-10	-5	135	17.1	-10	-2	-5
11212-9916	13856	173		1.1	2.07	2.21	6.75	0.05	0.4	4.87	39.9	0.81	396	82	2010	11	39	24	104	233	9	101	29.1	87.1	-1	-0.2	3	-10	-5	126	16.6	-10	-2	-5
11212-9916	13857	17		1	2.2	2.81	7.12	0.05	0.43	5.4	39.8	0.88	477	111	1680	10.8	46	45	46.1	118	-3	99.9	28.7	80.9	-1	-0.2	3	-10	-5	104	15.4	-10	-2	-5
11212-9916	13858	26		0.8	1.42	1.62	4.72	0.04	0.28	5.72	24.8	0.55	301	126	1930	7.48	28	28	50.4	80.7	-3	80.3	18.8	57.2	-1	-0.2	1	-10	-5	71	10.1	-10	3	-5
11212-9916	13859	48		1.1	2.23	2.56	7.26	0.05	0.47	5.75	40.3	0.9	473	92	1700	10.4	44	40	63	124	-3	119	27.1	88.5	-1	-0.2	3	-10	-5	123	15.1	-10	-2	6
11212-9916	13860	856		1	2.08	2.43	6.99	0.04	0.45	5.62	40.2	0.91	469	163	1670	10.8	49	42	112	121	104	133	27.1	71.1	-1	-0.2	4	-10	-5	118	15.1	-10	-2	-5
11212-9916	13861	39		1.1	1.95	2.54	7.88	0.06	0.36	7.24	46.8	0.92	548	111	2390	12	49	46	109	295	10	142	31.9	101	-1	0.5	3	-10	-5	99	17.9	-10	-2	-5
11212-9916	13862	>1000	**1.12**	0.9	1.59	1.14	4.52	0.03	0.29	3.02	21	0.4	196	165	859	5.6	22	12	110	66	141	122	13	38.3	1	-0.2	-1	-10	-5	98	8.6	167	-2	-5
11212-9916	13863	>1000	**1.03**	1.2	2.09	1.93	6.77	0.06	0.43	5.16	39.9	0.81	373	99	3700	10.4	45	24	139	133	120	123	27.4	91.4	-1	-0.2	3	-10	-5	113	16.6	205	-2	-5
11212-9916	13864	442		1.3	2.37	1.95	7.14	0.06	0.5	4.87	38.2	0.76	348	114	1580	9.56	37	21	97.4	121	21	157	27.8	84.5	-1	-0.2	3	-10	-5	159	16.8	-10	-2	6
11212-9916	13865	81		1	2.13	3.35	6.97	0.05	0.47	4.45	39	0.85	459	146	1420	10.6	41	43	66.1	112	-3	98.5	26	79	-1	-0.2	3	-10	-5	77	14.1	-10	-2	-5
11212-9916	13866	494		1	1.87	2.44	6.64	0.05	0.44	5.94	33.1	0.69	337	130	1510	8.91	39	53	92.1	99	52	131	22.4	60.8	-1	-0.2	2	-10	5	117	12.7	-10	-2	-5
11212-9916	13867	472		1	2.34	1.9	7.28	0.04	0.43	5.02	35.9	0.77	371	152	1880	8.42	40	59	46.9	99.2	77	111	23.1	91.4	-1	0.2	2	-10	-5	88	14.6	-10	-2	-5
11212-9916	13868	40		1	2.32	1.57	7.36	0.05	0.34	5.3	31.9	0.7	329	139	2020	8.08	37	54	86.6	100	-3	99.5	23	70.9	-1	0.2	2	-10	-5	63	14.5	-10	-2	-5
11212-9916	13869	13		1	2.44	2.6	7.84	0.06	0.42	5.67	41.2	0.87	416	127	1740	10	47	55	57.2	137	-3	134	27.3	98.3	-1	-0.2	2	-10	-5	112	15.8	-10	-2	-5
11212-9916	13870	300		1	1.85	2.63	6.44	0.04	0.51	5.84	34.1	0.69	326	136	1750	9.35	37	54	81.1	104	15	128	23.1	71.9	-1	-0.2	2	-10	-5	102	13.6	-10	-2	-5
11212-9916	13871	>1000	**1.39**	1.4	1.67	2.8	6.63	0.06	0.99	5.33	40	0.9	416	128	1710	10.7	39	41	71.9	121	245	156	27.2	58.3	-1	0.3	2	-10	-5	132	14	22	-2	-5
11212-9916	13872	>1000	**3.31**	1.4	1.68	1.9	5.92	0.03	0.63	4.56	33.5	0.76	385	129	1290	8.63	34	23	70.5	86	1140	191	19.1	36.7	-1	0.3	2	-10	-5	100	10.7	83	-2	-5
11212-9916	13873	85		1.1	1.9	2.78	6.78	0.05	0.71	4.87	42.4	0.97	484	78	1410	11	44	25	43.6	121	-3	153	26.7	68.1	-1	0.4	3	-10	-5	113	14.3	-10	-2	-5
11212-9916	13874	260		2.2	0.08	1.1	0.76	0.1	0.22	0.99	0.5	0.13	51	136	1680	29.4	5	-1	22.7	52.5	15	16.2	7.8	16.8	-1	0.7	11	-10	-5	35	28.1	-10	15	14
11212-9916	13875	152		2.3	0.04	1.29	0.57	0.11	0.21	0.79	-0.5	0.06	37	141	2050	30.5	8	-1	17	40.7	-3	17.2	8.1	16.8	-1	0.8	11	-10	-5	33	34.7	-10	15	9
11212-9916	13876	34		2.6	0.02	1.33	0.24	0.11	0.02	1.08	-0.5	-0.01	27	134	1420	29.3	3	-1	6.6	26.8	-3	22	7.4	14	-1	0.5	10	-10	-5	4	21.1	-10	9	25
11212-9916	13877	32		2.4	-0.01	1.28	0.13	0.09	-0.01	1.22	-0.5	-0.01	26	125	1250	29.6	6	-1	5.5	28.5	-3	18.3	6.6	14.2	-1	0.5	10	-10	6	-1	20.4	-10	12	13
11212-9916	13878	382		1.8	0.07	1.23	0.89	0.09	0.32	1.37	-0.5	0.06	27	145	1100	25.4	2	-1	12.7	28.6	-3	21.7	8.2	14.1	-1	0.4	7	-10	-5	55	26.7	-10	10	13
11212-9916	13879	89		2	0.01	1.12	0.87	0.09	0.13	0.87	-0.5	0.07	33	166	907	29.7	5	-1	18.1	47.9	-3	11.4	6.6	16.7	-1	0.6	9	-10	-5	21	22.2	-10	16	13
11212-9916	13880	22		0.9	2.46	1.8	9.13	0.02	2.73	1.89	19.7	0.44	156	197	827	6.65	27	76	38.4	117	-3	295	6.4	106	-1	0.4	-1	-10	-5	444	28.5	-10	3	-5
11212-9916	13881	12		1.1	2.34	1.65	8.48	0.05	1.89	1.79	16.6	0.39	131	210	648	6.23	22	66	49.1	90.2	-3	322	12.6	76.7	2	0.4	-1	-10	-5	530	26.3	-10	-2	-5
11212-9916	13882	9		1.1	2.27	1.43	8.46	0.05	1.7	2.08	13.1	0.32	105	125	502	3.96	19	46	43	84.1	-3	410	9.5	81.3	-1	0.3	-1	-10	6	492	22.7	-10	26	-5
11212-9917	13964		**10.83**	-2000	-2000	-2000	-2000	-2000	-2000	-2000	-2000	-2000	-2000	-2000	-2000	-2000	-2000	-2000	-2000	-2000	-2000	-2000	-2000	-2000	-2000	-2000	-2000	-2000	-2000	-2000	-2000	-2000	-2000	-2000
11212-9917	13965	7		1.1	2.38	1.83	9.44	0.03	2.83	2.25	12.5	0.47	151	171	379	6.78	23	66	11.2	109	-3	350	2.6	87.4	2	-0.2	1	-10	7	613	27.1	-10	-2	-5
11212-9917	13966	21		1.2	1.68	0.8	7.92	0.15	0.98	2.51	20.6	0.18	70	196	2680	9.39	4	10	7.2	43.2	-3	194	82.6	18.5	-1	-0.2	2	-10	7	229	27.6	-10	-2	-5
11212-9917	13967	200		1.5	0.05	1.41	1.08	0.13	0.06	0.69	1.2	0.02	25	198	2380	26.7	12	6	42.1	101	-3	10.4	29.8	13.7	-1	-0.2	11	-10	7	11	26	-10	9	-5
11212-9917	13968	123		2.3	0.05	1.42	0.55	0.13	0.02	0.84	-0.5	0.02	28	148	2100	31.9	3	2	15.4	63.7	-3	20.4	10.6	15.9	-1	0.2	15	-10	-5	6	27.2	-10	10	19
11212-9917	13969	92		1.7	0.03	1.18	1.23	0.13	0.08	0.83	2.1	0.07	25	155	2090	29.6	3	-1	10.6	69.3	-3	12.7	28	15.1	-1	-0.2	12	-10	-5	11	35.8	-10	11	7
11212-9917	13970	482		1.9	0.03	1.18	0.42	0.11	-0.01	0.54	-0.5	0.02	26	146	2130	32.9	7	-1	22.1	74.4	-3	11.4	12.2	15.5	-1	0.3	15	-10	-5	2	29.8	-10	13	16
11212-9917	13971	663		1.1	0.12	2	5.29	0.36	2.75	1.34	16.4	0.62	84	248	2660	20.4	11	7	36.6	133	-3	29	81.4	11.9	1	-0.2	8	-10	-5	542	58.3	-10	6	-5
11212-9917	13972	190		2.5	0.03	1.24	0.3	0.15	0.06	0.8	-0.5	0.04	28	134	2150	34.1	4	-1	18.6	85.4	-3	21.3	11.2	13.4	-1	0.4	15	-10	5	13	31.3	-10	7	11
11212-9917	13973	396		1.4	0.07	1.67	3.62	0.22	1.54	1.1	12.8	0.37	50	144	2980	24.9	5	3	7.1	140	-3	15.4	76.5	13.1	-1	-0.2	10	-10	5	334	46.6	-10	7	9
11212-9917	13974	34		2.3	0.04	1.14	0.67	0.16	0.16	0.55	1.9	0.29	31	129	1460	34.4	3	-1	4.4	151	-3	12.1	5.7	14.6	2	-0.2	17	-10	5	22	30.8	-10	10	25
11212-9917	13975	87		2.3	0.04	1.25	0.55	0.13	0.05	0.93	-0.5	0.09	27	146	2240	35.2	4	-1	9.5	87.6	-3	15.4	10.2	14.2	-1	-0.2	17	-10	6	16	30.8	-10	17	15
11212-9917	13976	436		1.9	0.05	1.05	0.4	0.08	0.02	0.51	-0.5	0.04	27	181	1140	29.3	18	10	103	129	-3	8.4	5.1	31.9	-1	0.7	13	-10	-5	3	24.3	-10	13	22
11212-9917	13977	256		2.5	0.02	1.32	0.12	0.12	-0.01	0.78	-0.5	-0.01	28	131	1830	35.3	10	-1	42.3	145	-3	27.5	8.2	13.1	-1	0.4	17	-10	-5	1	28.2	-10	11	24
11212-9917	13978	246		1.9	0.03	1.24	0.32	0.13	0.04	0.59	-0.5	0.01	27	186	1830	33.7	7	-1	26.2	108	-3	8.5	9.2	13.4	-1	-0.2	16	-10	5	7	28.5	-10	8	14
11212-9917	13979	290		0.9	0.05	1.53	4.93	0.1	2.01	0.97	17.2	0.35	62	256	3420	19.6	4	5	24.9	107	-3	6.6	90	12.1	1	-0.2	7	-10	-5	410	40.5	-10	3	-5
11212-9917	13980	622		1	0.03	0.72	1.93	0.03	0.7	0.44	4.5	0.15	41	249	1650	20.5	17	11	89.6	50.4	-3	3.7	19.6	16	3	0.3	7	-10	8	136	29.1	-10	8	-5
11212-9917	13981	>1000	**1.01**	1	0.13	1.39	1.8	0.08	0.2	1.44	2.9	0.1	60	186	2050	19.4	8	5	26.7	121	-3	6.6	11.9	19	-1	-0.2	7	-10	-5	28	21.3	-10	9	5
11212-9917	13982	472		2	0.97	1.9	4.73	0.06	1.13	3.44	26.2	0.66	314	155	1230	13.7	20	12	20.9	150	-3	103	19.8	57.6	-1	-0.2	5	-10	-5	206	17.5	-10	-2	12
11212-9917	13983	>1000	**1.95**	1.4	0.42	1.62	2.39	0.1	0.58	2.13	9	0.19	89	171	1240	19.5	14	7	49.6	105	-3	99.6	11.4	21.3	-1	0.3	7	-10	-5	114	25.2	-10	4	-5
11212-9917	13984	488		1.4	0.27	1.77	2.85	0.15	1.06	1.63	7.9	0.23	79	206	1530	20.9	10	3	27.4	122	-3	41.9	16.7	22	-1	-0.2	8	-10	-5	205	84.5	-10	11	-5
11212-9917	13985	280		1.7	0.05	1.17	1.07	0.12	0.42	0.78	2.2	0.26	99	187	1290	30.1	5	-1	34.6	125	-3	8.3	13	19.2	1	0.4	13	-10	5	72	54.4	-10	10	9
11212-9917	13986	114		1.8	0.05	1.38	0.91	0.1	0.41	0.55	1.2	0.13	46	142	1460	32.3	5	-1	5.9	92.2	-3	8.5	5.6	13.7	-1	-0.2	15	-10	-5	79	48.9	-10	10	15
11212-9917	13987	97		2.2	0.03	1.27	0.25	0.09	0.02	0.94	-0.5	0.01	25	146	995	31.6	4	-1	19.6	46.6	-3	12.8	6.6	12.9	-1	-0.2	15	-10	-5	4	25.4	-10	13	27

Résultats d'analyses des échantillons de forage

# forage	SAMP ID.	AU PPB	AU G/T	Be ppm	Na %	Mg %	Al %	P %	K %	Ca %	Sc ppm	Ti %	V ppm	Cr ppm	Mn ppm	Fe %	Co ppm	Ni ppm	Cu ppm	Zn ppm	As ppm	Sr ppm	Y ppm	Zr ppm	Mo ppm	Ag ppm	Cd ppm	Sn ppm	Sb ppm	Ba ppm	La ppm	W ppm	Pb ppm	Bi ppm
11212-9917	13988	516		1	0.04	1.33	5.54	0.32	1.33	1.97	15.5	0.25	41	199	5020	19.9	6	7	33.6	77.1	-3	9.6	158	22.1	1	-0.2	7	-10	11	287	935	-10	69	-5
11212-9917	13989	>1000	**3.65**	1.2	0.05	1.54	3.3	0.23	1.12	1.12	12.8	0.31	64	210	3180	25.4	5	5	31	111	-3	9	78.9	14.3	2	0.7	10	-10	7	226	106	-10	14	12
11212-9917	13990	62		2.1	0.02	1.43	0.65	0.1	0.2	0.96	-0.5	0.08	35	163	1580	33.6	7	-1	8.1	47.1	-3	13.4	18.8	14.6	-1	0.2	15	-10	6	44	71.6	-10	12	22
11212-9917	13991	49		1.9	0.11	1.39	0.85	0.12	0.18	0.75	0.7	0.07	26	147	1820	30.6	3	-1	5.1	70.4	-3	15.6	10.9	12.9	-1	-0.2	14	-10	-5	36	32.5	-10	10	15
11212-9917	13992	35		1.9	0.12	1.46	1.39	0.15	0.72	0.83	1.7	0.15	41	181	1820	27.9	2	2	8.8	61.7	-3	26.3	11.2	14.2	-1	-0.2	13	-10	-5	150	56.9	-10	12	21
11212-9917	13993	80		1.8	0.06	1.27	1.17	0.12	0.5	1.47	1	0.12	37	162	1540	26.9	5	3	20.5	66.4	-3	15	18.7	13.6	-1	-0.2	12	-10	-5	107	29.8	-10	9	22
11212-9917	13994	183		2.1	0.03	1.24	0.28	0.1	0.03	0.85	-0.5	0.01	27	165	1510	33.1	5	4	57.4	50.6	-3	19.6	7.8	13.1	-1	0.4	16	-10	-5	6	31.2	-10	10	22
11212-9917	13995	139		2.5	0.03	1.36	0.44	0.11	0.16	1.19	-0.5	0.05	29	116	1370	32.7	4	-1	11.7	26.6	-3	28.9	8.1	15	-1	0.3	15	-10	6	35	36.6	-10	10	22
11212-9917	13996	52		1.4	0.58	1.41	3	0.1	0.67	1.11	4.8	0.17	54	194	1610	22.9	7	17	15.2	72.5	-3	74.4	14.2	33.9	-1	-0.2	9	-10	7	170	49	-10	9	-5
11212-9917	13997	108		1.5	0.04	1.07	2.44	0.07	0.22	1.83	4.8	0.06	28	196	2290	24.9	4	4	24.5	37.8	-3	12.5	34.1	20.3	-1	-0.2	10	-10	-5	45	21.2	-10	4	6
11212-9917	13998	48		1.1	2.59	1.27	8.63	0.05	2.13	1.91	10.4	0.32	101	115	539	5.55	18	42	22	77.5	-3	351	6.7	67.7	2	-0.2	-1	-10	5	482	22.9	-10	-2	-5
11212-9917	13999	9		1.2	1.83	2.08	9.14	0.07	1.89	2.26	17.1	0.45	163	167	691	6.62	28	72	74.5	107	-3	301	12.4	103	1	-0.2	2	-10	-5	448	33.6	-10	-2	-5

PROPRIÉTÉ PAYNE (1121-2)

Résultats de terrain, été 1999
(volume 2/2)

Guy Cuerrier Décembre 1999

BUREAU DE L'ENREGISTRAIRE

LISTE DES CARTES

Carte 44-05	Amaruk 1:2500: Carte géologique et position des rainures, des données structurales et des forages
Carte 22-02	Amaruk 1:2500: Carte synthèse et valeurs aurifères
Carte 44-06	Avignaluk 1:2500: Carte géologique et position des rainures, des données structurales, des forages et des valeurs aurifères

LISTE DES SECTIONS DE FORAGE

Section 23-08	Section L-7+25 S (Amaruk) au 1:500 du sondage 11212-99-14
Section 23-09	Section L-7+50 S (Amaruk) au 1:500 des sondages 11212-99-15
Section 23-10	Section L-9+50 S (Amaruk) au 1:500 du sondage 11212-99-08
Section 23-11	Section L-9+75 S (Amaruk) au 1:500 des sondages 11212-99-06
Section 23-12	Section L-10+25 S (Amaruk) au 1:500 du sondage 11212-99-07 et 16
Section 23-13	Section L-12+50 S (Amaruk) au 1:500 du sondage 11212-99-11
Section 23-14	Section L-13+00 S (Amaruk) au 1:500 du sondage 11212-99-09
Section 23-15	Section L-13+25 S (Amaruk) au 1:500 du sondage 11212-99-10
Section 23-16	Section L-20+50 S (Amaruk) au 1:500 du sondage 11212-99-12
Section 23-17	Section L-20+75 S (Amaruk) au 1:500 du sondage 11212-99-13
Section 23-18	Section L-20+75 S (Amaruk) au 1:500 du sondage 11212-99-17
Section 23-19	Section L-30+50 S (Avignaluk) au 1:500 du sondage 11212-99-05
Section 23-20	Section L-30+75 S (Avignaluk) au 1:500 du sondage 11212-99-01
Section 23-21	Section L-31+25 S (Avignaluk) au 1:500 du sondage 11212-99-02
Section 23-22	Section L-32+25 S (Avignaluk) au 1:500 du sondage 11212-99-03
Section 23-23	Section L-35+00 S (Avignaluk) au 1:500 du sondage 11212-99-04

00097-0017